

СПРАВОЧНИК

М.Л. Бараночников

ПРИЕМНИКИ И ДЕТЕКТОРЫ ИЗЛУЧЕНИЙ

Электронная версия

г. Москва, 2017 г.

Бараночников М. Л.

Приемники и детекторы излучений. Справочник. – М.: 2017. – 1041 с., табл. 610, ил. 1870.

Электронная версия. Формат PDF, А4, альбомный.

Справочник является второй дополненной редакцией книги “Приемники и детекторы излучений”, которая вышла из печати ДМК Пресс в 2012 году.

В настоящем справочнике содержатся сведения о приемниках ионизирующего излучения (счетчиках Гейгера, сцинтилляторах, детекторах альфа-, бета-, гамма-, и нейтронного излучений), а также о широкой номенклатуре фоточувствительных приборов — фоторезисторов, фотодиодов, фототранзисторов, фотоприемных устройств, фотоэлементов и фотоумножителей, передающих телевизионных трубок (диссекторов, суперорбитонов, видиконов), электронно-оптических преобразователей, болометров, пироэлектрических приемников излучения и тепловых приемных устройств. Всего, более 3200 наименований приборов.

Для инженерно-технических работников, молодых специалистов, студентов ВУЗов и радиолюбителей, занятых разработкой и эксплуатацией аппаратуры, использующей приемники и детекторы излучений.

Материал, изложенный в данной книге, многократно проверен. Но, поскольку вероятность технических ошибок все равно существует, издательство не может гарантировать абсолютную точность и правильность приводимых сведений. В связи с этим автор не несет ответственности за возможные ошибки, связанные с использованием книги.

Все права защищены “Законом РФ об авторском праве и смежных правах” Любая часть этой книги не может быть воспроизведена в какой бы то ни было форме и какими бы, то ни было средствами без письменного разрешения владельцев авторских прав.

Предисловие ко второму изданию

Первое издание Справочника “Приемники и детекторы излучений” вышло из печати ДМК Пресс в августе 2012 года.

За прошедшее время в открытых источниках появилась новая информация о приборах отечественного производства. В тексте книги выявились опечатки и неточности. Поступили замечания и дополнения читателей, которые автор с благодарностью принимает.

Анализ поступившей информации показывает, что особых революционных инноваций в сфере разработки изделий, опубликованных в книге не произошло. Фундаментальные методы и подходы к их созданию практически не изменились. Остались прежними и основные тенденции в развитии данного направления техники.

Из наиболее важных достижений специальной отечественной микроэлектроники в России можно отметить довольно интенсивное развитие разработки и производства электронно-оптических преобразователей.

Значительно расширились сферы применения приемников оптического и детекторов ионизирующего излучений в различных областях народного хозяйства, в том числе в медицинском оборудовании и военной технике. Но отставание предприятий СНГ от зарубежных производителей, как по номенклатуре, так и по качеству изделий все еще существенно.

Для качественного «скачка» в развитии данного направления техники необходимо внедрение новых технологий в создание и производство изделий, что всегда связано с необходимостью существенного технического переоснащения производства, но очевидно пока затрудняется некоторыми объективными условиями.

«Бумажное» издание Справочника вышло ограниченным тиражом, всего 200 экз. Однако всего через неделю копии книги появились в интернете, и не только на сайте Издателя, но на множестве других сайтов - для платного и бесплатного скачивания. Отдельные главы, и целые разделы Справочника публикуются в интернете, также без ссылки на автора.

Сколько было, и каких тиражей, автору неизвестно, но объявления о продаже книги публикуются до сих пор.

Учитывая сложившуюся ситуацию в 2013 году с разрешения автора, электронные копии Справочника были размещены на сайте журнала «Радиолюбитель» www.radioliga.com, а в 2014 году на сайте «Публичная Библиотека» (Электронные книжные полки Вадима Ершова и К°), www.publ.lib.ru.

В создавшихся условиях смысл издания книги в печатном формате практически отпадает. Наиболее оптимальным, по всей вероятности, является выпуск дополненной редакции Справочника в электронном формате.

Электронная редакция Справочника существенно дополнена. Появилось несколько новых глав, появились сведения о порядке 500 новых наименований приборов. Благодаря помощи читателей стало возможным дополнение книги иллюстративным материалом.

Новые материалы отмечены индексом «д».

Верстка электронной редакции Справочника выполнена в свободном стиле, т.е. она не оптимизирована по объему. Что дает возможность оперативного исправления выявленных неточностей и ошибок, а также оперативного пополнения его новыми материалами.

Материал книги разбит на три отдельных части с общими введением и предисловиями. Содержание и алфавитный Перечень элементов - для каждой части свои .

Автор, 2017 г

Предисловие

В последнее десятилетие в мире наблюдается тенденция к расширению сфер применения различных электронных и полупроводниковых приборов в таких отраслях научно-технической и производственной деятельности, как экология, энергосбережение, системы безопасности и предупреждения, цифровая связь, медицинское приборостроение и т.п.

Значительное место в создании оборудования и систем, используемых в перечисленных отраслях, находят приемники оптического и детекторы ионизирующего излучения, справочная информация о которых необходима разработчикам соответствующего оборудования и аппаратуры.

Первая попытка создания справочника по приемникам оптического излучения была предпринята М.Д. Аксененко и автором данного издания в конце прошлого века. В 1987 году в издательстве «Радио и связь» тиражом 30 тыс. экз. был выпущен «Справочник по приемникам оптического излучения», содержащий сведения о более чем 500 приборах. К 1990 году авторами была практически подготовлена следующая редакция справочника. Но, в связи с безвременным уходом из жизни М.Д. Аксененко, эта редакция не вышла из печати.

В последующие годы было несколько попыток различных авторов по составлению справочников подобного рода. Наиболее удачной можно считать 5-ти томное издание А.М. Юшина по общим названием «Справочник. Оптоэлектронные приборы и их зарубежные аналоги.», в которую вошли, в том числе, и сведения о приборах, включенных в «Справочник по приемникам оптического излучения, 1987 г.». Однако, сведения по фотоприемникам расположены в разных томах, что предоставляет определенные неудобства при использовании материала.

В настоящий справочник включены сведения о более чем 2500 наименований фотоприемников и детекторов излучения общегражданского назначения, которые разрабатывались и выпускались в СССР и СНГ в последние полвека. В настоящую редакцию также внесены сведения и о приборах, рассмотренных в справочнике 1987 года.

При составлении справочника использованы сведения из открытых и доступных автору источников информации, в том числе, нормативно-технической документации, научно-технической литературы, информационных листов, рекламных материалов, публикаций в Интернете и т.п.

В настоящем справочнике содержатся сведения о приемниках ионизирующего излучения (счетчиках Гейгера, сцинтилляторах, детекторах альфа-, бета-, гамма-, и нейтронного излучения), а также о широкой номенклатуре фоточувствительных приборов — фоторезисторов, фотодиодов, фототранзисторов, фототиристоров, фотоприемных устройств, фотоэлементов и фотоумножителей, передающих телевизионных трубок (диссекторов, суперортиконов, видиконов), ЭОПов, болометров, пироэлектрических приемников излучения и тепловых приемных устройств (ТПУ).

В отличие от предыдущего издания из справочника исключены сведения общего характера, что дало возможность поместить данные о более широкой номенклатуре приборов, поскольку концентрация справочных данных в одной книге является целесообразной и оправданной. Предполагается, что читатель знаком с принципом действия приборов и с используемой терминологией.

Основные параметры приборов представлены в форме таблиц, содержащих важнейшие параметры, которые приведены для нормальной температуры окружающей среды ($20 \pm 5^\circ\text{C}$). Для большинства приборов приводятся рисунки внешнего вида, спектральные характеристики и назначение выводов.

Размещенные в настоящем справочнике сведения, будут полезны инженерно-техническим работникам, молодым специалистам и радиолюбителям, занятым разработкой и эксплуатацией аппаратуры, использующей приемники и детекторы излучения.

Автор

Введение

Детекторы и приемники обеспечивают регистрацию широкого спектра электромагнитного излучения, которую принято делить на несколько частей. Условное деление электромагнитного спектра на диапазоны приведено на рис. В1.



Рис. В1. Условное деление электромагнитного спектра на диапазоны.

Регистрация указанных диапазонов электромагнитного спектра обеспечивается широкой номенклатурой детекторов и приемников, которая составляет сотни наименований и неуклонно расширяется. Благодаря успехам современной технологии традиционные дискретные детекторы и приемники превратились в сложные электронные приборы: модули и блоки детектирования, фотоприемные (ФПУ) и тепловые устройства (ТПУ), формирователи видеосигналов и т.п.

Автор настоящей редакции справочника ставил перед собой задачу показать не только разнообразие технических решений, но и эволюцию развития приемников и детекторов излучений. А потому, в справочник помещены сведения о детекторах и приемниках излучений, выпускавшихся в СССР и СНГ за последние 50-60 лет. В него также помещены сведения и о приборах, которые никогда не выпускались «массовым тиражом». У некоторых приборов нет официального наименования, есть только условные названия.

В СССР и СНГ разработкой и производством детекторов и приемников излучений занималось несколько организаций и предприятий, зачастую, принадлежавших к различным ведомствам. В связи с чем квалификационные параметры приборов, термины и форма изложения «рекламных» и справочных материалов могли отличаться друг от друга. Основная задача книги сводилась к тому, чтобы свести накопленную информацию к форме, доступной для понимания подготовленным читателем.

В справочнике принята табличная форма представления параметров. Объем информации по каждому прибору определялся доступной информацией от производителя продукции. Параметры некоторых изделий приводятся в редакции производителя. Для большинства приборов приводятся рисунки внешнего вида и габаритно присоединительные размеры, но для некоторых приборов рисунки внешнего вида отсутствуют, на другие имеются только фотография. Конструкция однотипных приборов могут быть представлены в нескольких вариантах.

Введение

В настоящий справочник включены сведения о более чем 2500 наименований детекторов и приемников общегражданского назначения, охватывающих диапазон электромагнитного спектра от гамма- излучения - до дальнего ИК (теплового).

Справочник состоит из трех самостоятельных частей, каждая из которых объединяет приборы соответствующего функционального назначения.

Часть первая. Посвящается детекторам и счетчикам ионизирующего излучений. В этой главе рассмотрены газоразрядные, сцинтилляционные, полупроводниковые, алмазные и фотодиодные детекторы излучений, а также блоки детектирования на их основе,

Часть вторая. Посвящается полупроводниковым и пироэлектрическим приемникам оптического и теплового излучения. В ней приводятся сведения о фотоприемниках ультрафиолетового и инфракрасного излучений (фоторезисторах и фотодиодах, фототранзисторах и фототиристорах), а также фотоприемных устройствах на их основе. Значительное внимание уделяется фотоприёмникам для ВОЛС и приборам на основе зарядовой связи (ФПЗС). Представлены сведения о тепловых приемниках и ТПУ. Рассмотрены принципы охлаждения чувствительных элементов.

Часть третья. Посвящается фотоэлектронным приемникам оптического излучения. В ней приводятся основные параметры вакуумных фотоэлементов, фотоумножителей, вторично-электронных умножителей, видиконов, диссекторов, суперортиконов и электронно-оптических преобразователей.

Настоящий справочник не является официальным документом, т.к. сведения о параметрах многих изделий, приведенные в книге, получены путем обобщения и экстраполяции значительного массива данных, полученных из различных открытых источников. Эти данные могут служить только для ориентировочной оценки соответствующих параметров изделий до появления у пользователя более достоверных сведений, т.е. нормативных документов изготовителей продукции.

**ЧАСТЬ ПЕРВАЯ
ДЕТЕКТОРЫ
ИОНИЗИРУЮЩЕГО ИЗЛУЧЕНИЯ**

ЧАСТЬ ПЕРВАЯ. ДЕТЕКТОРЫ ИОНИЗИРУЮЩЕГО ИЗЛУЧЕНИЯ

Детекторы ионизирующих излучений это, приборы, предназначены для регистрации альфа- и бета-частиц, рентгеновского и гамма-излучения, нейтронов, протонов и т.п. Они преобразуют энергию ионизирующего излучения в электрический сигнал. Эти приборы служат для определения состава излучения и измерения его интенсивности, а также измерения спектра энергий частиц, изучения процессов взаимодействия быстрых частиц с атомными ядрами и процессов распада нестабильных частиц и т.д.

Детекторы ионизирующего излучения используются: в составе аппаратуры контроля в атомной энергетике, производстве радиоактивных материалов, в системах экологического контроля и системах контроля за хранением и перемещением ядерных материалов, в металлургической, химической промышленности, в экологии, промышленной дефектоскопии и медицинской диагностике, в научной аппаратуре и экспериментальной физике для структурного и спектрального анализа веществ и процессов.

Таблица 1д. Направления основной специализации детекторов.

Тип детектора.	Вид регистрируемого излучения				Спектральный анализ			
	α	β	γ	n	α	β	γ	n
Камеры интегральные газовые ионизационные	+	+	+	+	-	-	-	-
Камеры импульсные газовые ионизационные	+	+	+	+	+	+	-	+
Счетчики пропорциональные газовые ионизационные	+	+	+	+	-	+	+	+
Счетчики Гейгера-Мюллера газовые ионизационные	+	+	+	-	-	-	-	-
Полупроводниковые p-n, твердотельные ионизационные	+	-	-	+	+	-	-	-
Полупроводниковые p-i-n, твердотельные ионизационные	+	+	+	+	+	+	+	+
Кристаллические алмазные	+	+	+	+	+			+
Сцинтиляционные газовые	+	+	-	+	+	+	-	+
Сцинтиляционные жидкостные	-	+	+	+	-	+	+	-
Сцинтиляционные неорганические твердотельные	+	+	+	+	+	+	+	+
Сцинтиляционные органические твердотельные	+	+	+	+	+	+	+	+
Сцинтиляционные пластмассовые твердотельные	+	+	+	+	-	-	-	-
Сцинтиляционные дисперсные твердотельные.	+	+	-	+	-	-	-	-

Детекторы ионизирующих излучений также используются в рентгеновских дифрактометрах, в системах безопасности и охраны различных объектов и т.д.

Физических явлений, позволяющих регистрировать ионизирующее излучение, не так уж много. Тем не менее, к настоящему времени создано множество приборов различных типов, а разработка новых детекторов, регистрирующей аппаратуры и методов обработки экспериментальных данных, по-прежнему, остается актуальной задачей.

Наиболее известными и широко используемыми детекторами ионизирующего излучения являются: газоразрядные и полупроводниковые детекторы, а также кристаллические и сцинтиляционные детекторы. Направления основной специализации детекторов приведены в табл.1д, составленной проф. Давыдовым А.В.

Содержание I части Справочника

Предисловие ко второму изданию	3
Предисловие	4
Введение.....	5
ЧАСТЬ ПЕРВАЯ. ДЕТЕКТОРЫ ИОНИЗИРУЮЩЕГО ИЗЛУЧЕНИЯ	7
Глава 1.1. Газоразрядные детекторы ионизирующих излучений	14
1.1.1д. Конструктивное оформление газоразрядных детекторов	16
1.1.3д. Типовые схемы включения газоразрядных детекторов	19
1.1.4д. Условные обозначения газоразрядных детекторов	21
1.1.1. Детекторы и счетчики альфа-излучения	22
1.1.1.1. Детекторы и счетчики альфа-излучения САТ-3, САТ-4, САТ-5, САТ-7, САТ-8, САТ-9, САТ-10, САТ-11, СИ-9А	22
1.1.1.2. Детекторы и счетчики бета-излучения	25
1.1.2.1. Детекторы и счетчики бета-излучения АС-1, АС-2, СБМ-7, СБМ-8, СБМ-9, СБМ-10, СБМ-11, СБМ-12, СБМ-13, СБМ-14, СБМ-15, СБМ-19, СБМ-20	25
1.1.2.2. Детекторы и счетчики бета-излучения СБМ-20У, СБМ-21, СБМ-24БГ, СБМ-28БГ, СБМ-29БГ, СБМ-30, СБМ-31, СБМ-32, СБМ-32К, СБС-1, СБС-2, СБС-3, СБС-4, СБС-5, СБТ-7, СБТ-9, СБТ-10, СБТ-10А, СБТ-11, СБТ-11А, СБТ-13, СБТ-14.	28
1.1.2.3. Детекторы и счетчики бета-излучения СБТ-15, СБТ-16, СБТ-17, СИ-2Б (ПСТ-40), СИ-3Б, СИ-5Б, СИ-6Б, СИ-7Б, СИ-8Б, СИ-8БМ, СИ-9БГ, СИ-12БГ, СИ-13Б, СИ-14Б	32
1.1.2.4. Детекторы и счетчики бета-излучения СИ-15 БГ, СИ-19БГ, СИ-23БГ, СИ-24БГ, СИ-25БГ, СИ-26БГ, СИ-28БГ1, СИ-28БГ2, СИ-29БГ, МСТ-17, МСТ-18 (СИ-3Б), СИ-1 ГИП, СТС-5, СТС-6, Т-25БФЛ	35
1.1.2.5д. Детекторы и счетчики α, β, γ -излучений Бета-1, Бета-1-1, Бета-2, Бета-2-1, Бета-6, Бета 6-1, Бета 7-1	38
1.1.2.6д. Детекторы и счетчики β, γ -излучений: Бета-5, Бета-5-1, Бета-5Ц, СИ8Б, СИ8Б-1	40
1.1.3. Детекторы и счетчики гамма-излучения	41
1.1.3.1. Детекторы и счетчики гамма-излучения ВС-4, ВС-6, ВС-8, ВС-9, ВС-9Т, СИ-4Г, ВС-11, ВС-13, ВС-14, ВС-16, ГС-4, ГС-6, ГС-7, ГС-8, ГС-9, ГС-10, ГС-11, ГС-12, МС-4, МС-6, МС-7, МС-8, МС-9. МС-11, МС-12, МС-13, МС-14, МС-16, СГС-3, СГС-4, СГС-5	41
1.1.3.2. Детекторы и счетчики гамма-излучения СГС-6, СИ-1Г, СИ-1 ГИП, СИ-4Г, СИ-5Г, СИ-6Г, СИ-7Г, СИ-8Г, СИ-10Г, СИ-11Г, СИ-12Г, СИ-13Г, СИ-14Г, СИ-19Г, СИ-20Г, СИ-21Г, СИ-22Г, СИ-22ГУ, СИ-23Г	46
1.1.3.3. Детекторы и счетчики гамма-излучения СИ-24Г, СИ-25Г, СИ-31Г, СИ-33Г, СИ-34Г. СИ-37Г, СИ-38Г, СИ-39Г, СИ-40Г, ЛТС-1, СИ-1БГ, СИ-2БГ, СИ-3БГ, СИ-10БГ, СИ-11БГ, СИ-21БГ, СИ-22БГ, СТС-1, СТС-2, СТС-3, СТС-8, СГМ11, СГМ18, СГМ19	49

Содержание I части Справочника

1.1.3.4д. Детекторы и счетчики гамма-излучения Бета-1М, Бета-1М-1, Бета-2М, Бета-2М-1, Бета-5М, Бета-5М-1, Бета-6М, Бета-6М-1, Бета-7-1, Бета-7М-1	55
1.1.3.5д. Детекторы и счетчики гамма-излучения Гамма-1-1, Гамма-2-1, Гамма-3-1, Гамма-4, Гамма-5, Гамма-6, Гамма-6-1, Гамма-7, Гамма-7Ц, Гамма-8, Гамма-8Ц , Гамма-9/13, Гамма-9/18, Гамма-10, Гамма-11, Гамма-11Ц, Гамма-12, Гамма-13	57
1.1.4. Детекторы нейтронов	59
1.1.4.1. Детекторы нейтронов СИ-10Н, СИ-13Н, СИ-19Н, СНМ-3, СНМ-5, СНМО-5, СНМ-8, СНМ-9, СНМ-10, СНМ-11, СНМ-12, СНМ-13, СНМ-14, СНМ-15, СНМ-16, СНМ-17	59
1.1.4.2. Детекторы нейтронов СНМ-18, СНМ-18-1, СНМ-19, СНМ-20, СНМ-32, СНМ-33, СНМ-42, СНМ-50, СНМ-51, СНМ-52, СНМ-53, СНМ-55, СНМ-56, СНМ-57, СНМ-58, СНМ-59, СНМ-60, СНМ-61, СНМ-66, СНМ-66-2, СНМ-66-3, СНМ-67, СНМ-68, СНМ-72, СНМ-73, СНМ-76, СНМ-76-1, СНМ-77, СНМ-79, СНМ-80, СН-01, СН-03, СН-04	63
1.1.4.3д. Счетчики нейтронов пропорциональные Гелий-13/120-8,0/ОЦ , Гелий-13/180-6,3Л, Гелий-18/80-3,0/Л, Гелий-18/100-3,0/БЦ, Гелий-18/140-2,8/БЦ (Гелий-4/2,8), Гелий-18/140-8,0/БЦ (Гелий-4), Гелий-18/180-8,0/БЦ (Гелий-4-1), Гелий-18/190-8,0/ОЦ, Гелий-30/150-5,0/ОЦ, Гелий-30/220-4,25/Л, Гелий-30/250-3,0/БЦ, Гелий-30/330-5,0/Л, Гелий-30/360-4,0/БЦ, Гелий-30/530-4,0/БЦ(Гелий-2-1), Гелий-30/1020-2,75/ЛЦ, Гелий-30/1030-4,0/БЦ (Гелий-2), Гелий-50/430-3,25/К	67
1.1.4.4д. Счетчики медленных нейтронов СНК-18/120-9,0/ОМ, СНК-18/130-5,0/Л, СНК-18/210-9,0/ОМ, СНК-25/80-5,0/Л, СНК-25/160-5,0/Л, СНК-30/120-4,6/Л, СНК-30/130-4,6/ОМ, СНК-30/130-5,0/Л, СНК-30/170-4,6/ПУ, СНК-30/200-4,6/ОМЦ, СНК-30/220-4,6/ПУ, СНК-30/260-4,6/Л, СНК-30/260-4,6/ОМ, СНК-30/300-4,6/Л, СНК-30/310-4,6/ОМ, СНК-32/120-4,0/Л, СНК-32/130-4,0/ОМ, СНК-32/260-4,0/Л, СНК-32/200-4,0/ОМЦ, СНК-32/260-4,0/ОМ, СНК-32/300-4,0/Л, СНК-32/310-4,0/ОМ, СНК-38/240-4,0/ПУ, СНК-50/90-4,0/Л, СНК-50/240-4,0/Л, СНК-50/300-4,0/Л	70
1.1.4.5д. Счетчики медленных нейтронов с повышенной термоустойчивостью: СНК-Т-30/260-4,6/Л, СНК-Т-32/120-4,0/Л, СНК-Т-32/260-4,0/Л, СНК-Т-50/240-4,0/Л, СНК-Т-50/300-4,0/Л, СНМ56М, СНМ67Э, Гелий-Т-13/180-6,3/Л	75
1.1.5. Газоразрядные счетчики фотонов	77
1.1.5.1. Газоразрядные счетчики фотонов СИ1Ф, СИ4Ф, СИ5Ф, СИ6Ф, СФК-1, СИ-45Ф	77
1.1.6. Детекторы рентгеновского излучения	79
1.1.6.1. Детекторы рентгеновского излучения МСТР-3, МСТР-4, МСТР-5, СИ2Р, СИ3Р, СИ4Р, СИ5Р, СИ2П, СИ6Р, СРМ-1, СРТ-4, СРТ-5, СИ9Р, СИ10Р, СИ-11Р, СИ-12Р, СИ-13Р, СРМ19, СРМ20	79
1.1.6.2. Детекторы рентгеновского излучения АГ-1, АГ-2, АГ-3, АГ-4, АГ-5, АГ-6, СИ-1-13Р, СИ-2Р, СИ-3Р, СИ-4Р, СИ-5Р, СИ-6Р	81
1.1.6.2д. Вакуумный рентгеновский датчик СДИ28	82
1.1.6.3д. Детекторы рентгеновские позиционно-чувствительные ЛКДО-1, ЛКДО-2, ИКД-1, ИКДО-1 и КОМБИ-1	83
1.1.6.4д. Блоки детектирования рентгеновского излучения БДР-2, БДР-2-01, БДР-3, БДР-4, БДР-5	84
1.1.7. Ионизационные камеры	86
1.1.7.1. Ионизационные камеры КНК3, КНК4, КНК15, КНК15-1, КНК53М, КНК56, КНК56М, КНК57М	86
1.1.7.2. Ионизационные камеры КНТ-7, КНТ-8, КНТ-9, КНТ-10, КНТ-31, КНТ31-1, КНТ-54, КНТ-54-1	87

Содержание I части Справочника

1.1.8. Блоки детектирования на основе газоразрядных счетчиков	88
1.1.8.1. Блоки детектирования гамма-излучения БДМГ-04-00, БДМГ-04-01, БДМГ-04-02, БДМГ-04-03 и БДМГ-04-04	88
1.1.8.2. Блоки детектирования гамма излучения БДМГ-101, БДМГ-101М	90
1.1.8.3. Интеллектуальные блоки детектирования нейтронного излучения БДКН-04, БДКН-96, БДМН-96	91
Глава 1.2. Сцинтиляционные детекторы излучений	92
1.2.1. Сцинтиляторы	94
1.2.1.1. Материалы, используемые для изготовления сцинтиляторов	95
1.2.1.2. Конструктивное оформление сцинтиляторов	97
1.2.1.3. Типовые конструкции контейнеров для упаковки сцинтиляторов	98
1.2.1.4. Детекторы ионизирующих излучений сцинтиляционные СДН.64, СДН.69, СДН.83	100
1.2.1.5. Детекторы ионизирующего излучения сцинтиляционные пластмассовые ПС-Н1, ПС-Н2, ПС-Н3	101
1.2.1.6д. Блочные полистирольные сцинтиляторы ИФВЭ СЦ-201, ИФВЭ СЦ-201, ИФВЭ СЦ-202, ИФВЭ СЦ-203, ИФВЭ СЦ-204, ИФВЭ СЦ-205, ИФВЭ СЦ-206, ИФВЭ СЦ-207, ИФВЭ СЦ-221, ИФВЭ СЦ-222, ИФВЭ СЦ-223, ИФВЭ СЦ-231	102
1.2.2. Сцинтиляционные блоки детектирования	103
1.2.2.1. Сцинтиблоки на основе фотоэлектронных умножителей	103
1.2.2.2. Сцинтиблоки на основе кремниевых фотодиодов	105
1.2.3 Интегрированные сцинтиляционные блоки детектирования	107
1.2.3.1 Блоки детектирования альфа излучения БДПА-01, БДЗА-96, БДЗА-96м, БДЗА-96с, БДЗА-96т, БДЗА-100Б, БДЗА-96б	107
1.2.3.2. Сцинтиляционные блоки детектирования бета-излучения БДС-Б, БДС-Б-150	109
1.2.3.3. Сцинтиляционные блоки детектирования гамма-излучения БДС-Г, БДС-Г-100x100, БДС-Г-150x150	110
1.2.3.4. Блоки детектирования импульсного нейтронного и гамма-излучения типа ССДИ8М, ССДИ8М-01, ССДИ29, СЧДИ1М	111
1.2.3.5 Блок детектирования рентгеновского излучения БДКР-01	112
1.2.3.6. Блок детектирования рентгеновского излучения БДС-Р5	113
1.2.3.7д. Детекторы импульсных излучений ССДИ8М	114
1.2.3.8д. Двухканальный высокочувствительный сцинтиляционный детектор ССДИ34	115
1.2.3.9д. Высокочувствительный сцинтиляционный детектор ССДИ35	116
1.2.3.10д. Трехканальный высокочувствительный сцинтиляционный детектор ССДИ36	117
1.2.3.11д. Малогабаритный высокочувствительный сцинтиляционный детектор ССДИ37	118
1.2.3.12д. Детекторы высокочувствительные быстродействующие ССДИ38	119
1.2.3.13д. Низкочувствительный сцинтиляционный детектор ССДИ39	120
1.2.3.14д. Детектор сцинтиляционный ССДИ40	121
1.2.3.15д. Субнаносекундный черенковский детектор СЧДИ3	122

Глава 1.3. Полупроводниковые детекторы излучений.....	123
1.3.1д. Микросхема зарядочувствительного усилителя К1432УП1, К1432УП1Б	125
1.3.1. Кремниевые полупроводниковые детекторы	127
1.3.1.1 Поверхностно-барьерные детекторы ДКПс-25, ДКПс-35, ДКПс-50, ДКПс-100, ДКПс-200, ДКПс-350, ДКПс-500	127
1.3.1.2 Поверхностно-барьерные детекторы ДКПсд-20, ДКПсд-50, ДКПсд-125	129
1.3.1.3 Детекторы кремниевые поверхностью обедненные ДКПО-dE/dx-25, ДКПО-dE/dx-50, ДКПО-dE/dx-125, ДКПО-dE/dx-200	130
1.3.1.4 Детекторы кремниевые диффузионно-дрейфовые ДКДПс-25, ДКДПс-50, ДКДПс-100, ДКДПс-125, ДКДПс-200, ДКДПс-250, ДКДПс-350, ДКДПс-500	131
1.3.1.5. Детекторы кремниевые диффузионно-дрейфовые ДКДПсд-20, ДКДПсд-50, ДКДПсд-125	132
1.3.1.6 Диффузионно-дрейфовые детекторы матричного типа МДКД-П-10, МДКД-П-20, МДКД-П-30, МДКД-П-40	133
1.3.1.7 Диффузионно-дрейфовые полностью обедненные детекторы ДКПО-Д-0,5-50, ДКПО-Д-1,0-50, ДКПО-Д-1,5-50, ДКПО-Д-2,0-50, ДКПО-Д-0,5-100, ДКПО-Д-1,0-100, ДКПО-Д-1,5-100, ДКПО-Д-2,0-100, ДКПО-Д-0,5-200, ДКПО-Д-1,0-200, ДКПО-Д-1,5-200, ДКПО-Д-2,0-200	135
1.3.1.8. Диффузионно-дрейфовые спектрометрические детекторы ДДС-5/2, ДДС-8/2, ДДС-8/6, ДДС-12/2, ДДС-18/2, ДДС-12/10, ДДС-18/10	136
1.3.1.9. Детекторы кремниевые спектрометрические альфа-излучения ПДПА-1К, ПДПА-1К5, ПДПА-1К1, ПДПА-1К2, ПДПА-1К3, ПДПА-1К4	137
1.3.1.10. Диффузионно-дрейфовые регистрирующих детекторы ДДР-5/2, ДДР-8/2, ДДР-12/2, ДДР-18/2	138
1.3.1.11. Диффузионно-дрейфовые детекторы ДКРС-2,5/3, ДКРС-4/3, ДКРС-6/3, ДКРС-9/3	139
1.3.1.12. Кремниевые детекторы Д1А, Д1В, Д4.5АМ, Д4.5А, Д4.5В, Д10А, Д10В, Д30А, Д30В	140
1.3.1.13. Детектор кремниевый гамма-излучения типа ДКГ	141
1.3.1.14. Детектор кремниевый ионно-имплантированный ДГб-0,25	142
1.3.1.15. Миниатюрный диффузионно-дрейфовый детектор типа ДКД-М	142
1.3.1.16. Детектор кремниевый ДКД-Пм-2,5-3	143
1.3.1.17. Кремниевые дозиметры СКД1, СКД1-01, СКД1-02	143
1.3.1.18. Детекторы нейтронного и гамма-излучения типа СППД1, СППД1-01, СППД3, СППД3-01, СППД5	144
1.3.1.19. Детектор полупроводниковый рентгеновского излучения СППД11, СППД11-01, СППД11-02, СППД11-03, СППД11-04	144
1.3.1.20. Детекторы полупроводниковые рентгеновского излучения ПРД-Д-01, ПРД-Д-02, ПРД-Д-04	145
1.3.1.21д. Кремниевый блок детектирования с термоэлектрическим охлаждением БДЕР-КИ-11К	146

Содержание I части Справочника

1.3.2 . Полупроводниковые детекторы излучения на основе германия	148
1.3.2.1. Германиевые детекторы ДГД-5, ДГДК-15, ДГДК-20, ДГДК-25, ДГДК-30, ДГДК-35, ДГДК-40, ДГДК-50, ДГДК-60, ДГДК-70, ДГДК-80, ДГДК-90	149
1.3.2.2. Германиевые радиационные детекторы ДГР-11, ДГР-12, ДГР-22	150
1.3.2.3. Германиевые детекторы ДГР-3-1, ДГР-3-2, ДГР-3-3, ДГР-5-1, ДГР-5-2, ДГР-5-8	151
1.3.2.4. Блоки детектирования рентгеновского излучения БДР1-20, БДР2-20, БДР1-50, БДР2-50, БДР1-125, БДР2-125, БДР1-200, БДР2-200	152
1.3.2.5д. Блок детектирования рентгеновского излучения БДЕР-Г-7К	153
1.3.2.6д. Блок детектирования гамма излучения БДЕГ	155
1.3.3. Полупроводниковые детекторы излучения на основе других п/п материалов	157
1.3.3.1 Датчики рентгеновского и гамма-излучений типа РГД-0, РГД-1, РГД-2 и ГД-Г1	157
1.3.3.2. Детекторы полупроводниковые СППД12, СППД14	159
1.3.3.3д. Детекторы полупроводниковые 2Х701А-1, 2Х701Б-1, 2Х701В-1	160
1.3.3.4д. Детектор отраженных электронов ДОЭ-4	161
Глава 1.4. Детекторы ионизирующего излучения на основе алмаза	162
1.4.1. Спектрометрический алмазный детектор ионизирующего излучения АДИИ-1	164
1.4.2. Алмазный детектор ионизирующего излучения АДИИ-2	165
1.4.3. Алмазный детектор ионизирующего излучения АДИИ-3	166
1.4.4. Алмазные детекторы ионизирующего излучения АДИИ-3.1, АДИИ-3.2, АДИИ-3.3	167
1.4.4д. Химически устойчивые алмазные детекторы ионизирующего излучения ADII-2R	168
1.4.5. Детектор алмазный дозиметрический ПДПС-1К	169
1.4.5д. Водонепроницаемый алмазный детектор ТМ60003	170
1.4.6. Алмазные детекторы ионизирующего излучения САД1, САД1-01	171
Глава 1.5. Датчики и приемники излучения на основе фотодиодов	172
1.5.1. Фотодиоды ФДУК-100УВ, ФДУК-100УВZr/Sic, ФДУК-1УВСК, ФДУК-8УВСК [Е от 1,13 до 60000 эВ]	173
1.5.2. Модули счетчика фотонов СРТА PC1, СРТА PC9, СРТА PC21	174
1.5.3. Блок детектирования АВ-5	175
ПРИЛОЖЕНИЕ 1 Перечень изделий, сведения о которых размещены в I части Справочника	176

Глава 1.1. Газоразрядные детекторы ионизирующих излучений

Газоразрядные детекторы ионизирующих излучений являются важнейшими и наиболее распространенными элементами аппаратуры для радиационных измерений.

Газоразрядные детекторы просты по конструкции, компактны, удобны в работе, обеспечивают надежные измерения различных видов радиации в широком диапазоне рабочих температур при относительно невысоких требованиях к стабильности напряжения питания.

Области применения газоразрядных детекторов широки и разнообразны. Они используются в системах управления и защиты ядерных энергетических установок, системах противоатомной защиты промышленных и военных объектов, приборах

радиационного контроля персонала атомных станций, предприятий атомной промышленности и населения страны, а также в геофизической аппаратуре для разведки полезных ископаемых, приборах для космических исследований и радиационного мониторинга окружающей среды и др.

Газоразрядные детекторы могут работать в следующих основных режимах:

- пропорционального газового усиления;
- ограниченной пропорциональности;
- самостоятельного газового разряда.

Режим работы газоразрядного детектора определяется конструкцией прибора, условиями и режимами его эксплуатации.

Особенности эксплуатации газоразрядных детекторов.

Особенности конструктивного исполнения газоразрядных детекторов ионизирующего излучения, представляющих собой высоковольтный электровакуумный прибор, определяют особенности их эксплуатации и требуют осторожного обращения при установке их в аппаратуру.

Следует оберегать приборы от ударов и механических повреждений. Особенно это относится к приборам с входными окнами из слюды. До слюдяного окна нельзя дотрагиваться руками и его нужно оберегать от царапин и проколов.

Не допускается попадания на приборы всякого рода загрязнений, ведущих к ухудшению изоляционных свойств. Нельзя изгибать вывода приборов ближе, чем 6 мм от корпуса или изолятора.

Несоблюдение полярности включения прибора может привести к выходу последнего из строя, даже если это напряжение подавалось кратковременно.

Газоразрядные детекторы с органической гасящей добавкой особенно чувствительны к перегрузкам, как по напряжению, так и по скорости счета. Превышение рабочего напряжения и максимально допустимой скорости счета приводят к резкому сокращению срока службы прибора.

Эксплуатация всех типов газоразрядных детекторов при двух и более предельно допустимых значениях электрических и радиометрических параметров категорически не допускается!

1.1.1д. Конструктивное оформление газоразрядных детекторов

Конструкции газоразрядных детекторов представляет собой хорошо вакуумированный герметичный баллон с двумя (или несколькими) электродами в который может быть введена газовая смесь, состоящая, в основном, из легко ионизируемых неона и аргона. Баллон может быть стеклянным, металлическим и др. Для регистрации радиоактивности жидкости или газа используются, т.н. проточными счетчики. Баллон счетчика, реагирующего на жесткое β - и γ -излучение, имеет обычно форму цилиндра, изготовленного из нержавеющей стали с толщиной стенки от 0,05...0,3 мм, в зависимости от назначения прибора.

Обычно детекторы воспринимают излучение всей своей поверхностью, но существуют и такие, у которых для этого в баллоне предусмотрено специальное «окно». Входное окно детектора, чувствительного к α - и мягкому β -излучению выполняют из слюды или майлара, толщиной 3...17 мкм. Окно рентгеновского детектора изготавливают из бериллия, а ультрафиолетового - из кварцевого стекла. Схематическое устройство газоразрядных детекторов приведено на рис. 1.1. Внешний вид приборов приведен на рис. 1.1а.

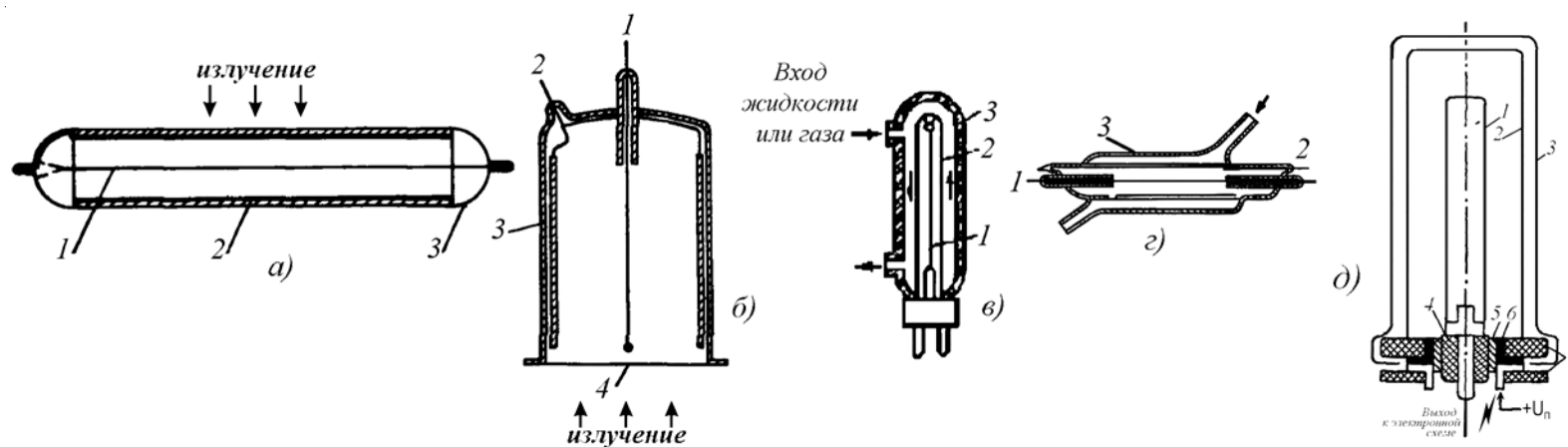


Рис. I. 1. Устройство газоразрядных детекторов: а-цилиндрического, б-торцевого, в и г- проточного, д- ионизационной камеры. Обозначения: 1 — анод, 2 — катод (металлизированный слой), 3 — корпус (баллон), 4 — окно. Обозначения для импульсной ионизационной камеры: 1 - центральный (собирающий) электрод; 2 - высоковольтный (потенциальный) электрод; 3 - электростатический экран; 4 и 6 - изоляторы; 5 - металлическое кольцо.

Глава 1.1. Газоразрядные детекторы ионизирующих излучений

Рис. 1.1а. Внешний вид некоторых типов газоразрядных детекторов



Детекторы в стеклянном корпусе



Детекторы в металлическом корпусе



Торцевые детекторы: а - в стеклянном; б - в металлическом корпусе.

1.1.2д. Типовая вольт-амперная характеристика газоразрядного детектора

Принцип действия газоразрядного детектора определяется его вольт-амперной характеристикой (ВАХ), которая показывает зависимость количества регистрируемых электронно-ионных пар для альфа- и бета-частиц от напряжения, приложенного к электродам детектора.

Из настоящей ВАХ следует, что кривая для альфа-частиц лежит выше кривой для бета-частиц, т.к. альфа-частицы создают большую начальную ионизацию, чем бета-частицы. Альфа-частицы образуют больше электронно-ионных пар, так как имеют намного большую массу, чем бета-частицы.

Каждая кривая ВАХ условно делится на шесть характерных областей.

В области I происходят два конкурирующих процесса: сорбирование зарядов на электродах и рекомбинация ионов в газовом объеме. При увеличении поля скорость ионов увеличивается, что уменьшает вероятность рекомбинации, растет количество собранных зарядов и, соответственно, амплитуда сигналов. Эта область называется областью рекомбинации и для детектирования не используется.

При дальнейшем увеличении напряжения амплитуда сигнала достигает насыщения и практически перестает расти с ростом приложенного напряжения.

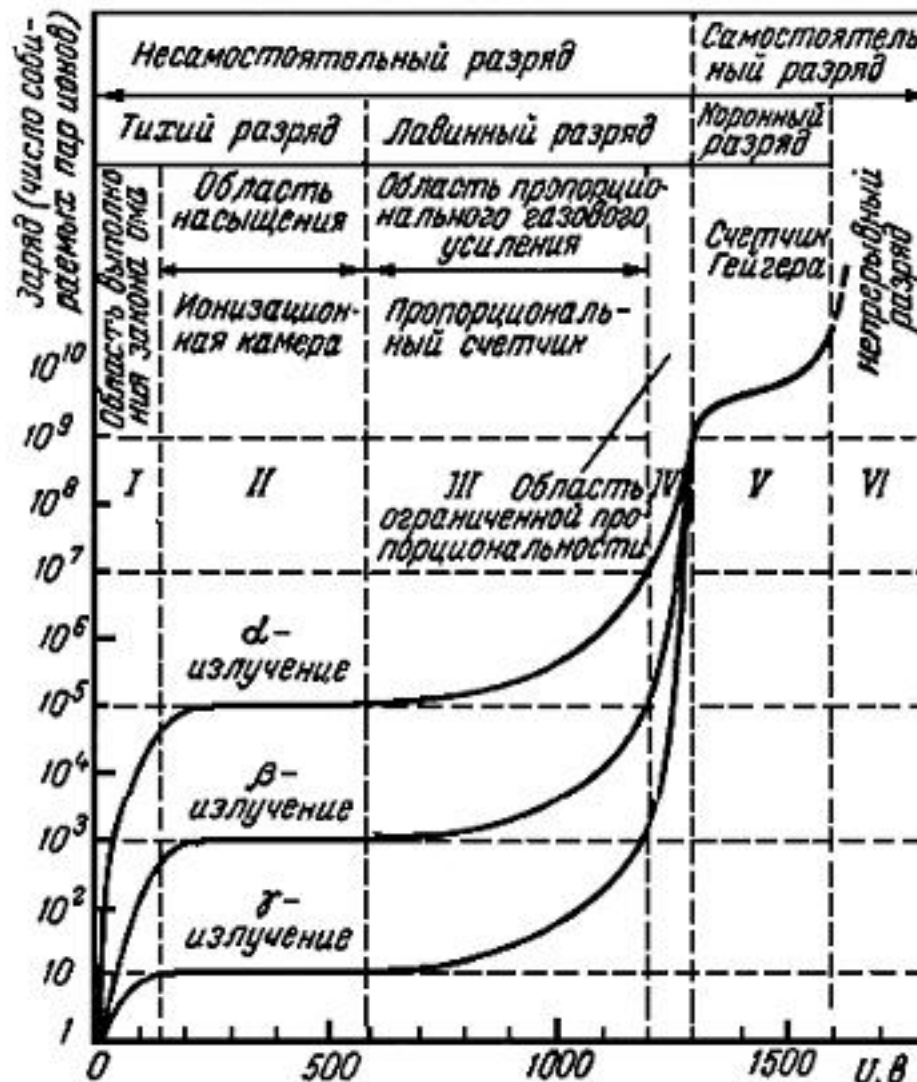
На участке II практически все заряды, образованные в детекторе, собираются на электродах. Этот участок кривой называют областью насыщения. В этой области работают, т.н. ионизационные камеры.

По мере дальнейшего повышения напряжения детектор начинает функционировать в области III. Электроны, образованные в результате первичной ионизации, приобретают достаточную энергию, чтобы в свою очередь вызвать ионизацию атомов или молекул газа. Происходит так называемое газовое усиление. Коэффициент газового усиления варьируется от 10^3 до 10^4 . Область III называется пропорциональной, т.к. коэффициент газового усиления пропорционален приложенному напряжению. Это область работы пропорциональных счетчиков (и камер).

При дальнейшем повышении напряжения коэффициент газового усиления перестает линейно зависеть от напряжения и характеристика смещается в область IV - область ограниченной пропорциональности.

На участке V газовое усиление возрастает настолько, что собираемый заряд не зависит от первичной ионизации. Это, так называемая область Гейгера - Мюллера. Однако разряд, как и в предыдущих областях, остается вынужденным, т.е. начинается после прохождения ионизирующей частицы. Это область работы счетчиков Гейгера-Мюллера.

Дальнейшее увеличение напряжения приводит к непрерывному разряду, т.е. смещению характеристики в **область VI**, поэтому эта область для регистрации частиц не используется.



1.1.3д. Типовые схемы включения газоразрядных детекторов

При использовании детекторов излучения, при конструировании и в производстве радиометрической аппаратуры используются различные схемы включения приборов. Выбор схемы включения зависит от назначения конкретного оборудования. В радиолюбительской практике широкое распространение получила схема, приведенная на рис. 1.2. Другие варианты схем включения показаны на рис. 1.2д.

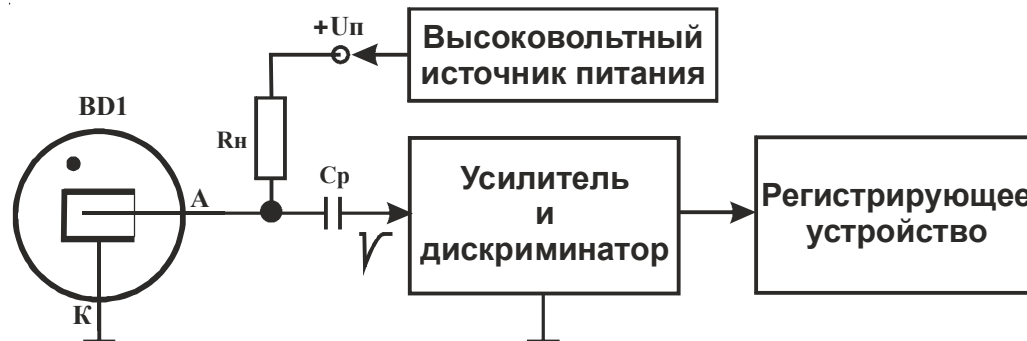


Рис. 1.2. Типовая схема включения газоразрядного детектора.

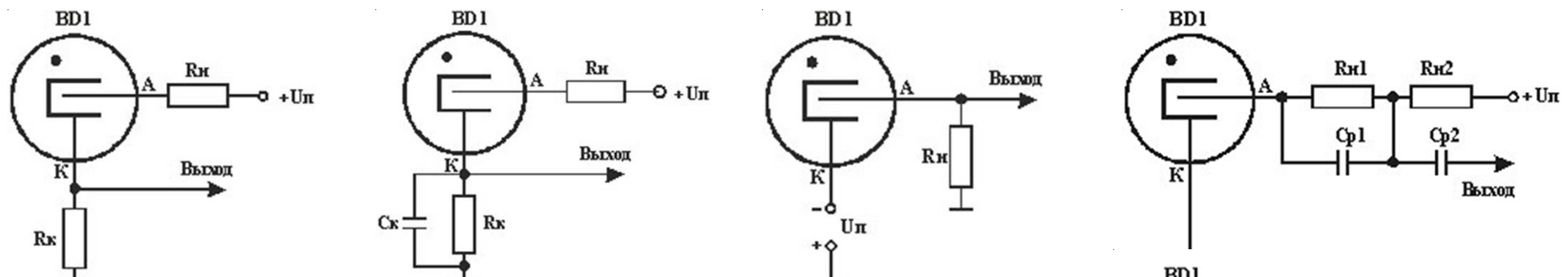
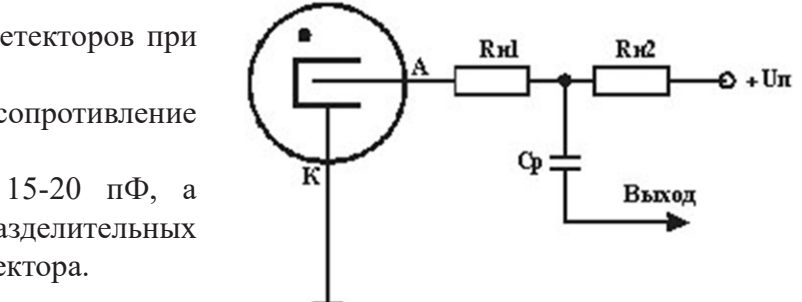


Рис. 1.2д. Наиболее распространенные схемы включения газоразрядных детекторов при питании от источника постоянного тока.

Значение сопротивления R_h галогеновых счётчиков 5-10 МОм, а входное сопротивление измерительной схемы может быть 1-2 МОм.

Собственные и монтажные ёмкости детекторов в среднем составляют 15-20 пФ, а разделительные ёмкости могут быть до 100 и более пФ. Рабочее напряжение разделительных конденсаторов должно превышать минимум в 1,2 раза рабочее напряжение детектора.



Глава 1.1. Газоразрядные детекторы ионизирующих излучений

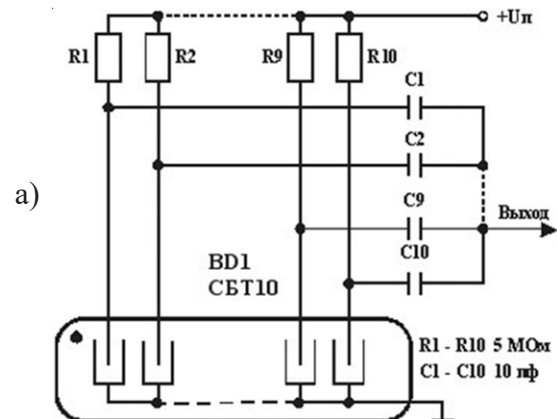


Рис. 1.2д1. Схема включения (а) и внешний вид (б) многосекционного (многоэлектродного) детектора.

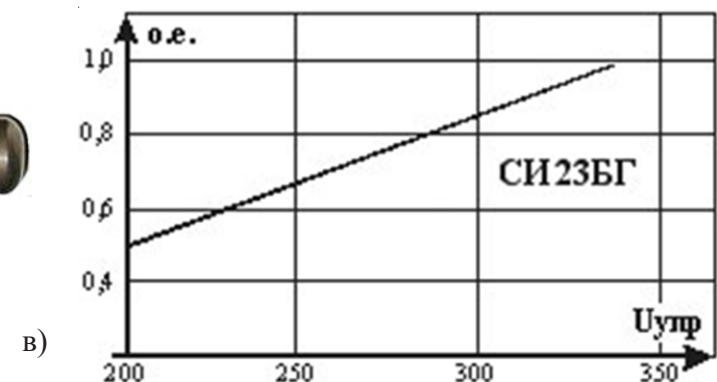
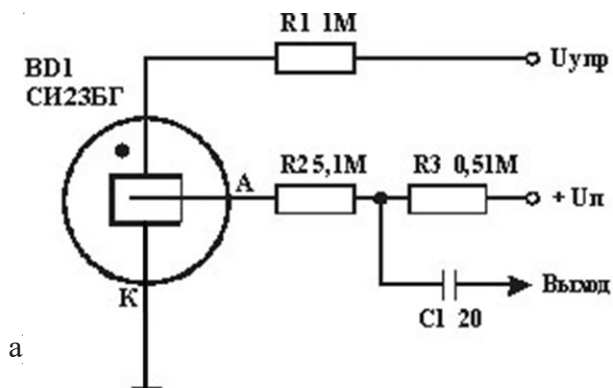


Рис. 1.2д2. Схема включения (а) и внешний вид (б) трехсекционного счетчика.

в- зависимость его радиационной чувствительности от напряжения на управляемом электроде.

1.1.4д. Условные обозначения газоразрядных детекторов

Обозначение газоразрядных детекторов и счетчиков старых типов

Для детекторов излучений старых типов применялись два варианта обозначений.

В первом варианте (приборы АС, ВС, ГС, СТС, МСТ, МСТР) система обозначений состояла из двух основных элементов.

Первый элемент — буквы, определяющие материал анода:

А — алюминий; \hat{A} — вольфрам; Г — графит; СТ — сталь; М — медь; С — самогасящийся счетчик; Т — торцевой; Р - рентгеновского излучения.

Второй элемент — число, обозначающее порядковый номер прибора,

Условное обозначение вновь разрабатываемых газоразрядных детекторов и счетчиков

Условное обозначение вновь разрабатываемых отечественных детекторов включает буквы **СИ** (счетчик импульсов), порядковый номер разработки и букву, обозначающую вид излучения; **А** - α - излучение, **Б** - β -излучение, **Г** - γ -излучение, **Р** - рентгеновское излучение, **Ф** - фотонное, **Н** - нейтронное.

При регистрации двух видов излучений детектор имеет две буквы после порядкового номера разработки, например СИ 23БГ.

Первые буквы детекторов ранних разработок означают следующее: **СБМ** – ГМ-счетчики жесткого β - и γ -излучения модернизированные, **СБТ** - счетчики мягкого β -излучения, торцевые; **СНМ** — счетчики медленных нейтронов; **СГМ** — счетчики для регистрации жесткого γ -излучения, например, космического излучения, модернизированные; **ВС** высоковольтные высокоэффективные ГМ-счетчики γ -излучения; **САТ** - счетчики α -излучения торцевые.

В таблицах 1.1 – 1.10 использованы следующие обозначения:

L- длина, мм; **L_q** - чувствительная часть длины детектора, мм; **\varnothing** - диаметр, мм; **ρ_o** - плотность чувствительной части окна, $\text{мг}/\text{см}^2$; **d** — толщина чувствительной части окна, мкм; **U_d** - рабочее напряжение, В; **U_n** - напряжение начала счета, В; **$U_{з-к}$** - напряжение зажигания короны, В; **ϵ** - эффективность, %; **d_H** - чувствительность к медленным нейtronам, имп. $\text{см}^2/\text{n}$; ; **N**- скорость счета, имп./мин; **N_{max}** - максимальная скорость счета, имп./мин; **N_f** - уровень натурального фона, имп./мин; **D_{max}** - максимальная мощность дозы (кратковременная), Р/ч; **D_o** - максимальное фоновое облучение; **$D\alpha$** — максимальная рабочая интенсивность α -облучения на площадь окна, част./мин.

Во втором варианте (приборы САТ, СБМ, СБТ, СТС, СНМ, СРМ, СФУ, СФК) система обозначений состояла также из двух основных элементов.

Первый элемент — три буквы, обозначающие: первая — С (счетчик), вторая — определяющая вид регистрируемого излучения (как и в новой системе обозначений) и третья — определяющая конструктивные особенности прибора: М — металлический, С — стеклянный, Т — торцевой.

Второй элемент — число, обозначающее порядковый номер типа прибора.

К группе газоразрядных детекторов условно относят также интегральные импульсные камеры, применяемые в системах радиационного контроля для регистрации γ -излучения. Условное обозначение камер - **КГ** или **КНК**. Импульсные ионизационные камеры находят применение в тех экспериментах, где нужно определить ионизацию отдельных частиц или ионизацию, создаваемую потоком частиц. Например, в космических экспериментах, в которых ряды импульсных ионизационных камер чередуются со слоями поглотителя.

Конструкция и форма ионизационных камер обычно определяется задачами эксперимента. Используются плоские, цилиндрические и сферические ионизационные камеры.

Основные параметры наиболее известных типов газоразрядных детекторов и счетчиков излучения приведены в табл. 1.1. - 1.10.

Глава 1.1. Газоразрядные детекторы ионизирующих излучений

1.1.1. Детекторы и счетчики альфа-излучения

1.1.1.1. Детекторы и счетчики альфа-излучения CAT-3, CAT-4, CAT-5, CAT-7, CAT-8, CAT-9, CAT-10, CAT-11, СИ-9А

Основные параметры детекторов и счетчиков альфа-излучения приводятся в табл. 1.1. Внешний вид приборов приводится на рис.1.3.

Таблица 1.1. Основные параметры счетчиков и детекторов альфа-излучения при температуре $20\pm 5^{\circ}\text{C}$

Тип счетчика	Особенности конструкции, катод, назначение	Напряжение зажигания короны, В	Протяженность плато счетной характеристики, В, не менее	Наклон плато счетной характеристики, %/В	Рекомендуемое рабочее напряжение, В	Дозиметрические характеристики	Срок службы, импульсов, не менее	Диапазон рабочих температур, $^{\circ}\text{C}$	Габаритные размеры, мм, [масса, г]	№ рис.
CAT-3	Торцевой, пропорциональный, металлический. Регистрация α -излучений	500	300	-	800	-	-	-		1-001
CAT-4				-	800	-	-	-		н/д
CAT-5				-	1600	-	-	-		
CAT-7	Торцевой, коронный, стеклянный. Катод-алюминий, нанесенный на внутреннюю поверхность колбы. Регистрация α -излучения на фоне γ - и β -излучений.	400	60	-	380	$\varepsilon=20$ (для плоского α -источника с энергией 5,15 МэВ). $N_{\phi}=0,125$ $P_{\phi}=1*105$ мкР/с	200 ч	-40...+50	$\varnothing 42 \times 70$ [40 г]	1-002
CAT-8	Торцевой, коронный, металлический. Катод-хромоникелевая сталь. Регистрация α -излучения на фоне γ и β -излучений с энергией от 2 МэВ.	500	300	0,03	700	$N_{\phi}=0,5$ $P_{\phi}=50$ Р/ч	1000 ч	-40...+70	$\varnothing 20 \times 48$ [9 г]	1-003

Глава 1.1. Газоразрядные детекторы ионизирующих излучений

Окончание таблицы 1.1. Основные параметры счетчиков и детекторов альфа-излучения при температуре $20\pm 5^{\circ}\text{C}$

Тип счетчика	Особенности конструкции, катод, назначение	Напряжение зажигания короны, В	Протяженность плато счетной характеристики, В, не менее	Наклон плато счетной характеристики, %/В	Рекомендуемое рабочее напряжение, В	Дозиметрические характеристики	Срок службы, импульсов, не менее	Диапазон рабочих температур, $^{\circ}\text{C}$	Габаритные размеры, мм, [масса, г]	№ рис.
CAT-9	Торцевой, коронный, металлический. Катод-хромоникелевая сталь.	(820)	150	0,1	900	$\varepsilon=20$ $N_{\phi}=0,5$ $P_{\phi}=100 \text{ Р/ч}$	1000 ч	-50...+50	$\varnothing 50 \times 68$ [30 г]	1-004
CAT-10	Торцевой, коронный, металлический. Катод-хромоникелевая сталь. Регистрация α -излучений	500-1000	60	-	450	$\varepsilon=20$ $N_{\phi}=0,125$ $P_{\phi}=1 \times 10^4$ мкР/с	200 ч	-40...+50	$\varnothing 42 \times 46,5$ 30 г.	1-005 и 1-006
CAT-11	Торцевой, коронный, металлический. Катод-хромоникелевая сталь. Минимальная энергия регистрируемых α -частиц от 2 МэВ.	500-1000	300	-	500	$P_{\phi}=50 \text{ Р/ч}$	1000 ч	-70...+250	$\varnothing 13,3 \times 63$ [10 г]	1-001
СИ-9А	Торцевой, коронный, стеклянный. Катод-алюминий, нанесенный на внутреннюю поверхность колбы. Регистрация α -излучений	400	150	-	330-390	$\varepsilon=24-32$ $N=1 \times 10^3$ $P_{\phi}=1 \times 10^4$ мкР/с	1250 ч	-40...+50	$\varnothing 44 \times 70$ [37 г]	1-001

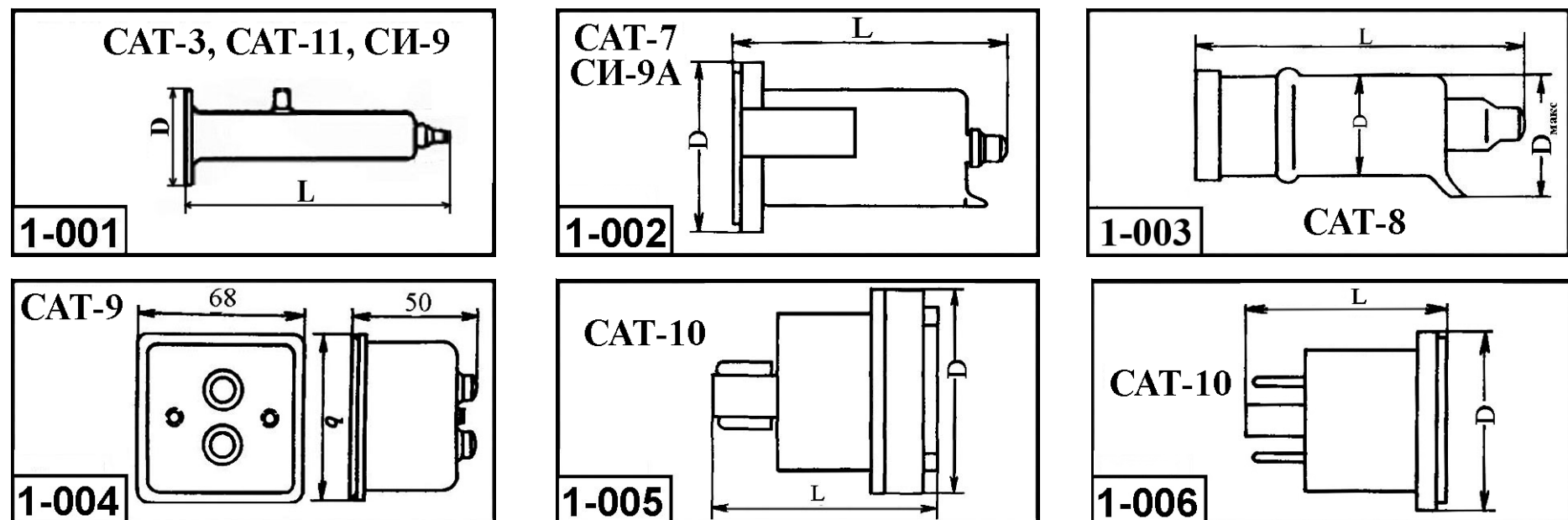


Рис. 1.3. Внешний вид и габаритные размеры детекторов и счетчиков альфа-излучения

1.1.2. Детекторы и счетчики бета-излучения

1.1.2.1. Детекторы и счетчики бета-излучения АС-1, АС-2, СБМ-7, СБМ-8, СБМ-9, СБМ-10, СБМ-11, СБМ-12, СБМ-13, СБМ-14, СБМ-15, СБМ-19, СБМ-20

Основные параметры детекторов и счетчиков бета-излучения приводятся в табл. 1.2а. Внешний вид приборов приводится на рис..1.4.

Таблица 1.2а. Основные параметры счетчиков и детекторов бета-излучения при температуре $20 \pm 5^\circ\text{C}$

Тип счетчика	Особенности конструкции, катод, назначение	Напряжение начала счета, В	Протяженность плато счетной характеристики, В, не менее	Наклон плато счетной характеристики, %/В	Рекомендуемое рабочее напряжение, В	Дозиметрические характеристики	Срок службы, импульсов, не менее	Диапазон рабочих температур, $^\circ\text{C}$	Габаритные размеры, мм , [масса, г]	№ рис.
АС-1	Цилиндрический самогасящийся, с тонким алюминиевым катодом. Регистрации β -частиц	750 - 860	80	0,2	830-940	$N_\phi=40$	$2 \cdot 10^7$	0...+50	$\varnothing 17 \times 128$	1-007
АС-2		750 - 860	100	0,15	850-960	$N_\phi=100$	$2 \cdot 10^7$	0...+50	$\varnothing 24 \times 156$	1-008
СБМ-7	Катод-нержавеющая сталь. Измерение β -активности газов и паров, введенных в рабочий объем счетчика.	900-1100	200	0,03-0,05	1300	-	$1 \cdot 10^9$	0...+50	$\varnothing 90 \times 370$ ($V=106 \text{ см}^3$) [90 г]	1-009
СБМ-8		900-1100	200	0,03-0,05	1300	-	$1 \cdot 10^9$	0...+50	$\varnothing 26 \times 335$ ($V=106 \text{ см}^3$) [55 г]	1-010
СБМ-9	Цилиндрический стеклянный. Катод стальной. Регистрация жесткого β -излучения с $E_{\max}>0,5 \text{ МэВ}$.	250-330	150	0,15	450	$N_{\max}=5 \cdot 10^4$ при $0,1 \text{ мкР/с}$ $N_\phi=8$ $P_{\max}=1000$	$1 \cdot 10^9$	0...+50	$\varnothing 6 \times 10$ (чувств.обл) [60+15 г]	1-011
СБМ-10	Регистрация жесткого β -и γ -излучения.	260-320	100	0,15	400	$N_{\max}=560-840$ при 1 мкР/с $N_\phi=8$ $P_{\max}=50$	$1 \cdot 10^{10}$	-50...+60	$\varnothing 6 \times 25$ [1 г]	1-012

Глава 1.1. Газоразрядные детекторы ионизирующих излучений

Окончание таблицы 1.2а. Основные параметры счетчиков и детекторов бета-излучения при температуре $20\pm 5^{\circ}\text{C}$

Тип счетчика	Особенности конструкции, катод, назначение	Напряжение начала счета, В	Протяженность плато счетной характеристики, В, не менее	Наклон плато счетной характеристики, % /В	Рекомендуемое рабочее напряжение, В	Дозиметрические характеристики	Срок службы, импульсов, не менее	Диапазон рабочих температур, $^{\circ}\text{C}$	Габаритные размеры, мм, [масса, г]	№ рис.
СБМ-11	Медицинский. Тонкий игольчатый зонд. Катод нерж. сталь.	360	100	0,15	370=480	$N_{\max}=2*10^3$ $N_{\phi}=8$	$1*10^9$	0...50	$\varnothing 12 \times 257$ [29 г]	1-013 и 1-014
СБМ-12		320-380	100	0,15	400	$N_{\max}=2*10^3$ $N_{\phi}=8$	$1*10^9$	0...50	$\varnothing 12 \times 187$ [30 г]	1-015
СБМ-13	Металлический. Катод стальной. Режим работы импульсный.	1120-1170	100	0,1	1200-1300	$N=62-70$ при 1 мкР/с, $N_{\max}=62-70$ имп/с при 1 мкР/с $N_{\phi}=100$ $P_{\max}=900$	$1*10^{10}$	-60...+300	$\varnothing 19,5 \times 195$ [25 г]	1-016
СБМ-14	Металлический. Катод стальной. Режим работы токовый и импульсный.	1120-1170	100	0,1	1200-1300	$N=13-18$ имп/с при 1 мкР/с $N_{\phi}=8$ $P_{\max}=900$	$1*10^{10}$	-60...+300	$\varnothing 11 \times 105$ [10 г]	1-017
СБМ-15	Медицинский счетчик.	360	100	0,1	400	$N_{\max}=2*10^5$ $N_{\phi}=8$	$1*10^9$	0...50	$\varnothing 12 \times 247$ [30 г]	1-013
СБМ-19	Режим работы токовый и импульсный. Регистрация жесткого β и γ -излучений.	260-320	100	0,1	400	$N_{\max}=3*10^3$ имп/с $N_{\phi}=120$	$2*10^{10}$	-60...+70	$\varnothing 19 \times 125$ [25 г]	1-018
СБМ-20		260-320	100	0,1	400	$N_{\max}=4*10^3$ имп/с $N_{\phi}=60$	$2*10^{10}$	-60...+70	$\varnothing 11 \times 108$ [10 г]	1-019

Глава 1.1. Газоразрядные детекторы ионизирующих излучений

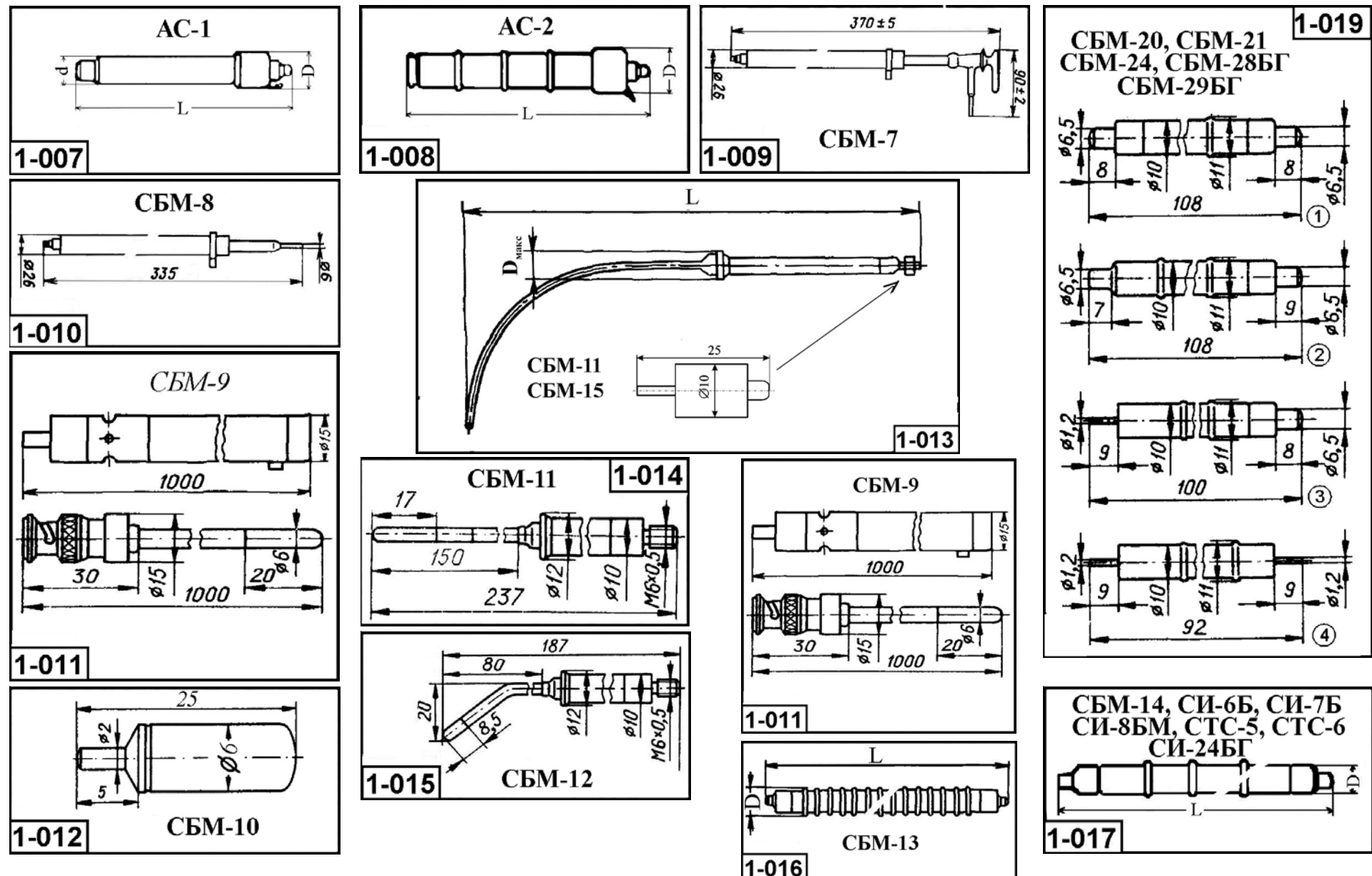


Рис. 1.4. Внешний вид и габаритные размеры счетчиков и детекторов бета-излучения

Глава 1.1. Газоразрядные детекторы ионизирующих излучений

1.1.2.2. Детекторы и счетчики бета-излучения СБМ-20У, СБМ-21, СБМ-24БГ, СБМ-28БГ, СБМ-29БГ, СБМ-30, СБМ-31, СБМ-32, СБМ-32К, СБС-1, СБС-2, СБС-3, СБС-4, СБС-5, СБТ-7, СБТ-9, СБТ-10, СБТ-10А, СБТ-11, СБТ-11А, СБТ-13, СБТ-14.

Основные параметры детекторов и счетчиков бета-излучения приводятся в табл. 1.2б. Внешний вид приборов приводится на рис..1.5.

Таблица 1.2б. Основные параметры счетчиков и детекторов бета-излучения при температуре $20 \pm 5^\circ\text{C}$

Тип счетчика	Особенности конструкции, катод, назначение	Напряжение начала счета, В	Протяженность плато счетной характеристики, В, не менее	Наклон плато счетной характеристики, %/В	Рекомендуемое рабочее напряжение, В	Дозиметрические характеристики	Срок службы, импульсов, не менее	Диапазон рабочих температур, $^\circ\text{C}$	Габаритные размеры, мм, [масса, г]	№ рис.
СБМ-20У	Режим работы токовый и импульсный. Регистрация жесткого β и γ -излучений.	260-320	100	0,1	400	$N=60-75$ при 1 мкР/с $N_{\max}=1,4 \cdot 10^3$ имп/с $N_\phi=60$	$1 \cdot 10^{10}$	-60...+70	$\varnothing 11 \times 101$ [9 г]	1-020
СБМ-21	Регистрация жесткого β -и γ -излучения.	260-320	100	0,15	350-475	$N_\phi=12$	$1 \cdot 10^{10}$	-60...+70	$\varnothing 6 \times 21$ [0,7 г]	1-020a
СБМ-24БГ		270-320	100	0,15	400	$N_\phi=30$	$1 \cdot 10^{10}$	-45...+60	$\varnothing 11 \times 111$ [12 г]	1-019
СБМ-28БГ	Регистрация жесткого β -и γ -излучения.	805-845	100	0,1	900	$N_\phi=30$	$1 \cdot 10^{10}$	-60...+300	$\varnothing 6,7 \times 116$ [3 г]	1-019
СБМ-29БГ		250-340	100	0,125	400	$N_\phi=30$	$2 \cdot 10^{10}$	-60...+70	$\varnothing 10,3 \times 61,5$ [5,5 г]	1-019
СБМ-30	Регистрация жесткого β -и γ -излучения.	270-320	100	0,15	400	150 имп/мкР	$2 \cdot 10^{10}$	-30...+50	$\varnothing 18 \times 108$ [25 г]	1-021
СБМ-31		270-320	100	0,2	400	20 имп/мкР	$2 \cdot 10^{10}$	-30...+50	$\varnothing 10 \times 38$ [8 г]	1-021
СБМ-32	Регистрация жесткого β -и γ -излучения.	270-320	100	0,15	400	850 имп/мкР $N_\phi=0,5$ имп/с	$2 \cdot 10^{10}$	-30...+50	$\varnothing 10 \times 105$ [10 г]	1-022
СБМ-32К	Регистрация мягкого β -излучения.	270-320	100	0,15	400	$N_\phi=0,4$ имп/с	$2 \cdot 10^{10}$	-30...+50	$\varnothing 10 \times 85$ [9 г]	1-022

Глава 1.1. Газоразрядные детекторы ионизирующих излучений

Продолжение таблицы 1.26. Основные параметры счетчиков и детекторов бета-излучения при температуре $20\pm5^{\circ}\text{C}$

Тип счетчика	Особенности конструкции, катод, назначение	Напряжение начала счета, В	Протяженность плато счетной характеристики, В, не менее	Наклон плато счетной характеристики, %/В	Рекомендуемое рабочее напряжение, В	Дозиметрические характеристики	Срок службы, импульсов, не менее	Диапазон рабочих температур, $^{\circ}\text{C}$	Габаритные размеры, мм, [масса, г]	№ рис.
СБС-1	Цилиндрический, погружной. С катодом из проводящего стекла. Регистрация β -излучений с $E_{\max}>0,2 \text{ МэВ}$.	800-1200	150	0,03	900	-	-	-40...+50	$\varnothing 14 \times 125$	1-023
СБС-2	Цилиндрический. Стеклянный. Регистрация β -активности газов и паров	800-2400	400	0,03	1200	-	1×10^{10}	-40...+50	$\varnothing 19 (23) \times 362$	1-023a
СБС-3		800-2400	400	0,03	1200	-	1×10^{10}	-40...+50	$\varnothing 19 (23) \times 265$	1-023a
СБС-4	Измерение γ излучения газов и паров.	900-1100	300	0,03	1200	-	-	-40...+50	$\varnothing 23 \times 310$ [65 г]	1-024
СБС-5		900-1100	300	0,03	1200	-	-	-40...+50	$\varnothing 23,5 \times 200$ [33 г]	1-024
СБТ-7	Торцевой. Регистрация мягкого β -излучения	350-400	70	0,125	380	$N_{\max}=5 \times 10^4$ $N_{\phi}=35$	1×10^{10}	-40...+50	$\varnothing 31 \times 72$ [25 г]	1-025
СБТ-9		260-330	80	0,125	400	$N_{\max}=2,6 \times 10^5$ $N_{\phi}=10$	1×10^{10}	-50...+50	$\varnothing 12 \times 74$ [5 г]	1-026
СБТ-10	Торцевой, металлический, секционный. Катод нерж. сталь. Регистрация мягкого β -излучения углерода ^{14}C	320-460	80	0,25-0,3	350-450	$N_{\max}=2,5 \times 10^4$ имп/с $N_{\phi}=250$ $P_{\max}=50$	1×10^{10}	-60...+55	$67 \times 88 \times 34$ [150-180 г]	1-027
СБТ-10А		320-460	80	0,25	350-450	$N_{\max}=2,5 \times 10^4$ имп/с $N_{\phi}=130$ $P_{\max}=50$	1×10^{10}	-60...+55	$67 \times 88 \times 34$ [150-180 г]	1-027

Глава 1.1. Газоразрядные детекторы ионизирующих излучений

Окончание таблицы 1.26. Основные параметры счетчиков и детекторов детекторов бета-излучения при температуре $20 \pm 5^\circ\text{C}$

Тип счетчика	Особенности конструкции, катод, назначение	Напряжение начала счета, В	Протяженность плато счетной характеристики, В, не менее	Наклон плато счетной характеристики, % /В	Рекомендуемое рабочее напряжение, В	Дозиметрические характеристики	Срок службы, импульсов, не менее	Диапазон рабочих температур, °C	Габаритные размеры, мм, [масса, г]	№ рис.
СБТ-11	Торцевой, металлический, секционный. Катод нерж. сталь. Режим работы токовый и импульсный. Регистрация мягкого β -излучения.	350-400	80	0,5	350-450	$N_{max}=2,5 \cdot 10^4$ имп/с при 40 мкР/с $N_\phi=15$ $P_{max}=300$	$1 \cdot 10^{10}$	-40...+50	29x55,5x23,5 [30 г]	1-028
СБТ-11А		260-320	80	0,3	350-450	50 имп/мкР	$1 \cdot 10^{10}$	-60...+65	29x55,5x23,5 [30 г]	1-029
СБТ-13	Торцевой, металлический, секционный. Катод хромо-никелевая сталь.	350-400	70	0,25	380	$N_{max}=5 \cdot 10^4$	$1 \cdot 10^{10}$	-40...+50	$\varnothing 42 \times 46,5$ [30 г]	1-029
СБТ-14	Торцевой, металлический, секционный. Катод хромо-никелевая сталь. 1 секция	350-400	80	0,125	380	$N_{max}=1 \cdot 10^4$	$1 \cdot 10^{10}$	-40...+50	$\varnothing 13,3 \times 63$ [10 г]	1-030

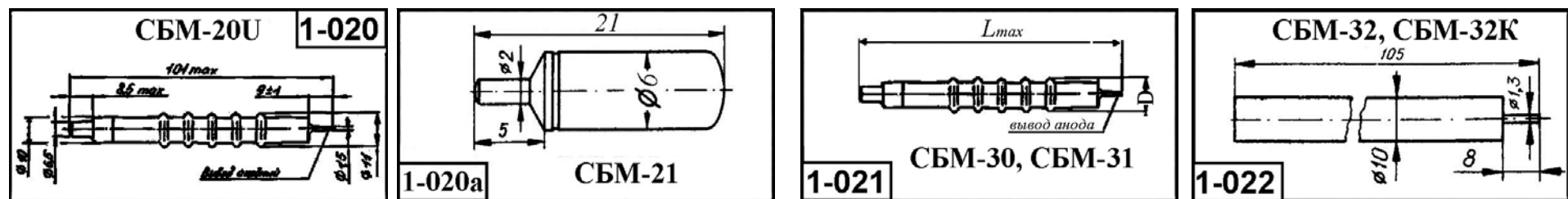


Рис. 1.5. Внешний вид и габаритные размеры счетчиков и детекторов бета-излучения

Глава 1.1. Газоразрядные детекторы ионизирующих излучений

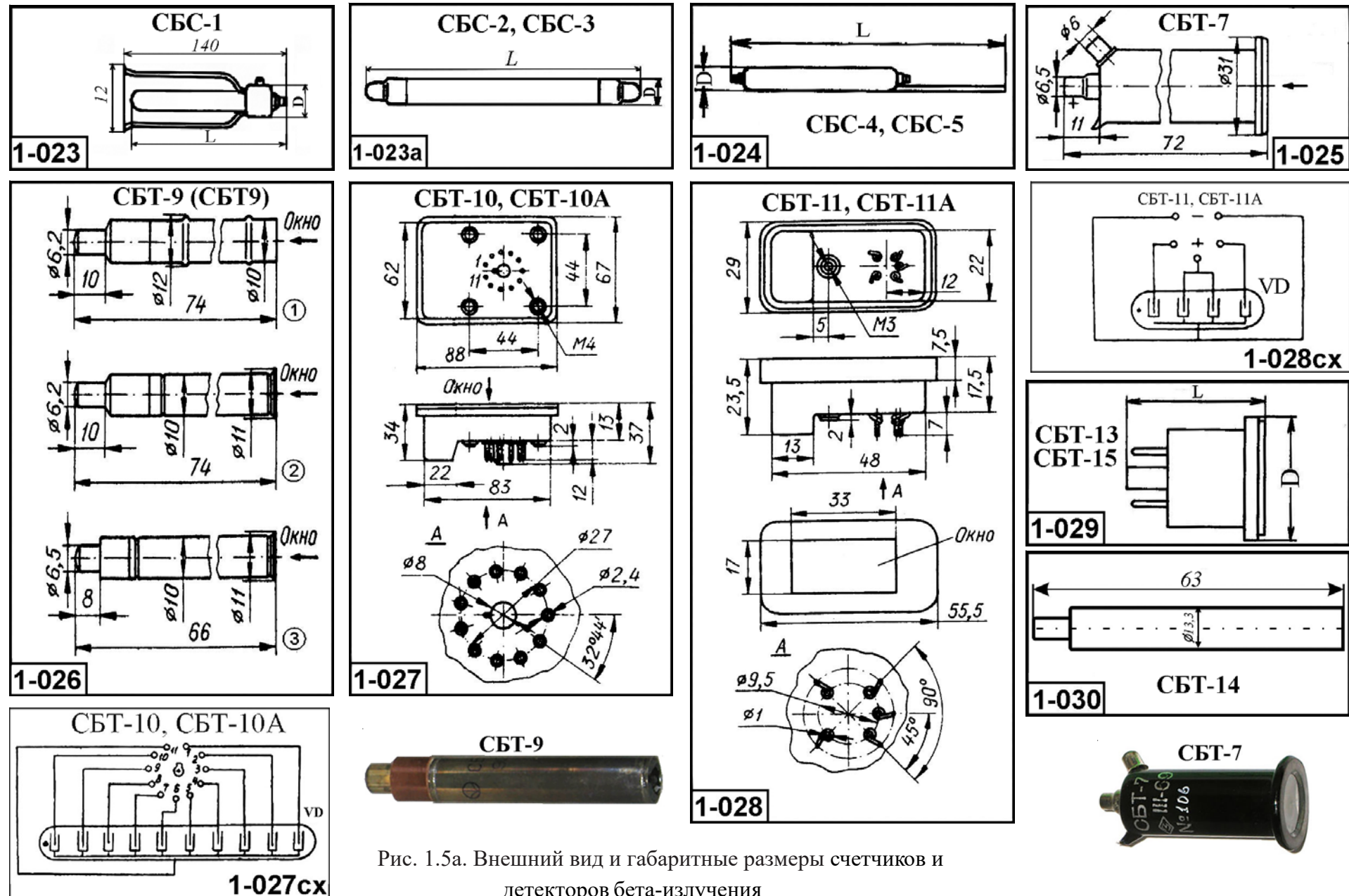


Рис. 1.5а. Внешний вид и габаритные размеры счетчиков и детекторов бета-излучения

Глава 1.1. Газоразрядные детекторы ионизирующих излучений

1.1.2.3. Детекторы и счетчики бета-излучения СБТ-15, СБТ-16, СБТ-17, СИ-2Б (ПСТ-40), СИ-3Б, СИ-5Б, СИ-6Б, СИ-7Б, СИ-8Б, СИ-8БМ, СИ-9БГ, СИ-12БГ, СИ-13Б, СИ-14Б

Основные параметры детекторов и счетчиков бета-излучения приводятся в табл. 1.2в. Внешний вид приборов приводится на рис..1.6.

Таблица 1.2в. Основные параметры счетчиков и детекторов бета-излучения при температуре $20\pm5^{\circ}\text{C}$

Тип счетчика	Особенности конструкции, катод, назначение	Напряжение начала счета, В	Протяженность плато счетной характеристики, В, не менее	Наклон плато счетной характеристики, %/В	Рекомендуемое рабочее напряжение, В	Дозиметрические характеристики	Срок службы, импульсов, не менее	Диапазон рабочих температур, $^{\circ}\text{C}$	Габаритные размеры, мм , [масса, г]	№ рис.
СБТ-15	Торцевой. Режим работы токовый и импульсный. Регистрация мягкого β -излучения с энергией более 0,1 МэВ.	350-400	80	0,3	380	$N=30$ при 10^{-2} мкР/ч, $N_{\max}=3*10^4$ $N_{\phi}=30$	$1*10^{10}$	-40...+50	$\varnothing 42 \times 36,5$ [120 г]	1-029
СБТ-16	Торцевой. Катод ферроникелевый сплав.	320-450	80	0,3	390	$N_{\max}=7*10^3$ $P_{\max}=50$	$1*10^{10}$	-40...+50	$\varnothing 82,5 \times 33$	1-031
СБТ-17	Торцевой. Регистрация мягкого β -излучения.	320-450	80	0,4	390	$N=350-500$ имп/с при 1 мкР/с, $N_{\max}=4*10^3$ имп/с $N_{\phi}=300$ $P_{\max}=300$	$1*10^{10}$	-60...+50	107 г.	1-031
СИ-2Б (ПСТ-40)	Торцевой, стеклянный. Катод-проводящая пленка олова.	1350-1750	150	0,05	1500	$N_{\max}=10^5$ $N_{\phi}=65$	$1*10^8$	-40...+50	$\varnothing 70 \times 90$ [57 г]	1-032
СИ-3Б	Торцевой, стеклянный. Катод-медь.	1350-1650	150	0,03	1500	$N_{\max}=10^4$ $N_{\phi}=25$	$1*10^8$	-40...+50	$\varnothing 38 \times 90$ [25 г]	1-033

Глава 1.1. Газоразрядные детекторы ионизирующих излучений

Продолжение таблицы 1.2в. Основные параметры счетчиков и детекторов бета-излучения при температуре $20\pm5^{\circ}\text{C}$

Тип счетчика	Особенности конструкции, катод, назначение	Напряжение начала счета, В	Протяженность плато счетной характеристики, В, не менее	Наклон плато счетной характеристики, %/В	Рекомендуемое рабочее напряжение, В	Дозиметрические характеристики	Срок службы, импульсов, не менее	Диапазон рабочих температур, $^{\circ}\text{C}$	Габаритные размеры, мм, [масса, г]	№ рис.
СИ-5Б	Торцевой. Катод-проводящая пленка. Регистрация мягкого β -излучения.	1250-1550	150	0,024	1500	$N_{\max}=3*10^4$ $N=1*10^4$ $N_{\phi}=70$	$5*10^7$	-60...+60	$\varnothing 70 \times 90$ [60 г]	1-032
СИ-6Б	Металлический. Регистрация мягкого β -излучения.	500	200	0,1	900	$N=700$ имп/с при 0,1 мкР/с $N_{\phi}=27$	$1*10^{10}$	-80...+100	$\varnothing 12 \times 110$ [8 г]	1-034
СИ-7Б		500	80	0,2	900	$N=400$ имп/с при 1 мкР/с	-	-80...+100	$\varnothing 22 \times 199,5$ [8 г]	1-017
СИ-8Б	Торцевой, металлический. Регистрация мягкого β -излучения.	320-450	80	0,25-0,3	390	$N=350-500$ имп/с при 1 мкР/с, $N_{\phi}=120$	$1*10^{10}$	-40...+50	$\varnothing 82,5 \times 31$ [100 г]	1-035
СИ-8БМ		255-285	80	0,3	400	$N=280$ имп/с при 1 мкР/с, $N_{\phi}=120$	$1*10^{10}$	-40...+50	$\varnothing 82,5 \times 31$ [100 г]	1-035
СИ-9БГ	Металлический. Регистрация β -излучения с $E_{\max} > 0,5$ МэВ.	300-350	60	0,15	320	$N=360-540$ при 1 мкР/с $P_{\max}=50$	$1*10^9$	-40...+50	$\varnothing 10 \times 25$ [6 г]	1-036
СИ-12БГ	Металлический. Регистрация β и γ -излучений	400-500	80	0,15-0,2	900	$N=340$ при 0,1 мкР/с	$1*10^{10}$	-40...+50	$\varnothing 12 \times 71$	1-036a

Глава 1.1. Газоразрядные детекторы ионизирующих излучений

Окончание таблицы 1.2в. Основные параметры счетчиков и детекторов детекторов бета-излучения при температуре $20 \pm 5^{\circ}\text{C}$

Тип счетчика	Особенности конструкции, катод, назначение	Напряжение начала счета, В	Протяженность плато счетной характеристики, В, не менее	Наклон плато счетной характеристики, %/В	Рекомендуемое рабочее напряжение, В	Дозиметрические характеристики	Срок службы, импульсов, не менее	Диапазон рабочих температур, $^{\circ}\text{C}$	Габаритные размеры, мм, [масса, г]	№ рис.
СИ-12Б	Торцевой, стеклянный. Регистрация мягкого β -излучения	260-300	80	-	-	-	-	-40...+50	н/д	1-035a
СИ-13Б	Торцевой, стеклянный. Регистрация мягкого β -излучения.	260-300	200	0,25	400	-	-	-50...+60	$\varnothing 49 \times 26$ [55 г]	1-035б
	Плавная регулировка чувствительности.	230-300	200	0,25	400	-	-	-50...+60	$\varnothing 84 \times 26$ [133 г]	1-035б

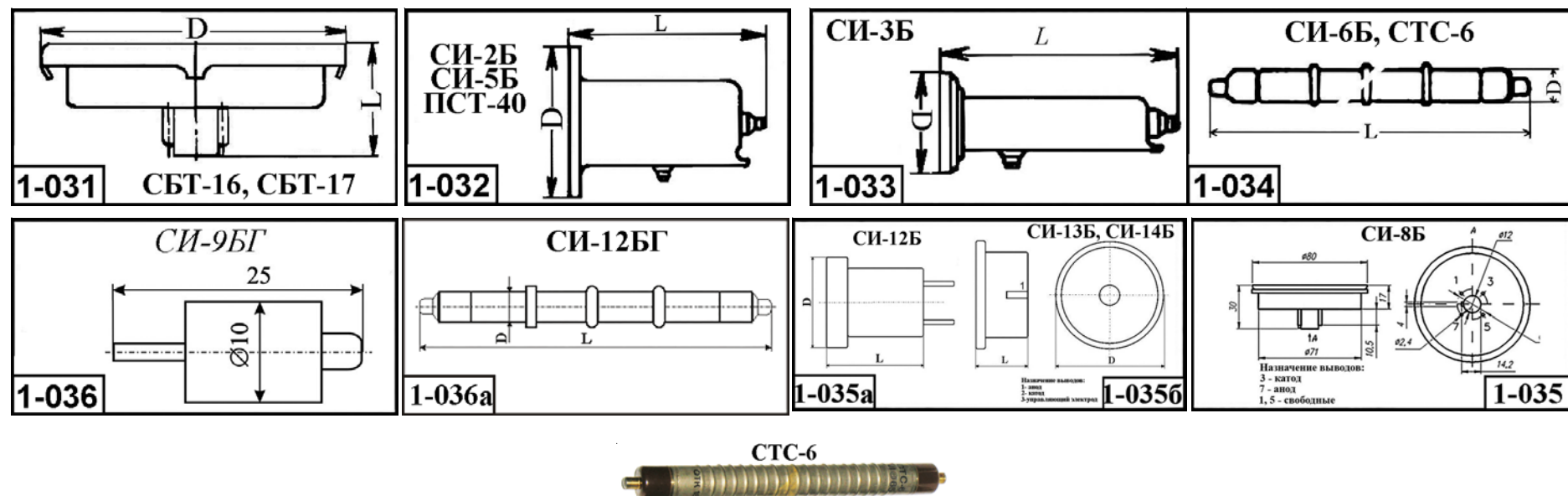


Рис. 1.6. Внешний вид и габаритные размеры счетчиков и детекторов бета-излучения

Глава 1.1. Газоразрядные детекторы ионизирующих излучений

1.1.2.4. Детекторы и счетчики бета-излучения СИ-15 БГ, СИ-19БГ, СИ-23БГ, СИ-24БГ, СИ-25БГ, СИ-26БГ, СИ-28БГ1 СИ-28БГ2, СИ-29БГ, МСТ-17, МСТ-18 (СИ-3Б), СИ-1 ГИП, СТС-5, СТС-6, Т-25БФЛ

Основные параметры детекторов и счетчиков бета-излучения приводятся в табл. 1.2г.. Внешний вид приборов приводится на рис.1.7.

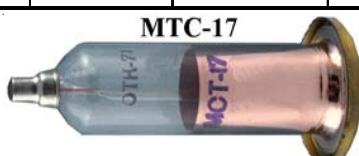
Таблица 1.2г. Основные параметры счетчиков и детекторов детекторов бета-излучения при температуре 20±5°C

Тип счетчика	Особенности конструкции, катод, назначение	Напряжение начала счета, В	Протяженность плато счетной характеристики, В, не менее	Наклон плато счетной характеристики, %/В	Рекомендуемое рабочее напряжение, В	Дозиметрические характеристики	Срок службы, импульсов, не менее	Диапазон рабочих температур, °C	Габаритные размеры, мм, [масса, г]	№ рис.
СИ-15БГ	Торцевой, регистрация β и γ -излучений от $3 \cdot 10^{-5}$ до 1 Р/ч в импульсном и до 0,5 Р/с в токовом режимах.	240-320	80	0,3	400	$N_{max}=1,2 \cdot 10^4$	$1 \cdot 10^8$	-40...+50	[32 г]	1-037
СИ-19БГ	Торцевой, регистрация β -и γ -излучения.	240-320	100	0,3	400	$N=4$ имп/мкР $N_{\phi}=10$	$1 \cdot 10^9$	-40...+50	9,3 x 9,3 x 21 [5 г]	1-037a
СИ-23БГ	Регистрация жесткого β -и γ -излучения.	240-320	100	0,15	400	-	$1 \cdot 10^9$	-45...+60	$\varnothing 19 \times 195$ [25 г]	1-0376
СИ-24БГ	Регистрация жесткого β -и γ -излучения.	230-300	100	0,15	350-475	$N=50-100$ имп/с при 1 мкР/с $N_{\phi}=30$	$1 \cdot 10^9$	-45...+60	$\varnothing 11 \times 111$ [11-12 г]	1-017
СИ-25БГ	Регистрация жесткого β -и γ -излучения. Управляемый	230-300	100	0,25	350-475	$N=30$ имп/с при 4 мкР/с	$1 \cdot 10^9$	-40...+50	$\varnothing 10,6 \times 42$	1-037г
СИ-26БГ						$N=30$ имп/с при 40 мкР/с				
СИ-28БГ1 СИ-28БГ2	Регистрация жесткого β -и γ -излучения.	805-845	150	0,2	900	$N=90$ имп/мкР $N_{\phi}=30$	$1 \cdot 10^9$	-40...+50	$\varnothing 10,3 \times 61,5$ [5,5 г]	1-037в
СИ-29БГ	Регистрация жесткого β -и γ -излучения.	240-320	100	0,125	400	-	-	-60...+70	$\varnothing 10,3 \times 61,5$ [5,5 г]	1-037г

Глава 1.1. Газоразрядные детекторы ионизирующих излучений

Окончание таблицы 1.2г. Основные параметры счетчиков и детекторов бета-излучения при температуре $20\pm 5^{\circ}\text{C}$

Тип счетчика	Особенности конструкции, катод, назначение	Напряжение начала счета, В	Протяженность плато счетной характеристики, В, не менее	Наклон плато счетной характеристики, %/В	Рекомендуемое рабочее напряжение, В	Дозиметрические характеристики	Срок службы, импульсов, не менее	Диапазон рабочих температур, $^{\circ}\text{C}$	Габаритные размеры, мм, [масса, г]	№ рис.
MCT-17	Торцевой. Катод-медь. Регистрация β -излучения.	1300-1600	150	0,05	1500	$N_{\max}=1*10^4$ $N_{\phi}=25$	$5*10^7$	-30...+50	$\varnothing 40 \times 100$ [25 г]	1-039
MCT-18 (СИ-ЗБ)		1300-1600	150	0,03	1400	$N_{\phi}=25$	$6*10^7$	-30...+50	$\varnothing 20 \times 100$ [25 г.]	1-039
СИ-1 ГИП	Искровой с импульсным питанием ($t_{\text{имп}}=1$ мкс). Регистрация β -частиц с высокой энергией.	900-1000	100	-	1000	$\varepsilon=60$	$1*10^6$	-80...+120	$\varnothing 8 \times 370$ [23 г]	1-038
СТС-5	Металлический. Регистрация β -излучения с $E_{\max}>0,5$ МэВ.	320-450	80	0,125	390	$N=(1,48-2,2)*10^5$ при 200 мкР/ч, $N_{\phi}=27$ $P_{\max}=50$	$1*10^9$	-40...+50	$\varnothing 12 \times 110$	1-017
СТС-6	Металлический. Регистрация β -излучения с $E_{\max}>0,5$ МэВ.	320-450	80	0,125	390	$N=(2,28-3,42)*10^3$ при 0,36 мкР/ч, $N_{\max}=6*10^4$ $N_{\phi}=110$	$1*10^9$	-40...+50	$\varnothing 22 \times 197$ [25 г]	1-017
T-25БФЛ	Торцевой, самогасящийся. С медным катодом. Регистрация α - и β -излучений.	1250	250	0,015	1350	$N_{\phi}=30$	$5*10^8$	-40...+40	$\varnothing 25$	1-039



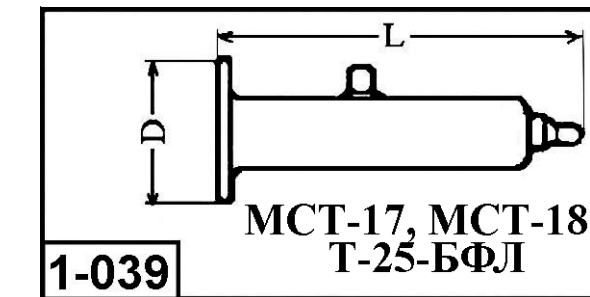
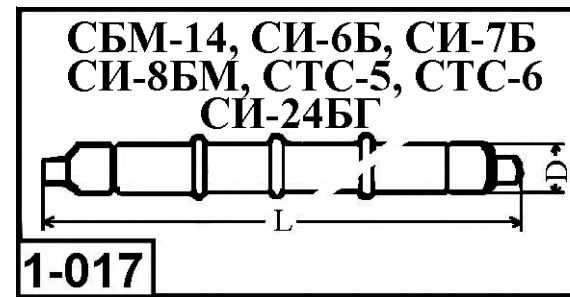
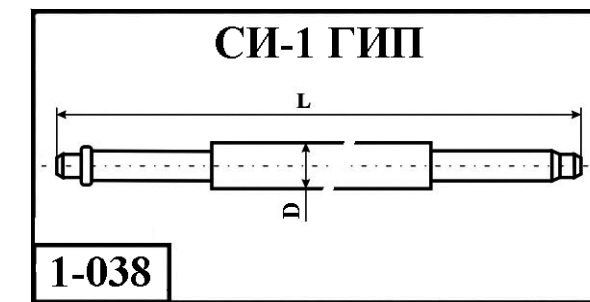
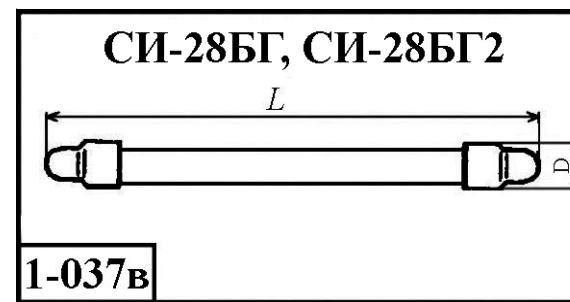
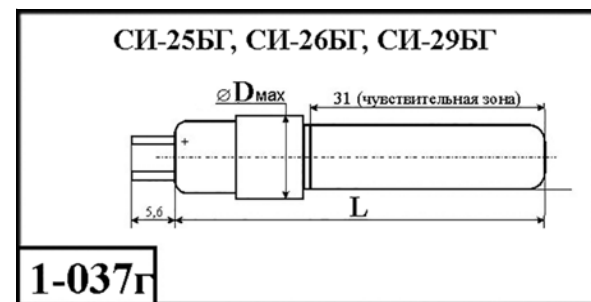
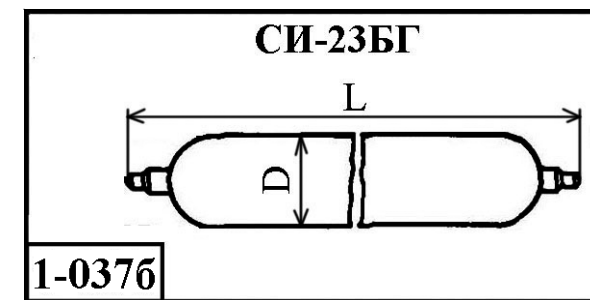
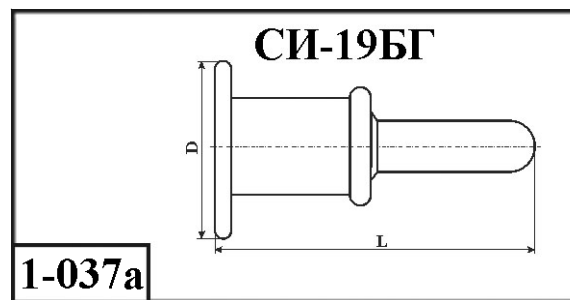
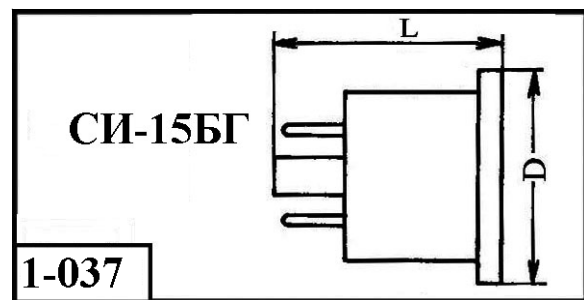


Рис. 1.7. Внешний вид и габаритные размеры счетчиков и детекторов бета-излучения

Глава 1.1. Газоразрядные детекторы ионизирующих излучений

1.1.2.5д. Детекторы и счетчики α, β, γ -излучений Бета-1, Бета-1-1, Бета-2, Бета-2-1, Бета-6, Бета 6-1, Бета 7-1

Приборы предназначены для работы в различных дозиметрических и радиометрических устройствах. Наряду с бета-частицами счетчики могут также регистрировать альфа-частицы и гамма-излучение. Для регистрации альфа- и бета- частиц в конструкции счетчиков предусмотрено тонкое окно из слюды. Особенностью их конструкции также является минимально возможная поверхность катода (по сравнению с цилиндрическими торцевыми бета-счетчиками), что позволяет вести регистрацию альфа- и бета- частиц на фоне гамма-излучения.

Основные параметры детекторов и счетчиков α, β, γ -излучений приводятся в табл. 1.2д. Внешний вид приборов приводится на рис.1.7д.

Таблица 1.2д. Основные параметры счетчиков и детекторов мягкого α, β, γ -излучений при температуре $20 \pm 5^\circ\text{C}$

Тип счетчика	Напряжение начала счета, В, не более	Протяженность плато счетной характеристики, В, не менее	Наклон плато счетной характеристики, %/В, не более	Рекомендуемое рабочее напряжение, В	Эффективность, %, к:			Собственный фон в свинцовой камере 50 мм, имп / с	Мертвое время, мкс, не более	Межэлектродная ёмкость, пФ	Площадь сплюдяного окна, см ²	Чувствительность к 60 Co, имп / мкР	Срок службы, импульсов, не менее	Диапазон рабочих температур, °C	Габаритные размеры без выводов, мм, [масса, г]	№ рис.
					²⁰⁴ Tl	⁹⁰ Sr - ⁹⁰ Y	²³⁹ Pu									
Бета-1	305	$350 \div 550$	0,25	400	45	60	20	0,6 max	100	4	7	96 \div 144	1×10^{10}	-50 \div +60	$\varnothing 34 \times 20$ [18]	1-001д
Бета-1-1	305	$350 \div 550$	0,25	400	45	60	20	0,6 max	100	10	7	96 \div 144	1×10^{10}	-50 \div +60	$\varnothing 44 \times 8$ [19]	1-002д
Бета-2	305	$350 \div 550$	0,25	400	45	60	20	1,0 max	140	9	13,8	160 \div 240	1×10^{10}	-50 \div +60	$\varnothing 56,5 \times 8$ [27,5]	1-003д
Бета-2-1	305	$350 \div 550$	0,25	400	45	60	20	1,0 max	150	13	13,8	160 \div 240	1×10^{10}	-50 \div +60	$\varnothing 46,2 \times 20$ [27,5]	1-004д
Бета-6	305	$350 \div 550$	0,15	400	45	60	36	0,2	120	2,5	1,85-2	22-33	1×10^{10}	-50 \div +60	$\varnothing 25 \times 8$ [7,5]	1-005д
Бета-6-1	305	$350 \div 550$	0,15	400	45	60	36	0,2		5,8	1,85-2	22-33	1×10^{10}	-50 \div +60	$\varnothing 25 \times 8$ [6,7]	1-006д
Бета-7-1	305	$350 \div 550$	0,15	400	45	60	36	0,1	130	5,6	0,7	10-14	1×10^{10}	-50 \div +60	$\varnothing 17 \times 7,5$ [3]	1-007д

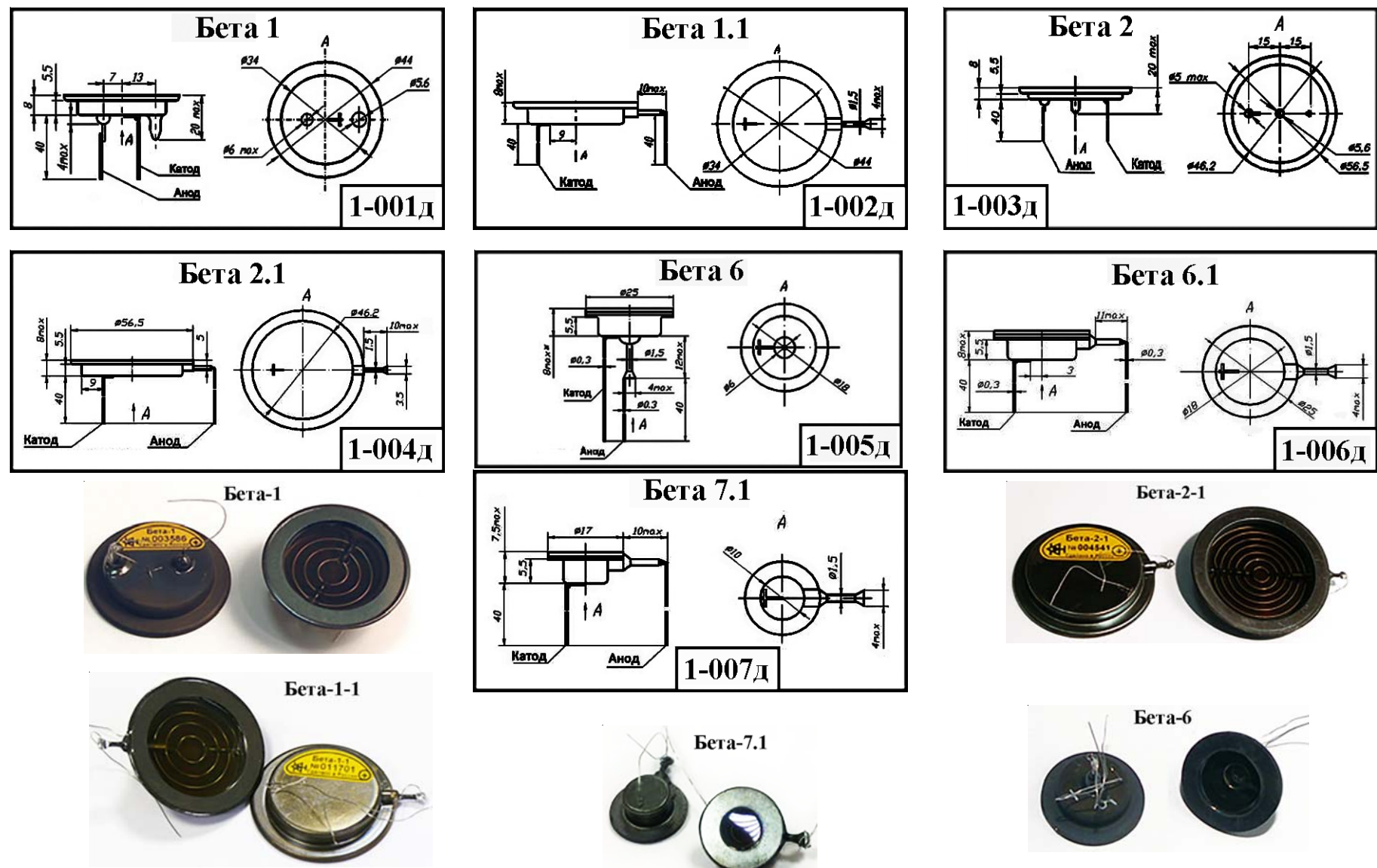


Рис. 1.7д. Внешний вид и габаритные размеры счетчиков и детекторов α, β, γ -излучений.

Глава 1.1. Газоразрядные детекторы ионизирующих излучений

1.1.2.6д. Детекторы и счетчики β , γ -излучений: Бета-5, Бета-5-1, Бета-5Ц, СИ8Б, СИ8Б-1

Наряду с бета-частицами счетчики могут также регистрировать гамма-излучение. Приборы торцевые, размещены в металлическом корпусе. Для регистрации бета- частиц в конструкции приборов предусмотрено тонкое окно из слюды.

Основные параметры детекторов и счетчиков β , γ -излучений приводятся в табл. 1.2-1д.. Внешний вид приборов приводится на рис.1.7-1д.

Таблица 1.2-1д. Основные параметры счетчиков и детекторов β и γ -излучений при температуре $20 \pm 5^\circ\text{C}$

Тип счетчика	Напряжение начала счета, В, не более	Протяженность плато счетной характеристики, В, не менее	Наклон плато счетной характеристики, %/В, не более	Рекомендуемое рабочее напряжение, В	Чувствительность к ^{60}Co	Эффективность регистрации бета-излучения, %	Мертвое время, мкс	Собственный фон в свинцовой камере 50 мм, имп / с	Межэлектродная ёмкость, пФ	Площадь слюдяного окна, см ²	Срок службы, импульсов, не менее	Диапазон рабочих температур, $^\circ\text{C}$	Габаритные размеры без выводов, мм, [масса, г]	№ рис.
Бета-5	305	$350 \div 550$	0,2	400	350-500	50 \div 80	160	2,2 max	15,5	37	1×10^{10}	-50 \div +60	68x88x22 [105]	1-008д
Бета-5-1	305	$350 \div 550$	0,2	400	350-500	50 \div 80	160	2,2 max	21	37	1×10^{10}	-50 \div +60	69x88x10,7 [103]	1-009д
Бета-5Ц аналог СВТ10	305	$350 \div 550$	0,25	400	350-550	50 \div 80	160	2,2 max		37	1×10^{10}	-50 \div +60	68x88x40,5 [145]	1-010д
СИ8Б-1	305	100	0,3	390	50 \div 85	50 \div 85	160	2,0 max	13	30	1×10^{10}	-50 \div +60	$\varnothing 80 \times 17,3$ [67]	1-011д

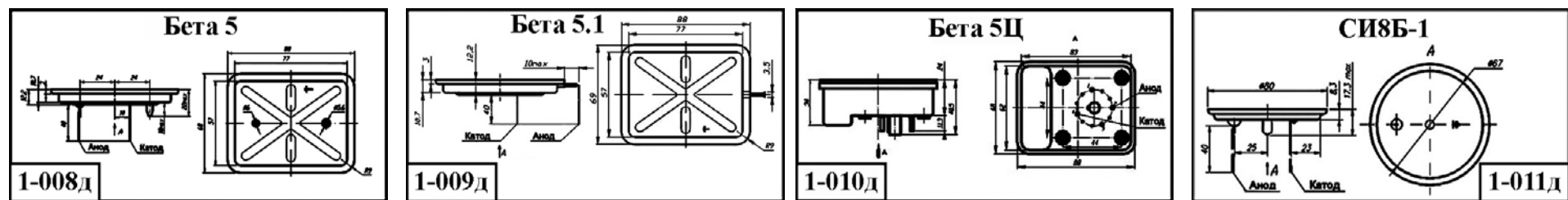


Рис. 1.7-1д. Внешний вид и габаритные размеры счетчиков и детекторов β и γ -излучений.

1.1.3. Детекторы и счетчики гамма-излучения

1.1.3.1. Детекторы и счетчики гамма-излучения BC-4, BC-6, BC-8, BC-9, BC-9Т, СИ-4Г, BC-11, BC-13, BC-14, BC-16, GC-4, GC-6, GC-7, GC-8, GC-9, GC-10, GC-11, GC-12, MC-4, MC-6, MC-7, MC-8, MC-9, MC-11, MC-12, MC-13, MC-14, MC-16, СГС-3, СГС-4, СГС-5

Основные параметры детекторов и счетчиков гамма излучения приводятся в табл. 1.3а. Внешний вид приборов приводится на рис.1.8.

Таблица 1.3а. Основные параметры счетчиков и детекторов гамма-излучения при температуре $20\pm5^{\circ}\text{C}$

Тип счетчика	Особенности конструкции, катод, назначение	Напряжение начала счета, В	Протяженность плато счетной характеристики, В, не менее	Наклон плато счетной характеристики, %/В	Рекомендуемое рабочее напряжение, В	Дозиметрические характеристики	Срок службы, импульсов, ч., не менее	Диапазон рабочих температур, $^{\circ}\text{C}$	Габаритные размеры, мм, [масса, г]	№ рис.
BC-4	Стеклянный. Катод вольфрам, нанесенный на внутреннюю поверхность колбы.	720-800	200	0,075	820-880	$N=(4,5-6,5)*10^3$ при 0,1 Р/ч $N_{\max}=5*10^4$ $N_{\phi}=130$	$2*10^8$	-40...+50	$\varnothing 21,5 \times 175$ [40 г]	1-040
BC-6		720-800	250	0,075	950	$N=8*10^3 - 1,2*10^5$ при 0,1 Р/ч $N_{\max}=5*10^4$ $N_{\phi}=380$	$2*10^8$	-40...+50	$\varnothing 21,5 \times 260$ [65 г]	1-040
BC-8		720-800	150	0,1	950	$N=(3-4)*10^3$ при 0,1 Р/ч $N_{\max}=5*10^4$ $N_{\phi}=110$	$2*10^8$	-40...+50	$\varnothing 15 \times 180$ [25 г]	1-040
BC-9		720-800	250	0,075	900-950	$N=0,1$ имп/мин* см^2 при 0,1 мкР/ч $N=1,8*10^4$ $N_{\max}=5*10^4$ $N_{\phi}=380$	$2*10^8$	-40...+50	$\varnothing 31 \times 360$ [125 г]	1-040

Глава 1.1. Газоразрядные детекторы ионизирующих излучений

Продолжение таблицы 1.3а. Основные параметры счетчиков и детекторов гамма-излучения при температуре $20\pm5^{\circ}\text{C}$

Тип счетчика	Особенности конструкции, катод, назначение	Напряжение начала счета, В	Протяженность плато счетной характеристики, В, не менее	Наклон плато счетной характеристики, %/В	Рекомендуемое рабочее напряжение, В	Дозиметрические характеристики	Срок службы, импульсов, ч., не менее	Диапазон рабочих температур, $^{\circ}\text{C}$	Габаритные размеры, мм, [масса, г]	№ рис.
BC-9T (СИ-4Г)	То-же термостойкий	720-800	200	0,1	850	$N=1,8*10^4$	$1*10^8$	-50...+100	$\varnothing 31 \times 380$ [125 г]	1-040
BC-11	Стеклянный. Катод вольфрам, нанесенный на внутреннюю поверхность колбы.	720-800	200	0,075	950	$N=(7,3-9,9)*10^3$ при 0,1 Р/ч $N_{\max}=5*10^4$ $N_{\phi}=150$	$2*10^8$	-40...+50	$\varnothing 31 \times 180$ [65 г]	1-040
BC-13		720-800	150	0,1	950	$N=(1,5-2,5)*10^3$ при 0,53 мкР/с $N_{\max}=5*10^4$ $N_{\phi}=60$	$2*10^8$	-40...+50	$\varnothing 21 \times 100$ [25 г.]	1-041
BC-14		720-800	200	0,075	950	$N=(4,5-6,5)*10^3$ при 0,53 мкР/с $N_{\max}=5*10^4$ $N_{\phi}=130$	$2*10^8$	-40...+50	$\varnothing 21 \times 160$ [40 г]	1-041
BC-16		720-800	200	0,075	950	$N=8*10^3 - 1,2*10^5$ при 0,53 мкР/с $N_{\max}=5*10^4$ $N_{\phi}=180$	$2*10^8$	-40...+50	$\varnothing 21,5 \times 250$ [70 г]	1-041

Продолжение таблицы 1.3а. Основные параметры счетчиков и детекторов гамма-излучения при температуре $20 \pm 5^\circ\text{C}$

Тип счетчика	Особенности конструкции, катод, назначение	Напряжение начала счета, В	Протяженность плато счетной характеристики, В, не менее	Наклон плато счетной характеристики, %/В	Рекомендуемое рабочее напряжение, В	Дозиметрические характеристики	Срок службы, импульсов, ч., не менее	Диапазон рабочих температур, $^\circ\text{C}$	Габаритные размеры, мм, [масса, г]	№ рис.
ГС-4	Стеклянный. Катод графит, нанесенный на внутреннюю поверхность колбы.	1100-1300	200	0,1	1250-1350	$N_\phi=100$	$2*10^8$	-20...+50	$\varnothing 21,5 \times 175$ [35 г]	1-040
ГС-6		1100-1300	200	0,1	1250-1350	$N_\phi=164$	$2*10^8$	-20...+50	$\varnothing 21,5 \times 260$ [8,5 г]	1-040
ГС-7		1100-1300	200	0,1	1200-1400	$N_\phi=53$	$2*10^8$	-20...+50	$\varnothing 15 \times 140$ [15 г]	1-040
ГС-8	Стеклянный. Катод графит, нанесенный на внутреннюю поверхность колбы.	1100-1300	200	0,1	1200-1400	$N_\phi=70$	$2*10^8$	-20...+50	$\varnothing 15 \times 180$ [15 г]	1-040
ГС-9		1100-1300	250	0,1	1350-1450	$N_\phi=300$		-20...+50	$\varnothing 31 \times 360$	1-040
ГС-10		1100-1300	200	0,1	1350-1450	$N_\phi=100$		-20...+50	$\varnothing 31 \times 180$	1-040
ГС-11		1100-1300	200	0,1	1350-1450	$N_\phi=148$	$2*10^8$	-20...+50	$\varnothing 15 \times 180$ [15 г]	1-040
ГС-12		1100-1300	150	0,1	1350-1450	$N_\phi=25$	$2*10^8$	-20...+50	$\varnothing 15 \times 140$ [15 г]	1-040
МС-4		720-780	200	0,1	-	$N=(2,2-3)*10^3$ при $0,1 \text{ мкР/с}$ $N_{\max}=5*10^4$ $N_\phi=65$	$3*10^8$	-20...+50	$\varnothing 21,5 \times 175$ [40 г.]	1-040
МС-6	Стеклянный. Катод медь, нанесенная на внутреннюю поверхность колбы.	720-780	200	0,1	-	$N=(4,5-$ $5,5)*10^3$ при $0,1 \text{ мкР/с}$ $N_{\max}=5*10^4$ $N_\phi=120$	$3*10^8$	-20...+50	$\varnothing 21,5 \times 260$ [65 г]	1-040



Глава 1.1. Газоразрядные детекторы ионизирующих излучений

Продолжение таблицы 1.3а. Основные параметры счетчиков и детекторов гамма-излучения при температуре $20\pm5^{\circ}\text{C}$

Тип счетчика	Особенности конструкции, катод, назначение	Напряжение начала счета, В	Протяженность плато счетной характеристики, В, не менее	Наклон плато счетной характеристики, %/В	Рекомендуемое рабочее напряжение, В	Дозиметрические характеристики	Срок службы, импульсов, ч., не менее	Диапазон рабочих температур, $^{\circ}\text{C}$	Габаритные размеры, мм, [масса, г]	№ рис.
MC-7	Стеклянный. Катод медь, нанесенная на внутреннюю поверхность колбы.	720-780	100	0,15	-	$N=(0,85-1,3)*10^3$ при $0,1 \text{ мкР/с}$ $N_{\max}=5*10^4$ $N_{\phi}=28$	$1*10^8$	-20...+50	$\varnothing 21,5 \times 260$ [65 г]	1-040
MC-8	Стеклянный. Катод медь, нанесенная на внутреннюю поверхность колбы.	720-780	100	0,15	-	$N=(1,3-2,1)*10^3$ при $0,1 \text{ мкР/с}$ $N_{\max}=5*10^4$ $N_{\phi}=55$	$1*10^8$	-20...+50	$\varnothing 25 \times 180$ [25 г]	1-040
MC-9		720-780	100	0,1	-	$N=(0,93-1,27)*10^4$ при $0,1 \text{ мкР/с}$ $N_{\max}=5*10^4$ $N_{\phi}=280$	$1*10^8$	-20...+50	$\varnothing 31 \times 360$ [125 г]	1-040
MC-11		720-780	200	0,1	-	$N=(3,6-5)*10^3$ при $0,1 \text{ мкР/с}$ $N_{\max}=5*10^4$ $N_{\phi}=105$	$1*10^8$	-20...+50	$\varnothing 31 \times 180$ [125 г]	1-040
MC-12	Стеклянный. Катод медь, нанесенная на внутреннюю поверхность колбы.	720-780	100	0,15	-	$N=(3,7-5,7)*10^2$ при $0,1 \text{ мкР/с}$ $N_{\max}=5*10^4$ $N_{\phi}=15$	$1*10^8$	-25...+50	$\varnothing 15 \times 140$ [20 г]	1-040

Глава 1.1. Газоразрядные детекторы ионизирующих излучений

Окончание таблицы 1.3а. Основные параметры счетчиков и детекторов гамма-излучения при температуре $20 \pm 5^\circ\text{C}$

Тип счетчика	Особенности конструкции, катод, назначение	Напряжение начала счета, В	Протяженность плато счетной характеристики, В, не менее	Наклон плато счетной характеристики, %/В	Рекомендуемое рабочее напряжение, В	Дозиметрические характеристики	Срок службы, импульсов, ч., не менее	Диапазон рабочих температур, $^\circ\text{C}$	Габаритные размеры, мм, [масса, г]	№ рис.
MC-13	Стеклянный. Катод медь, нанесенная на внутреннюю поверхность колбы.	720-780	200	0,15	-	$N=(3,9-5,2)*10^3$ при 0,53 мкР/с $N_{\max}=5*10^4$ $N_\phi=30$	$1*10^8$	-40...+50	$\varnothing 21,5 \times 100$ [25 г]	1-040
MC-14	Стеклянный. Катод медь, нанесенная на внутреннюю поверхность колбы.	720-780	200	0,15	-	$N=(0,97-1,2)*10^4$ при 0,53 мкР/с $N_{\max}=5*10^4$ $N_\phi=70$	$3*10^8$	-40...+50	$\varnothing 21,5 \times 160$ [40 г]	1-041
MC-16	Стеклянный. Катод медь, нанесенная на внутреннюю поверхность колбы.	720-780	200	0,15	-	$N=(1,7-2,15)*10^4$ при 0,53 мкР/с $N_{\max}=5*10^4$ $N_\phi=120$	$3*10^8$	-40...+50	$\varnothing 21,5 \times 250$ [70 г]	1-041
CГС-3	Стеклянный. Цилиндрический. Самогасящийся.	-	60	0,25	380	-	-	-20...+50	$\varnothing 10 \times 55$	1-042
CГС-4		-			340	-	-	-20...+50	$\varnothing 10 \times 38$	1-042
CГС-5		-	60	0,25	380	-	$1*10^{10}$	-20...+50	$\varnothing 8 \times 62$	1-042

MC-14



Рис. 1.7доп. Внешний вид счетчиков.

Глава 1.1. Газоразрядные детекторы ионизирующих излучений

1.1.3.2. Детекторы и счетчики гамма-излучения СГС-6, СИ-1Г, СИ-1 ГИП, СИ-4Г, СИ-5Г, СИ-6Г, СИ-7Г, СИ-8Г, СИ-10Г, СИ-11Г, СИ-12Г, СИ-13Г, СИ-14Г, СИ-19Г, СИ-20Г, СИ-21Г, СИ-22Г, СИ-22ГУ, СИ-23Г

Основные параметры детекторов и счетчиков гамма излучения приводятся в табл. 1.3б. Внешний вид приборов приводится на рис..1.8.

Таблица 1.3б. Основные параметры счетчиков и детекторов гамма-излучения при температуре $20\pm 5^{\circ}\text{C}$

Тип счетчика	Особенности конструкции, катод, назначение	Напряжение начала счета, В	Протяженность плато счетной характеристики, В, не менее	Наклон плато счетной характеристики, %/В	Рекомендуемое рабочее напряжение, В	Дозиметрические характеристики	Срок службы, импульсов, ч., не менее	Диапазон рабочих температур, $^{\circ}\text{C}$	Габаритные размеры, мм, [масса, г]	№ рис.
СГС-6	Торцевой. Стеклянный. Катод - никелевый. Режим работы токовый и импульсный	270-310	80	0,15	380-400	$N=20-30$ имп/с при 1 мкР/ч $N=(5,9-7,1)*10^3$ при 1 Р/ч. $N=1,5*10^6$ $I_{\max}=65$	$1*10^8$	-40...+50	$\varnothing 8x90$ [6 г]	1-050
СИ-1Г	Стеклянный. Катод - трубка из нержавеющей стали.	280-335	80	0,125	350-450	$N=496-744$ при 0,1 мкР/с $N=1,75*10^4$ $N_{\max}=10^5$ $N_{\phi}=25$ $P_{\max}=50$	$1*10^9$	-50...+70	$\varnothing 50x90$ [15 г]	1-040
СИ-1 ГИП	Стеклянный. Катод - проводящая пленка.	900-1000	-	-	1000	$\varepsilon=60$	$1*10^6$	-80...+120	$\varnothing 8x370$ [23 г]	1-038
СИ-4Г	Стеклянный. Катод - пленка вольфрама, нанесенная на внутреннюю поверхность колбы.	720-800	200	0,1	910	$N=(1,8-2,5)*10^4$ имп/с при 0,1 мкР/с $N_{\max}=5*10^4$ $N_{\phi}=380$	20 ч.	-40...+50	$\varnothing 31x360$ [125 г]	1-040

Глава 1.1. Газоразрядные детекторы ионизирующих излучений

Продолжение таблицы 1.3б. Основные параметры счетчиков и детекторов гамма-излучения при температуре $20\pm5^{\circ}\text{C}$

Тип счетчика	Особенности конструкции, катод, назначение	Напряжение начала счета, В	Протяженность плато счетной характеристики, В, не менее	Наклон плато счетной характеристики, %/В	Рекомендуемое рабочее напряжение, В	Дозиметрические характеристики	Срок службы, импульсов, ч., не менее	Диапазон рабочих температур, $^{\circ}\text{C}$	Габаритные размеры, мм, [масса, г]	№ рис.
СИ-5Г	Стеклянный. Катод - пленка графита, нанесенная на внутреннюю поверхность колбы.	1150-1250	250	0,1	1350	$N_{\max}=5*10^4$ $N_{\phi}=1000$	$3*10^8$	-40...+50	$\varnothing 63 \times 652$ [63 г]	1-040
СИ-6Г		1150-1250	200	0,01	1350	$N_{\max}=5*10^4$ $N_{\phi}=430$	$3*10^8$	-40...+50	$\varnothing 63 \times 652$ [63 г]	1-040
СИ-7Г	Стеклянный. Катод - пленка графита, нанесенная на внутреннюю поверхность колбы. Регистрация небольших уровней излучения.	1150-1250	150	0,1	1350	$N_{\max}=3*10^4$ $N_{\phi}=100$	$5*10^7$	-50...+100	$\varnothing 15 \times 220$ [25 г]	1-040 1-043 1-044
СИ-8Г		1150-1250	250	0,1	1350	$N_{\max}=5*10^4$ $N_{\phi}=300$	$3*10^8$	-40...+50	$\varnothing 31 \times 360$ [150 г]	1-040
СИ-10Г	Стеклянный. Катод - проводящая пленка олова.	295-330	80	0,2	-	$N=24-30$ имп/с при $0,1 \text{ мкР/с}$ $P_{\max}=50$	$3*10^8$	-50...+100	$\varnothing 16 \times 93,5$ [25 г]	1-045
СИ-11Г		295-300	80	0,2	-	$N=52-65$ имп/с при $0,1 \text{ мкР/с}$ $P_{\max}=1$	$3*10^8$	-50...+100	$\varnothing 23 \times 180$ [15 г]	1-045
СИ-12Г	Стеклянный. Катод - проводящая пленка олова.	295-300	80	0,25	-	$N=20-25$ имп/с при $0,1 \text{ мкР/с}$ $P_{\max}=5$	$3*10^8$	-50...+100	$\varnothing 9 \times 180$ [15 г]	1-046
СИ-13Г		290-300	80	0,25	360-440	$N=19-27$ имп/с при 10 мкР/с $N_{\phi}=15$ $P_{\max}=20$	$1*10^{10}$	-50...+60	$\varnothing 9 \times 63$ [10 г]	1-045

Глава 1.1. Газоразрядные детекторы ионизирующих излучений

Окончание таблицы 1.3б. Основные параметры счетчиков и детекторов гамма-излучения при температуре $20\pm 5^{\circ}\text{C}$

Тип счетчика	Особенности конструкции, катод, назначение	Напряжение начала счета, В	Протяженность плато счетной характеристики, В, не менее	Наклон плато счетной характеристики, %/В	Рекомендуемое рабочее напряжение, В	Дозиметрические характеристики	Срок службы, импульсов, ч., не менее	Диапазон рабочих температур, $^{\circ}\text{C}$	Габаритные размеры, мм, [масса, г]	№ рис.
СИ-14Г	Стеклянный. Катод - проводящая пленка олова. Металлический. Катод - нержавеющая сталь.	295-330	80	-	-	$N=0,9-1,1$ имп/с при 0,1 мкР/с $P_{max}=300$	$3 \cdot 10^8$	-50...+100	$\varnothing 8 \times 60$ [10 г]	1-046
СИ-19Г		280-320	100	0,125	360-460	$N=500$ при 0,1 мкР/с $N_{max}=2 \cdot 10^5$ $N_{\phi}=20$	$1 \cdot 10^{10}$	-40...+50	$\varnothing 11 \times 90$ [10 г]	1-047
СИ-20Г		285-335	100	0,125	380-480	$N=2100$ $N_{max}=2 \cdot 10^5$ $N_{\phi}=60$	$1 \cdot 10^{10}$	-40...+50	$\varnothing 19 \times 175$ [35 г]	1-047
СИ-21Г		285-335	100	0,125	380-480	$N=3700$ $N_{max}=2 \cdot 10^5$ $N_{\phi}=80$	$1 \cdot 10^{10}$	-40...+50	$\varnothing 19 \times 260$ [45 г]	1-047
СИ-22Г СИ-22ГУ		285-335	100	0,125	380-480	$N=3700$ $N=540$ имп/мкР $N_{max}=3 \cdot 10^3$ $N_{\phi}=75$ $P_{max}=7$	$1 \cdot 10^{10}$	-40...+50	$\varnothing 19 \times 215$ [40 г]	1-047
СИ-23Г	Стеклянный. Катод - вольфрамовый.	720-800	200	0,07	900	$N=0,1$ имп/мин \cdot см 2 при 0,1 мкР/с $N=200-400$ имп/мкР $N_{max}=2 \cdot 10^4$	$1 \cdot 10^7$	до +200	$\varnothing 33 \times 400$ [40 г.]	1-040

Глава 1.1. Газоразрядные детекторы ионизирующих излучений

1.1.3.3. Детекторы и счетчики гамма-излучения СИ-24Г, СИ-25Г, СИ-31Г, СИ-33Г, СИ-34Г, СИ-37Г, СИ-38Г, СИ-39Г, СИ-40Г, ЛТС-1, СИ-1БГ, СИ-2БГ, СИ-3БГ, СИ-10БГ, СИ-11БГ, СИ-21БГ, СИ-22БГ, СТС-1, СТС-2, СТС-3, СТС-8, СГМ11, СГМ18, СГМ19

Основные параметры детекторов и счетчиков гамма излучения приводятся в табл. 1.3в. Внешний вид приборов приводится на рис.1.8 и 1.8а.

Таблица 1.3в. Основные параметры счетчиков и детекторов гамма-излучения при температуре $20\pm5^{\circ}\text{C}$

Тип счетчика	Особенности конструкции, катод, назначение	Напряжение начала счета, В	Протяженность плато счетной характеристики, В, не менее	Наклон плато счетной характеристики, %/В	Рекомендуемое рабочее напряжение, В	Дозиметрические характеристики	Срок службы, импульсов, ч., не менее	Диапазон рабочих температур, $^{\circ}\text{C}$	Габаритные размеры, мм, [масса, г]	№ рис.
СИ-24Г	Стеклянный. Катод - сеточный нихромовый. Режим работы токовый и импульсный.	285-335	100	-	370-410	$N=50-100$ имп/мкР $P_{\max}=5$ $I_{\max}=30$	200 ч.	-40...+50	$\varnothing 9 \times 85$ [25 г]	1-045
СИ-25Г	Катод - спиралеобразный. Регистрация γ -излучения с мощностью дозы 200 Р/ч .	285-335	100	1,5	370-410	$P_{\max}=200$ $I_{\max}=30$	200 ч.	-60...+85	$\varnothing 10 \times 55$ [15 г]	1-048
СИ-31Г	Стеклянный. Термоустойчивый. Катод - порошкообразный вольфрам.	720-800	200	0,07	900	$N=0,1$ имп/мин* см^2 при 1 мкР/с $N_{\max}=2 \cdot 10^4$ $N_{\phi}=320$	$5 \cdot 10^7$	+10...+250	$\varnothing 27 \times 400$ [92 г]	1-040
СИ-33Г	Стеклянный. Регистрация жесткого γ -излучения с мощностью дозы до 5 Р/ч.	285-335	100	0,2	350-440	$N=18,5-22,5$ имп/с при 1 мкР/с $N_{\max}=7,5 \cdot 10^5$ $N_{\phi}=10$ $I_{\max}=36,4$	$1 \cdot 10^{10}$	-40...+85	$\varnothing 8 \times 90$ [6 г]	1-048

Глава 1.1. Газоразрядные детекторы ионизирующих излучений

Продолжение таблицы 1.3в. Основные параметры счетчиков и детекторов гамма-излучения при температуре $20 \pm 5^\circ\text{C}$

Тип счетчика	Особенности конструкции, катод, назначение	Напряжение начала счета, В	Протяженность плато счетной характеристики, В, не менее	Наклон плато счетной характеристики, %/В	Рекомендуемое рабочее напряжение, В	Дозиметрические характеристики	Срок службы, импульсов, ч., не менее	Диапазон рабочих температур, $^\circ\text{C}$	Габаритные размеры, мм, [масса, г]	№ рис.
СИ-34Г	Стеклянный. Регистрация жесткого γ -излучения с мощностью дозы до 500 Р/ч. Режим работы токовый и импульсный	360	80	0,3	390	$N=40-60$ имп/с при 1 Р/ч $N_{\max}=1,55 \cdot 10^4$ при 500 Р/ч $N_\phi=0,5$ $I_{\max}=42$ $P_{\max}=1000$	$1 \cdot 10^{10}$	-40...+50	$\varnothing 8 \times 55$ [3,5 г]	1-048
СИ-37Г	Стеклянный. Регистрация жесткого γ -излучения с мощностью дозы до 10 Р/ч в импульсном режиме.	285-335	100	0,25	350-450	$N=19-27$ имп/с $N_\phi=15$ $P_{\max}=500$	$2 \cdot 10^{10}$	-55...+85	$\varnothing 8 \times 63$ [4,5 г]	1-048
СИ-38Г	Стеклянный. Регистрация γ -излучения с мощностью дозы до 1000 Р/ч	285-335	100	0,3	500-600	$N=8,8-13,2$ имп/с при 1 Р/ч $N_\phi=0,5$ $P_{\max}=3600$	$2 \cdot 10^9$	-50...+60	$\varnothing 10 \times 55$ [3,5 г]	1-048
СИ-39Г	Стеклянный. Катод - металлический. Регистрация жесткого γ -излучения с мощностью дозы до 5Р/ч.	285-335	80	0,2	395	$N=19,5-21$ имп/с $N_\phi=0,16$ $P_{\max}=1000$	$1 \cdot 10^{10}$	-50...+75	$\varnothing 8 \times 90$ [6 г]	1-049
СИ-40Г	Стеклянный. Катод - стальной. Регистрация жесткого γ -излучения с мощностью дозы до 500Р/ч.	285-335	100	0,3	390	$N=45-55$ имп/с $P_{\max}=1000$	$1 \cdot 10^{10}$	-50...+60	$\varnothing 10 \times 55$ [45 г]	1-048

Глава 1.1. Газоразрядные детекторы ионизирующих излучений

Продолжение таблицы 1.3в. Основные параметры счетчиков и детекторов гамма-излучения при температуре $20\pm5^{\circ}\text{C}$

Тип счетчика	Особенности конструкции, катод, назначение	Напряжение начала счета, В	Протяженность плато счетной характеристики, В, не менее	Наклон плато счетной характеристики, %/В	Рекомендуемое рабочее напряжение, В	Дозиметрические характеристики	Срок службы, импульсов, ч., не менее	Диапазон рабочих температур, $^{\circ}\text{C}$	Габаритные размеры, мм, [масса, г]	№ рис.
ЛТС-1	Стеклянный. Катод - вольфрамовый.	285-335	200	0,05	-	$N=0,1$ имп/мин* см^2 при 1 мкР/ч	$1*10^8$	-10...+40	-	-
СИ-1БГ	Стеклянный. Катод - сетка из никелевой проволоки. Режим работы токовый и импульсный	285-335	100	-	375-410	$I=10$ при 1,5 Р/ч	100 ч.	-40...+50	$\text{Ø}10x60$ [10 г]	1-051
СИ-2БГ		285-335	100	-	375-410	$P_{\max}=150$ $I=10$ при 50 Р/ч	100 ч.	-40...+50	$\text{Ø}10x60$ [10 г]	1-051
СИ-3БГ		380-460	80	0,25	290-330	$N=48-72$ при 3,6 мкР/ч $P=300$ $P_{\max}=900$	100 ч.	-40...+50	$\text{Ø}10x55$ [25 г]	1-045
СИ-10БГ	Стеклянный. Катод - сетка из никелевой проволоки. Режим работы токовый.	285-335	80	0,25	390	$P=1,5$ $P_{\max}=15$ $I=15$ при 3,6 Р/ч	150 ч.	-40...+50	$\text{Ø}17x75$ [15 г]	1-051
СИ-11БГ	Стеклянный. Катод - сетка из никелевой проволоки. Режим работы токовый и импульсный.	285-335	80	0,25	375-410	$P=50$ $P_{\max}=150$ $I=15$ при 50 Р/ч	100 ч.	-40...+50	$\text{Ø}17x75$ [15 г]	1-041
СИ-21БГ	Стеклянный. Катод - металлический цилиндр. Регистрация γ -излучения с мощностью дозы до 50Р/ч в токовом режиме.	285-335	100		350-450	$P=50$ $P_{\max}=1000$ $I=0,4-0,7$ при 1 Р/ч $I_{\max}=12-20$	300 ч.	-40...+50	$\text{Ø}17x70$ [15 г]	1-051

Глава 1.1. Газоразрядные детекторы ионизирующих излучений

Продолжение таблицы 1.3в. Основные параметры счетчиков и детекторов гамма-излучения при температуре $20\pm5^{\circ}\text{C}$

Тип счетчика	Особенности конструкции, катод, назначение	Напряжение начала счета, В	Протяженность плато счетной характеристики, В, не менее	Наклон плато счетной характеристики, %/В	Рекомендуемое рабочее напряжение, В	Дозиметрические характеристики	Срок службы, импульсов, ч., не менее	Диапазон рабочих температур, $^{\circ}\text{C}$	Габаритные размеры, мм, [масса, г]	№ рис.
СИ-22БГ	Стеклянный. Катод - металлический цилиндр. Регистрация γ -излучения с мощностью дозы до 1,5Р/ч в токовом режиме.	285-335	100	-	350-450	I=9,4-15,6 при 1 Р/ч I=12-20 при 1,5 Р/ч P=50 $P_{\max}=1000$	300 ч.	-40...+50	$\varnothing 17 \times 70$ [15 г]	1-051
СТС-1	Стеклянный. Катод - трубка из нержавеющей стали.	280-320	80	0,125	360-440	N=496-744 при 0,1 мкР/с $N_{\max}=10^5$ $N_{\phi}=25$ $P_{\max}=50$	1×10^9	-50...+70	$\varnothing 15,24 \times 90$ [15 г]	1-048
СТС-2	Регистрация γ -излучения с мощностью дозы до 1,5Р/ч в токовом и импульсном режиме.	285-335	80	0,25	380-460	N=(1,47-2,22)* 10^3 при 0,1 Р/ч $N_{\max}=4 \times 10^4$ $N_{\phi}=75$	200 ч.	-55...+70	$\varnothing 24 \times 175$ или $\varnothing 24 \times 260$ [40 г]	1-052
СТС-3	Регистрация γ -излучения с мощностью дозы до 1,5Р/ч в токовом и импульсном режиме.	285-335	80	0,25	380-460	N=(3,3-4,9)* 10^3 при 0,1 Р/ч $N_{\max}=3 \times 10^4$ $N_{\phi}=130$	200 ч.	-55...+70	$\varnothing 23 \times 260$ [40 г] или $\varnothing 23 \times 215$ [53 г]	1-052
СТС-8	Регистрация γ -излучения с мощностью дозы до 1,5Р/ч в токовом и импульсном режиме.	285-335	80	0,25	380-460	N=(2,6-3,84)* 10^3 при 0,1 Р/ч $N_{\max}=4 \times 10^4$ $N_{\phi}=110$	200 ч.	-55...+70	$\varnothing 23 \times 215$ [45 г]	1-052

Глава 1.1. Газоразрядные детекторы ионизирующих излучений

Окончание таблицы 1.3в. Основные параметры счетчиков и детекторов гамма-излучения при температуре $20 \pm 5^\circ\text{C}$

Тип счетчика	Особенности конструкции, катод, назначение	Напряжение начала счета, В	Протяженность плато счетной характеристики, В, не менее	Наклон плато счетной характеристики, %/В	Рекомендуемое рабочее напряжение, В	Дозиметрические характеристики	Срок службы, импульсов, ч., не менее	Диапазон рабочих температур, $^\circ\text{C}$	Габаритные размеры, мм, [масса, г]	№ рис.
СГМ11	Четырехсекционный счетчик.	285-330	100	0,125	350-480	-	-	-40...+60	-	-
СГМ18	Семисекционные счетчики. Для измерения мощности экспозиционной дозы и оценки энергетического спектра γ -излучения по относительному числу совпадающих импульсов на выходе счетчика	285-330	100	0,125	350-480	$1*10^{-2} - 0,83$ мкР/с	$7*10^{10}$	-40...+60	$\varnothing 16 \times 140$	1-047
СГМ19		285-330	100	0,1	350-480	$1*10^{-2} - 0,56$ мкР/с	$7*10^{10}$	-40...+60	$\varnothing 24 \times 189$	1-047

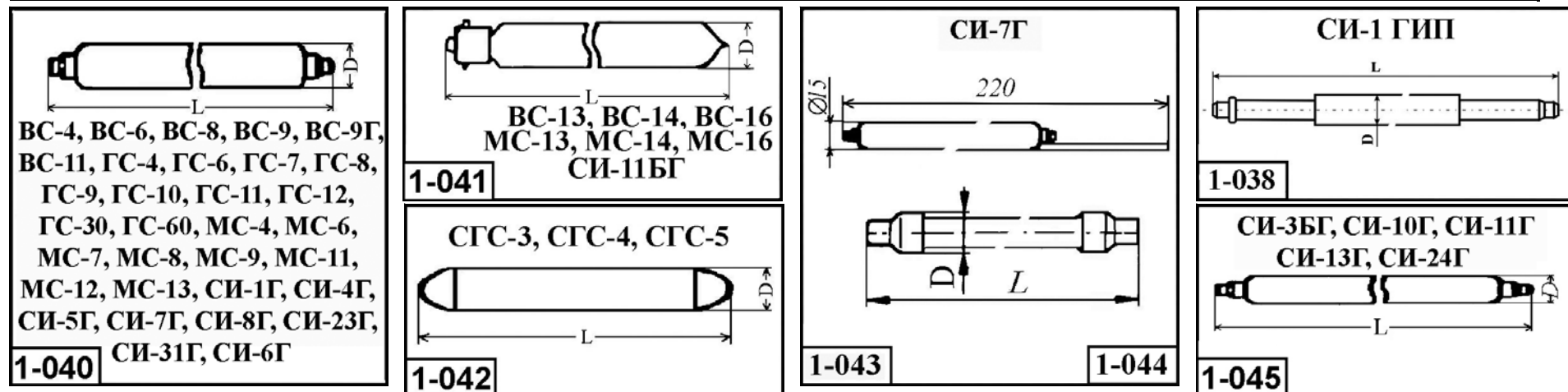


Рис. 1.8. Внешний вид и габаритные размеры счетчиков и детекторов гамма-излучения

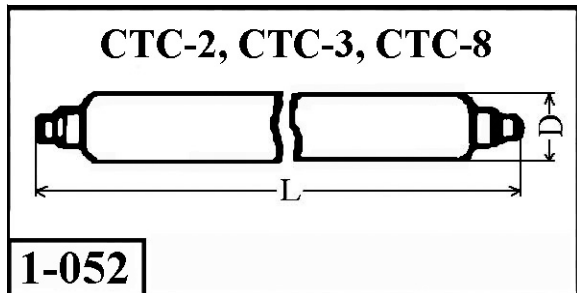
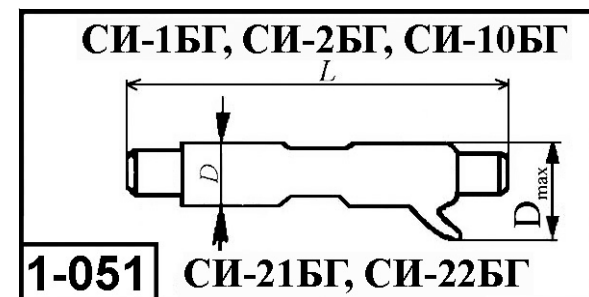
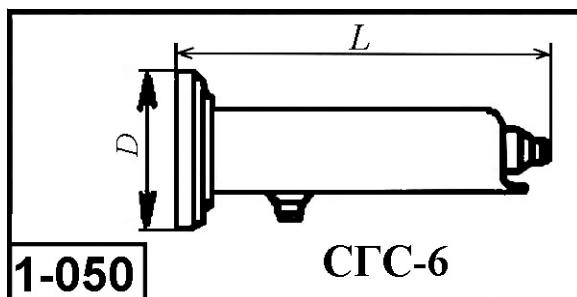
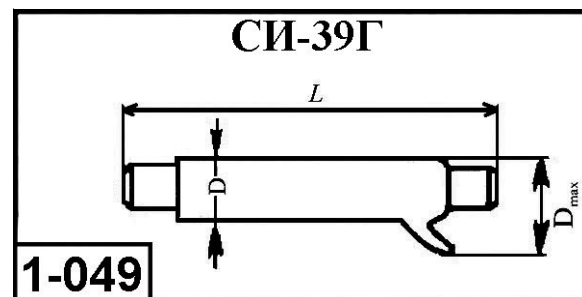
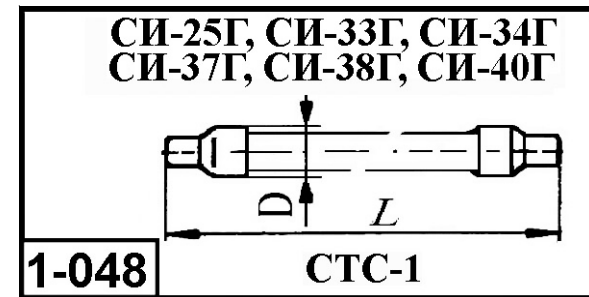
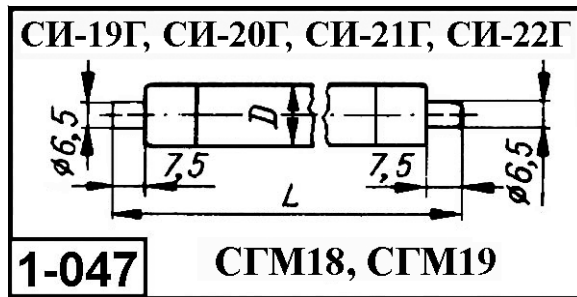
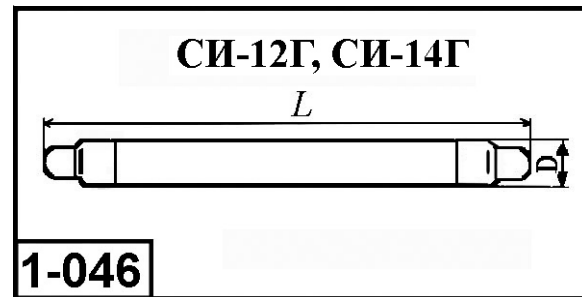


Рис. 1.8а. Внешний вид и габаритные размеры счетчиков и детекторов гамма-излучения

Глава 1.1. Газоразрядные детекторы ионизирующих излучений

1.1.3.4д. Детекторы и счетчики гамма-излучения Бета-1М, Бета-1М-1, Бета-2М, Бета-2М-1, Бета-5М, Бета-5М-1, Бета-6М, Бета-6М-1, Бета-7-1, Бета-7М-1

Основные параметры детекторов и счетчиков гамма-излучения приводятся в табл.1.3д.. Внешний вид приборов приводится на рис.1.8д.

Таблица 1.3д. Основные параметры счетчиков и детекторов гамма-излучения при температуре $20 \pm 5^\circ\text{C}$

Тип счетчика	Напряжение начала счета, В, не более	Протяженность плато счетной характеристики, В, не менее	Наклон плато счетной характеристики, % /В, не более	Рекомендуемое рабочее напряжение, В	Эффективность, %, к:			Чувствительность к ^{60}Co , имп / мкР	Собственный фон в свинцовой камере 50 мм, имп / с	Мертвое время, мкс. не более	Межэлектродная ёмкость, пФ	Площадь сплюдяного окна, см ²	Срок службы, импульсов, не менее	Диапазон рабочих температур, $^\circ\text{C}$	Габаритные размеры без выводов, мм, [масса, г]	№ рис.
					^{204}Tl	$^{90}\text{Sr} - 90\text{Y}$	^{239}Pu									
Бета-1М	305	$350 \div 550$	0,25	400				96 \div 144	0,6 max		4	20	1×10^{10}	-50 \div +60	$\varnothing 44 \times 20$ [19]	1-012д
Бета-1М-1	305	$350 \div 550$	0,25	400				96 \div 144	0,6 max		10,3		1×10^{10}	-50 \div +60	$\varnothing 44 \times 8$ [20]	1-013д
Бета-2М	305	$350 \div 550$	0,25	400				160 \div 240	1,0 max		9,5	9,5	1×10^{10}	-50 \div +60	$\varnothing 46,2 \times 20$ [27,5]	1-014д
Бета-2М-1	305	$350 \div 550$	0,25	400				160 \div 240	1,0 max		17		1×10^{10}	-50 \div +60	$\varnothing 56,5 \times 8$ [40]	1-015д
Бета-5М	305	$350 \div 550$	0,2	400				350 \div 500	2,2 max		13,9		1×10^{10}	-50 \div +60	68x88x22 [130]	1-016д
Бета-5М-1	305	$350 \div 550$	0,2	400				350 \div 500	2,2 max		24,8		1×10^{10}	-50 \div +60	69x88x12,2 [133]	1-017д
Бета-6М	305	$350 \div 550$	0,15	400				22 \div 33	0,2 max				1×10^{10}	-50 \div +60	$\varnothing 25 \times 20$ [9,3]	1-018д
Бета-6М-1	305	$350 \div 550$	0,15	400				22 \div 33	0,2 max		7		1×10^{10}	-50 \div +60	$\varnothing 25 \times 8$ [8,2]	1-019д
Бета-7-1	305	$350 \div 550$	0,15	400	45	60	36	10 \div 14	0,1 max	130	5,6	0,7	1×10^{10}	-50 \div +60	$\varnothing 17 \times 7,5$ [3]	1-020д
Бета-7М-1	305	$350 \div 550$	0,15	400				10 \div 14	0,1 max		6,5		1×10^{10}	-50 \div +60	$\varnothing 17 \times 7,5$ [3,3]	1-020д

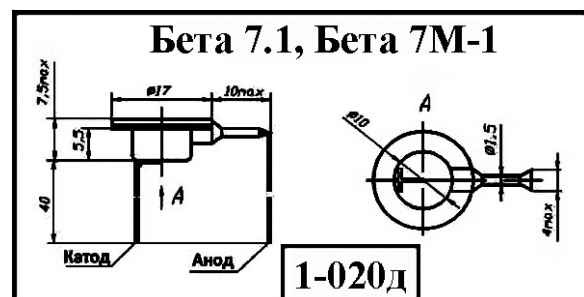
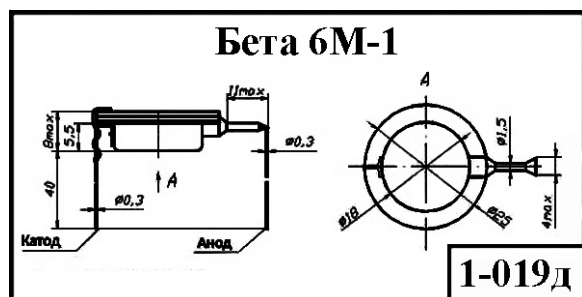
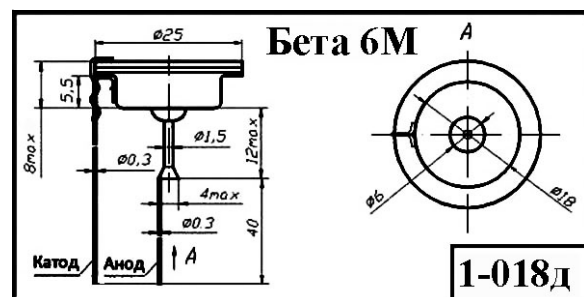
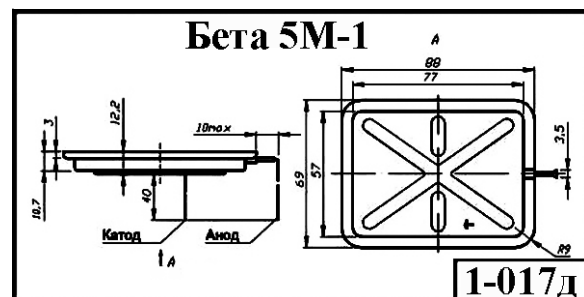
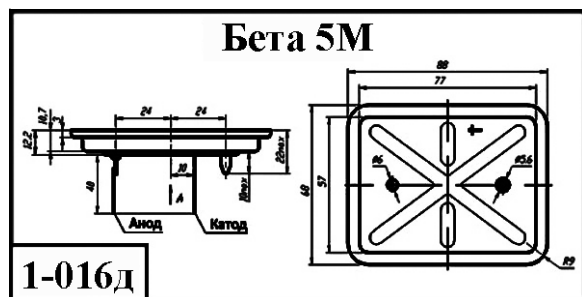
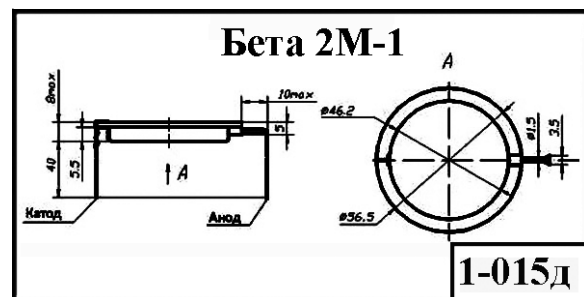
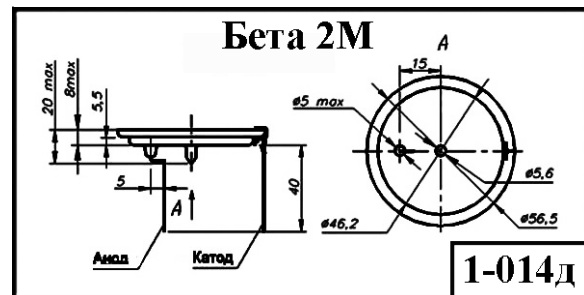
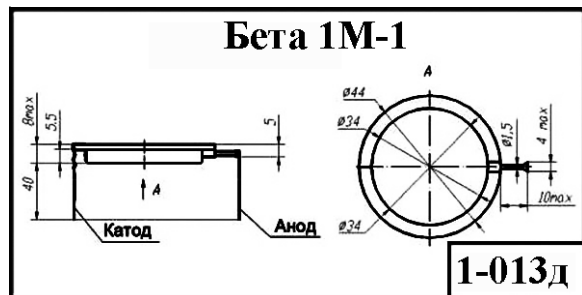
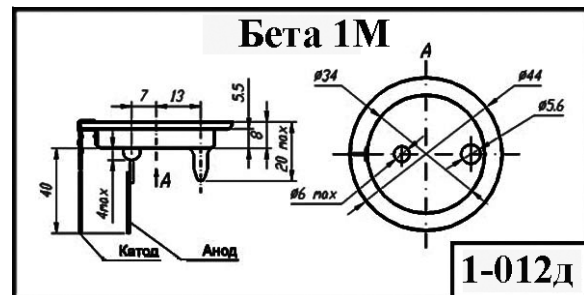


Рис. 1.8д. Внешний вид детекторов и счетчиков гамма-излучения



Глава 1.1. Газоразрядные детекторы ионизирующих излучений

1.1.3.5д. Детекторы и счетчики гамма-излучения Гамма-1-1, Гамма-2-1, Гамма-3-1, Гамма-4, Гамма-5, Гамма-6, Гамма-6-1, Гамма-7, Гамма-7Ц, Гамма-8, Гамма-8Ц, Гамма-9/13, Гамма-9/18, Гамма-10, Гамма-11, Гамма-11Ц, Гамма-12, Гамма-13

Основные параметры счетчиков γ -излучения приводятся в табл. 1.3-1д.. Внешний вид приборов приводится на рис.1.8-1д.,18-2д.

Таблица 1.3-1д. Основные параметры счетчиков и детекторов гамма-излучения при температуре $20 \pm 5^\circ\text{C}$

Тип счетчика	Напряжение начала счета, В, не более	Протяженность плато счетной характеристики, В, не менее	Наклон плато счетной характеристики, %/В, не более	Рекомендуемое рабочее напряжение, В	Чувствительность к ^{60}Co , имп / мкР	Собственный фон в свинцовой камере 50 мм, имп / с	Межэлектродная ёмкость, пФ	Срок службы, импульсов, не менее	Диапазон рабочих температур, $^\circ\text{C}$	Габаритные размеры без выводов, мм, [масса, г]	№ рис.
Гамма-1-1 (СИ34Г)	305 max	350 \div 550	0,3 max	400	40 \div 60	0,008	0,9	1×10^{10}	-40 \div +50	$\varnothing 9,5 \times 60$ [5]	1-021д
Гамма-2-1 (СИ38Г)	415 max	500 \div 600	0,35 max	550	8,8 \div 13,2	0,008	1	1×10^{10}	-50 \div +60	$\varnothing 9,5 \times 60$ [5]	1-021д
Гамма-3-1 (СИ3БГ)	315 max	380 \div 460	0,25 max	390	188 \div 282	0,2	0,8	1×10^{10}	-50 \div +60	$\varnothing 9,5 \times 60$ [5]	1-021д
Гамма-4	300 max	350 \div 450	0,2 max	400	136 \div 184	1,0 max	3,6	1×10^{10}	-40 \div +50	$\varnothing 19 \times 120$ [20]	1-022д
Гамма-6	305	350 \div 550	0,25 max	400	160 \div 240	1,0 max	11,2	1×10^{10}	-50 \div +60	$\varnothing 56,5 \times 26,6$ [35,5]	1-023д
Гамма-6-1	305	350 \div 550	0,25 max	400	160 \div 240	1,0 max	11,2	1×10^{10}	-50 \div +60	$\varnothing 56,5 \times 16$ [35,5]	1-024д
Гамма-7 (СБМ-20-1)	310	350 \div 450	0,1	400	60 \div 75	0,1	4	1×10^{10}	-40 \div +50	$\varnothing 11 \times 87$ [4,6]	1-025д
Гамма-7Ц (СБМ-20)	310	350 \div 450	0,1	400	60 \div 75	0,5	4	1×10^{10}	-40 \div +50	$\varnothing 10 \times 107$ [7,5]	1-026д
Гамма-8	310	350 \div 450	0,125	400	285 \div 385	1,3	5	1×10^{10}	-40 \div +50	$\varnothing 19 \times 232$ [35]	1-027д
Гамма-8Ц (СИ21Г)	310	350 \div 450	0,125	400	285 \div 385	1,3	5	1×10^{10}	-40 \div +50	$\varnothing 18 \times 258$ [48]	1-028д
Гамма-9/13	305	350 \div 550	0,1	400	40 \div 55	0,2	2,1	1×10^{10}	-40 \div +50	$\varnothing 13 \times 52$ [5,9]	1-029д
Гамма-9/18	320	350 \div 550	0,2	400	54 \div 73	0,2	2,3	1×10^{10}	-40 \div +50	$\varnothing 13 \times 52$ [10,2]	1-029д
Гамма-10	305	350 \div 550	0,2	400	31 \div 39	0,2		1×10^{10}	-40 \div +50	$\varnothing 18 \times 29$ [5,4]	1-030д
Гамма-11	335	350 \div 450	0,125	400	205 \div 251	1,25		1×10^{10}	-40 \div +50	$\varnothing 18 \times 192$ [30]	1-031д
Гамма-11Ц (СИ22Г)	335	350 \div 450	0,125	400	205 \div 251	1,25		1×10^{10}	-40 \div +50	$\varnothing 18 \times 218$ [43]	1-028д
Гамма-12	800	150	0,-5	900	160 \div 210	1,0 max	5,6 \div 5,9	3×10^8	-50 \div +150	$\varnothing 18 \times 160$ [32]	1-032д
Гамма-13	800	150	0,008	900	110 \div 150	1,0 max	5,3 \div 5,6	3×10^8	-50 \div +150	$\varnothing 18 \times 125$ [32]	1-032д

Глава 1.1. Газоразрядные детекторы ионизирующих излучений

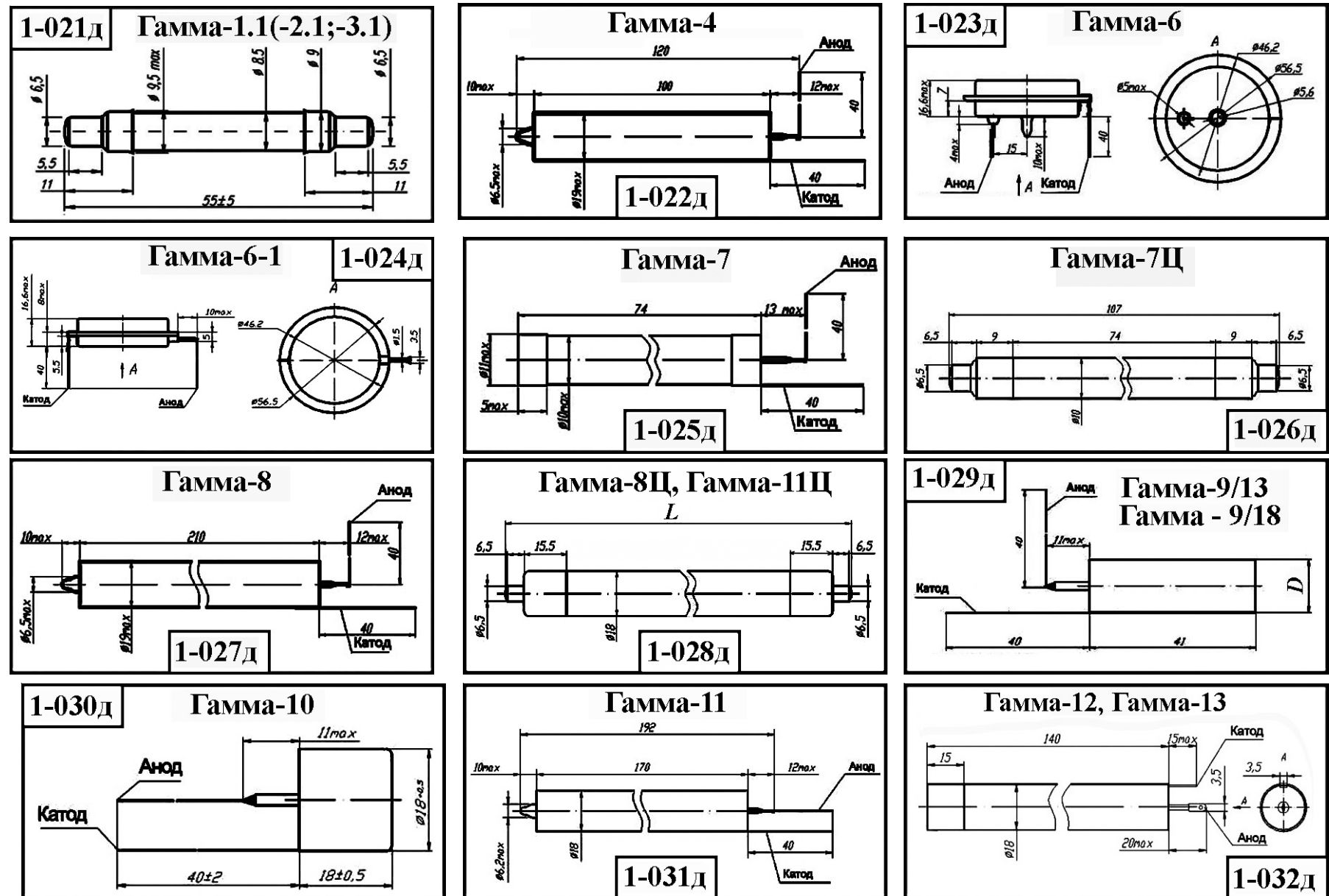


Рис. 1.8-1д. Внешний вид детекторов и счетчиков гамма-излучения

1.1.4. Детекторы нейтронов

1.1.4.1. Детекторы нейтронов СИ-10Н, СИ-13Н, СИ-19Н, СНМ-3, СНМ-5, СНМО-5, СНМ-8, СНМ-9, СНМ-10, СНМ-11, СНМ-12, СНМ-13, СНМ-14, СНМ-15, СНМ-16, СНМ-17

Основные параметры детекторов нейтронов приводятся в табл. 1.4.а Внешний вид приборов приводится на рис. 1.8.

Таблица 1.4а. Основные параметры детекторов нейтронов при температуре $20\pm 5^{\circ}\text{C}$

Тип счетчика	Особенности конструкции, катод, назначение	Напряжение начала счета или (зажигания короны), В	Протяженность плато счетной характеристики, В, не менее	Наклон плато счетной характеристики, %/В	Рекомендуемое рабочее напряжение, В	Дозиметрические характеристики	Срок службы, импульсов, не менее	Эффективность к тепловым нейтронам, %	Диапазон рабочих температур, $^{\circ}\text{C}$	Габаритные размеры, мм, [масса, г]	№ рис.
СИ-10Н	Металлический. Пропорциональный. Регистрация медленных нейтронов.	-	100	0,05-0,1	2850-2950	$N_{\phi}=5$	$1*10^{10}$	-	-10...+120	$\varnothing 18x270$ [45 г]	1-055
СИ-13Н	Регистрация медленных нейтронов.	(1600-1750)	800	0,02	2000-2800	$N_{\phi}=0,083$ имп/с	-	-	-20...+30	$\varnothing 18x270$ [45 г]	1-055
СИ-19Н		(1600-1750)	800	0,03	2000-2800	$N_{\phi}=0,1$ имп/с	-	-	-20...+30	$\varnothing 33,3x218$ [130 г]	1-057
СНМ-3	Металлический. Регистрация медленных нейтронов.	-	100	0,05	1500	$\delta_n=1$ $N_{\phi}=2$	-	-	-10...+30	$\varnothing 18x128$ [25 - 30 г]	1-055 и 1056
СНМ-5	Металлический. Пропорциональный. Регистрация тепловых нейтронов.	-	100	0,05	1300-1500	$N_{\phi}=2$	500 ч.	-	-20...+30	$\varnothing 35x300$ [130 г]	1-055

Глава 1.1. Газоразрядные детекторы ионизирующих излучений

Продолжение таблицы 1.4а. Основные параметры детекторов нейтронов при температуре 20±5°C

Тип счетчика	Особенности конструкции, катод, назначение	Напряжение начала счета или (зажигания короны), В	Протяженность плато счетной характеристики, В, не менее	Наклон плато счетной характеристики, %/В	Рекомендуемое рабочее напряжение, В	Дозиметрические характеристики	Срок службы, импульсов, не менее	Эффективность к тепловым нейтронам, %	Диапазон рабочих температур, °C	Габаритные размеры, мм, [масса, г]	№ рис.
CHMO-5	Металлический. Пропорциональный. Регистрация медленных нейтронов.	-	100	0,05	1700-2200	N _Φ =2	1*10 ¹⁰	-	-20...+30	Ø35x 300 [109,2 г]	1-055
CHM-8	Металлический. Регистрация тепловых нейтронов и нейтронной компоненты космического излучения.	-	150	0,05	1600-2000	N _Φ =5	500 ч.	-	+5...+30	Ø35x 1060 [345 г]	1-055 и 1-058
CHM-9	Металлический. Коронный. Регистрация медленных нейтронов.	(700)	300	0,05	1100-1500	δ _H =1 N _Φ =1 N _Φ =0,45 имп/с	500 ч.	-	0...+30 или 0...+50	Ø18x 133 [29 г]	1-056 и 1-059
CHM-10	Металлический. Коронный. Регистрация тепловых нейтронов на гамма фоне.	(600-700)	1500	0,015	1500-3000	δ _H =0,3 N _Φ =2 N _Φ =0,017 имп/с	500 ч.	-	-50...+150	Ø18x 335 [50 г]	1-055

Глава 1.1. Газоразрядные детекторы ионизирующих излучений

Продолжение таблицы 1.4а. Основные параметры детекторов нейтронов при температуре $20\pm5^{\circ}\text{C}$

Тип счетчика	Особенности конструкции, катод, назначение	Напряжение начала счета или (зажигания короны), В	Протяженность плато счетной характеристики, В, не менее	Наклон плато счетной характеристики, %/В	Рекомендуемое рабочее напряжение, В	Дозиметрические характеристики	Срок службы, импульсов, не менее	Эффективность к тепловым нейтронам, %	Диапазон рабочих температур, $^{\circ}\text{C}$	Габаритные размеры, мм, [масса, г]	№ рис.
CHM-11	Металлический. Коронный. Катод-стальной, покрыт слоем бора. Регистрация медленных нейтронов при сильном ϕ -фоне.	(600-700)	1500	0,015	1500-3000	$\delta_n=1,2$ $N_\phi=1$ $N_\phi=0,017$ имп/с	500 ч.	15	-50...+150	$\varnothing 18,5 \times 336$ [50 г]	1-055
CHM-12	Стеклянный. Коронный. Катод-стальной, покрыт слоем бора. Регистрация медленных нейтронов на ϕ -фоне.	(450)	200	0,05	500-700	$\delta_n=0,8$ $N_\phi=0,5$ $N_\phi=0,008$ имп/с	500 ч.	15	-50...+100	$\varnothing 8,5 \times 215$ [16,2 г]	1-060
CHM-13	Металлический. Коронный. Катод-стальной, покрыт слоем бора. Регистрация медленных нейтронов на ϕ -фоне.	(450)	150	0,05	450-600	$\delta_n=0,8$ $N_\phi=0,05$ при отсутствии γ -излучения. При излучении 2000 Р/ч $N_\phi=2$ $N_\phi=8 \cdot 10^{-5}$ имп/с	500 ч.	15	-50...+100	$\varnothing 8,5 \times 85$ [11,5 г]	1-055

Глава 1.1. Газоразрядные детекторы ионизирующих излучений

Окончание таблицы 1.4а. Основные параметры детекторов нейтронов при температуре $20\pm 5^{\circ}\text{C}$

Тип счетчика	Особенности конструкции, катод, назначение	Напряжение начала счета или (зажигания короны), В	Протяженность плато счетной характеристики, В, не менее	Наклон плато счетной характеристики, %/В	Рекомендуемое рабочее напряжение, В	Дозиметрические характеристики	Срок службы, импульсов, не менее	Эффективность к тепловым нейтронам, %	Диапазон рабочих температур, $^{\circ}\text{C}$	Габаритные размеры, мм, [масса, г]	№ рис.
CHM-14	Металлический. Коронный. Катод-стальной, покрыт слоем бора. Регистрация медленных нейтронов на γ -фоне.	(600-700)	100	0,05	450-600	$\delta_{\text{n}}=0,5$ $N_{\phi}=1$ (при γ -фоне до 0,416 Р/ч) $N_{\phi}=0,017$ имп/с	500 ч.	15	-50...+150	$\varnothing 18,5 \times 153$ [24 г]	1-055
CHM-15	Металлический. Пропорциональный.	-	300	0,03	1800-2300	$N_{\phi}=6$	-	-	-30...+40	$\varnothing 152 \times 2132$ 8500 г	-
CHM-16	Металлический. Коронный. Регистрация медленных нейтронов.	(2000)	400	0,03	2000-2800	$\delta_{\text{n}}=0,1$ $N_{\phi}=5$ (при γ -фоне 50 Р/ч) $N_{\phi}=0,083$ имп/с	500 ч.	80	-50...+150	$\varnothing 18 \times 128$ [20 г] или $\varnothing 18,5 \times 158$ [30 г]	1-061
CHM-17	Металлический. Коронный. Регистрация медленных нейтронов.	-2000	400	0,03	2000-2800	$\delta_{\text{n}}=2,5$ $N_{\phi}=5$ $N_{\phi}=0,83$ имп/с	1500 ч.	80	-50...+150	$\varnothing 18 \times 228$ [20 г] или $\varnothing 18,5 \times 251$ [40 г]	1-055



Рис. 1.8д2. Внешний вид детекторов нейтронов

Глава 1.1. Газоразрядные детекторы ионизирующих излучений

1.1.4.2. Детекторы нейтронов CHM-18, CHM-18-1, CHM-19, CHM-20, CHM-32, CHM-33, CHM-42, CHM-50, CHM-51, CHM-52, CHM-53, CHM-55, CHM-56, CHM-57, CHM-58, CHM-59, CHM-60, CHM-61, CHM-66, CHM-66-2, CHM-66-3, CHM-67, CHM-68, CHM-72, CHM-73, CHM-76, CHM-76-1, CHM-77, CHM-79, CHM-80, CH-01, CH-03, CH-04

Основные параметры детекторов нейтронов приводятся в табл. 1.4.6 Внешний вид приборов приводится на рис. 1.9.

Таблица 1.46. Основные параметры детекторов нейтронов при температуре $20 \pm 5^{\circ}\text{C}$

Тип счетчика	Особенности конструкции, катод, назначение	Напряжение начала счета или (зажигания короны), В	Протяженность плато счетной характеристики, В, не менее	Наклон плато счетной характеристики, % /В	Рекомендуемое рабочее напряжение, В	Дозиметрические характеристики	Срок службы, импульсов, не менее	Эффективность к тепловым нейтронам, %	Диапазон рабочих температур, $^{\circ}\text{C}$	Габаритные размеры, мм, [масса, г]	№ рис.
CHM-18	Металлический. Пропорциональный. Регистрация медленных нейтронов.	-	100	0,05	1275-1500	$N_{\phi}=3$ $N_{\phi}=0,05 \text{ имп/с}$	1500 ч.	70	-50...+150	$\varnothing 32 \times 320$ [180 г]	1-062
CHM-18-1	Металлический. Коронный.	(1450-1650)	1500	0,3	1700-3000	$N_{\phi}=0,83 \text{ имп/с}$	-	70	-40...+150	$\varnothing 32 \times 320$ [180 г]	1-062
CHM-19	Металлический. Коронный.	(1750)	-	-	2400	-	-	70	-50...+60	$\varnothing 32 \times 218$	1-062
CHM-20	Металлический. Пропорциональный.	-	100	0,05	1700-2200	$N_{\phi}=3$	1×10^{10}	-	-10...+100	$\varnothing 18 \times 270$ [45 г]	1-055
CHM-32	Металлический. Регистрация медленных нейтронов при сильном γ -фоне.	(600-700)	1500	0,01	1500-3000	$\delta_{\text{H}}=0,8$ $N_{\phi}=1$ $N_{\phi}=0,017 \text{ имп/с}$	2000 ч.	15	-50...+150	$\varnothing 18,5 \times 323$ [42 г]	1-063
CHM-33	Металлический. Регистрация медленных нейтронов.	-	-	-	3000	$N_{\phi}=12$	1500 ч.	-	-20...+50	$\varnothing 32 \times 524$	1-055

Глава 1.1. Газоразрядные детекторы ионизирующих излучений

Продолжение таблицы 1.46. Основные параметры детекторов нейтронов при температуре $20 \pm 5^{\circ}\text{C}$

Тип счетчика	Особенности конструкции, катод, назначение	Напряжение начала счета или (зажигания короны), В	Протяженность плато счетной характеристики, В, не менее	Наклон плато счетной характеристики, %/В	Рекомендуемое рабочее напряжение, В	Дозиметрические характеристики	Срок службы, импульсов, не менее	Эффективность к тепловым нейтронам, %	Диапазон рабочих температур, $^{\circ}\text{C}$	Габаритные размеры, мм, [масса, г]	№ рис.
CHM-42	Металлический. Регистрация медленных нейтронов при β -фоне.	(600-700)	1500	0,01	1500-3000	$\delta_n=0,8$ $N_{\phi}=1$ при γ -излучении 0,42 Р/ч $N_{\phi}=0,017$ имп/с	2000 ч.	15	-50...+150	$\varnothing 18,5 \times 153$ [25 г]	1-063
CHM-50	Металлический. Регистрация медленных нейтронов.	-			1950	-	-	80	-25...+100	$\varnothing 12 \times 160$	-
CHM-51		-	1000	2,5	2800	$N_{\phi}=10$	-		-25...+100	$\varnothing 32 \times 148$	-
CHM-52		-			3000	-	-	90	-25...+100	$\varnothing 32 \times 295$	-
CHM-53		-			3300	-	-	80	-25...+100	$\varnothing 32 \times 550$	-
CHM-55		-	1000	3	2800	$N_{\phi}=5$	-	-	-25...+100	$\varnothing 32 \times 218$	-
CHM-56		-	500	5	2400	$N_{\phi}=5$	-	-	-25...+100	$\varnothing 32 \times 136$ [140 г]	1-064
CHM-56	Термоустойчивый коронный счетчики медленных нейтронов	(1340-1540)	800	0,02	1800	0,083	2000 ч.	70	-40...+200	$\varnothing 32 \times 140$ [140 г]	1-064
CHM-57	Спектрометрический счетчик нейтронов с регистрацией ядер отдачи.	-	-	-	3200	-	-	80	-25...+100	$\varnothing 32 \times 1080$	-
CHM-58		-	-	-	2200	-	-	80	-25...+100	$\varnothing 32 \times 153$	1-065
CHM-59		-	-	-	1460-1840	-	-	80	-25...+100	$\varnothing 32 \times 153$	1-062
CHM-60		-	-	-	1800-2000	-	-	80	-25...+100	$\varnothing 32 \times 153$	1-065
CHM-61		-	-	-	1800-2000	-	-	80	-25...+100	$\varnothing 32 \times 153$	1-065
CHM-66	Металлический. Пропорциональный.	-	-	-	1600	-	-	80	-25...+100	$\varnothing 25,5 \times 601,5$	-
CHM-66-2		-	-	-	1600	-	-	80	-25...+100	$\varnothing 25,5 \times 1016$	-
CHM-66-3		-	-	-	1600	-	-	80	-25...+100	$\varnothing 25,5 \times 1524$	-

Окончание таблицы 1.4б. Основные параметры детекторов нейтронов при температуре $20\pm 5^{\circ}\text{C}$

Тип счетчика	Особенности конструкции, катод, назначение	Напряжение начала счета или (зажигания короны), В	Протяженность плато счетной характеристики, В, не менее	Наклон плато счетной характеристики, %/В	Рекомендуемое рабочее напряжение, В	Дозиметрические характеристики	Срок службы, импульсов, не менее	Эффективность к тепловым нейтронам, %	Диапазон рабочих температур, $^{\circ}\text{C}$	Габаритные размеры, мм, [масса, г]	№ рис.
CHM-67	Термоустойчивый коронный счетчики медленных нейтронов	(1450)	800	0,03	1700	0,07	2000 ч.	70	-40...+250	$\varnothing 32 \times 276$ или $\varnothing 32 \times 297$ [200 г]	1-064
CHM-68	Металлический. Пропорциональный.	-	-	-	1500-2000	-	-	70	-40...+250	$\varnothing 26 \times 239$ 150 г.	-
CHM-72	Металлический.	(1600)	-	-	1800	-	-	70	-40...+300	$\varnothing 32 \times 160$	1-064
CHM-73	Коронный.	(1600)	-	-	1800	-	-	70	-40...+300	$\varnothing 32 \times 340$	1-064
CHM-76	Металлический. Пропорциональный.	-	-	-	1700	-	-	70	-40...+55	$\varnothing 32 \times 1045$	1-064
CHM-76-1	Металлический. Пропорциональный.	-	-	-	1700	-	-	70	-40...+55	$\varnothing 32 \times 1545$	1-064
CHM-77	Металлический. Коронный.	(1340 - 1450)	600	0,02	1800	-	-	-	-40...+55	$\varnothing 50 \times 238$	1-066
CHM-79		(1450)	600	0,02	1800	-	-	70	-40...+300	$\varnothing 50 \times 113$	1-066
CHM-80		(1450)	600	0,02	1800	-	-	70	-40...+300	$\varnothing 50 \times 323$	1-066
CH-01	Регистрация слабых (до 10^{-2} нейтронов/ $\text{см}^2/\text{с}$) и средних (до 10^3 нейтронов/ $\text{см}^2/\text{с}$) потоков тепловых нейтронов.	(2000)			400	0,01 имп/с	-	50	-50...+50	$\varnothing 30 \times 900$ [600 г]	1-067
CH-03			200	1	1200	0,01 имп/с	-	70	-50...+50	$\varnothing 18 \times 100$ [200 г]	1-067
CH-04			200	1	400-1200	0,001 имп/с	-	60	-50...+50	$\varnothing 30 \times 970$ [500 г]	1-067

Глава 1.1. Газоразрядные детекторы ионизирующих излучений

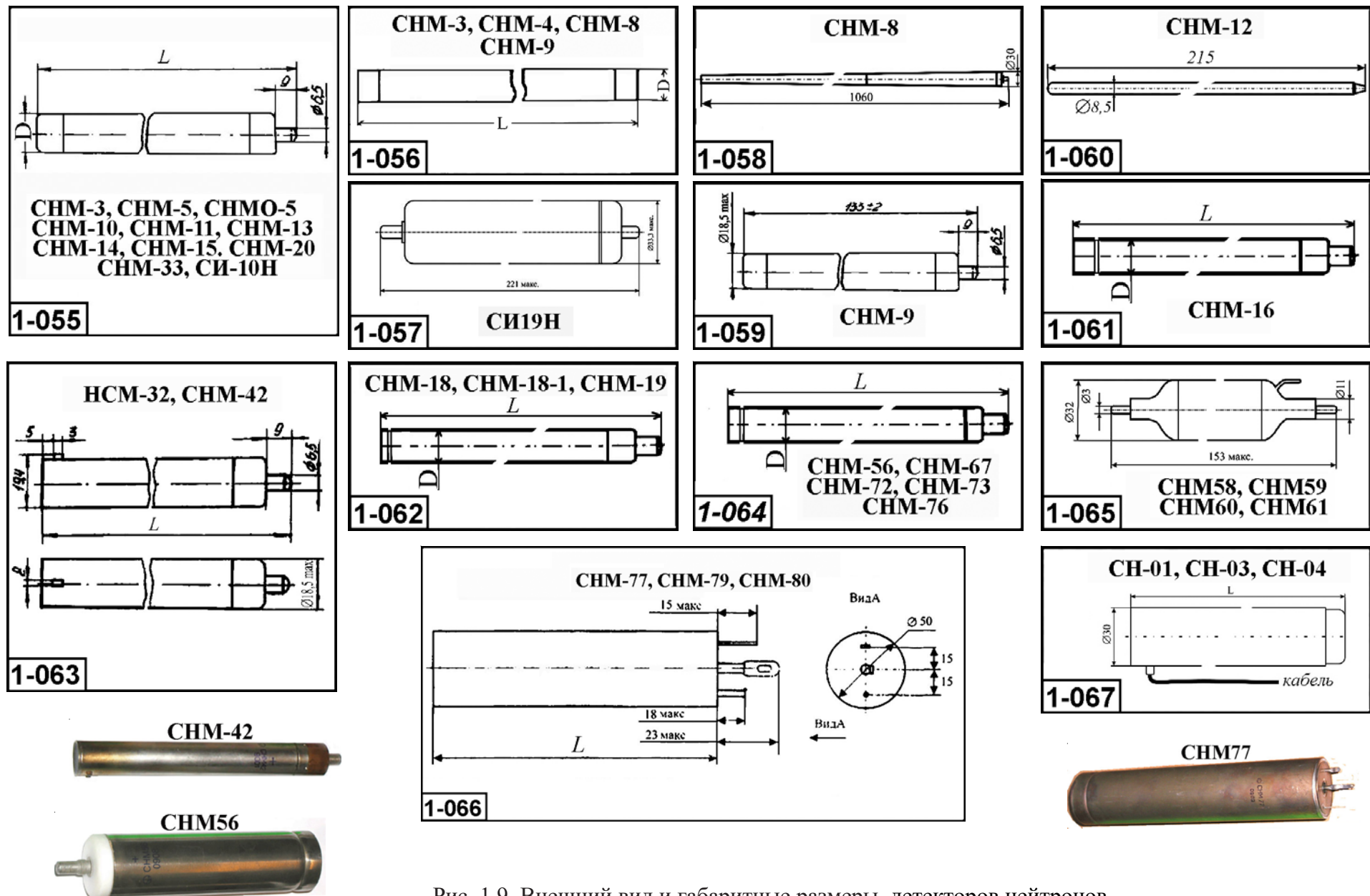


Рис. 1.9. Внешний вид и габаритные размеры детекторов нейтронов

Глава 1.1. Газоразрядные детекторы ионизирующих излучений

1.1.4.3д. Счетчики нейтронов пропорциональные Гелий-13/120-8,0/ОЦ, , Гелий-13/180-6,3Л, Гелий-18/80-3,0/Л, Гелий-18/100-3,0/БЦ, Гелий-18/140-2,8/БЦ (Гелий-4/2,8), Гелий-18/140-8,0/БЦ (Гелий-4), Гелий-18/180-8,0/БЦ (Гелий-4-1), Гелий-18/190-8,0/ОЦ, Гелий-30/150-5,0/ОЦ, Гелий-30/220-4,25/Л, Гелий-30/250-3,0/БЦ, Гелий-30/330-5,0/Л, Гелий-30/360-4,0/БЦ, Гелий-30/530-4,0/БЦ (Гелий-2-1), Гелий-30/1020-2,75/ЛЦ, Гелий-30/1030-4,0/БЦ (Гелий-2), Гелий-50/430-3,25/К

Пропорциональные счётчики предназначены для высокоэффективной регистрации нейтронного излучения в физических и радиометрических устройствах, в портальных радиационных мониторах, в аппаратуре регистрации нейтронной составляющей космического излучения.

Основные параметры детекторов нейтронов приводятся в табл. 1.4д. Внешний вид приборов приводится на рис. 1.9д и 1.9д(а)

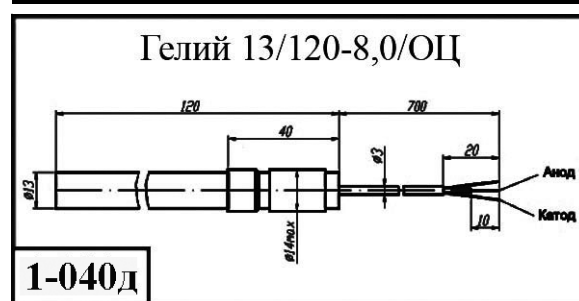
Таблица 1.4д. Основные параметры детекторов нейтронов при температуре $20 \pm 5^\circ\text{C}$

Тип счетчика	Эффективная рабочая длина, мм	Давление наполняющей газовой смеси, атм	Рабочее напряжение (рекомендуемое), В	Предельно допустимое рабочее напряжение, В	Ширина пика на половине высоты, %	Разброс положения пика от среднего значения в партии, %	Собственный фон, имп / с	Отношение чувствительности счетчика к медленным нейтронам к чувствительности образцового счетчика, %	Диапазон рабочих температур, $^\circ\text{C}$	Сопротивление изоляции, Ом, не менее	Габаритные размеры без выводов, мм, [масса, г]	№ рис.
Гелий-13/120-8,0/ОЦ	68	8	1300	1600	12 max	20 max	0,1 max	5 max	-50 ÷ 60	1×10^{12}	$\varnothing 14 \times 120$ [37]	1-040д
Гелий-13/180-6,3/Л	154	6,3	1150	1450	10 max	20 max	0,1 max	5 max	-50 ÷ 60	1×10^{12}	$\varnothing 13 \times 177$ [20]	1-041д
Гелий-18/80-3,0/Л	55	3	1150	1450	15 max	20 max	0,1 max	95 min	-50 ÷ 60	1×10^{12}	$\varnothing 18 \times 80$ [14]	1-042д
Гелий-18/100-3,0/БЦ	55	3	1100	1400	15 max	20 max	0,1 max	95 min	-50 ÷ 60	1×10^{12}	$\varnothing 18 \times 80$ [32]	1-043д
Гелий-18/140-2,8/БЦ (Гелий-4/2,8)	95	2,8	1100	1400	15 max	20 max	0,1 max	95 min	-50 ÷ 60	1×10^{12}	$\varnothing 18 \times 140$ [37]	1-043д
Гелий-18/140-8,0/БЦ (Гелий-4)	95	8	1400	1700	20 max	20 max	0,1 max	95 min	-50 ÷ 60	1×10^{12}	$\varnothing 18 \times 140$ [37]	1-043д
Гелий-18/180-8,0/БЦ (Гелий-4-1)	133,5	8	1700	1700	15 max	20 max	0,1 max	95 min	-50 ÷ 60	1×10^{12}	$\varnothing 18 \times 180$ [42]	1-043д
Гелий-18/190-8,0/ОЦ	133,5	8	1700	1700	15 max	20 max	0,1 max	95 min	-50 ÷ 60	1×10^{12}	$\varnothing 18 \times 190$ [51]	1-044д
Гелий-30/150-5,0/ОЦ	80	5	1600	2000	15 max	20 max	0,1 max	95 min	-50 ÷ 60	1×10^{12}	$\varnothing 30 \times 150$ [150]	1-045д

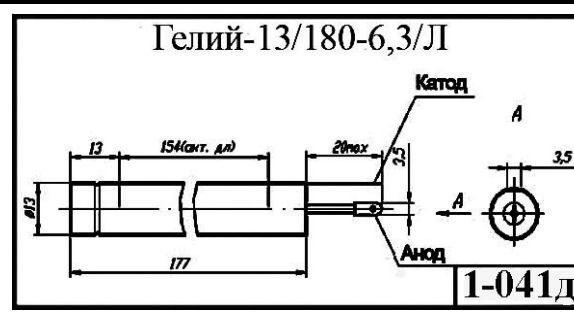
Глава 1.1. Газоразрядные детекторы ионизирующих излучений

Окончание таблицы 1.4д. Основные параметры детекторов нейтронов при температуре $20 \pm 5^\circ\text{C}$

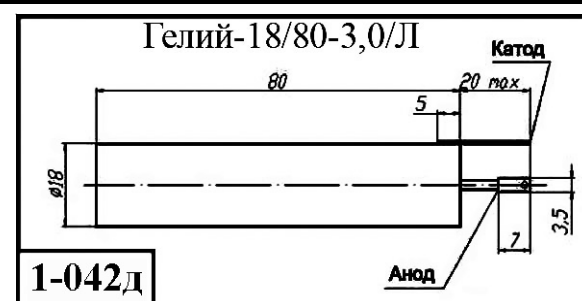
Тип счетчика	Эффективная рабочая длина, мм	Давление наполняющей газовой смеси, атм	Рабочее напряжение (рекомендуемое), В	Предельно допустимое рабочее напряжение, В	Ширина пика на половине высоты, %	Разброс положения пика от среднего значения в партии, %	Собственный фон, имп / с	Отношение чувствительности счетчика к медленным нейтронам к чувствительности образцового счетчика, %	Диапазон рабочих температур, $^\circ\text{C}$	Сопротивление изоляции, Ом, не менее	Габаритные размеры без выводов, мм, [масса, г]	№ рис.
Гелий-30/220-4,25/Л	180	4,25	1450	1850	20 max	20 max	0,2 max	95 min	-50 ÷ 60	1×10^{12}	$\varnothing 30 \times 220$ [94]	1-046д
Гелий-30/250-3,0/БЦ	180	3	1350	1750	20 max	20 max	0,2 max	95 min	-50 ÷ 60	1×10^{12}	$\varnothing 30 \times 250$ [150]	1-047д
Гелий-30/330-5,0/Л	286	5	1550	1950	15 max	20 max	0,2 max	95 min	-50 ÷ 60	1×10^{12}	$\varnothing 30 \times 226$ [140]	1-048д
Гелий-30/360-4,0/БЦ	286	4	1600	2000	10 max	20 max	0,2 max	95 min	-50 ÷ 60	1×10^{12}	$\varnothing 30 \times 360$ [200]	1-047д
Гелий-30/530-4,0/БЦ (Гелий-2-1)	460	4	1600	2000	10 max	20 max	0,2 max	95 min	-50 ÷ 60	1×10^{12}	$\varnothing 30 \times 530$ [290]	1-047д
Гелий-30/1020-2,75/ЛЦ	960	2,75	1250	1650	15 max	20 max	0,2 max	95 min	-50 ÷ 60	1×10^{12}	$\varnothing 30 \times 1020$ [440]	1-049д
Гелий-30/1030-4,0/БЦ (Гелий-2)	960	4	1600	2000	10 max	20 max	0,2 max	95 min	-50 ÷ 60	1×10^{12}	$\varnothing 30 \times 1030$ [460]	1-047д
Гелий-50/430-3,25/К	340	3,25	1450	1850	20 max	20 max	0,2 max	95 min	-50 ÷ 60	1×10^{12}	$\varnothing 50 \times 530$ [460]	1-050д



Гелий - 13/120 - 8,0/ОЦ



Гелий-13/180-6,3/Л



Гелий-18/80-3,0/Л



Рис 1.9д. Внешний вид и габаритные размеры детекторов нейтронов.

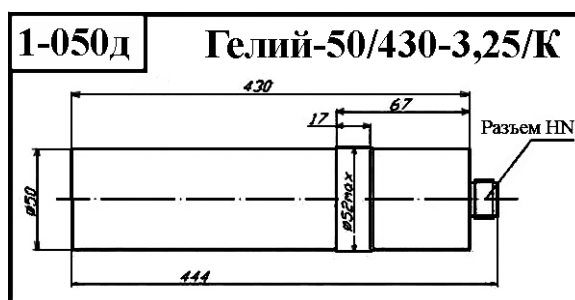
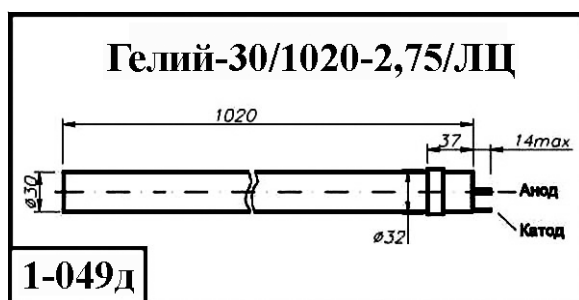
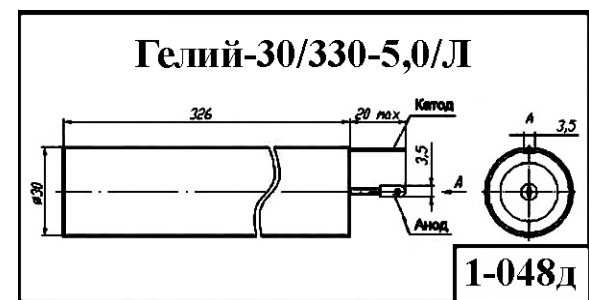
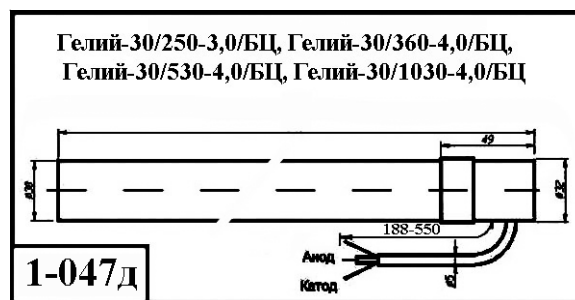
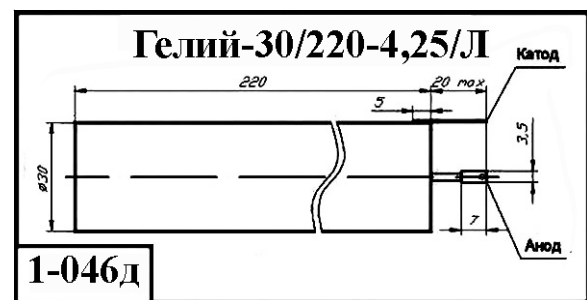
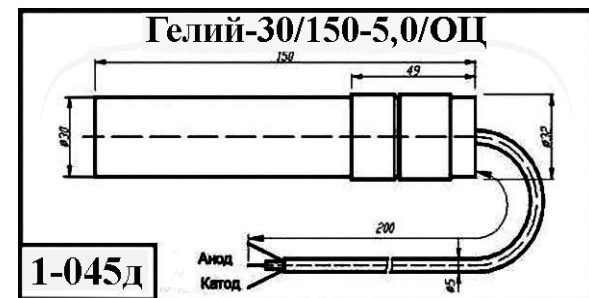
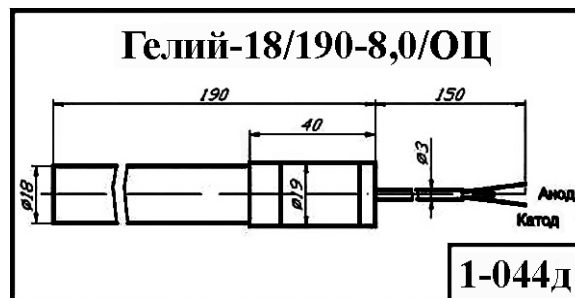
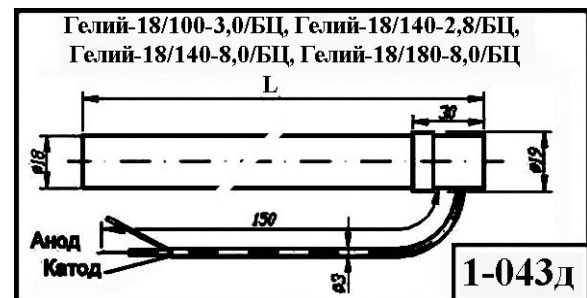


Рис 1.9д (а). Внешний вид детекторов нейтронов.

Глава 1.1. Газоразрядные детекторы ионизирующих излучений

1.1.4.4д. Счетчики медленных нейтронов СНК-18/120-9,0/ОМ, СНК-18/130-5,0/Л, СНК-18/210-9,0/ОМ, СНК-25/80-5,0/Л, СНК-25/160-5,0/Л, СНК-30/120-4,6/Л, СНК-30/130-4,6/ОМ, СНК-30/130-5,0/Л, СНК-30/170-4,6/ПУ, СНК-30/200-4,6/ОМЦ, СНК-30/220-4,6/ПУ, СНК-30/260-4,6/Л, СНК-30/260-4,6/ОМ, СНК-30/300-4,6/Л, СНК-30/310-4,6/ОМ, СНК-32/120-4,0/Л, СНК-32/130-4,0/ОМ, СНК-32/260-4,0/Л, СНК-32/200-4,0/ОМЦ, СНК-32/260-4,0/ОМ, СНК-32/300-4,0/Л, СНК-32/310-4,0/ОМ, СНК-38/240-4,0/ПУ, СНК-50/90-4,0/Л, СНК-50/240-4,0/Л, СНК-50/300-4,0/Л

Счетчики медленных нейтронов серии СНК работают в режиме непрерывного коронного разряда.

Счётчики предназначены для высокоеффективной регистрации нейтронного излучения в физических и радиометрических устройствах, геофизической аппаратуре для исследования глубоких нефтегазовых скважин и др. при температуре окружающей среды до +150°C.

В корпусах счетчиков СНК-30/220-4,6/ПУ, СНК-30/170-4,6/ПУ и СНК-38/240-4,0/ПУ предусмотрено место для размещения предварительного усилителя.

Основные параметры приборов приведены в табл. 1.4е. Внешний вид и габаритные размеры показаны на рис.1.9д(в) и 1.9д(г).

Таблица 1.4е. Основные параметры детекторов нейтронов серии СНК при температуре 20±5°C

Тип прибора	Давление наполнения газовой смеси, атм	Рабочее напряжение (рекомендуемое), В	Напряжение зажигания коронного разряда, В	Протяженность и плато счетной характеристики, В	Наклон или плато счетной характеристики, %/В	Средний ток коронного разряда, мкА	Собственный фон, имп / с	Разброс чувствительности относительно контрольного образца, %	Эффективность регистрации тепловых нейтронов, %	Рабочий диапазон температур, °C	Сопротивление изоляции, Ом	Гарантийная наработка, ч	Из них при максимальной температуре, ч	Габаритные размеры без выводов, мм [масса, г]	№ рисунка
СНК-18/120-9,0/ОМ (ЧМ-16)	9	2300-2400	1900 ч 2100	400	0,03	25	0,08	15 max	70	-50...+150	1×10^{10} min	5000	500	$\varnothing 18 \times 17$ [33]	1-051д
СНК-18/130-5,0/Л	5	1800 - 2000	1400 ч 1600	600	0,03	10	0,1	15 max	70	-50...+150	1×10^{10} min	5000	500	$\varnothing 18 \times 130$ [29]	1-052д
СНК-18/210-9,0/ОМ (ЧМ-17)	9	2600	1900 ч 2100	400	0,03	25	0,08	15 max	70	-50...+150	1×10^{10} min	5000	500	$\varnothing 18 \times 210$ [47]	1-051д
СНК-25/80-5,0/Л	5	1900 - 2000	1500 ч 1700	800	0,03	10	0,1	15 max	70	-50...+150	1×10^{10} min	5000	500	$\varnothing 25 \times 75$ [38]	1-053д

Глава 1.1. Газоразрядные детекторы ионизирующих излучений

Таблица 1.4е. Основные параметры детекторов нейтронов серии СНК при температуре $20\pm 5^{\circ}\text{C}$

Тип прибора	Давление наполняющей газовой смеси, атм	Рабочее напряжение (рекомендуемое), В	Напряжение зажигания коронного разряда, В	Протяженность плато счетной характеристики, В	Наклон плато счетной характеристики, %/В	Средний ток коронного разряда, мкА	Собственный фон, имп / с	Разброс чувствительности относительно контрольного образца, %	Эффективность регистрации тепловых нейтронов, %	Рабочий диапазон температур, $^{\circ}\text{C}$	Сопротивление изоляции, Ом	Гарантийная наработка, ч	Из них при максимальной температуре, ч	Габаритные размеры без выводов, мм [масса, г]	№ рисунка
СНК-25/160-5,0/Л	5	1900 - 2000	1450 ч 1700	800	0,03	10	0,1	15 max	70	-50... +150	$1*10^{10}$ min	5000	500	$\varnothing 25x155$ [62]	1-054д
СНК-30/120-4,6/Л	4,6	1900 - 2000	1450 ч 1700	800	0,03	10	0,1	15 max	70	-50... +150	$1*10^{10}$ min	5000	500	$\varnothing 30x121$ [67]	1-055д
СНК-30/130-4,6/ОМ	4,6	1900 - 2000	1450 ч 1700	800	0,03	10	0,1	15 max	70	-50... +150	$1*10^{10}$ min	5000	500	$\varnothing 30x131$ [84]	1-057д
СНК-30/130-5,0/Л	5	1900 - 2000	1500 ч 1700	800	0,03	10	0,1	15 max	70	-50... +150	$1*10^{10}$ min	5000	500	$\varnothing 30x130$ [80]	1-058д
СНК-30/170-4,6/ПУ	4,6	1900 - 2000	1450 ч 1700	800	0,03	10	0,1	15 max	70	-50... +150	$1*10^{10}$ min	5000	500	$\varnothing 30x165$ [135]	1-056д
СНК-30/200-4,6/ОМЦ (СИ19Н)	4,6	2400	1650 - 1850	800	0,03	10	0,1	15 max	70	-50... +150	$1*10^{10}$ min	8000	500	$\varnothing 30x198$ [110]	1-060д
СНК-30/220-4,6/ПУ	4,6	1900 - 2000	1450 ч 1700	800	0,03	10	0,1	15 max	70	-50... +150	$1*10^{10}$ min	5000	500	$\varnothing 30x224$ [156]	1-056д
СНК-30/260-4,6/Л	4,6	1900 - 2000	1500 ч 1700	800	0,03	10	0,1	15 max	70	-50... +150	$1*10^{10}$ min	5000	500	$\varnothing 30x256$ [114]	1-055д
СНК-30/260-4,6/ОМ (ЧМ-67)	4,6	1900 - 2000	1500 ч 1700	800	0,03	10	0,1	15 max	70	-50... +150	$1*10^{10}$ min	5000	500	$\varnothing 30x276$ [131]	1-057д
СНК-30/300-4,6/Л	4,6	2500	1450 ч 1700	1000	0,1	25	0,08	10 max	70	-50... +150	$1*10^{10}$ min	5000	500	$\varnothing 30x300$ [132]	1-055д

Глава 1.1. Газоразрядные детекторы ионизирующих излучений

Таблица 1.4е. Основные параметры детекторов нейтронов серии СНК при температуре $20 \pm 5^\circ\text{C}$

Тип прибора	Давление наполняющей газовой смеси, атм	Рабочее напряжение (рекомендуемое), В	Напряжение зажигания коронного разряда, В	Протяженность плато счетной характеристики, В	Наклон плато счетной характеристики, %/В	Средний ток коронного разряда, мкА	Собственный фон, имп / с	Разброс чувствительности относительно контрольного образца, %	Эффективность регистрации тепловых нейтронов, %	Рабочий диапазон температур, $^\circ\text{C}$	Сопротивление изоляции, Ом	Гарантийная наработка, ч	Из них при максимальной температуре, ч	Габаритные размеры без выводов, мм [масса, г]	№ рисунка
СНК-30/310-4,6/ОМ (ЧМ-18-1)	4,6	2500	1450 ч 1700	1000	0,1	25	0,08	10 max	70	-50...+150	$1*10^{10}$ min	5000	500	$\varnothing 30x310$ [148]	1-057д
СНК-32/120-4,0/Л	4	1900 - 2000	1400 ч 1700	800	0,03	10	0,1	15 max	70	-50...+150	$1*10^{10}$ min	5000	500	$\varnothing 32x121$	1-062д
СНК-32/130-4,0/ОМ (ЧМ-56)	4	1900 - 2000	1400 ч 1700	800	0,03	10	0,1	15 max	70	-50...+150	$1*10^{10}$ min	5000	500	$\varnothing 32x130$ [95]	1-061д
СНК-32/260-4,0/Л	4	1900 - 2000	1400 ч 1700	800	0,03	10	0,1	15 max	70	-50...+150	$1*10^{10}$ min	5000	500	$\varnothing 32x256$	1-062д
СНК-32/200-4,0/ОМЦ (СИ19Н)	4	2400	1500 ч 1700	800	0,03 max	15	0,1 max	5 max		-50...+150	$1*10^{10}$ min	8000	500	$\varnothing 32x198$ [121]	1-063д
СНК-32/260-4,0/ОМ (ЧМ-67)	4	1900 - 2000	1400 ч 1700	800	0,03	10	0,1	15 max	70	-50...+150	$1*10^{10}$ min	5000	500	$\varnothing 32x265$ [145]	1-061д
СНК-32/300-4,0/Л	4	2500	1600 ч 1800	1000	0,1	25	0,08	10 max	70	-50...+150	$1*10^{10}$ min	5000	500	$\varnothing 32x300$	1-062д
СНК-32/310-4,0/ОМ (ЧМ-18-1)	4	2500	1400 ч 1700	1000	0,1	25	0,08	10 max	70	-50...+150	$1*10^{10}$ min	5000	500	$\varnothing 32x310$ [165]	1-061д
СНК-38/240-4,0/ПУ	4	1900 - 2000	1400 ч 1600	800	0,03	10	0,1	15 max	70	-50...+150	$1*10^{10}$ min	5000	500	$\varnothing 38x244$	1-056д

Глава 1.1. Газоразрядные детекторы ионизирующих излучений

Окончание таблицы 1.4е. Основные параметры детекторов нейтронов при температуре $20 \pm 5^\circ\text{C}$

Тип прибора	Давление наполняющей газовой смеси, атм	Рабочее напряжение (рекомендуемое), В	Напряжение зажигания коронного разряда, В	Протяженность плато счетной характеристики, В	Наклон плато счетной характеристики, %/В	Средний ток коронного разряда, мкА	Собственный фон, имп / с	Разброс чувствительности относительно контрольного образца, %	Эффективность регистрации тепловых нейтронов, %	Рабочий диапазон температур, °C	Сопротивление изоляции, Ом	Гарантийная наработка, ч	Из них при максимальной температуре, ч	Габаритные размеры без выводов, мм [масса, г]	№ рисунка
СНК-50/90-4,0/Л (ЧМ-79)	4	1900 ч 2000	1500 ч 1700	700	0,03	10	0,1	15 max	70	-50... +150	$1*10^{10}$ min	5000	500	$\varnothing 50 \times 90$ [111]	1-059д
СНК-50/240-4,0/Л (ЧМ-77)	4	1900 ч 2000	1500 ч 1700	700	0,03		0,1	15 max	70	-50... +150	$1*10^{10}$ min	5000	500	$\varnothing 50 \times 240$ [213]	1-059д
СНК-50/300-4,0/Л (ЧМ-80)	4	1900 ч 2000	1500 ч 1700	700	0,03 max		0,1	15 max	70	-50... +150	$1*10^{10}$ min	5000	500	$\varnothing 50 \times 300$ [253]	1-059д

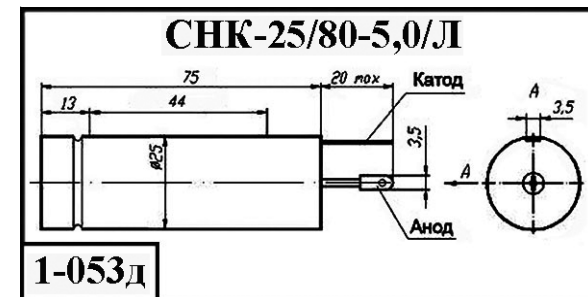
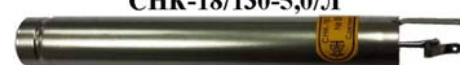
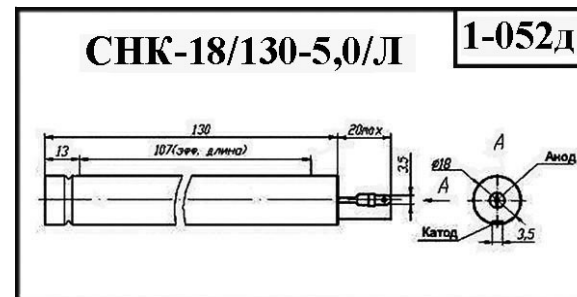
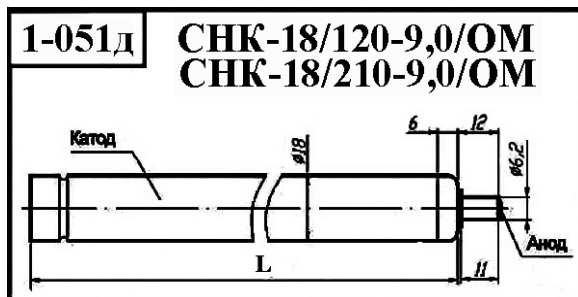


Рис.1.9д(в) Внешний вид и габаритные размеры нейтронных счетчиков серии СНК.

Глава 1.1. Газоразрядные детекторы ионизирующих излучений

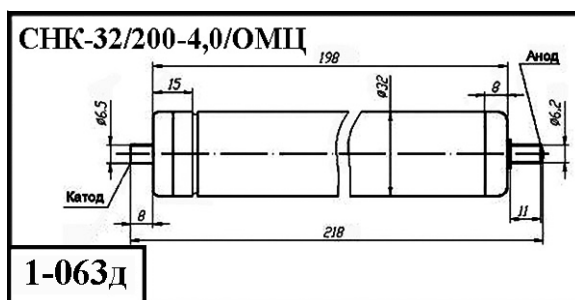
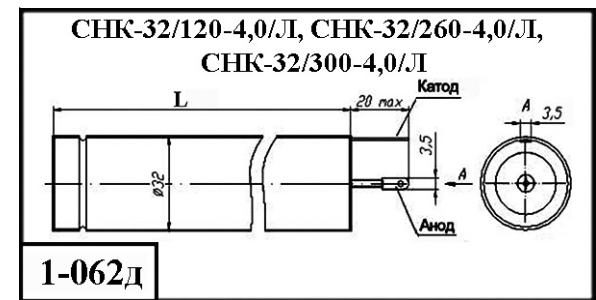
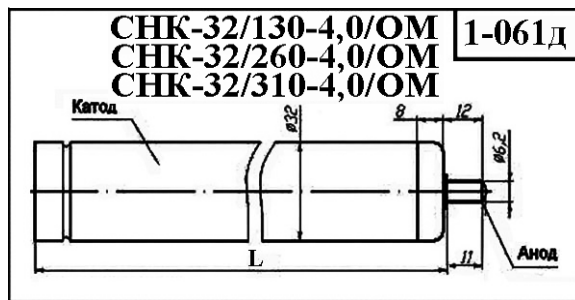
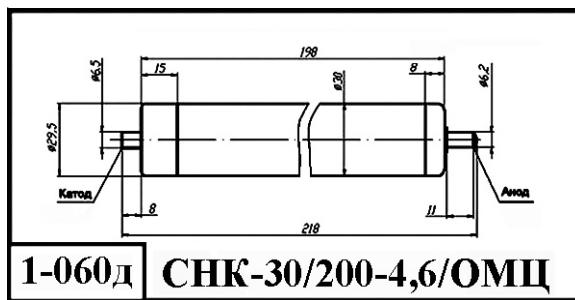
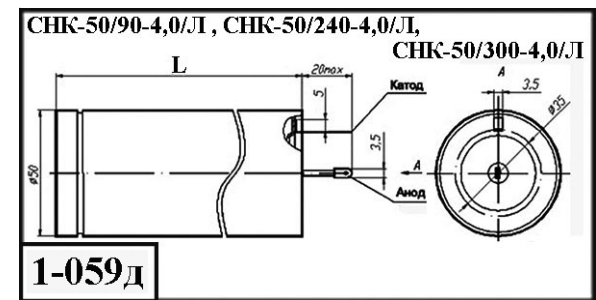
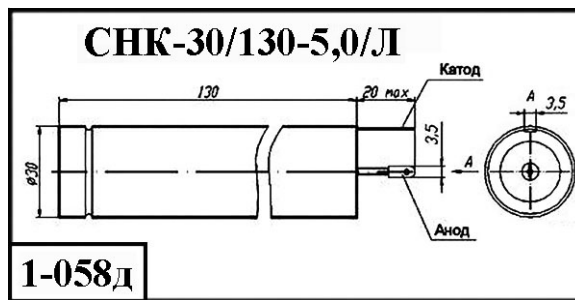
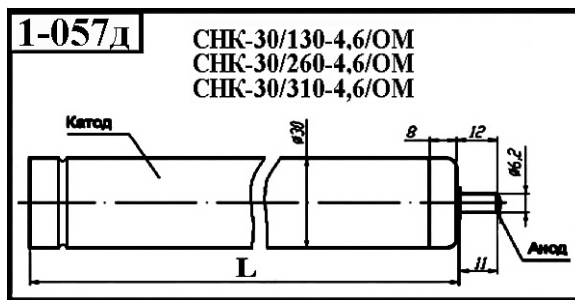
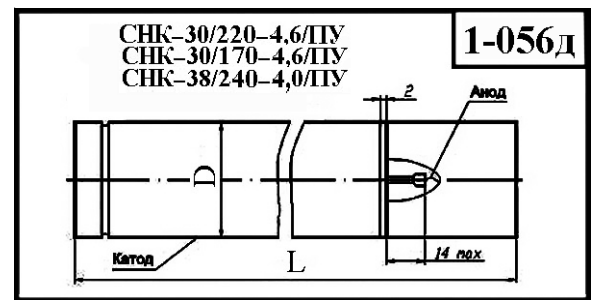
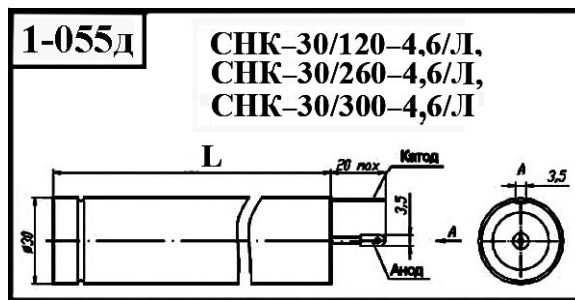
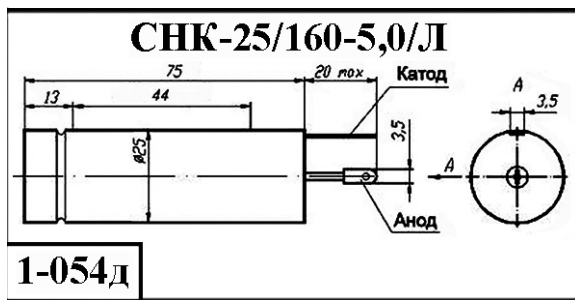


Рис.1.9д(г) Внешний вид и габаритные размеры нейтронных счетчиков серии ЧНК.

Глава 1.1. Газоразрядные детекторы ионизирующих излучений

1.1.4.5д. Счетчики медленных нейтронов с повышенной термоустойчивостью: СНК-Т-30/260-4,6/Л, СНК-Т-32/120-4,0/Л, СНК-Т-32/260-4,0/Л, СНК-Т-50/240-4,0/Л, СНК-Т-50/300-4,0/Л, СНМ56М, СНМ67Э, Гелий-Т-13/180-6,3/Л

Все счетчики, кроме Гелий-Т-13/180-6,3/Л, работают в режиме непрерывного коронного разряда.

Счётчики предназначены для высокоеффективной регистрации нейтронного излучения в физических и радиометрических устройствах, геофизической аппаратуре нейтрон-нейтронного каротажа (для исследования глубоких нефтегазовых скважин) и др. при температуре окружающей среды до +230°C, (СНМ56М, СНМ67Э до.+150°C)

Основные параметры приборов приведены в табл. 1.4ж и 1.4з. Внешний вид и габаритные размеры на рис. 1.9д (д)

Таблица 1.4ж. Основные параметры термоустойчивых счетчиков нейтронов при температуре 20±5°C

Тип прибора	Давление наполняющей газовой смеси, атм	Рабочее напряжение (рекомендуемое), В	Напряжение зажигания коронного разряда, В	Протяженность плато счетной характеристики, В	Наклон плато счетной характеристики, %/В	Средний ток коронного разряда, мкА	Собственный фон, имп / с	Разброс чувствительности относительно контрольного образца, %	Эффективность регистрации тепловых нейтронов, %	Рабочий диапазон температур, °С	Сопротивление изоляции, Ом	Гарантийная наработка, ч	Из них при максимальной температуре, ч	Габаритные размеры без выводов, мм [масса, г]	№ рисунка
СНК-Т-30/120-4,6/Л	4,6	1900 - 2000	1450 ± 1700	800	0,03	10	0,1	15 max	70	-50 ч +230 min	$1\cdot 10^{10}$	5000	500	$\varnothing 30 \times 120$ [73]	1-064д
СНК-Т-30/260-4,6/Л	4,6	1900 - 2000	1500 ч 1700	800	0,03	10	0,1	15 max	70	-50 ч +230 min	$1\cdot 10^{10}$	5000	500	$\varnothing 30 \times 256$ [118]	1-064д
СНК-Т-32/120-4,0/Л	4	1900 - 2000	1400 ч 1700	800	0,03	10	0,1	15 max	70	-50 ч +230 min	$1\cdot 10^{10}$	5000	500	$\varnothing 32 \times 161$ [82]	1-065д
СНК-Т-32/260-4,0/Л	4	1900 - 2000	1400 ч 1700	800	0,03	10	0,1	15 max	70	-50 ч +230 min	$1\cdot 10^{10}$	5000	500	$\varnothing 32 \times 256$ [132]	1-065д
СНК-Т-50/240-4,0/Л (СНМ-77)	4	1900 - 2000	1500 ч 1700	700	0,03		0,1	15 max	70	-50 ч +230 min	$1\cdot 10^{10}$	5000	500	$\varnothing 50 \times 240$ [217]	1-066д
СНК-Т-50/300-4,0/Л (СНМ-80)	4	1900 - 2000	1500 ч 1700	700	0,03		0,1	15 max	70	-50 ч +230 min	$1\cdot 10^{10}$	5000	500	$\varnothing 50 \times 300$ [255]	1-066д
СНМ56М		1620-1980	1340 ... 1540	800	0,02		0,083	±15	70	-50 ч +150 min	$1\cdot 10^{10}$	2000	200	$\varnothing 32,5$ ч 140 [100]	1-067д
СНМ67Э		1530-1870	<1450	800	0,02		0,07	±6	70	-50 ч +150 min	$1\cdot 10^{10}$	2000	2000	$\varnothing 32,5$ ч 276 [140]	1-067д

Глава 1.1. Газоразрядные детекторы ионизирующих излучений

Таблица 1.4з. Основные параметры счетчика Гелий-Т-13/180-6,3/Л при температуре 20±5°C

Наименование параметра. Единица измерения.	Значение параметра
Режим работы	пропорциональный
Эффективная рабочая длина, мм	154
Давление наполняющей газовой смеси, атм	6,3
Рабочее напряжение (рекомендуемое), В	1150
Предельно допустимое рабочее напряжение, В	1450
Ширина пика на половине высоты, %	10 max
Разброс положения пика от среднего значения в партии, %	20 max
Собственный фон, имп/с	0,1 max
Отношение чувствительности счетчика к медленным нейтронам к чувствительности образцового счетчика, %	5 max
Рабочий диапазон температур, °C	-50... +120
Сопротивление изоляции, Ом	1×10^{12} min
Габаритные размеры, мм [масса, г]	Ø13x177 [20]
№ рисунка	1-068д

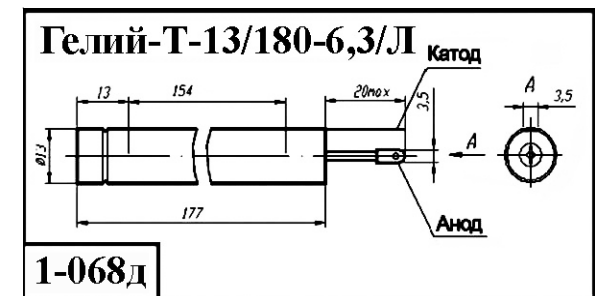
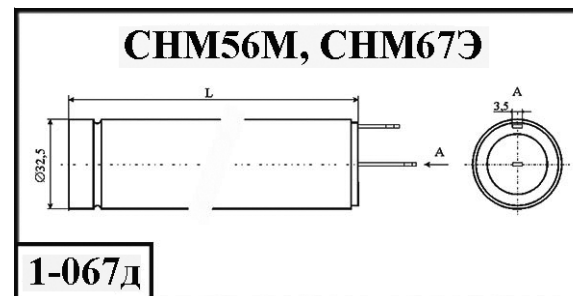
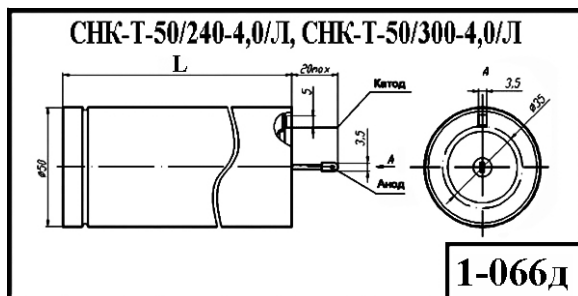
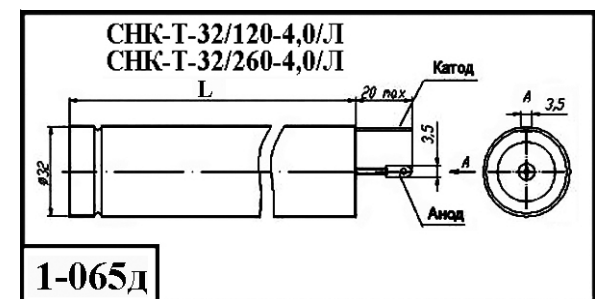
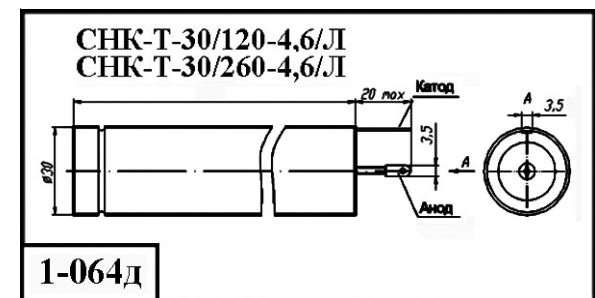


Рис.1.9д(д) Внешний вид и габаритные размеры теплоустойчивых нейтронных счетчиков..

1.1.5. Газоразрядные счетчики фотонов

1.1.5.1. Газоразрядные счетчики фотонов СИ1Ф, СИ4Ф, СИ5Ф, СИ6Ф, СФК-1, СИ-45Ф

Основные параметры счетчиков фотонов приводятся в табл. 1.5 и 1.5а. Внешний вид приборов приводится на рис. 1.10. На рис. 1.10а приведена схема гашения счетчика СФ45Ф.

Счетчик СИ5Ф, СИ6Ф, СИ45Ф используется в быстродействующих системах противопожарной сигнализации и автоматизированных системах пожаротушения, а также в устройствах для контроля открытого пламени.

Таблица 1.5. Основные характеристики счетчиков фотонов при температуре $20 \pm 5^\circ\text{C}$

Тип счетчика	Особенности конструкции, катод, назначение	Напряжение начала счета, В	Протяженность плато счетной характеристики, В, не менее	Наклон плато счетной характеристики, % / В	Рекомендуемое рабочее напряжение, В	Темновой фон, имп/мин, не менее	Чувствительность счетчика, имп/мин, не менее	Срок службы, импульсов	Габаритные размеры, мм [масса, г]	№ рис.
СИ1Ф	Стеклянный, цилиндрический. Катод из меднобериллиевой бронзы. Счетчик фотонов	1000	150	0,2	1150	150	15000	$1 \cdot 10^7$	$\varnothing 27 \times 220$	1-052а
СИ4Ф		700 - 850	150	0,2	975	100	15000	$5 \cdot 10^7$	$\varnothing 34 \times 106$	1-052а
СИ5Ф	Счетчик фотонов для регистрации ультрафиолетового излучения открытого пламени	750-800	100	0,125	900	30	-	$5 \cdot 10^7$	18,5x18,5x95 [27]	1-052д
СИ6Ф		230-300			280	30	17 исп/с	-	$\varnothing 20 \times 95$ [40]	
СФК-1		700 - 950	200	0,05	1200	-	-	$5 \cdot 10^7$	$\varnothing 32 \times 180$	-

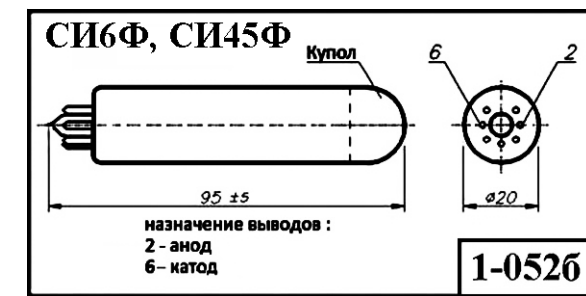
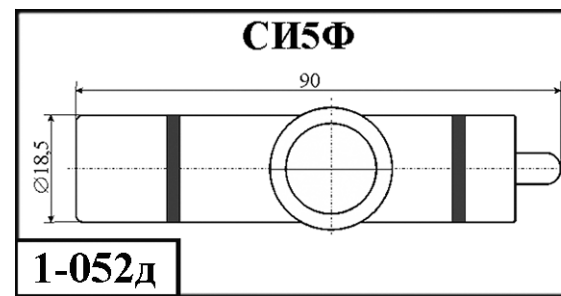
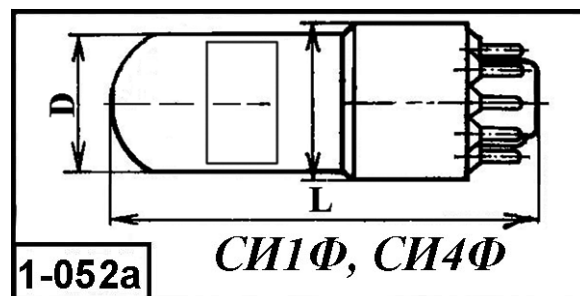


Рис. 1.10. Внешний вид и габаритные размеры счетчиков фотонов.

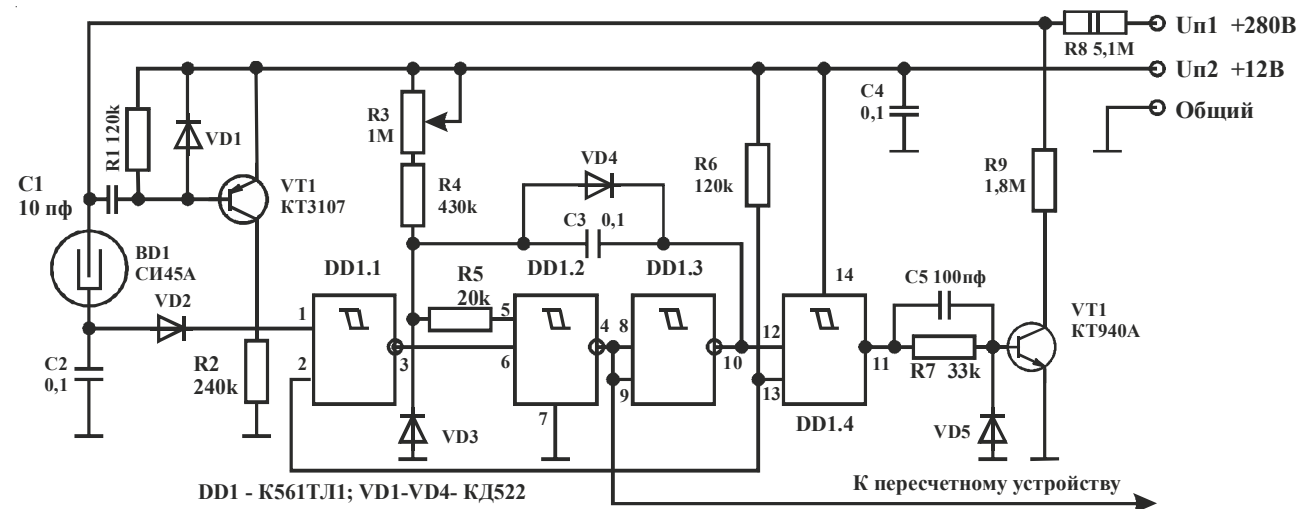
Глава 1.1. Газоразрядные детекторы ионизирующих излучений

Таблица 1.5а. Основные характеристики при температуре $20 \pm 5^{\circ}\text{C}$

Тип счетчика	Особенности конструкции, катод, назначение	Рабочий интервал напряжений, В	Рекомендуемое рабочее напряжение, В	Собственный фон, имп/с, не более	Чувствительность к пламени свечи (на расстоянии 1 м), имп/с	Чувствительность к лампе накаливания (10000 лк), имп/с	Чувствительность к рассеянному солнечному свету (50000 лк), чувствительность к свету автомобильных фар (5000 лк), чувствительность к свету люминесцентных ламп ДРЛ (1000 лк), имп/с, не более	Угол обзора со стороны купола, град	Снижение чувствительности в пределах угла обзора, %	Срок службы, час, не менее	Диапазон рабочих температур, $^{\circ}\text{C}$	Габаритные размеры, мм, [масса, г]	№ рис.
СИ45Ф	Торцевой. Стеклянный. Регистрация УФ-излучения	250 ÷ 300	280	1	12 min	3	3	90	35 max	10000	-50...100	$\varnothing 20 \times 95$ [40 г]	1-0526



Рис.1.10а. Принципиальная электрическая схема гашения для СИ45Ф.



Глава 1.1. Газоразрядные детекторы ионизирующих излучений

1.1.6. Детекторы рентгеновского излучения

1.1.6.1. Детекторы рентгеновского излучения МСТР-3, МСТР-4, МСТР-5, СИ2Р, СИЗР, СИ4Р, СИ5Р, СИ2П, СИ6Р, СРМ-1, СРТ-4, СРТ-5, СИ9Р, СИ10Р, СИ-11Р, СИ-12Р, СИ-13Р, СРМ19, СРМ20

Основные параметры детекторов рентгеновского излучения приводятся в табл. 1.6. и 1.6а. Внешний вид приборов приводится на рис .1.11.

Таблица 1.6. Основные характеристики детекторов рентгеновского излучения при температуре $20 \pm 5^\circ\text{C}$

Тип счетчика	Конструкция, назначение	Диапазон регистрации, кэВ	Рекомендуемое рабочее напряжение, В	Дозиметрические характеристики.	Относительная полуширина амплитудного распределения при $E=5,9$ кэВ, %, не более	Максимальная рабочая скорость счета, с^{-1} , не менее	Диапазон рабочих температур, $^\circ\text{C}$	Габаритные размеры, мм, [масса, г]	№ рис.
МСТР-3	Стеклянный. Торцевой. Катод-медная пленка. Регистрация РИ.	1,5...5,5 Å	1500	$N_{\max}=3 \cdot 10^4$	-	-	-5...+40	[20 г]	1-071
МСТР-4	Стеклянный. Торцевой. Катод-медный. Регистрация РИ.	0,3...3 Å	1500	$N_{\max}=3 \cdot 10^4$ $N_\phi=65$	-	-	-5...+35	$\varnothing 40 \times 180$ [50 г]	1-071
МСТР-5	Стеклянный. Торцевой. Катод-медная пленка. Регистрация РИ.	0,5...2 Å	1500	$N_{\max}=3 \cdot 10^4$	-	-	-20...+50	[70 г]	1-071
СИ2Р	Стеклянный. Торцевой с бериллиевым окном. Катод-медь. Регистрация РИ.	0,5...2 Å	1450	$N_{\max}=3 \cdot 10^4$ $N_\phi=90$	-	-	-20...+50	$\varnothing 50 \times 260$ [70 г]	1-071
СИ3Р	Стеклянный. Торцевой с бериллиевым окном. Регистрация РИ.	1,2...3 Å	1650	$N_{\max}=1 \cdot 10^5$ $N_\phi=100$	-	-	-45...+55	$\varnothing 26 \times 125$ [40 г]	1-070
СИ4Р	Стеклянный. Торцевой с бериллиевым окном. Регистрация РИ.	1,2...2,5 Å	1650	$N_{\max}=1 \cdot 10^5$ $N_\phi=100$	-	-	-20...+50	$\varnothing 26 \times 155$ [50 г]	1-070
СИ5Р	Стеклянный. Торцевой. Регистрация РИ.	0,6...2,5 Å	1000-1500	$t\varepsilon=15$ (0,7 Å) $\varepsilon=50$ (1,8 Å)	-	-	-20...+50	$\varnothing 26 \times 120$ [70 г]	1-070
СИ2П	Металлический. Катод-алюминиевая трубка. Регистрация РИ.	0,85...2,5 Å	1250-1350	$N_{\max}=6 \cdot 10^4$	-	-	0...+55	-	-
СИ6Р	Стеклянный. Торцевой. Регистрация рентгеновского излучения в устройствах широкого применения.	0-30	2000	-	-	-	-20...+50	$\varnothing 37 \times 182$ [95 г]	-
СРМ-1	Регистрация РИ.	5-60	1400-2000	$\varepsilon=40$ (6,4 кэВ)	-	-	0...+55	$\varnothing 64 \times 270$	1-072

Глава 1.1. Газоразрядные детекторы ионизирующих излучений

Окончание таблицы 1.6. Основные характеристики детекторов рентгеновского излучения при температуре $20\pm 5^{\circ}\text{C}$

Тип счетчика	Конструкция, назначение	Диапазон регистраций, кэВ	Рекомендуемое рабочее напряжение, В	Дозиметрические характеристики.	Относительная полуширина амплитудного распределения при $E=5,9$ кэВ, %, не более	Максимальная рабочая скорость счета, с^{-1} , не менее	Диапазон рабочих температур, $^{\circ}\text{C}$	Габаритные размеры, мм, [масса, г]	№ рис.
CPT-4	Стеклянный. Торцевой. Катод-стальной. Регистрация РИ.	8...20 \AA	800	$\epsilon=10$ (10 \AA)	-	-	-50...+50	$\varnothing 15 \times 85$ [16 г]	1-070
CPT-5	Металлический. Катод-алюминиевый. Регистрация РИ	15-20	3400-4000	-	-	-	-50...+50	$\varnothing 60 \times 257$ [240 г]	1-073
СИ9Р	Стеклянный. Торцевой. Регистрация РИ.	-	2000-2500	-	21	5×10^3	-40...+50	$\varnothing 55 \times 242$ [370 г]	-
СИ10Р	Стеклянный. Торцевой. Регистрация РИ.	-	1700-2200	-	21	5×10^3	-40...+50	$\varnothing 55 \times 242$ [370 г]	-
СИ-11Р	Регистрация рентгеновского излучения в медицине, геофизике, ядерной физике.	2-40	1700-2200	$\Delta E=18$; $E_{\text{ЭФ}}=90$	-	1×10^5	-20...+50	$\varnothing 35 \times 160$	1-073д
СИ-12Р		2-40	1700-2200	$\Delta E=29$; $E_{\text{ЭФ}}=75$	-	1×10^5	-20...+50	$\varnothing 23 \times 95$	1-073д1
СИ-13Р		2-40	1700-2200	$\Delta E=18$; $E_{\text{ЭФ}}=90$	-	1×10^5	-20...+50	$\varnothing 35 \times 160$	1-073д
CPM19		-	1700-2100	-	22	5×10^3	-20...+50	$20 \times 20 \times 98$ [53 г]	1-074
CPM20		-	1700-2100	-	22	5×10^3	-20...+50	$26 \times 26 \times 18$ [43г]	1-075

Примечание: ΔE - Энергетическое разрешение на линии MnKa, %; $E_{\text{ЭФ}}$ - Эффективность регистрации на линии MnKa, %.

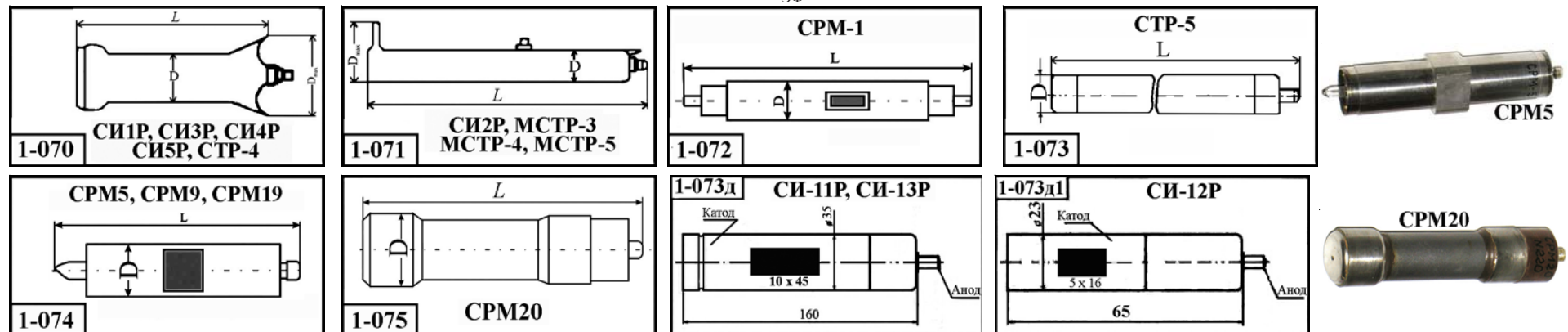


Рис. 1.11. Внешний вид и габаритные размеры рентгеновского излучения

Глава 1.1. Газоразрядные детекторы ионизирующих излучений

1.1.6.2. Детекторы рентгеновского излучения АГ-1, АГ-2, АГ-3, АГ-4, АГ-5, АГ-6, СИ-1-13Р, СИ-2Р, СИ-3Р, СИ-4Р, СИ-5Р, СИ-6Р

Основные параметры детекторов рентгеновского излучения приводятся в табл. 1.6а. Внешний вид и энергетические характеристики детекторов приводятся на рис. 1.12 и 1.12а.

Таблица 1.6а. Основные характеристики детекторов рентгеновского излучения при температуре $20 \pm 5^\circ\text{C}$

Тип счетчика	Конструкция, назначение	Диапазон регистраций, кэВ	Рекомендуемое рабочее напряжение, В	Дозиметрические характеристики	Относительная полуширина амплитудного распределения при $E=5,9$ кэВ, %, не более	Максимальная рабочая скорость счета, с^{-1} , не менее	Диапазон рабочих температур, $^\circ\text{C}$	Габаритные размеры, мм, [масса, г]	№ рис.
АГ-1 СИ-1-13Р	Для использования в аппаратуре рентгеновского анализа, для определения структуры и элементного состава материалов – рентгеновских дифрактометрах и спектрометрах, специализированных датчиках состава вещества.	3-20	1300-1700	$N_\phi=60$	16	-	0...+55	$\varnothing 35 \times 160$ [150 г]	1-076
АГ-2 СИ-2Р		1,2-15	700-900	$N_\phi=60$	16	-	0...+55	$\varnothing 10 \times 75$ [20 г]	1-077
АГ-3 СИ-3Р		3-20	1300-1650	$N_\phi=60$	16-18	-	0...+55	$22 \times 22 \times 88$ [135 г]	1-078
АГ-4 СИ-4Р		1-20	1300-1600	$N_\phi=60$	16-18	-	0...+55	$22 \times 42 \times 81$ [150 г]	1-079
АГ-5 СИ-5Р		1,5-15	650-900	$N_\phi=60$	16-18	-	0...+55	$22 \times 22 \times 82$ [30 г]	1-080
АГ-6 СИ-6Р		3-20	1400-1700	$N_\phi=60$	17-19	-	0...+55	$53 \times 69 \times 441$ [150 г]	1-081

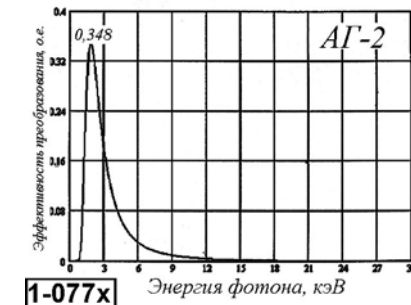
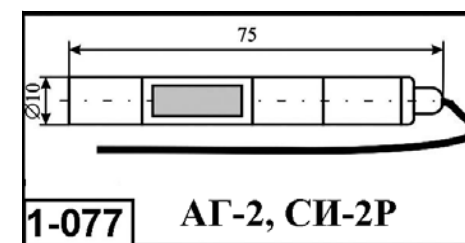
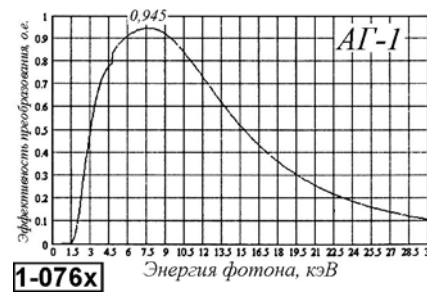
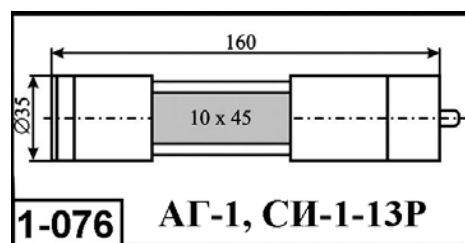


Рис. 1.12. Внешний вид, габаритные размеры и энергетические характеристики детекторов рентгеновского излучения

Глава 1.1. Газоразрядные детекторы ионизирующих излучений

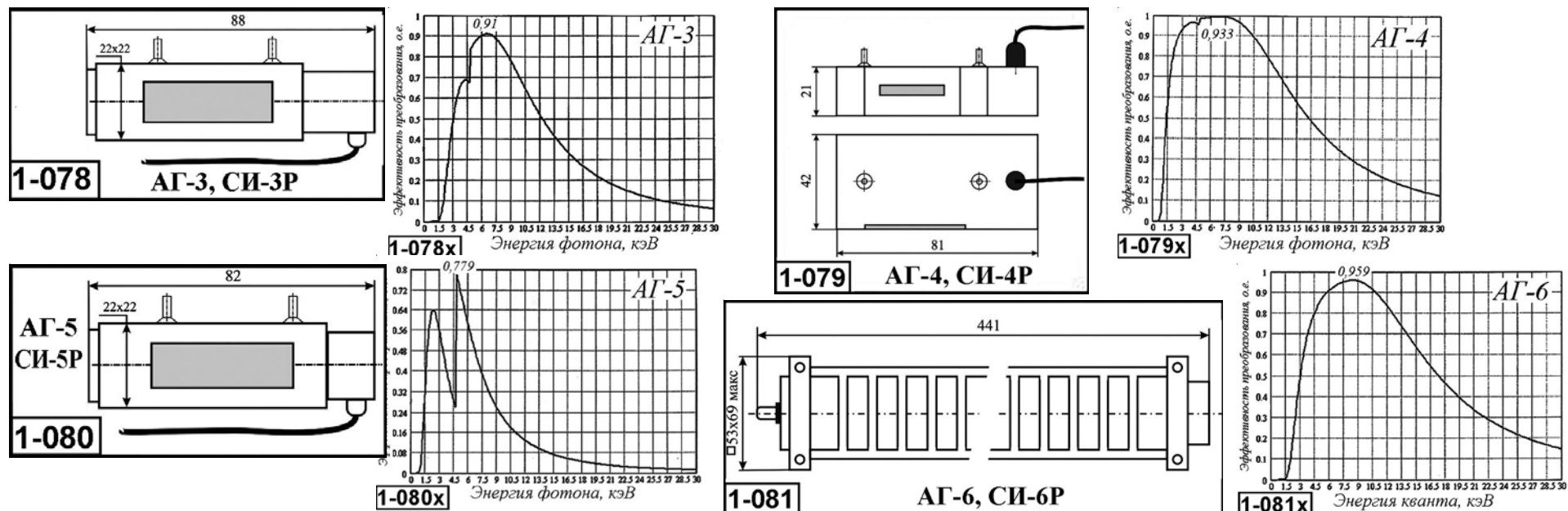


Рис. 1.12а. Внешний вид, габаритные размеры и энергетические характеристики детекторов рентгеновского излучения

1.1.6.2д. Вакуумный рентгеновский датчик СДИ28

Вакуумный рентгеновский датчик СДИ28 предназначен для преобразования рентгеновского излучения в области спектра от 1 кэВ до 10 кэВ в электрический аналог. Используется в составе вакуумированного оборудования для измерения параметров рентгеновского излучения.

Особенности конструкции: катод из тантала (меди, хрома, алюминия, никеля); входное окно из бериллия толщиной 0,3 мм; коаксиальный анодный вывод. Датчик может помещаться в широкополосный корпус. Основные параметры рентгеновского датчика излучения приводятся в табл. 1.6д. Внешний вид на рис. 1.12д.

Наименование параметра. Единица измерения.	Норма параметра
Чувствительность, А.с.см /квант	$> 10^{-18}$
Длительность импульсной характеристики на полувысоте, нс, не более	0,5
Максимальный линейный выходной ток, А	> 10
Темновой ток, А, не более	5×10^{-12}
Напряжение питания, В	1800
Диаметр катода, мм	25
Габаритные размеры, мм	Ж40 x 60

Таблица 1.6д.



Рис. 1.12д. Внешний вид датчика СДИ28

1.1.6.3д. Детекторы рентгеновские позиционно-чувствительные ЛКДО-1, ЛКДО-2, ИКД-1, ИКД0-1 и КОМБИ-1

Детекторы позиционно-чувствительные: линейные отпаянные (ЛКДО-1 и ЛКДО-2), изогнутые проточные и отпаянные (ИКД-1 и ИКД0-1). Предназначены для обеспечения позиционной и энергетической чувствительности рентгеновских аналитических аппаратов путем преобразования энергии рентгеновского излучения в электрические импульсы.

Детекторы имеют радиационно-стойкий резистивный нитевидный анод, который обеспечивает высокую надежность детекторов, а также устойчивость к кратковременному попаданию первичного пучка и повышенный ресурс работы.

Система регистрации КОМБИ-1 состоит из блока детектирования ЛКДО и блока обработки и согласования сигналов с выводом информации на ПЭВМ.

Позиционно-чувствительные детекторы применяются, в основном, в аппаратуре рентгеноструктурного анализа для экспрессного определения фазового состава веществ при высоких давлениях и температуре, для ускорения съемки слабых малоугловых дифрактограмм, в простых безгониометрических датчиках фазового состава веществ. В частности, линейный детектор блока "КОМБИ" использовался для оценки фазового состава цементов в технологическом процессе, ЛКДО-1, ЛКДО-2 применяются в приборах для оценки напряженного состояния материалов (РАКОН и др.). ИКДО-1 используется в простом безгониометрическом дифрактометре ЭФА. Благодаря использованию ЛКДО при изучении тонкой структуры спектров поглощения и эмиссии время измерения сокращается в сотни раз по сравнению с фотометрическим методом и использованием нуль-мерного детектора.

Основные параметры детекторов приведены в таблице 1.6д1, внешний вид на рис.1.12д.

Таблица 1.6д1. Основные характеристики детекторов рентгеновского излучения при температуре $20\pm5^{\circ}\text{C}$

Наименование параметра. Единица измерения	Тип прибора			
	ЛКДО-1	ЛКДО-2	ИКДО-1	КОМБИ-1
Размер рабочего окна, мм	25 x 10	50 x 10		50(25)x10
Диапазон одноврем. регистрации (2Θ), град.			55	
Пространств. разрешение на линии CuKa, мкм	90	130	220	150(120)
Энергетич. разрешение на линии CuKa, %, не более	21	21	25	21
Интегральная нелинейность, %	0,5	0,5	0,5	0,5
Дифференциальная нелинейность, %	2	2	3	3
Максимальная скорость счета, с^{-1}	$5*10^4$	$5*10^4$	$5*10^4$	$2*10^4$
Габаритные размеры, мм	100x50x95	100x50x95	180x110x40	145x120x80 и 254x189x85



Рис. 1.12д. Внешний вид позиционно-чувствительных детекторов КДО-1, ЛКДО-2, ИКД-1, ИКД-2.

Глава 1.1. Газоразрядные детекторы ионизирующих излучений

1.1.6.4д. Блоки детектирования рентгеновского излучения БДР-2, БДР-2-01, БДР-3, БДР-4, БДР-5

Блоки детектирования рентгеновского излучения БДР-2, БДР-2-01, БДР-3, БДР-4, БДР-5 предназначены для преобразования рентгеновского излучения в электрический сигнал.

БДР-2, БДР-2-01 состоят из общего анода, выполненного в виде металлической пластины, 1024-х катодов, представляющих собой металлические полоски (стрипы) шириной 0,2 мм, расположенные в плоскости, параллельной плоскости анода, втянутые вдоль рентгеновских лучей и соединённые со входами модулей мультиплексоров (далее модулей).

Модули предназначены для предварительного усиления и коммутации сигналов со стрипов на общую выходную шину. Количество модулей 16. Каждый имеет 64 входа и один выход. Модули размещены на общем основании вдоль продольной оси детектора. Данные узлы размещены в металлическом герметичном корпусе с входным окном, прозрачным для рентгеновского излучения не менее 90%. Корпус заполняется одним или смесью инертных газов под давлением. Цепи питания и выходы модулей через кросс-плату подсоединены к разъёму, расположенному на торце корпуса.

БДР-3 является усовершенствованным аналогом БДР-1. Состоит из 16 модулей, содержащих по 256 рентгеночувствительных элементов. Модули размещены на общем основании в шахматном порядке и образуют вдоль продольной оси детектора две непрерывные линейки. Основание с модулями размещено в герметизированном корпусе с входным окном, прозрачным для рентгеновского потока. Корпус наполняется осущенным газом под давлением выше атмосферного.

Конструкция БДР-2, БДР-3 предусматривает возможность замены вышедшего из строя любого из 16 модулей в условиях изготовителя. Применяются в цифровых рентгенографических установках медицинского назначения.

Блок детектирования рентгеновского излучения БДР-5 отличается от своего аналога БДР-2 лучшей разрешающей способностью. Применяется в цифровых сканирующих рентгенографических системах медицинского назначения с низкой дозой облучения.

Блок детектирования рентгеновского излучения БДР-4 предназначен для преобразования рентгеновского излучения в электрический сигнал. Применяется в цифровых сканирующих рентгенографических системах контроля со сверхнизкой дозой облучения, не превышающей фоновых значений, позволяющих провести оснащение служб безопасности при досмотре пассажиров в аэропортах, на таможенных пунктах высокоеффективным безопасным рентгеновским оборудованием с целью обнаружения скрытых опасных предметов, оружия и наркотиков. По сравнению с системами аналогичного назначения, система на базе БДР-4 обеспечивает в 3-5 раз меньшее время сканирования и дозу облучения.

Основные параметры блоков детектирования рентгеновского излучения БДР-2, БДР-2-01, БДР-3, БДР-4, БДР-5 приведены в табл.1.6д2 Внешний вид детекторов приведен на рис. 1.12.2д.

Глава 1.1. Газоразрядные детекторы ионизирующих излучений

Таблица 1.6д2. Основные характеристики детекторов БДР-2, БДР-2-01, БДР-3, БДР-4, БДР-5 при температуре $20\pm5^{\circ}\text{C}$

Наименование параметра. Единица измерения.	Тип прибора				
	БДР-2	БДР-2-01	БДР-3	БДР-4	БДР-5
Количество катодов (стрипов)	1024		4096	768	2048
Ширина катода, мм	0,2		0,2	0,2	0,2
Расположение катодов катодов	линия, шаг 0,4 мм		2 линии, шаг 0,2 мм	линия, шаг 1,05 мм	линия, шаг 0,2 мм
Среднее квадратичное напряжение шума на выходе, мВ, не более	0,8		-	0,8	-
Среднее значение темнового напряжения, В, не более	0,15		0,3	0,15	-
Разброс значений темновых напряжений, %, не более	30		40	30	-
Напряжение выходного сигнала регистра, В, не менее	6,5		6,5	6,5	-
Удельная рентгеночувствительность, нАмин/(см ² · Р), не менее	-		20	-	-
Время экспозиции на один снимок, с, не более	-		-	5	-
Доза облучения на снимок, мкЗв, не более	-		-	5	-
Напряжение питания, В			1000		
Средняя наработка на отказ, ч			750		
Рабочий диапазон температур, °C	25±10		от -10 до 35	25±10	25±10
Габаритные размеры, мм	661x121x168	Ø115x161	450x120x42	1601x121x168	695x111x91
Масса, кг	16		4	20	9
№ рисунка			1.12.2д		



Рис. 1.12.2д. Основные характеристики детекторов БДР-2, БДР-2-01, БДР-3, БДР-4, БДР-5

1.1.7. Ионизационные камеры

1.1.7.1. Ионизационные камеры КНК3, КНК4, КНК15, КНК15-1, КНК53М, КНК56, КНК56М, КНК57М

Основные параметры ионизационных камер приводятся в табл. 1.7.

Таблица 1.7. Основные параметры ионизационных камер при температуре $20 \pm 5^\circ\text{C}$

Тип камеры	Конструкция, назначение	Абсолютная чувствительность				Рекомендуемое рабочее напряжение, В	Собственный фон (ЛВС), А	Сопротивление изоляции, Ом	Диапазон рабочих температур, °C	Габаритные размеры, мм, [Масса, г.]					
		к гамма-излучению		к нейtronам											
		A*P ⁻¹ *ч, не более	кг, не более	токовая	импульсная										
КНК3	Корпус стальной. Измерение потока нейтронов с компенсацией сопутствующего γ -излучения в системах управления и защиты ядерных реакторов.	$1,3 \cdot 10^{-12}$	$1,8 \cdot 10^{-5}$	$(3,14-3,46) \cdot 10^{-15}$	-	+250; -(225-275)	$1 \cdot 10^{-10}$	$1 \cdot 10^{11}$	н.д.	$\varnothing 51 \times 164$ [500 г]					
КНК4		$9 \cdot 10^{-14}$	$1,2 \cdot 10^{-6}$	$(0,95-1,05) \cdot 10^{-13}$	-	+500; -(100-500)	$1,5 \cdot 10^{-10}$	$1 \cdot 10^{12}$	н.д.	$\varnothing 50 \times 455$ [1700 г]					
КНК15	Измерения плотности потока нейтронов в ядерных реакторах	$1 \cdot 10^{11}$	$1,4 \cdot 10^{-4}$	$(1,57-2,62) \cdot 10^{-13}$	0,76-1,38	± 400	$1 \cdot 10^{-8}$	$1 \cdot 10^{10}$	н.д.	$\varnothing 51 \times 260$ [780 г]					
КНК15-1		$2 \cdot 10^{-10}$	$2,8 \cdot 10^{-3}$	$(2,47-2,73) \cdot 10^{-13}$	-	± 350	$5 \cdot 10^{-10}$	$1 \cdot 10^{11}$	н.д.	$\varnothing 51 \times 260$ [850 г]					
КНК53М	То-же, что КНК3	$1,3 \cdot 10^{-12}$	$1,8 \cdot 10^{-5}$	$1,61 \cdot 10^{-14}$	-	± 500	$1 \cdot 10^{-10}$	$3 \cdot 10^{11}$	н.д.	$\varnothing 50 \times 512$ [1900 г]					
КНК56		$1 \cdot 10^{11}$	$1,4 \cdot 10^{-4}$	$4 \cdot 10^{-13}$	-	+500; -(200-500)	$1 \cdot 10^{-10}$	$1 \cdot 10^{11}$	н.д.	$\varnothing 50 \times 655$ [1600 г]					
КНК56М		$5 \cdot 10^{11}$	$7 \cdot 10^{-4}$	$4 \cdot 10^{-13}$	-	+500; -(200-500)	$1 \cdot 10^{-10}$	$1 \cdot 10^{11}$	н.д.	$\varnothing 50 \times 655$ [1600 г]					
КНК57М		$1,3 \cdot 10^{-12}$	$1,8 \cdot 10^{-5}$	$0,31 \cdot 10^{-14}$	-	± 500	$1 \cdot 10^{-10}$	$3 \cdot 10^{11}$	н.д.	$\varnothing 50 \times 31$ [600 г]					

Глава 1.1. Газоразрядные детекторы ионизирующих излучений

1.1.7.2. Ионизационные камеры КНТ-7, КНТ-8, КНТ-9, КНТ-10, КНТ-31, КНТ31-1, КНТ-54, КНТ-54-1

Диапазон рабочих температур ионизационных камер от - 0 до +300°C. Основные параметры ионизационных камер приводятся в табл. 1.7а. Внешний вид и габаритные размеры камер приведены на рис. 1.13.

Таблица 1.7а. Основные параметры ионизационных камер при температуре 20±5°C

Тип камеры	Конструкция, катод, назначение	Абсолютная чувствительность				Рекомендуемое рабочее напряжение, В	Собственный фон (ЛВС), А	Сопротивление изоляции, Ом	Габаритные размеры, мм, [Масса, г.]	№ рис.					
		к гамма-излучению		к нейtronам											
		A*P ⁻¹ *ч, не более	кг, не более	токовая	импульсная										
КНТ-7	Регистрация нейтронов с энергией выше 0,4 МэВ на фоне γ-излучения.	-	-	-	-	4*10 ⁻⁶	400...800	-	1*10 ¹⁰ Ø7,5x71 [10 г]	1-090					
КНТ-8	Регистрация нейтронов с энергией выше 1,2 МэВ на фоне γ-излучения.	-	-	-	-	2*10 ⁻⁶	500	-	1*10 ¹⁰ Ø7,5x71 [10 г]	1-090					
КНТ-9	Регистрация нейтронов на фоне γ-излучения.	-	-	-	-	5*10 ⁻⁴	400...800	-	1*10 ¹⁰ Ø7,5x71 [10 г]	1-090					
КНТ-10		-	-	-	-	5*10 ⁻⁴	500	-	1*10 ¹⁰ Ø7,5x71 [10 г]	1-090					
КНТ-31	Стальной цилиндрический корпус. Регистрация медленных нейтронов на фоне интенсивного γ-излучения.	-	-	-	-	0,25	400...800	-	1*10 ⁹ Ø32x239 [390 г]	1-091					
КНТ31-1		3*10 ⁻¹¹	4,2*10 ⁻⁴	(1,15-1,25)*10 ⁻¹³	0,3	250	4*10 ⁻⁹	1*10 ¹⁰	Ø32x239 [390 г]	1-091					
КНТ-54	Стальной корпус. Высокотемпературная ионизационная камера для измерения плотности потоков нейтронов в ядерных реакторах.	-	-	-	0,5	500		1*10 ⁹	Ø50x242 [650 г]	1-092					
КНТ-54-1		5*10 ⁻¹¹	7*10 ⁻⁴	1*10 ⁻¹³	0,5	250	1*10 ⁻⁸	1*10 ¹⁰	Ø50x191 [550 г]	1-092					

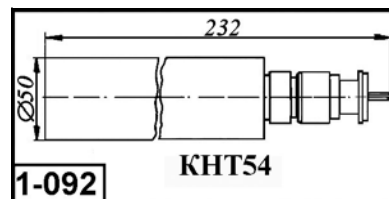
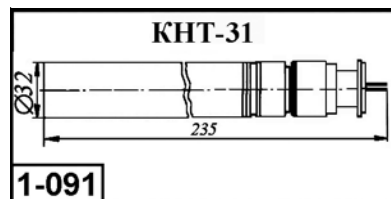
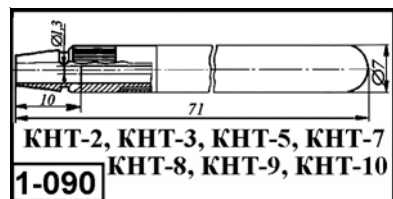


Рис. 1.13. Внешний вид и габаритные размеры ионизационных камер.

1.1.8. Блоки детектирования на основе газоразрядных счетчиков

В реальной практике широкое распространение получили, т.н. блоки детектирования на основе газоразрядных счетчиков в которые, кроме детектора излучения, могут входить предварительные зарядочувствительные усилители сигналов, сцинтиляторы, вторичные источники питания и др. элементы.

Более сложные блоки детектирования, кроме указанных узлов, могут содержать схемы обработки и преобразования сигналов, (например, АЦП), микроконтроллеры и устройства сопряжения, преобразующие сигнал в цифровой код (например, RS-232 или RS-485). Подобные устройства называют интеллектуальными детекторными блоками. Как правило, все эти элементы размещаются в общем защитном корпусе.

Отечественная промышленность выпускает широкую номенклатуру блоков детектирования различной конструкции и различного назначения. Ниже приводятся характеристики некоторых моделей устройств данного вида.

1.1.8.1. Блоки детектирования гамма-излучения БДМГ-04-00, БДМГ-04-01, БДМГ-04-02, БДМГ-04-03 и БДМГ-04-04

Блоки детектирования БДМГ-04-00, БДМГ-04-01, БДМГ-04-02, БДМГ-04-03 и БДМГ-04-04 предназначены для регистрации и преобразования энергии гамма-излучения в соответствующие по амплитуде электрические сигналы для их последующей обработки. В качестве чувствительного элемента используются счетчики Гейгера.

Блоки детектирования БДМГ-04-00, БДМГ-04-01, БДМГ-04-02, БДМГ-04-03 и БДМГ-04-04 предназначены для измерения мощности эквивалентной дозы гамма-излучения. Блок детектирования БДМГ-04-02Б предназначен для измерения мощности поглощенной дозы гамма-излучения в воздухе.

БДМГ-04-00 содержит два измерительных канала: №1 (со счетчиком высокой чувствительности) и №2 (со счетчиком низкой чувствительности). БДМГ-04-01 - содержит два измерительных канала: №1 (со счетчиком средней чувствительности) и №2 (со счетчиком низкой чувствительности). БДМГ-04-02 – содержит один канал (со счетчиком высокой чувствительности). БДМГ-04-03 содержит один канал (со счетчиком низкой чувствительности). БДМГ-04-04 содержит один канал (со счетчиком средней чувствительности). БДМГ-04-02Б содержит один канал (со счетчиком высокой чувствительности), измеряет МПД гамма-излучения.

Основные параметры блоков детектирования гамма-излучения серии БДМГ-04 приведены в табл. 1.8. Внешний вид и габаритные размеры приборов приведены на рис. 1.14.



Рис. 1.14. Внешний вид и габаритные размеры блоков детектирования гамма-излучения серии БДМГ-04

Глава 1.1. Газоразрядные детекторы ионизирующих излучений

Таблица 1.8. Основные параметры блоков детектирования гамма-излучения серии при температуре $20\pm5^{\circ}\text{C}$

Наименование параметра. Единица измерения.	БДМГ-04-00	БДМГ-04-01	БДМГ-04-02	БДМГ-04-03	БДМГ-04-04	БДМГ-АТ2343
Тип детектора	Счетчик Гейгера					счетчики Гейгера-Мюллера (6 шт.)
Диапазон измерения мощности эквивалентной дозы, мкЗв/час	0,04 мкЗв/ч - 10 Зв/ч	1 мкЗв/ч - 10 Зв/ч	0,05 мкЗв/ч - 2 мЗв/ч	0,1 мЗв/ч - 10 Зв/ч	1 мкЗв/ч - 50 мЗв/ч	$2,5 \cdot 10^{-8} - 10$, Гр/ч
Чувствительность, имп/чГр	-	-	-	-	-	9000
Энергетическая зависимость чувствительности блока детектирования относительно энергии 662 кэВ гамма-излучения радионуклида ^{137}Cs в диапазоне энергий от 0,05 до 1,25 МэВ в пределах, %	± 25	± 25	± 25	± 25	± 25	не более +30
Диапазон регистрируемых энергий, МэВ	-	-	-	-	-	50 - 1500 кэВ
Диапазон измерения мощности поглощенной дозы гамма-излучения в воздухе, Гр/ч	-	-	-	-	-	$2,5 \cdot 10^{-8} - 10$
Нестабильность показаний за время непрерывной работы 24 ч, %, не более	± 5	± 5	± 5	± 5	± 5	± 5
Рабочий диапазон температур, $^{\circ}\text{C}$	$-40 \dots +70$					-30...+50
Напряжение питания, В	8 - 42					от 8 до 25
Потребляемая мощность, Вт, не более	2,0					1,0
Габаритные размеры, мм [масса, кг]	$\varnothing 50 \times 420$ [800]	$\varnothing 50 \times 320$ [800]	$\varnothing 50 \times 360$ [800]	$\varnothing 50 \times 200$ [500]	$\varnothing 50 \times 230$	$\varnothing 127 \times 503$ [2700]
№ рисунка	1-100	1-100	1-100	1-100	1-100	1-101



Рис. 1.14д. Внешний вид блоков детектирования серии БДГМ-04.

Глава 1.1. Газоразрядные детекторы ионизирующих излучений

1.1.8.2. Блоки детектирования гамма излучения БДМГ-101, БДМГ-101М

Блоки детектирования БДМГ-101, БДМГ-101М предназначены для измерение мощности дозы гамма-излучения.

Каждый блок состоит из модуля ионизационной камеры и модуля электрометра, соединенных специальным электрометрическим кабелем.

Основные параметры детектирования БДМГ-101, БДМГ-101М приведены в табл. 1.9. Внешний вид и габаритные размеры блоков детектирования приведены на рис.1.15.

Таблица 1.9. Основные параметры блоков детектирования БДМГ-101, БДМГ-101М при температуре $20\pm5^{\circ}\text{C}$



Наименование параметра, ед. измерения	БДМГ-101	БДМГ-101М
Тип детектора	ионизационная камера	
Диапазон измерения мощности эквивалентной дозы мкЗв/час	10^{-4} - 200 Зв/ч	10^{-3} - 1000 Зв/ч
Диапазон регистрируемых энергий, МэВ	$0,05 \div 3,0$	$0,05 \div 3,0$
Чувствительность, мЗв/нКл, не менее	0,3	1,7
Энергетическая зависимость, %, не более	± 25	± 25
Нестабильность показаний за время непрерывной работы 8 ч, %, не более	± 10	± 10
Напряжение питания, В	12	12
Ток потребления, мА, не более	100	100
Диапазон рабочих температур, $^{\circ}\text{C}$	-30...+120	-30...+60
Габаритные размеры, мм	$\varnothing 85 \times 190$	$\varnothing 45 \times 137$
Масса (без кабеля), г, не более	1000	300
№ рисунка	1-102	1-103

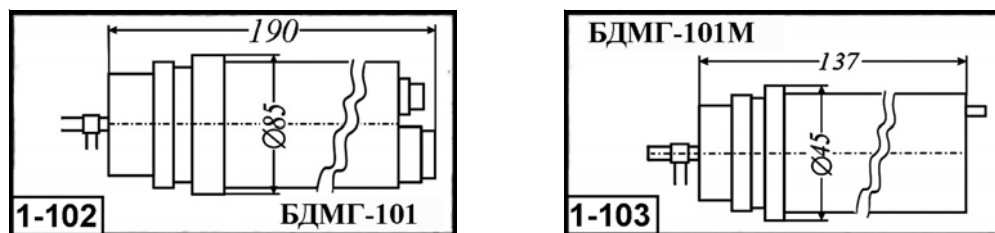


Рис. 1.15. Внешний вид и габаритные размеры блоков детектирования БДМГ-101, БДМГ-101М

Глава 1.1. Газоразрядные детекторы ионизирующих излучений

1.1.8.3. Интеллектуальные блоки детектирования нейтронного излучения БДКН-04, БДКН-96, БДМН-96

Интеллектуальные блоки детектирования нейтронного излучения БДКН-04, БДКН-96 и БДМН-96 предназначены для проведения контроля радиационной обстановки на территории радиационно-опасных помещений и объектов, а также для проведения радиационного мониторинга окружающей среды. В качестве чувствительного элемента в блоках используются счетчик медленных нейтронов с гелиевым наполнением и полиэтиленовым замедлителем толщиной до 10 см.

Основные параметры блоков детектирования приведены в табл.1.10. Внешний вид и габаритные размеры приведены на рис. 1.16.и 1.17.

Таблица 1.10. Основные параметры блоков детектирования БДКН-04, БДКН-96 и БДМН-96 при температуре $20 \pm 5^{\circ}\text{C}$

Наименование параметра. Единица измерения.	БДКН-04	БДКН-96	БДМН-96
Диапазон измерения мощности амбиентной эквивалентной дозы нейтронного излучения, мЗв/ч	0,1 - 10	от 0,1 мкЗв/ч до 0,1 Зв/ч.	от 0,1 мкЗв/ч до 0,1 Зв/ч.
Диапазон измерения амбиентной эквивалентной дозы нейтронного излучения	0,1 мкЗв - 10 Зв	0,1 мкЗв - 10 Зв	0,1 мкЗв - 1 Зв
Диапазон измерения плотности потока нейтронов, нейтр/(мин \cdot см 2)	$0,1 - 10^4$		
Диапазон измерения флюенса нейтронов, см 2	$(1 - 3) \cdot 10^6$		
Диапазон измерения скорости счета импульсов, с $^{-1}$	$0,01 - 1,5 \cdot 10^5$		
Диапазон энергии регистрируемого нейтронного излучения	0,025 эВ - 14 МэВ	0,025 эВ - 14 МэВ	0,025 эВ - 14 МэВ
Диапазон измерения плотности потока нейтронов, нейрон/(с \cdot см 2).		$0,1 - 10^4$	$0,1 - 10^4$
Основная погрешность измерения, % не более	± 20	± 30	
Чувствительность к нейтронному излучению от Ru-Be источников, имп \cdot с $^{-1}$ /мкЗв \cdot ч $^{-1}$	1,5		
Энергетическая зависимость блока в диапазоне энергий нейтронов типовых нейтронных спектров (по отношению к Ru-б-Be источнику), %, не более		± 40	± 40
Рабочий диапазон температур, °С	от -30 до +50	от -50 до +40	от -50 до +40
Напряжение питания, В		7	7
Габаритные размеры, мм	315x235x264	$\varnothing 100 \times 300$	$\varnothing 54 \times 200$
Масса, г	8000	2000	350
№ рисунка	1-105	1-104	1-104

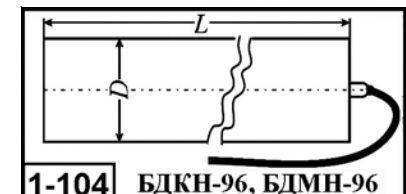


Рис. 1.16. Внешний вид и габаритные размеры блоков детектирования БДКН-96 и БДМН-96

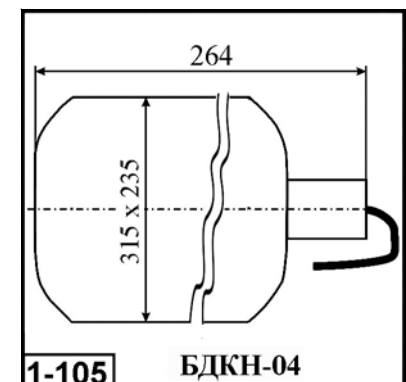


Рис. 1.17. Внешний вид и габаритные размеры блоков детектирования БДКН-04

Глава 1.2. Сцинтиляционные детекторы излучений

Сцинтиляционные детекторы являются весьма распространенными приборами, используемыми для регистрации и контроля ионизирующего излучения.

Сцинтиляционный детектор представляет собой устройство, состоящее из сцинтиллятора и оптически соединенного с ним фотоприемника. В качестве фотоприемников могут использоваться, как вакуумные фотоэлектронные приборы (фотоумножители), так и полупроводниковые приборы - обычно p-i-n фотодиоды.

Сцинтиляционные детекторы позволяют регистрировать все виды радиоактивного излучения, причем в отличие от газоразрядных счетчиков эффективность регистрации высокоэнергетичных γ -квантов может быть в таких детекторах очень большой (50 или даже 100%).

Высокая временная разрешающая способность позволяет использовать сцинтиляционные детекторы при высоких скоростях счета и проводить измерения коротких интервалов вплоть до десятых долей секунды.

Сцинтиляционный детектор может быть не только счетным прибором, регистрирующим число частиц, но и спектрометром - прибором для измерения энергии,

Сцинтиляционные детекторы и счетчики нашли широкое применение в составе аппаратуры контроля в атомной энергетике, производстве радиоактивных материалов, в системах экологического контроля и системах контроля за хранением и перемещением ядерных материалов, в металлургической, химической промышленности и в других областях науки и техники, где требуется обнаружение радионуклидов естественного и искусственного происхождения.

1.2.1. Сцинтиляторы

Сцинтилятор это элемент детектора, в котором происходит преобразование энергии ИИ в оптическое излучение.

Сцинтилятор изготавливается из вещества, обладающего способностью излучать (сцинтилировать) свет при поглощении ионизирующего излучения (гамма-квантов, электронов, альфа-частиц и т. д.).

Излучение сцинтилятора представляет собой непрерывный спектр с явно выраженным максимумом. В зависимости от материала спектр излучения сцинтиляторов лежит в диапазоне от 220 до 1000 нм. Для большей части сцинтиляторов спектр испускания лежит в сине-зеленой области.

В качестве исходного вещества для изготовления сцинтилятора могут использоваться: неорганические материалы; органические кристаллы, специальные пластмассы; жидкие органические материалы, инертные газы.

Основными параметрами, определяющими качество сцинтилятора являются: Световой выход, (относительная сцинтиляционная эффективность), спектр высыечивания (или максимум спектральной характеристики), время высыечивания, радиационная прочность, квичинг-фактор

(Отношение светового выхода данного типа частиц к световому выходу гамма-квантов с равной энергией называется квичинг-фактором (от англ. quenching - "тушение"). Квичинг-фактор электронов (бета-частиц) обычно близок к единице. Квичинг-фактор для альфа-частиц называют α/β -отношением; для многих органических сцинтиляторов он близок к 0,1.)

Неорганические сцинтиляторы представляют собой кристаллы неорганических солей. Практическое применение в сцинтиляционной технике имеют главным образом галоидные соединения некоторых щелочных металлов: (NaJ(Tl), CsJ(Tl), LiJ(Sn), ZnS(Ag), CdS(Ag),

Кроме указанных используются неорганические кристаллы: ZnS (Tl), CsJ (Tl), CdS (Ag), CaWO₄, CdWO₄ и др.

Органические кристаллические сцинтиляторы. Для регистрации ионизирующих излучений наибольшее распространение получили следующие органические кристаллы: антрацен, стильбена, и нафталина.

Пластмассовые сцинтиляторы представляют собой твердые растворы флуоресцирующих органических соединений в подходящем прозрачном веществе. Например, растворы антрацена или стильбена в полистироле, или плексигласе.

Жидкие органические сцинтиляторы - это растворы органических сцинтилирующих веществ в жидких органических растворителях. Из жидких веществ наиболее подходящими растворителями оказались ксиол, толуол и фенилциклогексан, а сцинтилирующими веществами р-терфенил, дифенилоксазол и тетрафенилбутадиен.

Газовые сцинтиляторы применяются главным образом для регистрации сильно ионизирующих короткопробежных частиц (осколков деления тяжелых ядер). В качестве газовых сцинтиляторов используются в основном чистые инертные газы (гелий, аргон, криpton, ксенон) и их смеси. Световой выход в газовых сцинтиляторах в силу их низких плотностей сравнительно невысок. Однако в качестве газовых сцинтиляторов могут также применяться сжиженные инертные газы.

Каждое из указанных веществ обладает определенными свойствами и особенностями. Применение их в качестве сцинтиляторов определяется конкретными задачами и условиями эксплуатации.

1.2.1.1. Материалы, используемые для изготовления сцинтиляторов

Спектр материалов, используемых для в настоящее время изготовления сцинтиляторов, весьма широк. Основные параметры некоторых материалов, используемых для изготовления сцинтиляторов, приведены в табл. 1.11д. Спектральные характеристики приведены на рис. 1.18д.

Таблица 1.11д. Основные параметры некоторых материалов, используемых для изготовления сцинтиляторов.

Тип сцинтилятора	Максимум полосы люминесценции, нм	Значение конверсионной эффективности относительно кристалла NaI(Tl)	Время нарастания сцинтиляционного импульса, нс	Время высыечивания, нс	После-свечение после 3 мс, %	Коэффициент преломления	Эффективный атомный номер Z _{eff}	Плотность, г/см ³	Гигроскопичность	Твердость по Моосу
Неорганические сцинтиляторы										
NaI(Tl)	410	100	5	250	0,5+5	1,78	50	3,67	Да	2
CsI(Tl)	550	45	22	700	0,5+5	1,8	54	4,51	Нет	2
CsI(Na)	420	85	-	630	0,5+6	1,84	54	4,51	Да	-
CsF	390	5	0,35	5	0,005	1,48	53	4,11	Да	-
KI(Tl)	420	20	50	1000	-	1,71	49	3,13	Нет	-
LiI(Eu)	440	70	-	1200	-	-	52	4,06	Да	-
CaF ₂ (Eu)	435	50	5	940	0,3	1,47	16	3,18	Нет	-
Bi ₄ Ge ₃ O ₁₂	480	8+16	2,8	300	<0,005	2,15	74	7,13	Нет	5
Bi ₄ Si ₃ O ₁₂	480:570	2	10	100	-	2,06	74	6,8	Нет	-
BaF ₂	325	10	1	630	-	1,49	54	4,88	Нет	-
CdWO ₄	490	40	-	5000	<0,005	2,2	65	7,9	Нет	6
ZnWO ₄	480	28	-	21800	-	-	61	7,87	Нет	-
CaWO ₄	430	32+50	-	3800	-	1,92	62	6,06	Нет	-
CdS(Te)	730	100+150	-	300	-	-	48	4,8	Нет	-
CdS(Te)*	1020	100+150	-	3000	-	-	48	4,8	Нет	-
YAlO ₃ :Ce	370	30	2,7	24	-	1,97	15	5,35	Нет	6
Y ₃ Al ₅ O ₁₂ :Ce	520	8	4,5	70	-	1,823	14	4,55	Нет	6
Y ₃ Al ₅ O ₁₂ :Sc	300	8	4,5	130	-	1,82	14	4,55	Нет	6
CdJ ₂	550	<1	0,23	0,96	-	-	51	5,6	-	-

Глава 1.2. Сцинтиляционные детекторы излучения

Окончание таблицы 1.11д. Основные параметры некоторых материалов, используемых для изготовления сцинтиляторов.

Тип сцинтилятора	Максимум полосы люминесценции, нм	Значение конверсионной эффективности относительно кристалла NaI(Tl)	Время нарастания сцинтиляционного импульса, нс	Время вы辉ечения, нс	После-свечение после 3 мс, %	Коэффициент преломления	Эффективный атомный номер $Z_{\text{эфф}}$	Плотность, $\text{г}/\text{см}^3$	Гигроскопичность	Твердость по Моосу
Органические сцинтиляторы										
C ₁₄ H ₁₀ антрацен	447	48	2	30	-	1.62	5,8	1,25	Да	-
C ₁₄ H ₁₂ антрацен	410	22	0,1	6	-	1,63	5,7	1,16	Да	-
C ₁₀ H ₈ нафталин	345	9	2	75	-	1.58	5.8	1,15	Да	-
ПС-111	430	20	0,4	2,1	-	1.62	5	1,05	Нет	-

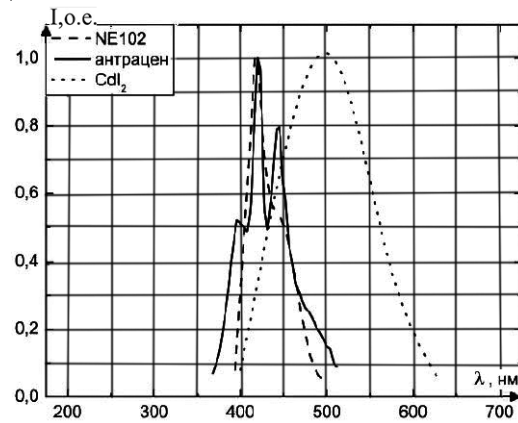
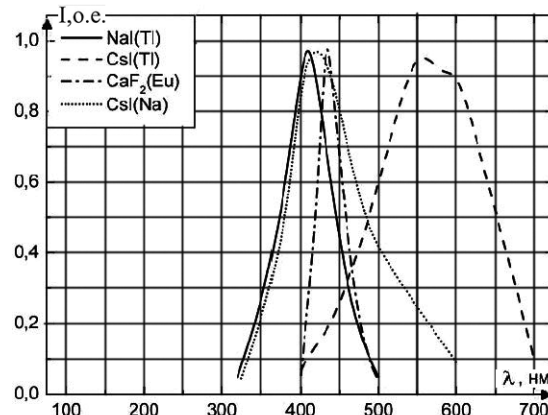
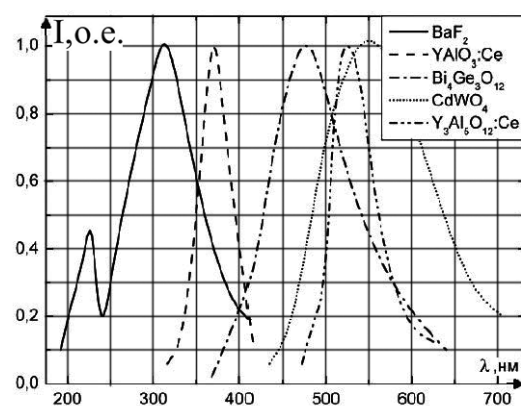


Рис.1.18д. Спектральные характеристики некоторых материалов, используемых для изготовления сцинтиляторов.

Примечание: Таблица параметров (1.11д и спектральные характеристики (рис.1.18д) приведены из учебного пособия: Савелов А.С., Салахутдинов Г.Х. Сцинтиляционные кристаллы для плазмофизического эксперимента: М.: НИЯУ МИФИ, 2015. - с.8.

1.2.1.2. Конструктивное оформление сцинтиляторов

Сцинтиляторы, в зависимости от характеристик исходного материала и назначения могут изготавливаться различной формы и размеров. Размеры сцинтиляторов цилиндрической формы в детекторах общего назначения – имеют диаметр от 3 до 200 мм, высоту от 1 до 200 мм.

Обычно сцинтилятор упаковывают в герметический металлический контейнер, закрываемый с одного конца плоским стеклом.

Особое внимание обращается на упаковку гигроскопичных сцинтиляторов. Так, например, наиболее часто используемый фосфор NaJ (Tl) очень гигроскопичен и при проникновении в него влаги желтеет и теряет свои сцинтиляционные свойства. Между контейнером и сцинтилятором размещается слой материала, отражающего свет и способствующего наиболее полному его выходу. Наибольшей отражательной способностью обладают окись магния (0,96), двуокись титана (0,95), гипс (0,85—0,90), используется также алюминий (0,55—0,85).

Пластмассовые сцинтиляторы нет необходимости упаковывать в герметические контейнеры, но для увеличения светосбора используют отражатели.

В месте соединения сцинтилятора с фотоприемником могут быть значительные потери интенсивности света сцинтиляции. Для избежания этих потерь между сцинтилятором и приемником вводятся специальные материалы, например канадский бальзам, минеральные или силиконовые масла..

Варианты конструкций и внешний вид некоторых сцинтиляторов приведены на рис. 1.19.

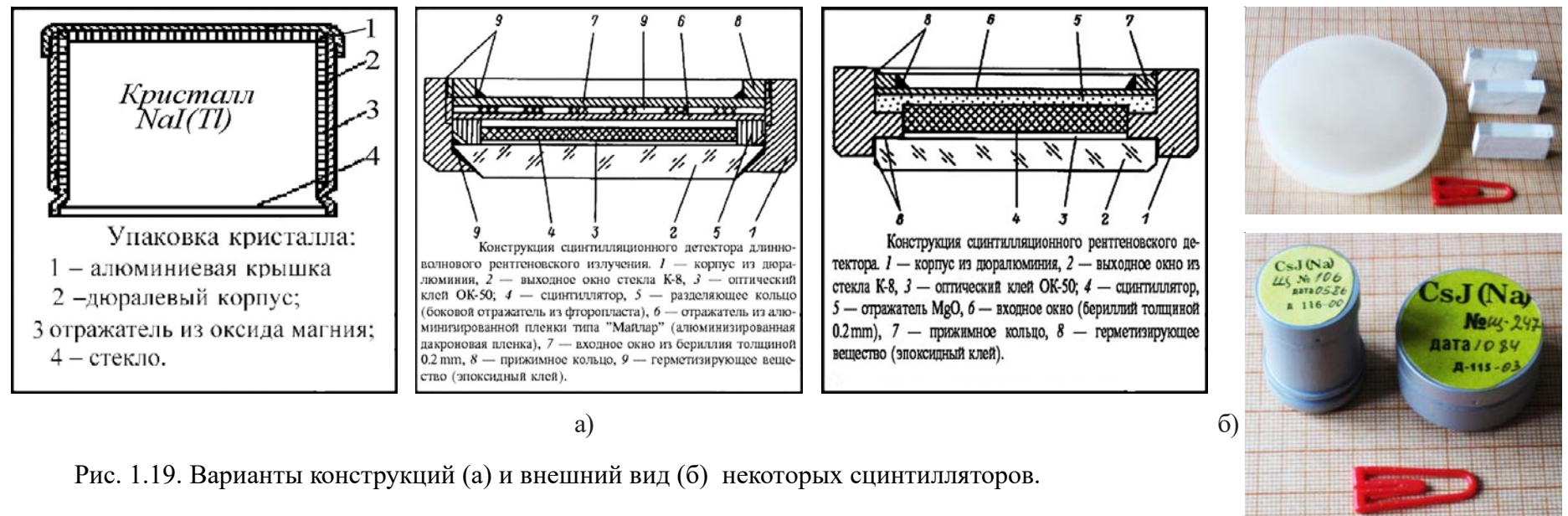


Рис. 1.19. Варианты конструкций (а) и внешний вид (б) некоторых сцинтиляторов.

1.2.1.3. Типовые конструкции контейнеров для упаковки сцинтиляторов

В обычной практике для упаковки сцинтиляторов используют типовые конструкции контейнеров, которые рекомендуются различными нормативно-техническими документами (ГОСТами, ОСТами, ТУ и т.п.). На рис. 1.20 приводятся несколько вариантов типовых конструкций контейнеров, а в табл. 1.12. приводятся габаритные размеры некоторых сцинтиляторов и контейнеров к ним.

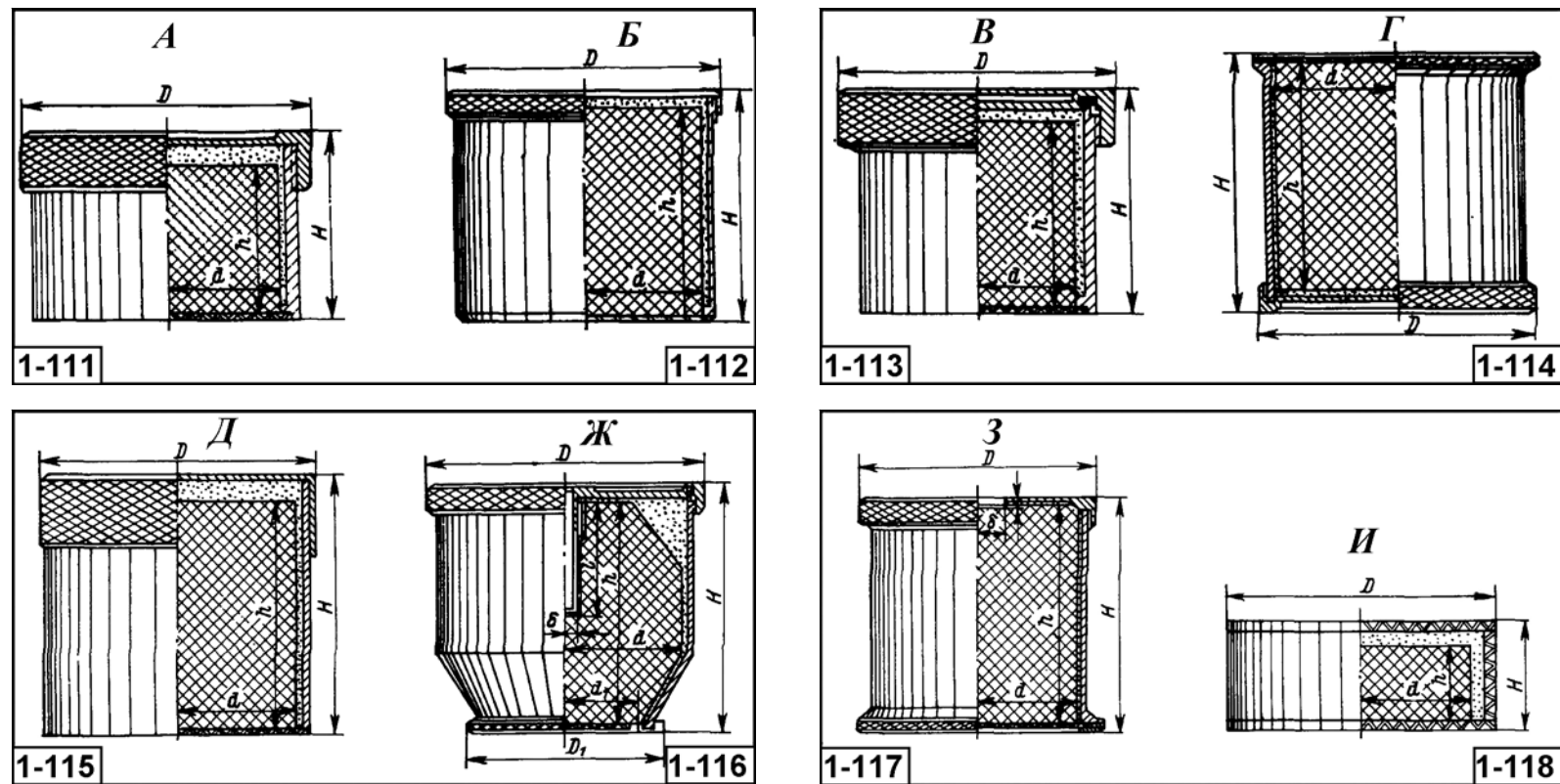


Рис.1.20. Типы контейнеров для упаковки сцинтиляционных детекторов.

Глава 1.2. Сцинтиляционные детекторы излучения

Таблица 1.12. Типовые размеры некоторых сцинтилляторов и контейнеров к ним.

Тип контейнера	Особенности конструкции	Материал сцинтиллятора	Размеры сцинтиллятора,мм		Размеры контейнера, мм		№ рис.
			d	h	D	H	
А	Корпус-дюраль, крышка алюминий толщиной 0,5 мм, окно стекло №23	NaJ(Tl)	30	10; 15; 20; 40	40	15; 20; 25; 45	1-111
		CsJ (Tl)	30	10; 15; 20	40	15; 20; 25	
		KJ(Tl)	30	10; 15; 20	40	15; 20; 25	
Б	Корпус-дюраль, крышка алюминий толщиной 0,8 мм, окно стекло №23	NaJ(Tl)	40	20; 25; 30; 40; 50	48	25; 30; 35; 45; 55	1-112
		CsJ (Tl)	40	40	48	15; 25; 35; 45	
В	Корпус-дюраль, крышка алюминий толщиной 0,5 мм, окно стекло №23	NaJ(Tl)	30	15; 20; 25; 30	43	22; 27; 32; 42	1-113
		NaJ(Tl)	35	25; 35	48	32; 42	
		NaJ(Tl)	40	20; 30; 40	53	27; 37; 47	
Г	Корпус-дюраль, крышка алюминий толщиной 0,5 мм, окно стекло №23	NaJ(Tl)	60	30; 40; 60	72 - 68	37; 47; 67	1-114
			70	35; 50; 70	82 - 78	42; 57; 77	
			80	40; 60; 80	92 - 88	47; 67; 87	
			90	45; 60; 90	102 - 98	47; 67; 97	
			100	50; 80	112-108	57; 87	
			120	40; 60; 90	132-128	47; 67; 97	
			150	50; 80; 100	162-158	57; 87; 107	
		CsJ (Tl)	40	20; 30	72 - 68	27; 37	
			70	30	82 - 78	37	
			20	5; 10; 20	40	6; 11; 21	
Д	Корпус-дюраль, крышка алюминий толщиной 1,5 мм, окно стекло №23	Антрацен	40	10	60	11	1-115
			20	20; 30; 40		11; 21; 31; 41	
			80	80	68 -92	87	
			120	80	92 - 132	87	
Ж (с колодцем)	Корпус-дюраль, крышка алюминий толщиной 0,5 мм, окно стекло №23	NaJ(Tl)	80	80	98	83	1-116
			70	70			
			120	80	138	73	
			150	100	168	103	
З (с лункой)	Корпус-дюраль, крышка алюминий толщиной 0,5 мм, окно стекло №23	NaJ(Tl)	30	10; 20	37	15; 26	1-117
			30	10; 15; 20; 30	37	15; 20; 26; 36	
			35	15	40	20	
И	Корпус из стекла №23	Стильбен	CsJ (Tl)	30	10; 20	37	1-118
			30	10; 15; 20; 30	37	15; 20; 26; 36	
			35	15	40	20	

Глава 1.2. Сцинтиляционные детекторы излучения

1.2.1.4. Детекторы ионизирующих излучений сцинтиляционные СДН.64, СДН.69, СДН.83

Детекторы ионизирующих излучений СДН.64, СДН.69, СДН.83.сцинтиляционные на основе кристаллов натрия йодистого, активированных таллием. Предназначены для спектрометрии и регистрации мягкого гамма-излучения в диапазоне энергий от 15 до 300 кэВ.

Детекторы применяют для комплектации средств измерений ионизирующего излучения.

Основные параметры детекторов приведены в табл. 1.13, а внешний вид и габаритные размеры приведены на рис.1.21.

Таблица 1.13. Основные параметры детекторов СДН.64, СДН.69, СДН.83

Тип детектора	Применение	для спектрометрии (СПС)		для регистрации (СЧ)	Относительная сцинтиляционная эффективность регистрации гамма- излучения I^{125} в диапазоне энергий от 15 до 90 кэВ, %, не менее	Собст- венный фон, имп/мин, не более	Номинальные габаритные размеры, мм				Диапазон рабочих температу- р, °C	№ рис.
		Амплитуд- ное разреше- ние, R_a , %, не более	Световой выход, С, УЕСВ, не менее				D_3	D_4	H_3	H		
СДН.64.30.40-17.38	Предназначены для регистрации мягкого гамма- излучения в диапазоне энергий от 15 до 90 кэВ	11,5	2,5	2,5	80	10	36	33	2,5	46,5	-50...+35	1-119
СДН.69.40.40-20.38	Предназначены для регистрации гамма- излучения в диапазоне энергий от 50 до 90 кэВ	12	2,6	2,4	80	10	47	43	2,5	48,5	-50...+35	1-120
СДН.83.40.40-12.5.27	Предназначены для регистрации гамма- излучения в диапазоне энергий от 50 до 3000 кэВ.	11	3,5	3	-	-	47	43	2,5	48,5	-50...+35	1-120
СДН.83.40.50-12.5.37		10,5	3,5	3	-	-	47	43	2,5	58,5	-50...+35	
СДН.83.63.6 3-10.37		10,5	3,5	3	-	-	72	66	2,5	71,5	-50...+35	
СДН.83.80.50-18.27		11	3,5	3	-	-	90	83	2,5	59	-50...+35	
СДН.83.80.80-18.47		11	3,5	3	-	-	90	83	2,5	89	-50...+35	
СДН.83.100.100-35.70		11	3,3	3	-	-	111	104	4	109,5	+5...+35	
СДН.83.160.160-57.100		12,5	3	2,8	-	-	172	165	4	171	+5...+35	
СДН.83.200.200-75.150		13	3	2,8	-	-	212	205	4	213	+5...+35	

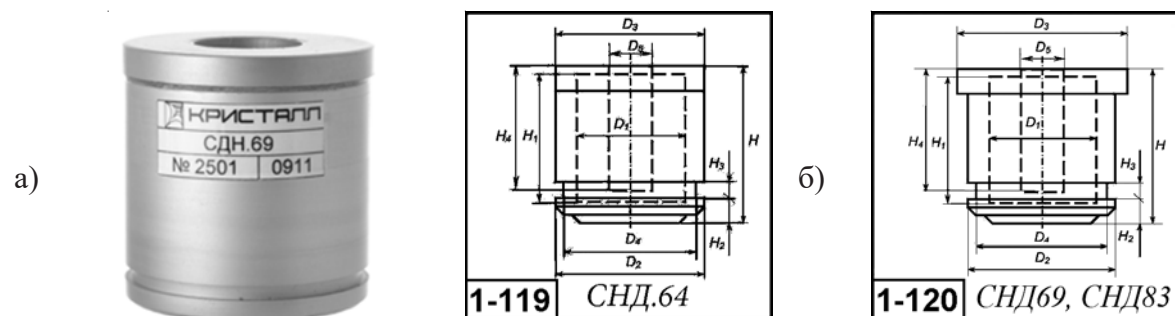


Рис.1.21. Внешний вид (а) и габаритные размеры (б) отдельных типов сцинтиляционных детекторов СНД64, СНД68 и СНД83.

1.2.1.5. Детекторы ионизирующего излучения сцинтиляционные пластмассовые ПС-Н1, ПС-Н2, ПС-Н3

Детекторы ионизирующего излучения сцинтиляционные пластмассовые ПС-Н1, ПС-Н2, ПС-Н3 предназначены для регистрации потока нейтронов, бета и гамма-излучений. Детекторы представляют собой твердый раствор люминесцирующих добавок в полистироле, плотность материала - 1,05 г/см³. Максимум спектра люминесценции - 0,42 мкм. Длительность сцинтиляционного импульса на половине высоты - 2,8 нс.

Детекторы эксплуатируются при температуре окружающего воздуха от -30 °C до +40 °C и относительной влажности до 95% они остаются прочными и сохраняют свои параметры после воздействия температуры окружающей среды от -40 °C до +50 °C и относительной влажности 98%. Срок службы, не менее 10 лет.

Сцинтиляционные детекторы выпускаются в виде дисков, цилиндров и блоков. Детекторы применяют для комплектации средств измерений ионизирующего излучения. Основные параметры детекторов ионизирующего излучения ПС-Н1, ПС-Н2, ПС-Н3 приведены в табл. 1.14.

Таблица 1.14. Основные параметры детекторов ионизирующего излучения ПС-Н1, ПС-Н2, ПС-Н3.

Тип сцинтилятора/Норма параметра									
ПС-Н1			ПС-Н2			ПС-Н3			
Диаметр, мм	Высота, мм	Световой выход, УЕСВ, о.е., не менее	Диаметр, мм	Высота, мм	Световой выход, УЕСВ, о.е., не менее	Длина, мм	Ширина, мм	Толщина, мм	Световой выход, УЕСВ, о.е., не менее
$50,4^{-0,5}$	$50,4^{-0,5}$	0,1	$50,4^{-0,5}$	$100,4^{-0,5}$	0,42	250^{-5}	250^{-5}	120^{-3}	0,31
$63,4^{-0,5}$	$63,4^{-0,5}$		$150,4^{-0,5}$	$150,4^{-0,5}$	0,39	500^{-5}	500^{-5}	120^{-3}	0,28
$79,9^{-0,5}$	$2,0^{-0,06}$		$150,4^{-0,5}$	$400,0^{-1,0}$	0,29				
$79,9^{-0,5}$	$100,4^{-0,5}$								
$150,4^{-0,5}$	$150,4^{-0,5}$								
Параметры исходного материала: плотность - 1,05 г/см ³ ; максимум спектра излучения - 0,42 мкм; длительность сцинтиляционного импульса на половине высоты - 2,8 нс.									

D₁ - диаметр сцинтилятора; D₂ - максимальный наружный диаметр корпуса (фланца); D₃ - диаметр крышки; D₄ - диаметр канавки корпуса; D₅ - диаметр колодца; H₁ - высота сцинтилятора; H₂ - расстояние от наружной поверхности защитного стекла до канавки корпуса; H₃ - ширина канавки корпуса; H - максимальная высота контейнера; H₄ - высота колодца

Глава 1.2. Сцинтиляционные детекторы излучения

1.2.1.6д. Блочные полистирольные сцинтилляторы ИФВЭ СЦ-201, ИФВЭ СЦ-201, ИФВЭ СЦ-202, ИФВЭ СЦ-203, ИФВЭ СЦ-204, ИФВЭ СЦ-205, ИФВЭ СЦ-206, ИФВЭ СЦ-207, ИФВЭ СЦ-221, ИФВЭ СЦ-222, ИФВЭ СЦ-223, ИФВЭ СЦ-231

Блочные полистирольные сцинтилляторы ИФВЭ СЦ-201, ИФВЭ СЦ-201, ИФВЭ СЦ-202, ИФВЭ СЦ-203, ИФВЭ СЦ-204, ИФВЭ СЦ-205, ИФВЭ СЦ-206, ИФВЭ СЦ-207, ИФВЭ СЦ-221, ИФВЭ СЦ-222, ИФВЭ СЦ-223, ИФВЭ СЦ-231 предназначены для регистрации потока нейтронов, бета и гамма-излучений. Сцинтилляторы представляют собой твердый раствор люминесцирующих добавок в полистироле, плотность материала - 1,05 г/см³. Показатель преломления 1,59. Максимум спектра люминесценции - 0,38 - 0,49 мкм. Длительность сцинтиляционного импульса на половине высоты - 1,8 - 5 нс.

Сцинтилляторы производятся в форме листов, блоков, стержней. Листы могут достигать до 4 метров в длину при ширине 20-300 мм и толщине от 5 до 25 мм. Блоки могут достигать размеров 200 x 50 x 10 см³.

Сцинтилляторы применяют для комплектации средств измерений ионизирующего излучения.

Основные параметры литьевых полистирольных сцинтилляторов приведены в табл. 1.15д.

Внешний вид показан на рис. 1.22д.

Таблица 1.15д. Основные параметры блочных полистирольных сцинтилляторов

Марка сцинтиллятора	Световойход от антрацена, %	Время высвечивания, нс	Максимум полосы люминесценции, нм	Длина затухания, см	Основные применения	Примечание
ИФВЭ СЦ-201	55	2,4	420	200	α , β , γ быстрые п	
ИФВЭ СЦ-201	52	3	420	200	α , β , γ , быстрые п	
ИФВЭ СЦ-202	52	4,6	465	200	α , β , γ , быстрые п	
ИФВЭ СЦ-203	52	4,5	480	>200	α , β , γ , быстрые п	
ИФВЭ СЦ-204	52	5	490	>200	α , β , γ , быстрые п	
ИФВЭ СЦ-205	66	2,4	420	200	α , β , γ , быстрые п	
ИФВЭ СЦ-206	67	1,8	430	200	α , β , γ , быстрые п	Для времяз-пролетной техники
ИФВЭ СЦ-207	44	1,8	380	50	α , β , γ , быстрые п	Для времяз-пролетной техники
ИФВЭ СЦ-221	32	2,4	430	50	1.7% Sn	для γ низких энергий
ИФВЭ СЦ-222	59	2,4	430	50	1.7% Sn	для γ низких энергий
ИФВЭ СЦ-223	52	2,4	430	50	2.4% Pb	для γ низких энергий
ИФВЭ СЦ-231	56	2,4	430	100	0.6% B ¹⁰	для п тепловых энергий



Рис. 1.22д. Внешний вид блочного полистирольного сцинтиллятора.

1.2.2. Сцинтиляционные блоки детектирования

Сцинтиляционные блоки детектирования, в общем виде, представляют собой пару «сцинтилятор-фотоприемник», заключенную в общий герметический металлический корпус. При этом диаметр сцинтилятора, как правило, должен соответствовать диаметру фоточувствительной поверхности используемого фотоприемника (ФП), а спектр испускания его спектральной характеристики. Устройства подобного типа, сокращенно называют сцинтиблоками.

1.2.2.1. Сцинтиблоки на основе фотоэлектронных умножителей

Устройства этого типа состоят из сцинтилятора и сочлененного с ним фотоумножителя (ФЭУ), преобразующего световую энергию в электрический импульс. В конструкцию сцинтиблока может быть встроен высоковольтный источник питания ФЭУ. Один из возможных вариантов конструкция сцинтиблока с использованием фотоумножителя приведен на рис.1.22.



Рис. 1.22. Один из возможных вариантов конструкция сцинтиблока с использованием фотоумножителя.

Коэффициент усиления ФЭУ составляет 10^5 - 10^6 , (но может достигать и 10^9), что позволяет получить на выходе ФЭУ легко регистрируемый электрический импульс. Временное разрешение ФЭУ составляет 10^{-8} - 10^{-9} с.

Энергетическое разрешение сцинтиляционных детекторов обычно составляет нескольких процентов. Временное разрешение определяется главным образом длительностью световой вспышки и меняется в пределах 10^{-6} - 10^{-9} с.

В сцинтиблоках используются фотоумножители следующих типов: ФЭУ-30, ФЭУ-31, ФЭУ-35, ФЭУ-35А, ФЭУ-39А, ФЭУ-54, ФЭУ-58, ФЭУ-60, ФЭУ-67Б, ФЭУ-70, ФЭУ-74А, ФЭУ-78, ФЭУ-81, ФЭУ-82, ФЭУ-83, ФЭУ-84, ФЭУ-85, ФЭУ-91, ФЭУ-92, ФЭУ-93, ФЭУ-97, ФЭУ-108, ФЭУ-110, ФЭУ-110, ФЭУ-112, ФЭУ-114, ФЭУ-118, ФЭУ-119, ФЭУ-125, ФЭУ-139, ФЭУ-143, ФЭУ-1431, ФЭУ-148-1, ФЭУ-153, ФЭУ-158, ФЭУ-159, ФЭУ-165, ФЭУ-167, ФЭУ-172, ФЭУ-173, ФЭУ-176, ФЭУ-181, ФЭУ-183, ФЭУ-184Ст, ФЭУ-184Тд, ФЭУ-190, ФЭУ-200, СДФ20, СДФ21, СНФТ3, СНФТ3-01, СНФТ5, СНФТ8, СНФТ18М, СНФТ22 и др.

Основные параметры фотоэлектронных умножителей приведены в главе 3.2.1.

Глава 1.2. Сцинтиляционные детекторы излучения

Сцинтиляционные детекторы с ФЭУ, наряду с несомненными достоинствами, обладают серьезными недостатками:

- невысокая квантовая эффективность фотокатода;
- необходимость стабильного высоковольтного (600 – 1200 В) питания;
- чувствительность к магнитным полям;
- относительно большие габаритные размеры.

На рис.1.22д. в качестве примера, приведена принципиальная электрическая схема сцинтиляционной головки с ФЭУ.

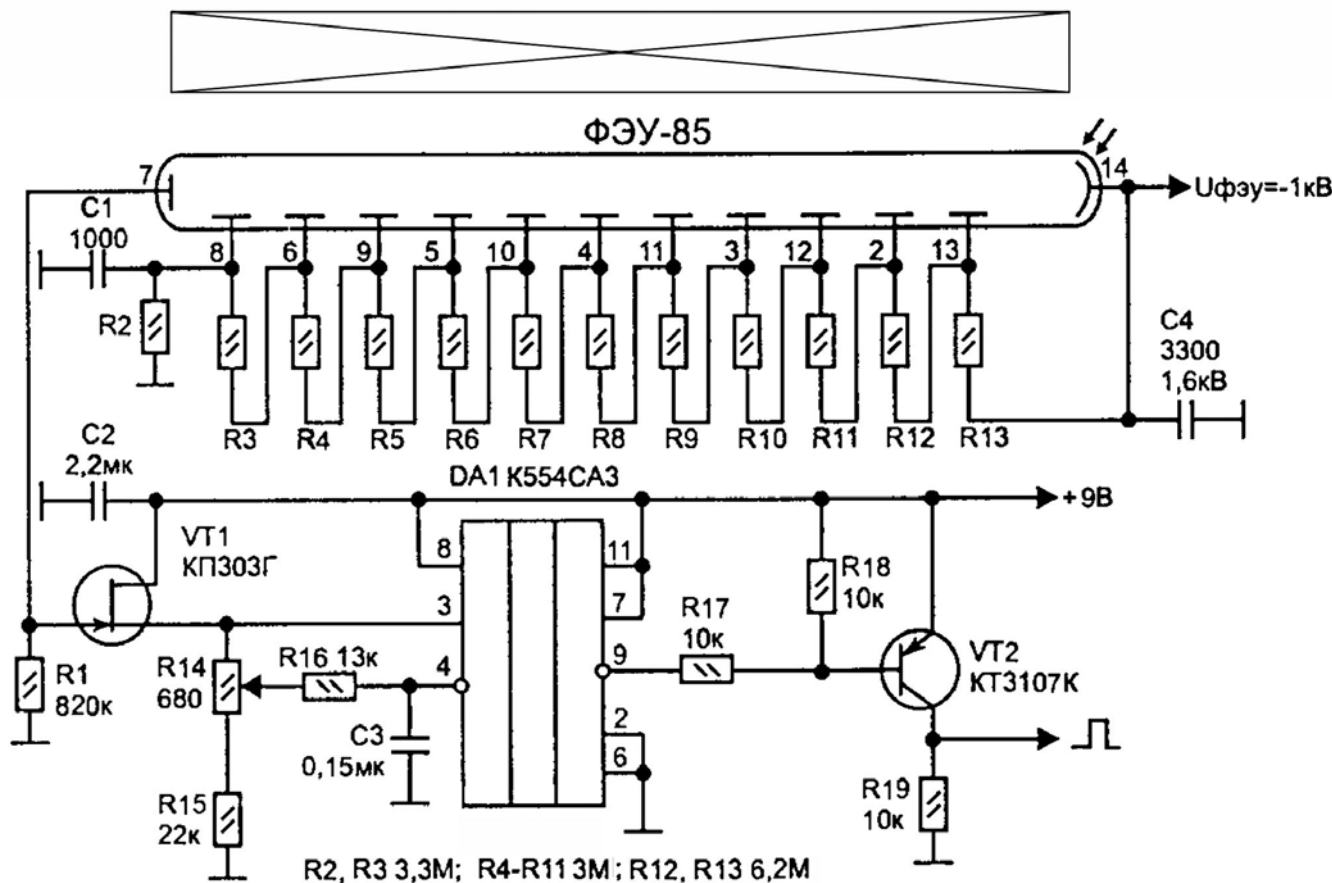


Рис.1.22д. Принципиальная электрическая схема сцинтиляционной головки с ФЭУ. (авт. Виноградов Ю.А.)

1.2.2.2 Сцинтиблоки на основе кремниевых фотодиодов

Альтернативой фотоэлектронным умножителям в некоторых случаях могут служить высокочувствительные кремниевые p-i-n фотодиоды, которые, свободны от перечисленных выше недостатков ФЭУ.

Несмотря на то, что максимум спектральной чувствительности кремниевых p-i-n диодов находится в красной области видимого спектра, а для большей части сцинтиляторов спектр испускания лежит в сине-зеленой области, квантовая эффективность составляет 0.4 - 0.6, что заметно выше, чем для ФЭУ. Большая, чем у ФЭУ, квантовая эффективность фотодиодов, создает принципиальную возможность получения лучшего энергетического разрешения.

Вариант конструкции сцинтиблока с использованием кремниевого фотодиода приведен на рис.1.23. Внешний вид некоторых вариантов приборов приведен на рис. 1.23д.

Для повышения разрешающей способности аппаратуры используются многоканальные сцинтиблоки, представляющие собой конструкцию, состоящую из набора сцинтиляторов и многоэлементного кремниевого p-i-n фотодиода. Функциональная схема многоканального сцинтиблока приведена на рис. 1.24.

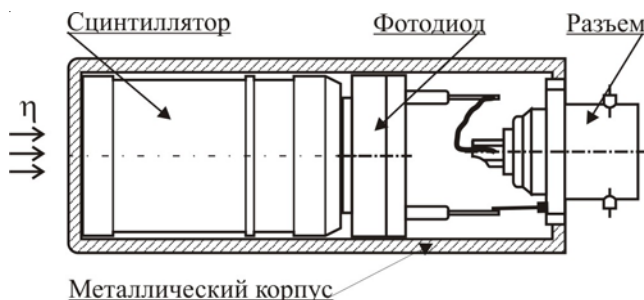


Рис. 1.23. Вариант конструкция сцинтиблока с использованием кремниевого фотодиода.



Рис. 1.23д. Внешний вид стинтиляционных гамма-детекторов.

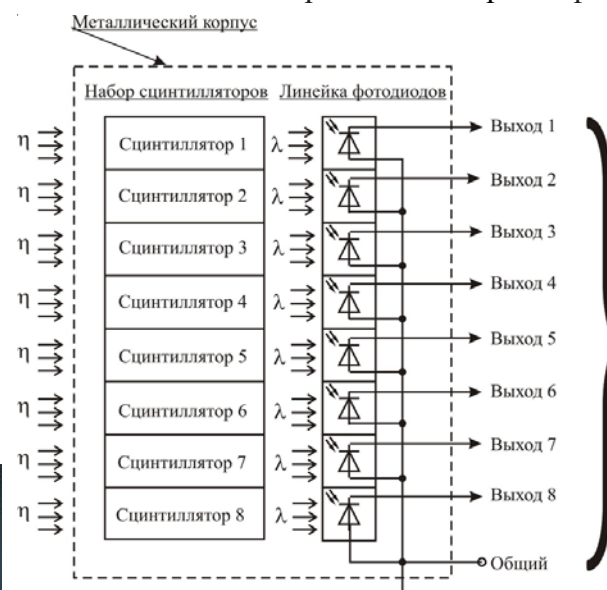


Рис. 1.24. Функциональная схема многоканального сцинтиблока с использованием многоэлементных кремниевых фотодиодов.

Для подобных устройств могут использоваться 16-ти и 32-х элементные кремниевые фотодиоды, например, серии ФД321М.

№ варианта	Сцинтилятор CsJ(Tl), размеры, мм	Фотодиод Si, P-I-N, размер ф.ч.э., мм
1	10 x 10 x 40	5 x 5
2	10 x 10 x 10	5 x 5
3	Ø40 x 30	10 x 10

Глава 1.2. Сцинтиляционные детекторы излучения

Основными достоинствами сцинтиляционных блоков детектирования с кремниевыми p-i-n фотодиодами относительно аналогичных блоков с ФЭУ, являются: существенно меньшие габариты и вес; отсутствие высоковольтного источника питания; долговременная стабильность коэффициента усиления, позволяющая отказаться от периодической калибровки; нечувствительность к магнитным полям.

В то же время, эти блоки детектирования существенно проигрывают по быстродействию, энергетическому диапазону регистрируемых квантов и температурной стабильности.

В качестве фотоприемников в сцинтиляционных детекторах могут использоваться кремниевые p-i-n фотодиоды, например, ФД-321М, ФД-327М, ФДУК-100УВ и др. На рис. 1.24д. в качестве примера приведена принципиальная электрическая схема сцинтиляционной головки с использованием p-i-n фотодиода.

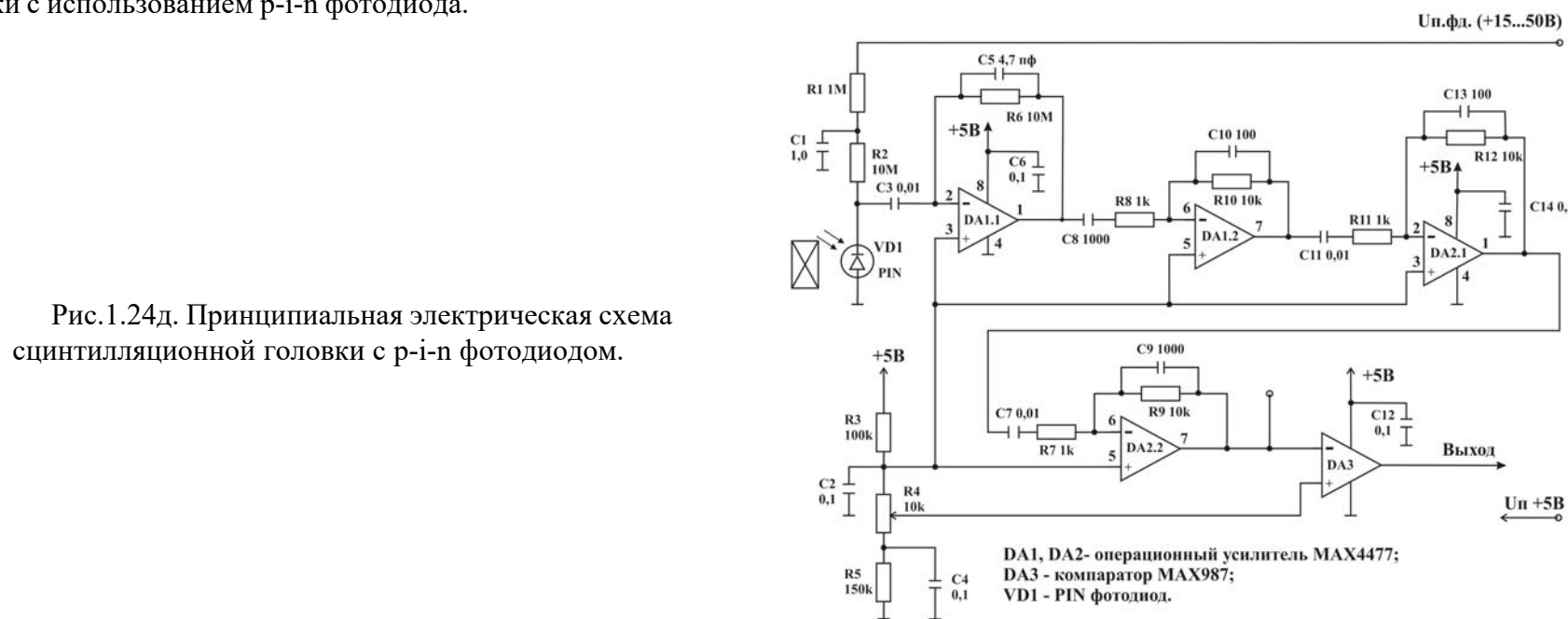


Рис.1.24д. Принципиальная электрическая схема сцинтиляционной головки с p-i-n фотодиодом.

Современными конкурентами сцинтиблоков на ФЭУ служат аналогичные устройства с использованием многоэлементных высокочувствительных кремниевых лавинных фотодиодов, которые способны регистрировать отдельные фононы. В этом случае, отдельный детектор представляет собой совокупность большого числа лавинных фотодиодов (пикселей), функционирующих в гейгеровском режиме, при котором регистрация даже одного фотона дает на выходе стандартный сигнал достаточно большой амплитуды. Каждый пиксель содержит токоограничивающий резистор, в результате чего гейгеровский разряд в ячейке ограничен.

Весьма эффективным и перспективным является использование микропиксельных лавинных фотодиодов со структурой металл-резистор-полупроводник, например, СРТА 140-17, СРТА 140-40, СРТА 143-30, СРТА 149b-26, СРТА 149-35, СРТА 150-50, СРТА 151-30.

1.2.3 Интегрированные сцинтиляционные блоки детектирования

Интегрированные сцинтиляционные блоки детектирования, кроме стинциллятора, детектора излучений и фотоприемника - могут содержать предварительные усилители сигналов, вторичные источники питания, схемы преобразования сигнала (например, АЦП), микроконтроллеры и устройства сопряжения, преобразующие сигнал в цифровой код (например, RS-232, RS-485). Подобные устройства называют интеллектуальными детекторными блоками.

Отечественная промышленность выпускает широкую номенклатуру сцинтиляционных блоков детектирования различной конструкции и различного назначения. Ниже приводятся характеристики некоторых моделей устройств данного вида.

1.2.3.1 Блоки детектирования альфа излучения БДПА-01, БДЗА-96, БДЗА-96м, БДЗА-96с, БДЗА-96т, БДЗА-100Б, БДЗА-96б

Блоки детектирования БДПА-01, БДЗА-96, БДЗА-96м, БДЗА-96с, БДЗА-96т, БДЗА-100Б, БДЗА-96б предназначены для регистрации и преобразование энергий альфа-частиц в соответствующие по амплитуде электрические сигналы для их последующей обработки.

Высокочувствительный интеллектуальный сцинтиляционный интеллектуальный блок детектирования БДПА-01 предназначен для измерения плотности потока альфа-частиц с загрязненных поверхностей в диапазоне от 0,1 част./($\text{мин}\cdot\text{см}^2$). Блок оснащен встроенной системой светодиодной стабилизации и интерфейсом (RS232).

Блоки детектирования альфа-излучения БДЗА-96 и БДЗА-96с используются при измерении плотности потока альфа-излучения источников с радионуклидом ^{239}Pu . БДЗА-96м - используется при измерении плотности потока альфа-излучения источников с радионуклидом ^{239}Pu в стандартных условиях. БДЗА-96т – используется при измерении плотности потока альфа-излучения источников с радионуклидом ^{239}Pu , находящихся в труднодоступных местах, трубах, емкостях. БДЗА-96б - используется при измерении загрязненности ладоней альфа-активными веществами.

Основные параметры блоков детектирования альфа-излучения приведены в табл. 1.15. Внешний вид и габаритные размеры приборов приведены на рис. 1.25.

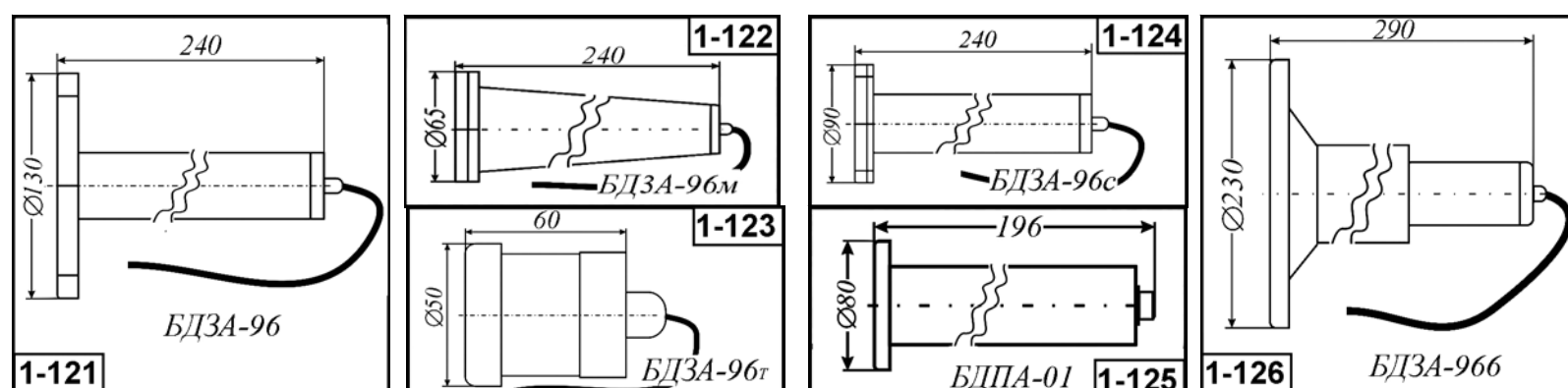


Рис. 1.25. Внешний и габаритные размеры блоков детектирования БДПА-01, БДЗА-96, БДЗА-96м, БДЗА-96с, БДЗА-96т, БДЗА-96б

Глава 1.2. Сцинтиляционные детекторы излучения

Таблица 1.15. Основные параметры блоков детектирования БДПА-01, БДЗА-96, БДЗА-96м, БДЗА-96с, БДЗА-96т, БДЗА-100Б, БДЗА-96б

Наименование параметра. Единица измерения	БДПА-01	БДЗА-96	БДЗА-96м	БДЗА-96с	БДЗА-96т	БДЗА-96б	БДЗА-100Б
Тип детектора	люминофор ZnS(Ag), Ø60 мм.	цинтиллятор, 70 мм ²	цинтиллятор, 10 см ²	цинтиллятор, 30 см ²	цинтиллятор, 5 см ²	цинтиллятор, 300 мм ²	люминофор ZnS(Ag), 300 см ²
Тип фотоприемника	Si фотодиод	ФЭУ	ФЭУ	ФЭУ	ФЭУ	ФЭУ	ФЭУ
Диапазон измерения плотности потока альфа-частиц, част./(мин*см ²)	0,1...10 ⁵	0,1...1*10 ⁴	0,1...1*10 ⁵	0,1...5*10 ⁴	0,1...3*10 ⁶	0,1...2*10 ³	0,1 ...2·10 ³
Собственный фон, мин ⁻¹ *см ⁻²	-	0,3	1,0	0,2	0,2	0,1	0,2
Диапазон энергии регистрируемых альфа-частиц, МэВ	3 ... 7	-	-	-	-	-	-
Диапазон измерения флюенса альфа-частиц ²³⁹ Pu, см ⁻²	(1 ..3)*10 ⁶	-	-	-	-	-	-
Диапазон измерения поверхностной активности ²³⁹ Pu, Бк*см ⁻²	3,4*10 ⁻³ ... 3*10 ³	-	-	-	-	-	-
Чувствительность по ²³⁹ Pu, имп*с ⁻¹ /(част/(мин*см ²)	0,15	0,5	0,1	0,2	0,05	1,0	0,2
Эффективность регистрации по ²³⁹ Pu, %	-	42	20	50	45	50	
Напряжение питания, В	н.д.	7	7	7	7	7	7...12
Диапазон рабочих температур, °C	-30...+50	+10...+35	+10...+35	+10...+35	+10...+35	+10...+35	-40...+50
Габаритные размеры, мм	Ø80x196	Ø130x240	Ø65x240	Ø90x240	Ø50x60	Ø230x290	Ø230x225
Масса (без кабеля), г, не более	500	1100	900	1000	150	4000	4000
№ рисунка	1-125	1-121	1-122	1-124	1-123	1-123д	1-123д



Рис. 1.25д. Внешний вид блоков детектирования.

1.2.3.2 Сцинтиляционные блоки детектирования бета-излучения БДС-Б, БДС-Б-150

Сцинтиляционные блоки детектирования БДС-Б, БДС-Б-150 предназначены для регистрации и преобразования энергии бета-частиц в соответствующие по амплитуде электрические сигналы для их последующей обработки.

Детекторы выполнены на основе сборки “пластический сцинтиллятор - ФЭУ” и имеют в своем составе: предусилитель, усилитель - формирователь, с параметрами выходных импульсов, позволяющими подавать их непосредственно на вход амплитудно-цифрового преобразователя многоканального анализатора; - источник высоковольтного напряжения; систему стабилизации измерительного тракта на основе специального светодиода с функцией температурной коррекции характеристики преобразования.

Основные параметры блоков детектирования бета-излучения приведены в табл. 1.16. Внешний вид и габаритные размеры приборов приведены на рис. 1.26.

Таблица 1.16. Основные параметры блоков детектирования серии БДС-Б

Наименование параметра. Единица измерения	БДС-Б	БДС-Б-150
Детектор (сцинтиллятор)	пластический сцинтиллятор, Ø70 x7	пластический сцинтиллятор, Ø150 x7
Тип фотоприемника	ФЭУ	ФЭУ
Диапазон энергии регистрируемых бета-частиц, МэВ	0,2...3	0,2...3
Относительное энергетическое разрешение по линии 662 кэВ (^{137}Cs), %	15	20
Энергетический эквивалент среднеквадратичного шума выходного сигнала, кэВ, не более		1
Диапазон измерения поверхностной активности ^{239}Pu , $\text{Бк} \cdot \text{см}^{-2}$	1	
Максимальная неискаженная амплитуда выходных спектрометрических сигналов, В, не менее	4,8	4,8
Нестабильность показаний за время непрерывной работы 24 ч, %, не более	± 5	± 5
Напряжение питания, В	от 6 до 15	от 6 до 15
Ток потребления, мА, не более	70	70
Диапазон рабочих температур, °С	+10...+35	+10...+35
Габаритные размеры, мм	Ø90 x 250	Ø185 x 281
Масса (без кабеля), г, не более	1300	4800
№ рисунка	1-127	1-128

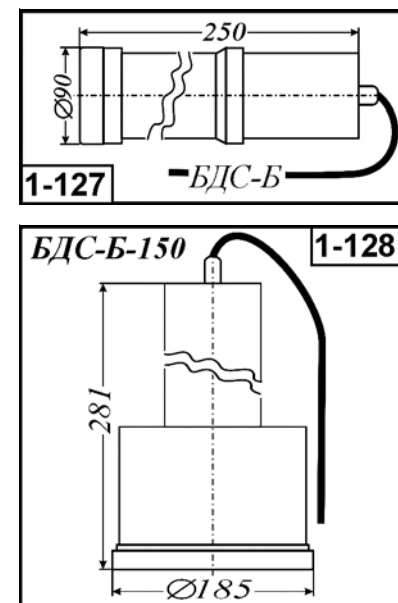


Рис. 1.26. Внешний вид и габаритные размеры блоков детектирования БДС-Б и БДС-Б-150.

1.2.3.3 Сцинтиляционные блоки детектирования гамма-излучения БДС-Г, БДС-Г-100x100, БДС-Г-150x150

Сцинтиляционные блоки детектирования БДС-Г, БДС-Г-100x100, БДС-Г-150x150 предназначены преобразования энергии гамма-излучения в соответствующие по амплитуде электрические сигналы для их последующей обработки.

Блоки детектирования выполнены на основе сборки “сцинтиляционный кристалл NaI(Tl)-ФЭУ” и имеют в своем составе: предусилитель, усилитель-формирователь с параметрами выходных импульсов, позволяющими подавать их непосредственно на вход амплитудно-цифрового преобразователя (многоканального анализатора); источник высоковольтного напряжения; систему стабилизации измерительного тракта на основе специального светодиода с функцией температурной коррекции характеристики преобразования.

Основные параметры блоков детектирования гамма-излучения приведены в табл. 1.17. Внешний вид и габаритные размеры приборов приведены на рис. 1.27.

Таблица 1.17. Основные параметры блоков детектирования серии БДС-Г

Наименование параметра. Единица измерения.	Тип детектора/Норма параметра		
	БДС-Г	БДС-Г-100x100	БДС-Г-150x150
Детектор (сцинтилятор)	NaI(Tl), 63x63 мм	NaI(Tl), 100x100	NaI(Tl), 150x100
Тип фотоприемника	ФЭУ		
Диапазон регистрируемых энергий, МэВ	0,03 – 3		
Относительное энергетическое разрешение по линии 662 кэВ (^{137}Cs), %	8	9,5	10,5
Интегральная нелинейность, % не более	1		
Температурная нестабильность, %/°C, не более	0,1		
Временная нестабильность за 24 ч непрерывной работы, % не более	± 1		
Максимальная неискаженная амплитуда выходных спектрометрических сигналов, В, не менее	4,8		
Рабочий диапазон температур, °C	от +10 до +35		
Напряжение питания, В, (ток потребления, мА, не более	6 – 15 (250 мА)		
Масса, г	1400	6500	9300
Габаритные размеры, мм	Ø 88 x 315	Ø 125 x 375	Ø 180 x 387
№ рисунка	1-129	1-130	1-131

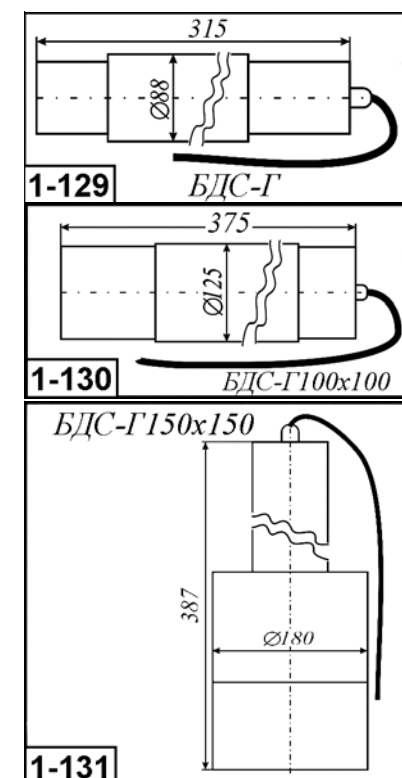


Рис. 1.27. Внешний вид и габаритные размеры блоков детектирования БДС-Г, БДС-Г-100x100, БДС-Г-150x150

Глава 1.2. Сцинтиляционные детекторы излучения

1.2.3.4 Блоки детектирования импульсного нейтронного и гамма-излучения типа ССДИ8М, ССДИ8М-01, ССДИ29, СЧДИ1М

Блоки детектирования импульсного нейтронного и гамма-излучения типа ССДИ8М, ССДИ8М-01, ССДИ29, СЧДИ1М предназначены для регистрации импульсных потоков излучения и преобразования их в электрический аналог - импульс тока на выходе детектора.

Основные параметры блоков детектирования ССДИ8М, ССДИ8М-01, ССДИ29, СЧДИ1М приведены в табл. 1.18.

Таблица 1.18. Основные параметры блоков детектирования ССДИ8М, ССДИ8М-01, ССДИ29, СЧДИ1М

Наименование параметра, ед. измерения	Типа блока детекторов			
	ССДИ8М	ССДИ8М-01	ССДИ29	СЧДИ1М
Тип детектора	Сцинтилятор ПС-Н2, 50x100 мм	Сцинтилятор ПС-Н2, 50x100 мм	Быстрый сцинтилятор, 50x100 мм	Твердотельный радиатор Черенкова, 50x100 мм
Тип фотоприемника	ФЭУ СНФТ3	ФЭУ СНФТ5	ФЭУ СНФТ8	ФЭУ СНФТ8
Максимальная чувствительность к гамма-излучению ^{60}Co ($E_Y=1,25\text{ МэВ}$), $\text{A} \cdot \text{см}^2 \cdot \text{с}/\text{квант}$, не менее	$1 \cdot 10^{-10}$	$1 \cdot 10^{-10}$	$1,7 \cdot 10^{-12}$	$7,7 \cdot 10^{-14}$
Максимальная чувствительность к нейtronам с энергией 14 МэВ, не менее	$4 \cdot 10^{-10}$	$4 \cdot 10^{-10}$	$4 \cdot 10^{-11}$	-
Диапазон регулировки чувствительности, раз	$1 \cdot 10^2$	$1 \cdot 10^2$	$1 \cdot 10^4$	$1 \cdot 10^4$
Предел линейности в импульсном режиме, А, не менее	3	3	1,3	1,3
Длительность импульсной характеристики на полувысоте, нс	10	10	3	2
Напряжение питания, В	-4000	-3300	-5000	-5000
			1800	1800
Габаритные размеры, мм	110x420	110x420	140x1120	140x1120
Масса, г	2100	2100	5000	5000

Рис. 1. 27д. Внешний вид блока детектирования ССДИ8М



1.2.3.5 Блок детектирования рентгеновского излучения БДКР-01

Высокочувствительный сцинтиляционный интеллектуальный блок детектирования рентгеновского излучения, предназначенный для контроля дозовых нагрузок на хрусталик, слизистые оболочки и кожу.

В качестве детектора рентгеновского излучения в блоке детектирования использован сцинтиллятор NaI(Tl) с бериллиевым окном. В состав блока входят аналого-цифровой преобразователь на 256 каналов и интерфейс RS232

Используется метод измерения мощности направленной эквивалентной дозы основан на измерении аппаратурного спектра и его поинтервалном взвешивании с нормировкой на единицу мощности дозы. При этом обеспечивается корректировка энергетической зависимости, свойственной режиму счёта импульсов.

Основные параметры блока детектирования рентгеновского излучения БДКР-01 приведены в табл. 1.19. Внешний вид и габаритные размеры блока приведены на рис. 1.28.

Таблица 1.19. Основные параметры блока детектирования рентгеновского излучения БДКР-01

Наименование параметра. Единица измерения.	Норма параметра
Тип детектора	NaI(Tl) Ø9x2 мм с бериллиевым окном
Тип фотоприемника	ФЭУ
Диапазон измерения мощности направленной эквивалентной дозы, мкЗв/ч	0,05 - 100
Диапазон измерения направленной эквивалентной дозы	0,05 мкЗв - 5 мЗв
Диапазон энергии, кэВ	5 - 160
Основная погрешность измерения, % , не более	±20
Энергетическая зависимость чувствительности, %	
- в диапазоне от 5 до 60 кэВ	±35
- в диапазоне от 60 до 160 кэВ	±30
Погрешность калибровки ^{57}Co , ^{109}Cd , ^{55}Fe , ^{241}Am , %, не более	±5
Максимальная статистическая загрузка, s^{-1}	6×10^4
Обнаруживаемая активность ^{241}Am на расстоянии 0,5 м. за время 1-2 с.	1000 кБк (27 мКи)
Чувствительность по ^{241}Am , имп• s^{-1} /мкЗв• ч^{-1}	400
Диапазон рабочих температур, °C	-20...+50
Габаритные размеры, мм.	Ø54x255
Масса, г.	500
№ рисунка	1-132

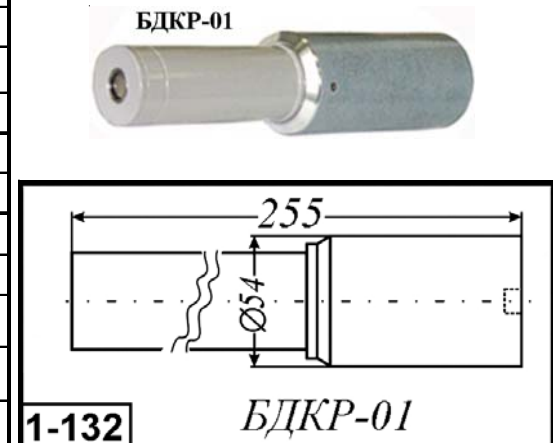


Рис. 1.28. Внешний вид и габаритные размеры блока детектирования БДКР-01.

1.2.3.6 Блок детектирования рентгеновского излучения БДС-Р5

Блок детектирования рентгеновского излучения БДС-Р5 предназначен для регистрации и определения спектрального состава рентгеновского излучения в диапазоне от 2 кэВ до 30 кэВ

В состав блока входят: сцинтиляционный детектор на основе Nal(Tl), ФЭУ, усилитель сигнала, источник высокого напряжения и низковольтные преобразователи напряжения. Все элементы размещены в едином металлическом защитном корпусе.

Основные параметры блока детектирования рентгеновского излучения БДС-Р5 приведены в табл. 1.20. Внешний вид и габаритные размеры блока приведены на рис. 1.29.

Таблица 1.20. Основные параметры блока детектирования рентгеновского излучения БДС-Р5

Наименование параметра. Единица измерения.	Норма параметра
Тип детектора	Сцинтиллятор Nal(Tl), 32 x 3
Тип фотоприемника	ФЭУ
Диапазон регистрируемых энергий, кэВ	2 – 30
Относительное энергетическое разрешение по линии Fe - 55, %, не более	50
Амплитуда выходного аналогового сигнала, соответствующая линии Fe - 55, В	1±0,1
Диаметр рабочего окна, мм	32
Толщина защитного алюминиевого покрытия сцинтиллятора, мм	0,05
Постоянная составляющая на выходе детектора, мВ, не более	10
Интегральная нелинейность характеристики преобразования, %, не более	1
Температурная нестабильность, %/°C, не более	0,1
Временная нестабильность за 24 часа непрерывной работы, %, не более	1
Дополнительная нестабильность характеристики преобразования при изменении загрузки от фоновой до 50000 с ⁻¹ , %, не более	1
Время установления рабочего режима, мин, не более	30
Напряжение питания, В	6...16
Потребляемая мощность, ВТ, не более	1,3
Масса, кг	0,8
Габаритные размеры, мм	76 x 76 x 260
Длина соединительного кабеля, м	2
№ рисунка	1-133

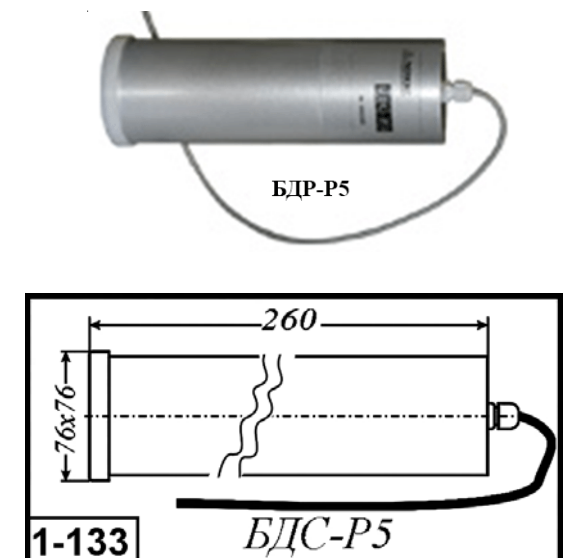


Рис. 1.29. Внешний вид и габаритные размеры блока детектирования БДС-Р5.

1.2.3.7д. Детекторы импульсных излучений ССДИ8М

Детекторы ССДИ8М (ССДИ8М-01, ССДИ8М-02, ССДИ8М-03) предназначены для регистрации импульсного гамма-излучения с плотностью потока от 10^7 до 10^{14} квант/ $\text{см}^2 \cdot \text{с}$.

В состав детекторов входят: умножитель фотоэлектронный СНФТ3 (для исполнений ССДИ8М и ССДИ8М-02) или СНФТ5 (для исполнений ССДИ8М-01 и ССДИ8М-03); пластмассовый сцинтиллятор размером $\varnothing 50 \times 100 \text{ мм}^2$; комплект ЗИП. Регулировка чувствительности детекторов осуществляется с помощью светофильтров из комплекта ЗИП.

Основные параметры детекторов приведены в табл. 1.21д. Внешний вид показан на рис. 1.30д.

Таблица 1.21д. Основные параметры детекторов ССДИ8М при температуре $20 \pm 5^\circ\text{C}$

Наименование параметра. Единица измерения.	Тип прибора	
	ССДИ8М (ССДИ8М-02)	ССДИ8М-01 (ССДИ8М-03)
Тип фотоприемника	СНФТ3	СНФТ5
Максимальная чувствительность к гамма-излучению $E_g=1,25 \text{ МэВ}$, $\text{А} \cdot \text{см}^2 \cdot \text{с}/\text{квант}$, не менее	10^{-10}	10^{-12}
Диапазон регулировки чувствительности, раз, не менее	100	
Максимальный линейный ток в импульсе, А, не менее	2,5	
Временное разрешение ($t_{0,5}$), нс, не более	10	
Длительность регистрируемого импульса, мкс, не более	3 (20)	
Суммарная погрешность преобразования в рабочих условиях, % (при $P=0,95$), не более	± 30	
Напряжение питания, кВ	минус 4,0	минус 3,3
Полярность выходного сигнала	отрицательная	
Диапазон рабочих температур, $^\circ\text{C}$	$-30 \dots +50$	
Габаритные размеры, мм, не более	$\varnothing 110 \times 420$	$\varnothing 110 \times 400$
Масса, кг, не более	2,6	2,5



Рис.1.30д. Внешний вид детектора
ССДИ8М

1.2.3.8д. Двухканальный высокочувствительный сцинтиляционный детектор ССДИ34

Детектор ССДИ34 предназначен для регистрации импульсного гамма- нейтронного излучений в диапазоне плотностей потока от 10^5 до 10^{10} част./ $\text{см}^2 \cdot \text{с}$.

В состав детектора входят: два умножителя фотоэлектронных ФЭУ-139; пластмассовый сцинтиллятор размером $\varnothing 150 \times 400 \text{ мм}^2$. Регулировка чувствительности детектора осуществляется изменением напряжения питания ФЭУ-139 и с помощью набора светофильтров из комплекта ЗИП.

Основные параметры детектора приведены в табл. 1.22 д. Внешний вид показан на рис.1.31д

Таблица 1.22д. Основные параметры детектора ССДИ34 при температуре $20 \pm 5^\circ\text{C}$

Наименование параметра. Единица измерения	Норма параметра
Тип фотоприемника	ФЭУ-139
Максимальная чувствительность, $\text{А} \cdot \text{см}^2 \cdot \text{с}/\text{част.}$, не менее:	
- к гамма-излучению $E_g=1,25 \text{ МэВ}$	$4 \cdot 10^{-9}$
- к нейтронному излучению $E_n=14,5 \text{ МэВ}$	$1,5 \cdot 10^{-8}$
Диапазон регулировки чувствительности, раз, не менее	200×2
Максимальный линейный ток в импульсе, А, не менее	0,3
Временное разрешение ($t_{0,5}$), нс, не более	35
Длительность регистрируемого импульса, мкс, не более	100
Суммарная погрешность преобразования в рабочих условиях, % (при $P=0,95$), не более	± 25
Напряжение питания, кВ	минус (1,6-2,0)
Полярность выходного сигнала	отрицательная
Диапазон рабочих температур, $^\circ\text{C}$	-10...+40
Габаритные размеры, мм, не более	$\varnothing 170 \times 810$
Масса, кг, не более	13



Рис.1.31д Внешний вид
детектора ССДИ34

1.2.3.9д. Высокочувствительный сцинтиляционный детектор ССДИ35

Детектор ССДИ35 предназначен для регистрации импульсных потоков гамма-, нейтронного излучений в диапазоне плотностей потока от 10^6 до 10^{11} част./ $\text{см}^2 \cdot \text{с}$.

В состав детектора входят: умножитель фотоэлектронный СНФТ3-01; пластмассовый сцинтиллятор размером $\varnothing 63 \times 63 \text{ мм}^2$;ъемный свинцовый колпак. Регулировка чувствительности детектора осуществляется шунтированием динодов СНФТ3-01 и с использованием набора светофильтров из ЗИП.

Основные параметры детектора приведены в табл. 1.23д. Внешний вид показан на рис.1.32д.

Таблица 1.23д. Основные параметры детектора ССДИ35 при температуре $20 \pm 5^\circ\text{C}$

Наименование параметра. Единица измерения.	Норма параметра
Тип фотоприемника	СНФТ3-01
Максимальная чувствительность, $\text{А} \cdot \text{см}^2 \cdot \text{с}/\text{част.}$, не менее:	
- к гамма-излучению $E_g=1,25 \text{ МэВ}$	10^{-9}
- к нейтронному излучению $E_n=14,5 \text{ МэВ}$	$2 \cdot 10^{-9}$
Диапазон регулировки чувствительности, раз, не менее	100
Максимальный линейный ток в импульсе, А, не менее	1
Временное разрешение ($t_{0,5}$), нс, не более	25
Длительность регистрируемого импульса, мкс, не более	30
Суммарная погрешность преобразования в рабочих условиях, % (при $P=0,95$), не более	± 30
Напряжение питания, кВ	минус 4,0
Полярность выходного сигнала	отрицательная и положительная
Диапазон рабочих температур, $^\circ\text{С}$	$-10 \dots +40$
Габаритные размеры, мм, не более	$\varnothing 115 \times 475$
Масса, кг, не более	2,5



Рис.1.32д. Внешний вид детектора
ССДИ35

1.2.3.10д. Трехканальный высокочувствительный сцинтиляционный детектор ССДИ36

Детектор ССДИ36 предназначен для регистрации импульсного гамма-, нейтронного излучений в диапазоне плотностей потока от 10^5 до 10^{11} част./ $\text{см}^2 \cdot \text{с}$.

В состав детектора входят: три умножителя фотоэлектронных ФЭУ-97; пластмассовый сцинтиллятор размером $\varnothing 120 \times 100 \text{ мм}^2$; встроенный светодиод для проверки функционирования детектора и съемный свинцовый колпак. Регулировка чувствительности детектора осуществляется шунтированием динодов ФЭУ-97 и с помощью набора светофильтров из комплекта ЗИП.

Основные параметры детектора приведены в табл. 1.24д. Внешний вид показан на рис.1.33д.

Таблица 1.24д. Основные параметры детектора ССДИ36 при температуре $20 \pm 5^\circ\text{C}$

Наименование параметра. Единица измерения	Норма параметра
Тип фотоприемника	ФЭУ-97
Максимальная чувствительность, $\text{A} \cdot \text{см}^2 \cdot \text{с}/\text{част.}$, не менее:	
- к гамма-излучению $E_g=1,25 \text{ МэВ}$	$2 \cdot 10^{-9}$
- к нейтронному излучению $E_n=14,5 \text{ МэВ}$	$7 \cdot 10^{-9}$
Диапазон регулировки чувствительности, раз, не менее	150×3
Максимальный линейный ток в импульсе, А, не менее	0,4
Временное разрешение ($t_{0,5}$), нс, не более	25
Длительность регистрируемого импульса, мкс, не более	30
Суммарная погрешность преобразования в рабочих условиях, % (при $P=0,95$), не более	± 25
Напряжение питания, кВ	минус 2,3
Полярность выходного сигнала	отрицательная
Диапазон рабочих температур, $^\circ\text{C}$	$-10 \dots +40$
Габаритные размеры, мм, не более	$\varnothing 140 \times 300$
Масса, кг, не более	4

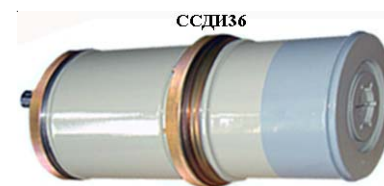


Рис.1.33д. Внешний вид детектора ССДИ36

1.2.3.11д. Малогабаритный высокочувствительный сцинтиляционный детектор ССДИ37

Детектор ССДИ37 предназначен для регистрации импульсного гамма-, нейтронного излучений в диапазоне плотностей потока от 10^6 до 10^{11} част./ $\text{см}^2 \cdot \text{с}$.

В состав детектора входят: умножитель фотоэлектронный ФЭУ-97; пластмассовый сцинтиллятор размером $\varnothing 63 \times 63 \text{ мм}^2$; встроенный светодиод для проверки функционирования детектора и съемный свинцовый колпак. Регулировка чувствительности детектора осуществляется шунтированием динодов ФЭУ-97 и с помощью набора светофильтров из комплекта ЗИП.

Основные параметры детектора приведены в табл. 1.25д. Внешний вид показан на рис.134д.

Таблица 1.25д. Основные параметры детектора ССДИ37 при температуре $20 \pm 5^\circ\text{C}$

Наименование параметра. Единица измерения.	Норма параметра
Тип фотоприемника	ФЭУ-97
Максимальная чувствительность, $\text{А} \cdot \text{см}^{-2} \cdot \text{с}/\text{част.}$, не менее:	
- к гамма-излучению $E_g=1,25 \text{ МэВ}$	$5 \cdot 10^{-10}$
- к нейтронному излучению $E_n=14,5 \text{ МэВ}$	$1,5 \cdot 10^{-9}$
Диапазон регулировки чувствительности, раз, не менее	200
Максимальный линейный ток в импульсе, А, не менее	0,4
Временное разрешение ($t_{0,5}$), нс, не более	20
Длительность регистрируемого импульса, мкс, не более	30
Суммарная погрешность преобразования в рабочих условиях, % (при $P=0,95$), не более	± 25
Напряжение питания, кВ	минус 2,0
Полярность выходного сигнала	отрицательная и положительная
Диапазон рабочих температур, $^\circ\text{C}$	$-10 \dots +40$
Габаритные размеры, мм, не более	$\varnothing 85 \times 260$
Масса, кг, не более	1,6



Рис.1.34д. Внешний вид детектора ССДИ37

1.2.3.12д. Детекторы высокочувствительные быстродействующие ССДИ38

Детекторы ССДИ38 (с волновым сопротивлением выходного тракта 75 Ом) и ССДИ38-01 (с волновым сопротивлением выходного тракта 50 Ом) предназначены для регистрации импульсного гамма-, нейтронного излучений в диапазоне плотностей потока от 10^8 до 10^{14} част./ $\text{см}^2\cdot\text{с}$.

В состав детекторов входят: умножитель фотоэлектронный СНФТ18М; сменные чувствительные элементы - два пластмассовых сцинтилятора (с различным световым выходом и быстродействием) и черенковский радиатор размерами $\varnothing 63 \times 63 \text{ мм}^2$; комплект ЗИП. Регулировка чувствительности детекторов осуществляется шунтированием динодов СНФТ18М, с помощью светофильтров и заменой чувствительного элемента из комплекта ЗИП.

Основные параметры детекторов приведены в табл. 1.26д. Внешний вид показан на рис.1.35д.

Таблица 1.26д. Основные параметры детекторов ССДИ38 при температуре $20 \pm 5^\circ\text{C}$

Наименование параметра. Единица измерения.	Тип прибора	
	ССДИ38	ССДИ38-01
Тип фотоприемника	СНФТ18М	
Максимальная чувствительность, $\text{А}\cdot\text{см}^2\cdot\text{с}/\text{част.}$, не менее:		
- к гамма-излучению $E_g=1,25 \text{ МэВ}$	$5\cdot 10^{-12}$	
- к нейтронному излучению $E_n=14,5 \text{ МэВ}$	$1,5\cdot 10^{-11}$	
Диапазон регулировки чувствительности, раз, не менее	50	
Максимальный линейный ток в импульсе, А, не менее	0,5	
Временное разрешение ($t_{0,5}$), нс, не более:		
- со сцинтиляторами	5 (2,5)	4,5 (2)
- с черенковским радиатором	1,5	1,3
Длительность регистрируемого импульса, мкс, не более	1,5	
Суммарная погрешность преобразования в рабочих условиях, % (при $P=0,95$), не более	± 25	
Напряжение питания, кВ	минус 5,0 и плюс 1,8	
Полярность выходного сигнала	отрицательная	
Диапазон рабочих температур, $^\circ\text{C}$	$-40\dots+50$	
Габаритные размеры, мм, не более	$\varnothing 150 \times 400$	
Масса, кг, не более	7,5	



Рис.1.35д. Внешний вид
детектора ССДИ38

1.2.3.13д. Низкочувствительный сцинтиляционный детектор ССДИ39

Детектор ССДИ39 предназначен для регистрации высокоинтенсивного импульсного гамма-, нейтронного излучений в диапазоне плотностей потока от 10^{12} до 10^{18} част./ $\text{см}^2 \cdot \text{с}$.

В состав детектора входят: фотоэлемент СДФ20; два сменных пластмассовых сцинтиллятора (с различным световым выходом и быстродействием) размером $\varnothing 63 \times 63 \text{ мм}^2$; съемный свинцовый колпак. Регулировка чувствительности детектора осуществляется с помощью светофильтров и заменой сцинтиллятора из комплекта ЗИП.

Основные параметры детектора приведены в табл. 1.27д. Внешний вид детектора на рис. 1.36д.

Таблица 1.27д. Основные параметры детектора ССДИ39 при температуре $20 \pm 5^\circ\text{C}$

Наименование параметра. Единица измерения.	Норма параметра
Тип фотоприемника	СДФ20
Максимальная чувствительность, $\text{A} \cdot \text{см}^{-2} \cdot \text{с}/\text{част.}$, не менее:	
- к гамма-излучению $E_g=1,25 \text{ МэВ}$	$2 \cdot 10^{-16}$
- к нейтронному излучению $E_n=14,5 \text{ МэВ}$	$7 \cdot 10^{-16}$
Диапазон регулировки чувствительности, раз, не менее	100
Максимальный линейный ток в импульсе, А, не менее	8
Временное разрешение ($t_{0,5}$), нс, не более	5,5 (1,5)
Длительность регистрируемого импульса, мкс, не более	1
Суммарная погрешность преобразования в рабочих условиях, % (при $P=0,95$), не более	± 15
Напряжение питания, кВ	минус 1,8
Полярность выходного сигнала	положительная
Диапазон рабочих температур, $^\circ\text{C}$	-10...+40
Габаритные размеры, мм, не более	$\varnothing 110 \times 170$
Масса, кг, не более	1,6



Рис.1.36д. Внешний вид детектора ССДИ39

1.2.3.14д. Детектор сцинтиляционный ССДИ40

Детектор ССДИ40 сцинтиляционный предназначен для регистрации импульсного гамма-излучения в диапазоне плотностей потока от 10^{10} до 10^{16} част./ $\text{см}^2 \cdot \text{с}$.

В состав детектора входят: умножитель фотоэлектронный СНФТ22; два сменных пластмассовых сцинтиллятора (с различным световым выходом) размером $\varnothing 63 \times 63 \text{ мм}^2$; комплект ЗИП. Регулировка чувствительности детектора осуществляется с помощью светофильтров и заменой сцинтиллятора из комплекта ЗИП.

Основные параметры детектора приведены в табл. 1.28д. Внешний вид показан на рис.1.37д.

Таблица 1.28д. Основные параметры детектора ССДИ40 при температуре $20 \pm 5^\circ\text{C}$

Наименование параметра. Единица измерения	Норма параметра
Тип фотоприемника	СНФТ22
Максимальная чувствительность к гамма-квантам $E_g=1,25 \text{ МэВ}, \text{ А} \cdot \text{см}^2 \cdot \text{с}/\text{квант}$, не менее	10^{-14}
Диапазон регулировки чувствительности, раз, не менее	50
Максимальный линейный ток в импульсе, А, не менее	2,5
Временное разрешение ($t_{0,5}$), нс, не более	10
Длительность регистрируемого импульса, мкс, не более	20
Суммарная погрешность преобразования в рабочих условиях, % (при $P=0,95$), не более	± 25
Напряжение питания, кВ	минус 4,0
Полярность выходного сигнала	отрицательная
Диапазон рабочих температур, $^\circ\text{C}$	-10...+50
Габаритные размеры, мм, не более	$\varnothing 110 \times 350$
Масса, кг, не более	2,5



Рис.1.37д. Внешний вид детектора ССДИ40

1.2.3.15д. Субнаносекундный черенковский детектор СЧДИЗ

Детектор СЧДИЗ предназначен для регистрации высокointенсивного импульсного гамма-излучения в диапазоне плотностей потока от 10^{16} до 10^{20} квант/см 2 ·с.

В состав детектора входят: фотоэлемент СДФ21, черенковский радиатор из кварцевого стекла размером $\varnothing 25 \times 50$ мм 2 и светодиодное устройство для проверки функционирования детектора из комплекта ЗИП.

Основные параметры детектора приведены в табл. 1.29д. Внешний вид показан на рис.1.38д.

Таблица 1.29д. Основные параметры детектора СЧДИЗ при температуре $20 \pm 5^\circ\text{C}$

Наименование параметра. Единица измерения.	Норма параметра
Тип фотоприемника	СДФ21
Чувствительность к гамма-квантам $E_g=1,25$ МэВ, А·см 2 ·с/квант, не менее	$5 \cdot 10^{-20}$
Максимальный линейный ток в импульсе, А, не менее	2,5
Временное разрешение ($t_{0,5}$), нс, не более	0,25
Длительность регистрируемого импульса, мкс, не более	1
Суммарная погрешность преобразования в рабочих условиях, % (при $P=0,95$), не более	± 15
Напряжение питания, кВ	минус 1,5
Полярность выходного сигнала	положительная
Диапазон рабочих температур, $^\circ\text{C}$	-30...+50
Габаритные размеры, мм, не более	$\varnothing 50 \times 100$
Масса, кг, не более	0,25

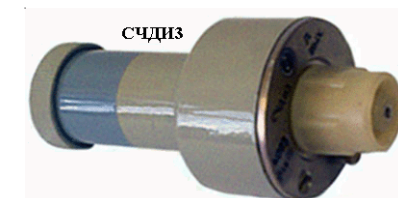


Рис.1.38д. Внешний вид детектора СЧДИЗ.

Глава 1.3. Полупроводниковые детекторы излучений

Полупроводниковые детекторы (ППД) и счетчики являются альтернативой газоразрядным и сцинтиляционным приемникам ионизационного излучения.

В качестве исходного материала для изготовления чувствительных элементов датчиков ионизирующего излучения в разное время, рассматривались различные полупроводниковые материалы: кремний, германий, карбид кремния, теллурид кадмия, арсенид галлия, йодид ртути, сульфид свинца, селенид кадмия и др.

Однако основными материалами для изготовления ППД являются кремний и германий, легированные определенными примесями. Как правило, это p-n или p-i-n структуры.

Кремниевые детекторы, как правило, работают при комнатной температуре. Германиевые детекторы необходимо охлаждать до температуры 80 °К и ниже.

ППД имеют несомненные достоинства по отношению к прочим видам детектирующих устройств, в частности:

- позволяют регистрировать частицы в широком энергетическом диапазоне одновременно, что обеспечивает меньшее время накопления статистически достоверной информации;

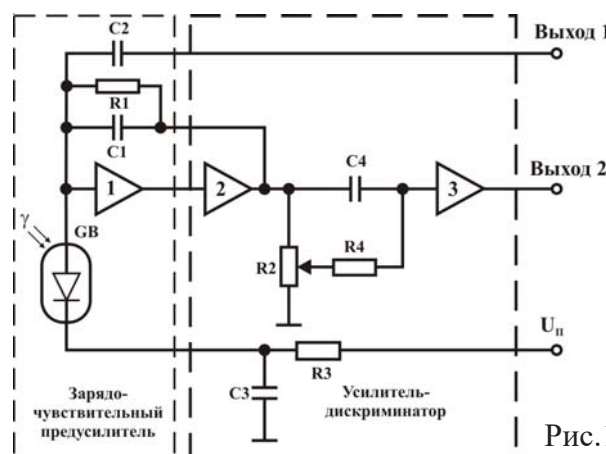


Рис.1.30. Одна из типовых схем включения ППД.

- широкий диапазон размеров от 10 мм² до 100 см² и конфигураций чувствительной площади;
- возможность выполнения в виде одно- или двухкоординатных матриц, что обеспечивает позиционную чувствительность;
- высокая технологичность изготовления детекторов и сопутствующей электроники;
- компактность и малый вес.

Несмотря на перечисленные достоинства, существует ряд причин, сдерживающих их использование как анализаторов электронов низких энергий (в диапазоне кэВ), таких как:

- наличие энергетического порога регистрации, ниже которого не обеспечивается достоверность передачи спектра энергий или наблюдается полная потеря чувствительности;
- шумы детектора и регистрирующей электроники, интерферирующие со спектром электронов в области энергий ниже нескольких кэВ.

Применительно к задаче спектрометрии фотоэлектронов с энергиями в диапазоне, начинающемся от единиц эВ полупроводниковыми детекторами, отмеченные недостатки являются принципиальными, а их преодоление важно для расширения областей применения детекторов.

Основные параметры некоторых типов ППД приведены в главах 1.3.1...1.3.3.. На рис. 1.30 приведена типовая схема включения ППД.

Параметры предусилителей для ППД стандартизированы и определяются ГОСТ 18229-81.(см. таб. 1.21,д2.)

Для совместной работы с ППД в СССР выпускалась специальная микросхема зарядового усилителя (К1432ИП1). Параметры микросхемы приведены в главе 1.3.1д..

Глава 1.3. Полупроводниковые детекторы излучений

1.3.1д. Микросхема зарядочувствительного усилителя К1432УП1, К1432УП1Б

Отечественной промышленностью выпускалась специальная монолитная микросхема зарядочувствительного усилителя К1432УП1, обеспечивающая возможность измерения малых зарядов детекторов в ядерной электронике при большой скорости нарастания и широкой полосе пропускания и большим выходным током с комплементарным выходом. Основные параметры микросхемы приведены в табл.1.21д1, внешний вид и габаритные размеры на рис.1.30д.

Таблица 1.21д1. Основные параметры м/с К1432КП1 при температуре $20 \pm 5^\circ\text{C}$

Наименование параметра. Единица измерения.	Режимы измерений	КМ1432УП1			КМ1432УП1Б		
		мин	тип	макс	мин	тип	макс
Динамические характеристики							
Частота единичного усиления, МГц			650				
Скорость нарастания выходного напряжения В/мкс	U _{вых} =10В		100			-	
Время нарастания, нс			20			-	
Входные характеристики							
Шумовой заряд, электрон (+11,2 эл/пФ)	*)		275			-	
Входная емкость, пФ			2			-	
Зарядовая чувствительность, мВ/МэВ	Si - детектор		22			-	
Передаточные характеристики							
Коэффициент усиления по напряжению В/В			25000			-	
Выходные характеристики							
Максимальное выходное напряжение, В			± 8			-	
Выходной ток, мА, не более			± 30			-	
Режим эксплуатации							
Напряжение питания, В			± 12			± 5	
Ток потребления, мА			47			-	
Пределевые режимы эксплуатации							
Напряжение питания, В		$\pm 4,5$		$\pm 16,5$	$\pm 4,5$		± 7
Входное напряжение, В			$\pm U_{\text{пп}}$			$\pm U_{\text{пп}}$	
Температура перехода, $^\circ\text{C}$			150			150	
Диапазон температур, $^\circ\text{C}$		-60	85	-60		85	
Тепловое сопротивление, $^\circ\text{C}/\text{Вт}$	корп. 402.16-34	100			100		

Примечание: *) С транзистором КП341 на входе, ($t_{\phi}=1\text{ мкс}$, $CR-(RC)2$, $C_{\text{дет}}=0$)

Микросхема функционировала с внешним полевым транзистором, (например КП341), что позволяло адаптировать усилитель к конкретному типу детектора.

Малое выходное сопротивление и большой выходной ток обеспечивает работу усилителя на кабель или емкостные нагрузки, что обеспечивает дистанционное измерение заряда.

Усилитель выпускался в корпусе 402.16-34

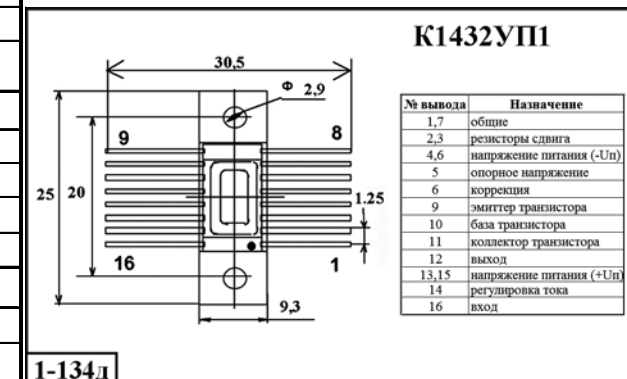


Рис. 1.30д. Внешний вид и габаритные размеры микросхемы К1432.

Глава 1.3. Полупроводниковые детекторы излучений

Таблица 1.21.д2. Основные параметры усилителей сигнала ППД, регламентируемые ГОСТ 18229-81.

[ПУ-Г - усилитель для спектрометрии фотонного излучения в диапазоне энергий от 50 до 6500 кэВ.]

[ПУ-Л - усилитель для спектрометрирования альфа-излучения в диапазоне энергий от 3,5 до 10 МэВ.]

Наименование основного параметра	Норма для типа	
	ПУ-Г	ПУ-Л
Коэффициент преобразования, мВ/МэВ	50±10 100±20 200±40 500±100	10±2 20±4 50±10 100±20
Энергетический эквивалент шумов (при Свх=0). кэВ. не более	0.1; 0.2; 0.3; 0.5; 0.8; 1.0; 1.25	2.0; 3.0; 5.0; 8.0; 10.0
Наклон шумовой характеристики, эВ/пФ, не более,	при Спид до 40 пФ при Сппл до 2000 пФ	10; 20; 30; 50 — 5; 8; 10; 20; 30
Время нарастания выходного импульса (при Свх=0). нс. не более	20. 30; 50	10; 20; 30
Наклон времени нарастания выходного импульса, нс/пФ, нс более,	при Спид до 40 пФ при Сппл до 2000 пФ	0.5 — 0.25
Динамическая входная емкость, пФ. не менее,	при Спид до 40 пФ при Сппл до 2000 пФ	10000 — 20000
Интегральная нелинейность. %. не более	±0,05;	±0,025
Максимальная линейная амплитуда выходного импульса. В	от —3 до +3; от —8 до +8	
Выходное сопротивление, Ом	50, 100	
Дополнительная погрешность коэффициента преобразования при изменении температуры. %/ К. (%/*C), нс более	±0,005; ±0,01; ±0,02	
Нестабильность коэффициента преобразования за 8 ч непрерывной работы. %. не более	±0,01; ±0,02; ±0,05	
Максимальное рабочее электрическое постоянное напряжение на входе для питания ППД, В		
Максимальное рабочее электрическое постоянное напряжение на входе для питания ППД, В	2000; 4000	500; 1000
Постоянная времени спада выходного импульса, мкс	50±15; 100±30	
Максимальная загрузка по входу, имп/с, не менее	$5 \cdot 10^4$; $2 \cdot 10^5$; $1 \cdot 10^6$	$5 \cdot 10^3$; $5 \cdot 10^4$
Напряжение питания, В		±12; ±24

Примечание. Параметры напряжения питания — по ГОСТ 18953, при этом:— допускаемые отклонения напряжения питания - не более 0,5 % от номинального значения;— пульсация напряжения питания — не более 2 мВ;— значение тока нагрузки — не менее 100 мВ.

Глава 1.3. Полупроводниковые детекторы излучений

1.3.1. Кремниевые полупроводниковые детекторы

1.3.1.1 Поверхностно-барьерные детекторы ДКПс-25, ДКПс-35, ДКПс-50, ДКПс-100, ДКПс-200, ДКПс-350, ДКПс-500

Поверхностно-барьерные кремниевые детекторы серии ДКПс предназначены для спектроскопии и регистрации короткопробежных заряженных частиц.

ДКПс - круглые, квадратные и прямоугольные, без корпуса с двумя гибкими выводами, общей толщиной 5 мм, с габаритной площадью на 20-40% больше конкретной рабочей площади детектора. Приборы залиты эпоксидной смолой. Не рекомендуется использовать при температуре окружающей среды ниже -60 °C. При охлаждении детектора до температуры -60°C энергетическое разрешение и энергетический эквивалент шума уменьшаются более чем в два раза.

В основном используются в лабораторных экспериментах.

Основные параметры детекторов серии ДКПс приведены в табл. 1.21а,б,в. Внешний вид и габаритные размеры - на рис. 1.31.

Таблица 1.21а. Основные параметры поверхностных барьераных детекторов типа ДКПс-25 - ДКПс-50 при температуре 20±5°C

Наименование параметра. Единица измерения	ДКПс-25			ДКПс-35			ДКПс-50		
	гр. I	гр. II	гр. III	гр. I	гр. II	гр. III	гр. I	гр. II	гр. III
Площадь чувствительной области, S, мм ²	25			35			50		
Энергетическое разрешение η, кэВ, не более (для Ea=5,15 МэВ ²³⁹ Pu)	20	30	50	25	35	60	30	50	80
Диапазон рабочих напряжений, В	3 - 50	3 - 40	3 - 35	3 - 50	3 - 40	3 - 35	3 - 50	3 - 40	3 - 35
Толщина чувствительной области, W, мкм; А	25 - 200								
Толщина чувствительной области, W, мкм; Б	>200								
Емкость, С, пф, не более	100	135	136	100	135	136	210	270	270
Энергетический эквивалент шума, Q _ш , кэВ, не более	15	20	35	15	20	35	17	25	40
Обратный ток, I _{обр} , мкА, не более	1	2	3	1	2	3	1	2	3
Габаритные размеры, круглый корпус, мм	d=5,6; D8 x 5			d=6,7; D9 x 5			d=8; D11 x 5		
Габаритные размеры, прямоугольный корпус, мм	5 x 5; 7,5 x 7,5 x 5			6 x 6; 9 x 9 x 5			7 x 7; 10 x 10 x 5		
№ рисунка	1-134; 1-135			1-134; 1-135			1-134; 1-135		

Отечественная промышленность выпускала также детекторы типа ДКПс, с герметично укрепленными на приемной поверхности полиэтиленовыми радиаторами (конверторами). Такие детекторы предназначались для измерения плотности нейтронного потока быстрых нейтронов. Рекомендуемый диапазон плотности нейтронного потока составляет 10² – 10⁸ нейтронов/(см² *с).

Маркировка нейтронных детекторов состоит из обозначения ДКП-Н и индексов, соответствующих значениям площади и группы по разрешению и толщине чувствительной области, как у детекторов типа ДКПс. Например, ДКП-Н-350-2гр.Б, что расшифровывается следующим образом: детектор кремниевый поверхностно-барьерный, смоляной конструкции с полиэтиленовым радиатором для измерения плотности потока быстрых нейтронов, площадь чувствительной поверхности 300 мм² и энергетическое разрешение по альфа-частицам 5,15 МэВ в пределах 55-70 кэВ, толщина чувствительной области более 200 мкм.

Глава 1.3. Полупроводниковые детекторы излучений

Таблица 1.21б. Основные параметры поверхностных барьерных детекторов типа ДКПс-100 - ДКПс-350 при температуре $20 \pm 5^\circ\text{C}$

Наименование параметра. Единица измерения	ДКПс-100			ДКПс-200			ДКПс-350		
	гр. I	гр. II	гр. III	гр. I	гр. II	гр. III	гр. I	гр. II	гр. III
Площадь чувствительной области, $S, \text{мм}^2$	100			200			350		
Энергетическое разрешение $\eta, \text{кэВ}$, не более (для $E_a=5,15 \text{ МэВ}^{239}\text{Pu}$)	30	50	80	40	60	100	55	70	100
Диапазон рабочих напряжений, В	3 - 45	3 - 30	3 - 20	3 - 35	3 - 30	3 - 25	3 - 35	3 - 30	3 - 25
Толщина чувствительной области, $W, \text{мкм}$; А	25 - 200								
Толщина чувствительной области, $W, \text{мкм}$; Б	>200								
Емкость, С, пф, не более	670	670	670	900	900	900	1500	1500	1500
Энергетический эквивалент шума, $Q_{\text{ш}}, \text{кэВ}$, не более	20	20	50	35	40	70	45	55	85
Обратный ток, $I_{\text{обр}}, \text{мкА}$, не более	2	3	4	4	5	6	5	6	7
Габаритные размеры, круглый корпус, мм	$d=11; D15 \times 5$			$d=16; D21 \times 5$			$d=21; D30 \times 5$		
Габаритные размеры, прямоугольный корпус, мм	$7 \times 14; 14 \times 14 \times 5$			$14 \times 14; 20 \times 20 \times 5$			$18,7 \times 18,7; 26 \times 26 \times 5$		
№ рисунка	1-134; 1-135			1-134; 1-135			1-134; 1-135		

Таблица 1.21в. Основные параметры поверхностных барьерных детекторов типа ДКПс-500 при температуре $20 \pm 5^\circ\text{C}$

Наименование параметра. Единица измерения	ДКПс-500		
	гр. I	гр. II	гр. III
Площадь чувствительной области, $S, \text{мм}^2$	500		
Энергетическое разрешение $\eta, \text{кэВ}$, не более (для $E_a=5,15 \text{ МэВ}^{239}\text{Pu}$)	55	70	100
Диапазон рабочих напряжений, В	3 - 30	3 - 25	3 - 20
Толщина чувствительной области, $W, \text{мкм}$; А	25 - 200		
Толщина чувствительной области, $W, \text{мкм}$; Б	>200		
Емкость, С, пф, не более	2200	2200	
Энергетический эквивалент шума, $Q_{\text{ш}}, \text{кэВ}$, не более	45	55	85
Обратный ток, $I_{\text{обр}}, \text{мкА}$, не более	6	7	
Габаритные размеры, круглый корпус, мм	$d=12,5; D35 \times 5$		
Габаритные размеры, прямоугольный корпус, мм	$22,4 \times 22,4; 31 \times 31 \times 5$		
№ рисунка	1-134; 1-135		

Примечание. Для детекторов всех типов табл. 1.21. выполняются следующие условия: 1) толщина мертвого слоя, не более 30 нм; 2) фронт нарастания импульсов при рабочем напряжении, не более 10^{-8} с ; 3) радиационный ресурс, част/см 2 - нейтронов - 10^{11} ; альфа-частиц - 10^9 , протонов - 10^{12} .

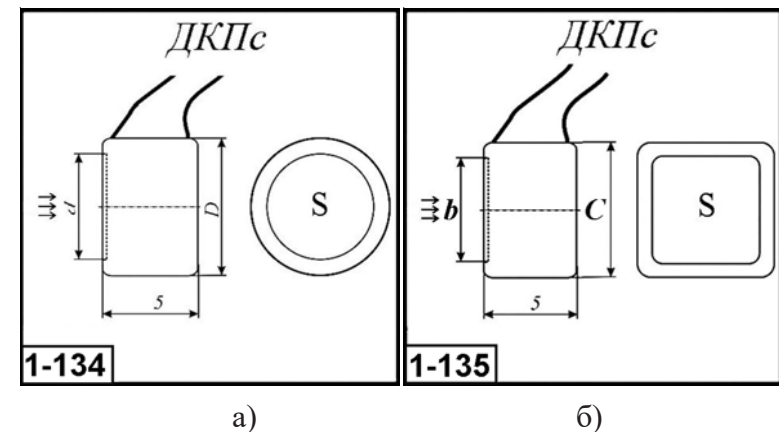


Рис. 1.31. Внешний вид и габаритные размеры детекторов типа ДКПс: а - круглого, б - квадратного.

Глава 1.3. Полупроводниковые детекторы излучений

1.3.1.2 Поверхностно-барьерные детекторы ДКПсд-20, ДКПсд-50, ДКПсд-125

Поверхностно-барьерные кремниевые детекторы серии ДКПсд предназначены для спектроскопии и регистрации короткоПробежных заряженных частиц.

ДКПсд - круглые в металлическом корпусе с девятью штырьками под панель пальчиковой лампы с диаметром корпуса 20 мм и высотой 8 мм. Приборы залиты эпоксидной смолой. Не рекомендуется использовать при температуре окружающей среды ниже -60 °C.

Девятиштырьковое исполнение обеспечивает предельную простоту замены детекторов в аппаратуре.

Входное окно – тонкий слой золота или хрома. Реагируют на свет. Требуют защиты. При работе с α -излучателями детекторы вместе с источниками излучения должны находиться в вакууме $10^{-5} \dots 10^{-1}$ мм.рт.ст.

Основные параметры детекторов серии ДКПсд приведены в табл. 1.22. Внешний вид и габаритные размеры - на рис. 1.32.

Таблица 1.22. Основные параметры поверхностных барьераных детекторов типа ДКПсд
при температуре $20 \pm 5^\circ\text{C}$

Наименование параметра. Единица измерения	ДКПсд-20			ДКПсд-50			ДКПсд-125		
	гр. I	гр. II	гр. III	гр. I	гр. II	гр. III	гр. I	гр. II	гр. III
Площадь чувствительной области, S, мм^2	20			50			125		
Энергетическое разрешение η , кэВ, не более (для $E_a=5,15 \text{ МэВ } ^{239}\text{Pu}$)	20	30	50	25	35	60	30	50	80
Диапазон рабочих напряжений, В	3 - 50	3 - 40	3 - 35	3 - 50	3 - 40	3 - 35	3 - 45	3 - 30	3 - 20
Толщина чувствительной области, W, мкм; А	25 - 200								
Толщина чувствительной области, W, мкм; Б	>200								
Емкость, С, пф, не более	100	135	136	210	270	270	670	670	670
Энергетический эквивалент шума, $Q_{\text{ш}}$, кэВ, не более	15	20	35	17	25	40	20	20	50
Обратный ток, $I_{\text{обр}}$, мкА, не более	1	2	3	1	2	3	2	3	4
Габаритные размеры (без выводов), мм	$d=5$; D20 x 8			$d=8$; D20 x 8			$d=12,5$; D20 x 8		
№ рисунка	1-137			1-137			1-137		

Примечание. Для детекторов всех типов табл. 1.22. выполняются следующие условия: 1) толщина мертвого слоя, не более 30 нм; 2) фронт нарастания импульсов при рабочем напряжении, не более 10^{-8} с; 3) радиационный ресурс, част/см² - нейтронов - 10^{11} ; альфа-частиц - 10^9 , протонов - 10^{12} .

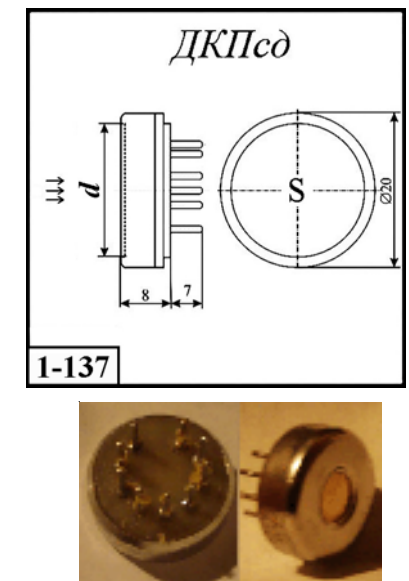


Рис. 1.32. Внешний вид и габаритные размеры детекторов типа ДКПсд.

Глава 1.3. Полупроводниковые детекторы излучений

1.3.1.3 Детекторы кремниевые поверхностью-барьерные полностью обедненные ДКПО-dE/dx-25, ДКПО-dE/dx-50, ДКПО-dE/dx-125, ДКПО-dE/dx-200

Детекторы серии ДКПО-dE/dx относятся к группе, т.н. прострельных детекторов, у которых обедненная область простирается на всю толщину полупроводникового материала, т.е. от переднего до заднего контакта.

Входным окном служат с одной стороны пленка золота толщиной 12-20 мкм, с другой – пленка алюминия, толщиной 40-60 нм. Потери в мертвом слое входного окна составляют 8 – 10 кэВ. Рабочее напряжение детекторов находится в пределах 10 ... 150 В.

Детекторы могут работать при давлении ниже 10^{-2} мм.рт.ст. и температуре окружающей среды от -50 до 0°C или при давлении 2 кгс/см² и ниже при температуре от 0 до +50°C. Выпускаются с защитными пленками, которые обеспечивают их работоспособность в атмосфере с относительной влажностью до 98%.

Детекторы широко используются для создания ядерных «телескопов», а также для измерения удельных ионизационных потерь dE/dx регистрируемых частиц.

Основные параметры детекторов серии ДКПО-dE/dx приведены в табл. 1.23. Внешний вид и габаритные размеры - на рис. 1.33.

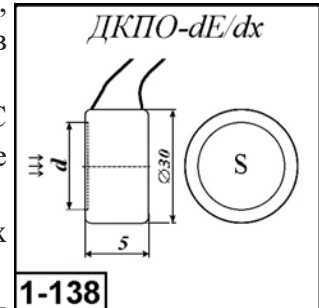


Рис. 1.33

Таблица 1.23. Основные параметры детекторов типа ДКПО-dE/dx при температуре $20 \pm 5^\circ\text{C}$

Наименование параметра. Единица измерения	ДКПО-dE/dx-25			ДКПО-dE/dx-50			ДКПО-dE/dx-125			ДКПО-dE/dx-200		
	гр. I	гр. II	гр. III	гр. I	гр. II	гр. III	гр. I	гр. II	гр. III	гр. I	гр. II	гр. III
Площадь чувствительной области, S, мм^2	25			50			125			125		
Энергетическое разрешение η , кэВ, не более (для $E_a=5,15 \text{ МэВ}^{239}\text{Pu}$)	30	50	80	30	50	80	35	60	90	40	60	90
Толщина чувствительной области, W, мкм; А	20 - 30											
Толщина чувствительной области, W, мкм; Б	30 - 50											
Толщина чувствительной области, W, мкм; В	50 - 80											
Толщина чувствительной области, W, мкм; Г	80 - 130											
Толщина чувствительной области, W, мкм; Д	130 - 200											
Энергетический эквивалент шума, $Q_{\text{ш}}$, кэВ, не более	20	25	50	20	25	50	25	35	70	30	40	70
Обратный ток, $I_{\text{обр}}$, мкА, не более	0,3	0,5	0,8	0,3	0,5	0,8	0,4	0,6	1,0	0,5	0,8	1,5
Габаритные размеры (без выводов), мм	$d=5,6; \text{Ø}30 \times 5$			$d=8; \text{Ø}30 \times 5$			$d=12,5; \text{Ø}30 \times 5$			$d=16; \text{Ø}30 \times 5$		
№ рисунка	1-138			1-138			1-138			1-138		

Глава 1.3. Полупроводниковые детекторы излучений

1.3.1.4 Детекторы кремниевые диффузионно-дрейфовые ДКДПс-25, ДКДПс-50, ДКДПс-100, ДКДПс-125, ДКДПс-200, ДКДПс -250, ДКДПс-350, ДКДПс-500

Диффузионно-дрейфовые детекторы серий ДКДПс реализованы на основе кремния р-типа, легированного литием. Толщина чувствительной области, создаваемой в результате дрейфа ионов лития, может достигать 10 мм. Это позволяет использовать такие «толстые» детекторы для спектроскопии электронов с энергией до 5 МэВ, протонов с энергией до 45 МэВ, альфа-частиц с энергией до 115 МэВ, а при охлаждении до -60 ...-196°C, также и гамма-квантов с энергией до 1 МэВ.

ДКДПс - круглые и квадратные, без корпуса с двумя гибкими выводами, общей толщиной 5 мм, с габаритной площадью на 20-40% больше конкретной рабочей площади детектора. Приборы залиты эпоксидной смолой.

Диффузионно-дрейфовые детекторы типа ДКДПс можно использовать в приборах автоматического контроля процессов с применением бета-активных препаратов для измерения плотности потока электронов.

Диапазон рабочих температур детекторов от -60 до +50°C.

Конструктивное оформление детекторов аналогично приборам серии ДКПс.

Основные параметры детекторов серии ДКДПс приведены в табл. 1.24. Внешний вид и габаритные размеры - на рис. 1.31.

Таблица 1.24а. Основные параметры детекторов типа ДКДПс при температуре 20±5°C

Наименование параметра. Единица измерения	ДКДПс-25			ДКДПс-50			ДКДПс-100, 125		
	гр. I	гр. II	гр. III	гр. I	гр. II	гр. III	гр. I	гр. II	гр. III
Площадь чувствительной области, S, мм ²	25			50			100, 125		
Энергетическое разрешение η, кэВ, не более (для E _a =5,15 МэВ ²³⁹ Pu)	25	35	60	30	40	60	35	45	70
Диапазон рабочих напряжений, В	5...60	5...50	5...40	5...60	5...50	5...40	5...50	5...40	5...30
Толщина чувствительной области, W, мм; А	0,3...0,6								
Толщина чувствительной области, W, мм; Б	0,6...1,0								
Толщина чувствительной области, W, мм; В	1,0...1,5								
Толщина чувствительной области, W, мм; Г	1,5...2,0								
Емкость С, пФ (в зависимости от W)	7...40			12...70			21...125		
Энергетический эквивалент шума, Q _ш , кэВ, не более	17	25	40	20	25	45	25	30	45
Обратный ток, I _{обр} , мкА, не более	2	3	4	3	4	5	4	5	6
Габаритные размеры, круглый корпус, мм	d=5,6; D8 x 5			d=8; D11 x 5			d=11; D15 x 5		
Габаритные размеры, прямоугольный корпус, мм	5 x 5; 7,5 x 7,5 x 5			7 x 7; 10 x 10 x 5			7 x 14; 14 x 14 x 5		
№ рисунка	1-134; 1-135			1-134; 1-135			1-134; 1-135		

Глава 1.3. Полупроводниковые детекторы излучений

Таблица 1.24б. Основные параметры детекторов типа ДКДПс при температуре $20 \pm 5^\circ\text{C}$

Наименование параметра. Единица измерения	ДКДПс-200, 250			ДКДПс-350			ДКДПс-500		
	гр. I	гр. II	гр. III	гр. I	гр. II	гр. III	гр. I	гр. II	гр. III
Площадь чувствительной области, $S, \text{мм}^2$	200, 250			350			500		
Энергетическое разрешение $\eta, \text{кэВ}$, не более (для $E_a=5,15 \text{ МэВ}^{239}\text{Pu}$)	40	60	100	55	80	120	55	80	120
Диапазон рабочих напряжений, В	5...50	4...40	3...30	2...50	4...40	4...30	5...50	4...40	30
Толщина чувствительной области, $W, \text{мм}; A$	0,3...0,6								
Толщина чувствительной области, $W, \text{мм}; B$	0,6...1,0								
Толщина чувствительной области, $W, \text{мм}; B$	1,0...1,5								
Толщина чувствительной области, $W, \text{мм}; \Gamma$	1,5...2,0								
Емкость $C, \text{пф}$ (в зависимости от W)	25...135			27...138			30...143		
Энергетический эквивалент шума, $Q_{ш}, \text{кэВ}$, не более	30	40	80	40	60	100	40	60	100
Обратный ток, $I_{обр}, \text{мкА}$, не более	5	6	7	6	7	8	7	8	—
Габаритные размеры, круглый корпус, мм	$d=16; D21 \times 5$			$d=21; D30 \times 5$			$d=12,5; D35 \times 5$		
Габаритные размеры, прямоугольный корпус, мм	$14 \times 14; 20 \times 20 \times 5$			$18,7 \times 18,7; 26 \times 26 \times 5$			$22,4 \times 22,4; 31 \times 31 \times 5$		
№ рисунка	1-134; 1-135			1-134; 1-135			1-134; 1-135		

Примечание. Для детекторов всех типов табл.1.24. выполняются следующие условия: 1) толщина мертвого слоя, не более 100 нм; 2) фронт нарастания импульсов при рабочем напряжении, не более 1 мкс; 3) радиационный ресурс, част/см² - по тяжелым частицам, не менее - 10^{10} .

1.3.1.5. Детекторы кремниевые диффузионно-дрейфовые ДКДПсд-20, ДКДПсд-50, ДКДПсд-125

Диффузионно-дрейфовые детекторы серий ДКДПсд также реализованы на основе кремния р-типа, легированного литием. Детекторы являются корпусным аналогом приборов серии ДКДПс.

Детекторы ДКДПсд размещены в круглом металлическом корпусе с девятью штырьками под панель пальчиковой лампы с диаметром корпуса 20 мм и высотой 8 мм. Приборы залиты эпоксидной смолой.

Диапазон рабочих температур детекторов от -60 до +50°C.

Конструктивное оформление детекторов аналогично приборам серии ДКПсд.

Основные параметры детекторов серии ДКДПсд приведены в табл. 1.25. Внешний вид и габаритные размеры - на рис. 1.33.

Глава 1.3. Полупроводниковые детекторы излучений

Таблица 1.25. Основные параметры детекторов типа ДКДПсд при температуре $20 \pm 5^\circ\text{C}$

Наименование параметра. Единица измерения	ДКДПсд-20			ДКДПсд-50			ДКДПсд-125		
	гр. I	гр. II	гр. III	гр. I	гр. II	гр. III	гр. I	гр. II	гр. III
Площадь чувствительной области, $S, \text{мм}^2$	25			50			100, 125		
Энергетическое разрешение $\eta, \text{кэВ}$, не более (для $E_a=5,15 \text{ МэВ}^{239}\text{Pu}$)	25	35	60	30	40	60	35	45	70
Диапазон рабочих напряжений, В	5...60	5...50	5...40	5...60	5...50	5...40	5...50	5...40	5...30
Толщина чувствительной области, $W, \text{мм}; A$	0,3...0,6			0,3...0,6			0,3...0,6		
Толщина чувствительной области, $W, \text{мм}; B$	0,6...1,0			0,6...1,0			0,6...1,0		
Толщина чувствительной области, $W, \text{мм}; B$	1,0...1,5			1,0...1,5			1,0...1,5		
Толщина чувствительной области, $W, \text{мм}; G$	1,5...2,0			1,5...2,0			1,5...2,0		
Емкость $C, \text{пФ}$ (в зависимости от W)	7...40			12...70			21...125		
Энергетический эквивалент шума, $Q_{sh}, \text{кэВ}$, не более	17	25	40	20	25	45	25	30	45
Обратный ток, $I_{обр}, \text{мкА}$, не более	2	3	4	3	4	5	4	5	6
Габаритные размеры (без выводов), мм	$d=5; D20 \times 8$			$d=8; D20 \times 8$			$d=12,5; D20 \times 8$		
№ рисунка	1-138			1-138			1-138		

Примечание. Для детекторов всех типов табл. 1.25. выполняются следующие условия: 1) толщина мертвого слоя, не более 100 нм; 2) фронт нарастания импульсов при рабочем напряжении, не более 1 мкс; 3) радиационный ресурс, част/см² - по тяжелым частицам, не менее -10^{10} .

1.3.1.6 Диффузионно-дрейфовые детекторы матричного типа МДКД-П-10, МДКД-П-20, МДКД-П-30, МДКД-П-40

Диффузионно-дрейфовые поверхностные детекторы матричного типа серии МДКД-П собираются из бескорпусных детекторов типа ДКДПс с квадратным окном площадью 1,1 и 2,5 см². Детекторы монтируются в одном корпусе и соединяются между собой параллельно.

Мозаичные детекторы очень эффективны для определения загрязненности воздуха, поверхностей рук и других предметов радиоактивными нуклидами, излучающими альфа- и бета-частицы. Эффективность регистрации тяжелых заряженных частиц составляет 0,75-0,8).

Мозаичные детекторы приспособлены к жестким рабочим условиям, поэтому на пленку золота дополнительно наносят защитное покрытие.

Диапазон рабочих температур от -196 до +40°C.

Основные параметры мозаичных детекторов приведены в табл. 1.26. Внешний вид детекторов приведен на рис. 1.34.

Глава 1.3. Полупроводниковые детекторы излучений

Таблица 1.26. Основные параметры диффузионно-дрейфовых детекторов матричного типа МДКП-П при температуре $20 \pm 5^\circ\text{C}$

Наименование параметра. Единица измерения	МДКД-П-10		МДКД-П-20		МДКД-П-30		МДКД-П-40	
	гр. I	гр. II	гр. I	гр. II	гр. I	гр. II	гр. I	гр. II
Площадь чувствительной области, $S, \text{см}^2$	10		22		30		40	
Энергетическое разрешение $\eta, \text{кэВ}$, не более (для $E_a=5,15 \text{ МэВ } ^{239}\text{Pu}$)	120	200	200	400	350	450	—	—
Диапазон рабочих напряжений, В			15 - 100					
Толщина чувствительной области, $W, \text{мм}$; А			0,8 - 2,0					
Емкость, С, пФ, не более	300	300	700	700	900	900	1200	1200
Энергетический эквивалент шума, $Q_{ш}, \text{кэВ}$, не более	80	120	150	200	250	250	300	300
Обратный ток, $I_{обр}, \text{мкА}$, не более	20	20	45	45	60	60	80	80
Габаритные размеры (без выводов), мм	40 x 40 x 32		58,6 x 58,6 x 40		788 x 58,6 x 45		788 x 58,6 x 40	
Масса, г	53		205		270		360	
№ рисунка	1-139		1-140					

Примечание. Для детекторов всех типов табл. 1.26. выполняются следующие условия: 1) толщина мертвого слоя, не более 100 нм; 2) фронт нарастания импульсов при рабочем напряжении, не более 1 мкс; 3) радиационный ресурс, част/см² - по тяжелым частицам, не менее -10^{10} .

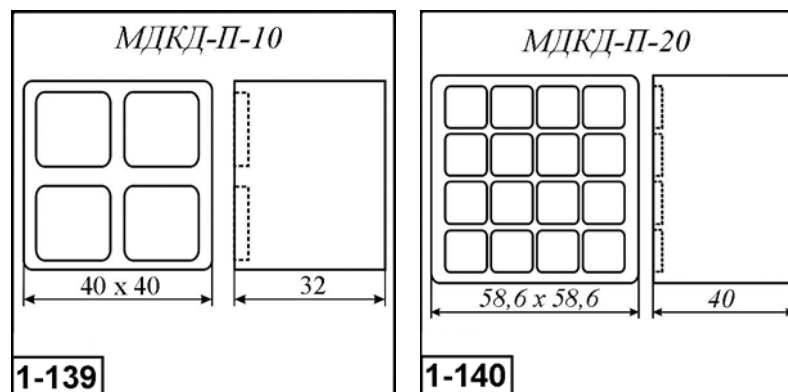


Рис.1.34. Внешний вид и габаритные размеры детекторов типа МДКП-П.

Глава 1.3. Полупроводниковые детекторы излучений

1.3.1.7 Диффузионно-дрейфовые полностью обедненные детекторы ДКПО-Д-0,5-50, ДКПО-Д-1,0-50, ДКПО-Д-1,5-50, ДКПО-Д-2,0-50, ДКПО-Д-0,5-100, ДКПО-Д-1,0-100, ДКПО-Д-1,5-100, ДКПО-Д-2,0-100, ДКПО-Д-0,5-200, ДКПО-Д-1,0-200, ДКПО-Д-1,5-200, ДКПО-Д-2,0-200

ДКПО-Д – детекторы кремниевые диффузионно-дрейфовые полностью обедненные изготовлены по диффузионно-дрейфовой технологии. Толщина чувствительной области детекторов лежит в пределах 0,3 – 2,1 мм. Площади чувствительной поверхности, такие же как и у детекторов типа ДКПО-dE/dx, круглые и равны 50, 100 и 200 мм^2 .

Конструктивно детекторы типа ДКПО-Д несколько отличаются от детекторов типа ДКПО-dE/dx, однако одинаковые внешние диаметры корпусов указанных типов позволяют использовать их вместе для сборки в «телескопы».

Детекторы типа ДКПО-Д могут работать при давлении ниже 10^{-2} мм.рт.ст. и температуре окружающей среды от -50 до 0°C или при давлении 2 кгс/см² и ниже и температуре от 0 до +50°C. Детекторы выпускаются с защитными пленками, которые обеспечивают их работоспособность в атмосфере с относительной влажностью 98%.

Основные параметры детекторов ДКПО-Д приведены в табл. 1.27. Внешний вид детекторов приведен на рис. 1.33.

Таблица 1.27. Основные параметры диффузионно-дрейфовых детекторов типа ДКПО-Д при температуре $20 \pm 5^\circ\text{C}$

Наименование параметра. Единица измерения	Тип прибора/Норма параметра								
	ДКПО-Д-0,5-50; ДКПО-Д-1,0-50; ДКПО-Д-1,5-50; ДКПО-Д-2,0-50;			ДКПО-Д-0,5-100; ДКПО-Д-1,0-100; ДКПО-Д-1,5-100; ДКПО-Д-2,0-100;			ДКПО-Д-0,5-200; ДКПО-Д-1,0-200; ДКПО-Д-1,5-200; ДКПО-Д-2,0-200;		
	гр. I	гр. II	гр. III	гр. I	гр. II	гр. III	гр. I	гр. II	гр. I
Площадь чувствительной области, $S, \text{мм}^2$	50			100			200		
Энергетическое разрешение $\eta, \text{кэВ}$, не более (для $E_a=5,15 \text{ МэВ } ^{239}\text{Pu}$)	35	50	100	40	70	100	50	100	150
Рабочее напряжение, В	10...100 (устанавливается индивидуально)								
Толщина чувствительной области, $W, \text{мм}$ в интервалах (для всех групп одинаково)	0,3 - 0,5; 0,8 - 1,0; 1,4 - 1,6; 1,9 - 2,1								
Обратный ток, $I_{обр}, \text{мкА}$, не более	3	4	5	4	5	6	5	6	7
Габаритные размеры (без выводов), мм	$d=8; \varnothing 30 \times 5$			$d=12,5; \varnothing 30 \times 5$			$d=16; \varnothing 30 \times 5$		
№ рисунка	1-138			1-138			1-138		

Примечания.1. - Цифровые индексы в наименовании типа детектора означают следующее: первое число - средняя геометрическая толщина детектора данного типа, мм; второе число - площадь рабочей поверхности детектора, мм^2 . Например, ДКПО-Д-1,5-50-2 гр. означает, что детектор имеет среднюю геометрическую толщину 1,5 мм, площадь рабочей поверхности 50 мм^2 и энергетическое разрешение в пределах 35 - 50 кэВ.2 - Фронт нарастания импульсов при рабочем напряжении не более 10^{-7} с.

Глава 1.3. Полупроводниковые детекторы излучений

1.3.1.8. Диффузионно-дрейфовые спектрометрические детекторы ДДС-5/2, ДДС-8/2, ДДС-8/6, ДДС-12/2, ДДС-18/2, ДДС-12/10, ДДС-18/10

Диффузионно-дрейфовые спектрометрические детекторы серии ДДС предназначены для спектрометрии коротковолнового рентгеновского и гамма-излучения. Размещены в герметичных корпусах. В конструкции данных приборов не используются эпоксидные смолы, поэтому их можно охлаждать до температуры -196°C. Основные параметры приведены в табл. 1.28. Внешний вид на рис. 1.35 и 1.36.

Таблица 1.28. Основные параметры спектрометрических детекторов серии ДДС при температуре 20±5°C

Наименование параметра. Единица измерения	ДДС-5/2		ДДС-8/2		A	ДДС-12/2		ДДС-18/2		DДС-12/10
	A	B	A	B	A	A	B	A	B	A
Диаметр чувствительной области, мм	5		8		8	12		18		12
Толщина чувствительной области, W, мм	2		2		6	2		2		1
Энергетическое разрешение, η, кэВ, не более										
для электронов Е _к =625 кэВ (¹³⁵ Cs)	40	80	60	80	—	70	100	80	100	—
для α-частиц Е _α =5,15 МэВ (²³⁹ Pu)	60	150	80	150	—	80	150	100	200	—
для γ-квантов Е _γ =122 кэВ (⁵⁷ Co)	30	60	40	70	100	50	80	80	100	200
Диапазон рабочих напряжений, В	70...150		70...150		200...300	70 ...150		70 ...150		200..
Энергетический эквивалент шума, Q _ш , кэВ, не более	30	60	40	70	100	50	80	80	100	200
Потери энергии в мертвом слое для α-частиц Е _α =5,15 МэВ (²³⁹ Pu), кэВ, не более	100	200	100	200	—	150	250	200	300	—
Обратный ток, I _{обр} , мкА, не более	5	5	7	7	20	10	10	25	25	50
Габаритные размеры, A x ØБ x С, мм	23,6 x 14,5 x 17,6		23,6 x 17,5 x 17,6		36,2 x Ø17,2	23,2 x 21,5 x 16,6		23,2 x 26,5 x 16,6		36,2 x Ø23,2
№ рисунка	1-142		1-142		1-141	1-142		1-142		1-141

Рис. 1.35. Внешний вид и габаритные размеры детекторов типа ДДС-8/6, ДДС-12/10 и ДДС-18/10.

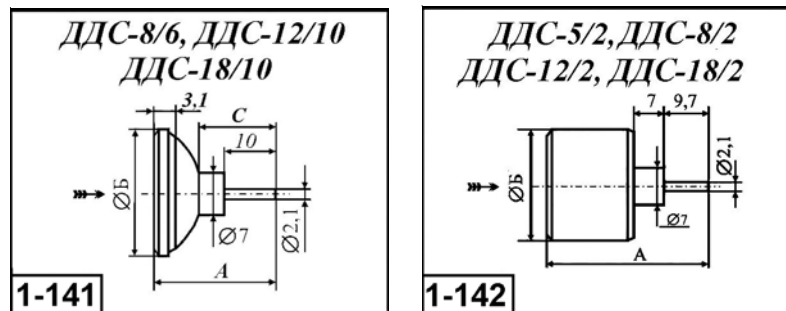


Рис. 1.36. Внешний вид и габаритные размеры детекторов типа ДДС-5/2, ДДС-8/2, ДДС-12/2, ДДС-18/2.

Глава 1.3. Полупроводниковые детекторы излучений

1.3.1.9. Детекторы кремниевые спектрометрические альфа-излучения ПДПА-1К, ПДПА-1К5, ПДПА-1К1, ПДПА-1К2, ПДПА-1К3, ПДПА-1К4.

Пассивированные имплантированные спектрометрические кремниевые детекторы альфа-излучения серии ПДПА-1К предназначены для работы в спектрометрах с целью качественного и количественного анализа различных проб, содержащих альфа-излучающие радионуклиды.

Диапазон измерения ионизирующих излучений от 3,5 до 9,0 МэВ. Погрешность $\pm 20\%$.

Детектор размещен в герметичной капсule с тонким входным окном. Детектор снабжен стандартным разъемом типа СР-50.

Основные параметры детекторов приведены в табл.1.29. Внешний вид и габаритные размеры детекторов приведены на рис. 1.37

Таблица 1.29а. Основные параметры спектрометрических детекторов серии ПДПА при температуре $20 \pm 5^\circ\text{C}$

Наименование параметра. Единица измерения	ПДПА-1К		ПДПА-1К5		ПДПА-1К1	
	A	B	A	B	A	B
Площадь чувствительной области, мм^2	20		150		600	
Максимальная глубина чувствительной области, W, мкм	100		100		100	
Гарантийное максимальное энергетическое разрешение для 5.15 МэВ (^{239}Pu), кэВ	12	16	20	24	28	35
Габаритные размеры, D x a x b, мм	20 x 51 x 7,5 x 38		29 x 13,8 x 7,5 x 37		45 x 27,6 x 7,5 x 37	
№ рисунка	1-143					

Таблица 1.29б. Основные параметры спектрометрических детекторов серии ПДПА при температуре $20 \pm 5^\circ\text{C}$

Наименование параметра. Единица измерения	ПДПА-1К2		ПДПА-1К4		ПДПА-1К3	
	A	B	A	B	A	B
Площадь чувствительной области, мм^2	1000		1200		2000	
Максимальная глубина чувствительной области, W, мкм	100		100		100	
Гарантийное максимальное энергетическое разрешение для 5.15 МэВ (^{239}Pu), кэВ	35	45	40	50	55	75
Габаритные размеры, D x a x b, мм	52,5 x 35,7 x 7,5 x 37		55,4 x 39,1 x 7,5 x 37		67 x 50,4 x 7,5 x 37	
№ рисунка	1-143					

D - наружный диаметр капсулы детектора, d - диаметр чувствительной области
a - толщина капсулы, b - полный размер капсулы вместе с разъемом типа СР

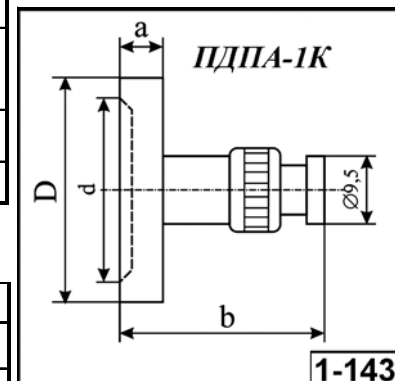


Рис. 1.37. Внешний вид и габаритные размеры детекторов типа ПДПА-1К



Глава 1.3. Полупроводниковые детекторы излучений

1.3.1.10. Диффузионно-дрейфовые регистрирующие детекторы ДДР-5/2, ДДР-8/2, ДДР-12/2, ДДР-18/2

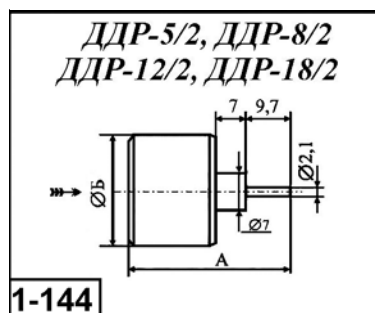
Диффузионно-дрейфовые регистрирующие детекторы серии ДДР предназначены для дозиметрии коротковолнового рентгеновского и гамма-излучения. Размещены в герметичных корпусах. В конструкции данных приборов не используются эпоксидные смолы, поэтому их можно охлаждать до температуры -196°C.

Основные параметры приведены в табл. 1.30. Внешний вид и габаритные размеры детекторов приведены на рис. 1.38.

Таблица 1.30. Основные параметры диффузионно-дрейфовых регистрирующих детекторов типа ДДР при температуре $20 \pm 5^\circ\text{C}$

Наименование параметра. Единица измерения	ДДР-5/2	ДДР-8/2	ДДР-12/2	ДДР-18/2
Диаметр чувствительной области, мм	2	2	2	2
Толщина чувствительной области, W, мм	2	2	2	2
Энергетическое разрешение η , кэВ, не более				
для электронов $E_k=625$ кэВ (^{135}Cs)	120	150	150	150
для α -частиц $E_\alpha=5,15$ МэВ (^{239}Pu)	200	250	300	350
для η -квантов $E_\eta=122$ кэВ (^{57}Co)	100	100	120	150
Диапазон рабочих напряжений, В	70 - 150	70 - 150	70 - 150	70 - 150
Энергетический эквивалент шума, $Q_{\text{ш}}$, кэВ, не более	100	100	120	150
Потери энергии в мертвом слое для α -частиц $E_\alpha=5,15$ МэВ (^{239}Pu), кэВ, не более	300	300	350	450
Обратный ток, $I_{\text{обр}}$, мкА, не более	10	15	20	40
Габаритные размеры, A x ØБ x С, мм	23,6 x 14,5 x 17,6	23,6 x 17,5 x 17,6	23,2 x 21,5 x 16,6	23,2 x 26,5 x 16,6
№ рисунка	1-144			

Рис. 1.38. Внешний вид и габаритные размеры детекторов типа ДДР-5/2, ДДР-8/2, ДДР-12/2 и ДДР-18/2.



Глава 1.3. Полупроводниковые детекторы излучений

1.3.1.11. Диффузионно-дрейфовые детекторы ДКРС-2,5/3, ДКРС-4/3, ДКРС-6/3, ДКРС-9/3

Диффузионно-дрейфовые кремниевые детекторы типа ДКРС предназначены для спектрометрии рентгеновского и длинноволнового гамма-излучения с высокой разрешающей способностью.

Для достижения наилучших показателей энергетического разрешения в области рентгеновских энергий не только детектор, но и первый каскад предусилителя, с которым он соединяется, необходимо охлаждать до температуры, не менее чем до -100°C . Обычно систему детектор-первый каскад предусилителя охлаждают жидким азотом до температуры -196°C .

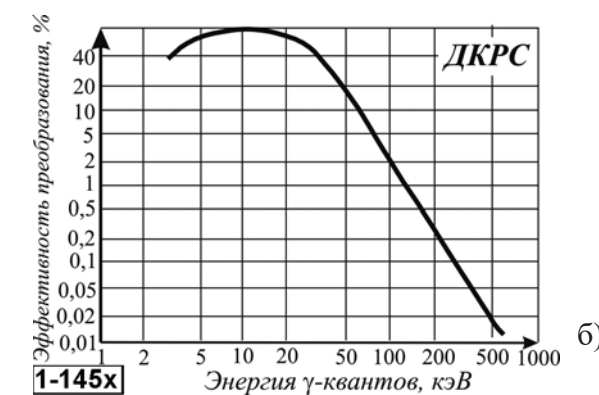
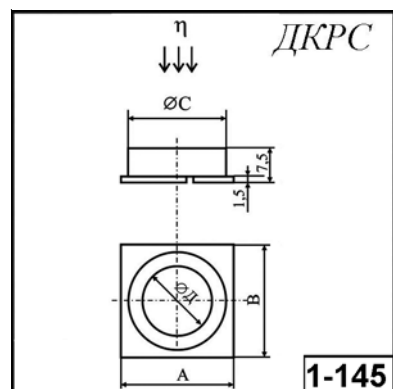
Основные параметры детекторов ДКРС приведены в табл. 1.31. Внешний вид, габаритные размеры и энергетическая характеристика детекторов приведены на рис. 1.39.

Таблица 1.31. Основные параметры диффузионно-дрейфовых детекторов типа ДКРС при температуре $20 \pm 5^{\circ}\text{C}$

Наименование параметра. Единица измерения	ДКРС-2,5/3		ДКРС-4/3		ДКРС-6/3		ДКРС
	1	2	1	2	1	2	
Радиус чувствительной области, мм	2,5	2,5	4	4	6,3	6,3	9
Толщина чувствительной области, W, мм	3	3	3	3	3	3	3
Энергетическое разрешение η для линии 14,36 кэВ (^{57}Co) при -190°C , кВ, не более	0,6	0,8	0,75	1,0	1,0	1,3	1,1
Диапазон рабочих напряжений, В	50 - 300	50 - 300	50 - 300	50 - 300	50 - 300	50 - 300	50 - 300
Энергетический эквивалент шума при температуре -190°C , $Q_{\text{ш}}$, кэВ, не более	0,6	0,8	0,75	1,0	1,0	1,3	1,1
Емкость, С, пФ, не более	5	5	7	7	14	14	22
Габаритные размеры, А x Б x С x Д, мм	20 x 18 x 13 x 7		20 x 18 x 16 x 10		30 x 28 x 21 x 15		30 x 28 x
№ рисунка	1-145						

Рис. 1.39. Внешний вид и габаритные размеры (а) и энергетическая характеристика (б) детекторов типа ДКРС.

a)



Глава 1.3. Полупроводниковые детекторы излучений

1.3.1.12. Кремниевые детекторы Д1А, Д1В, Д4.5АМ, Д4.5А, Д4.5В, Д10А, Д10В, Д30А, Д30В

Детекторы Д1А, Д1В, Д4.5АМ, Д4.5А, Д4.5В, Д10А, Д10В, Д30А, Д30В представляют собой обратно-смещенные диоды из монокристаллического кремния, изготовленные по технологии ионной имплантации. Регистрируемое излучение альфа-бета-частицы, осколки деления и т.п.

Выпускаются в двух вариантах конструктивного исполнения: без разъема, и с разъемом типа PC (аналог LEMO). Чувствительная поверхность защищена светонепроницаемым алюминиевым слоем, что позволяет проводить дезактивацию детекторов спиртовым раствором.

Основное назначение детекторов - спектрометрия и радиометрия заряженных частиц.

Основные параметры детекторов приведены в табл. 1.32. Внешний вид и габаритные размеры приведены на рис. 1.40.

Таблица 1.32. Основные параметры детекторов Д1А - Д30В при температуре 20±5°C

Наименование параметра. Единица измерения	Д1А	Д1В	Д4.5 АМ	Д4.5 А	Д4.5 В	Д10 А	Д10 В	Д30 А	Д30 В
Площадь чувствительной области, S, мм ²	100	100	450	450	450	1000	1000	3000	3000
Размер входного окна, мм	10x10	10x10	21,5x21,5	21,5x21,5	21,5x21,5	32,5x28,7	32,5x28,7	Ø62	Ø62
Толщина чувствительной области, W, мкм					100 - 350				
Толщина мертвого слоя, A					4000				
Энергетическое разрешение для альфа-излучения с энергией 5,5 МэВ при оптимальном напряжении смещения.	18	25	18	25	35	35	45	50	65
Диапазон рабочих напряжений, В			20 - 120			60 - 200			
Емкость, С, пф, не более	100	135	136	210	270	270	670	670	670
Энергетический эквивалент шума, Q _ш , кэВ, не более	6	10	14	15	25	25	35	40	55
Обратный ток, I _{обр} , нА, не более	1	2	3	1	2	3	2	3	4
Габаритные размеры (с разъемом), мм	Ø24 x 12 (Ø24 x 19)		Ø39 x 12 (Ø39 x19)		Ø54 x 12 (Ø54 x19)		Ø90 x 12 (Ø90 x 19)		
№ рисунка	1-146		1-147		1-148		1-149		

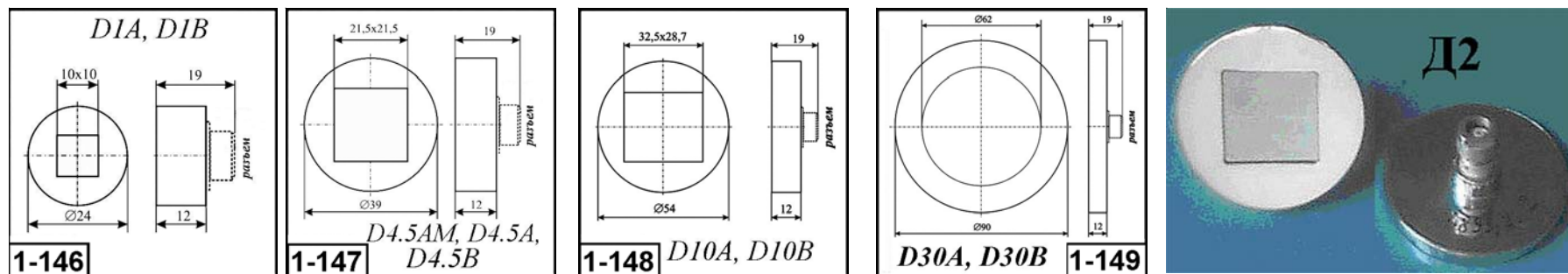


Рис. 1.40. Внешний вид и габаритные размеры детекторов Д1А - Д30В

Глава 1.3. Полупроводниковые детекторы излучений

1.3.1.13. Детектор кремниевый гамма-излучения типа ДКГ

Детектор кремниевый гамма-излучения ДКГ предназначен для измерения в режиме импульсного счета мощности экспозиционной дозы в диапазоне от 10^{-4} до 10^3 Р/ч гамма-излучения с энергией от 0,08 до 7,0 МэВ.

Детектор представляет собой две пластины кремния, с созданными в них структурами, установленные в едином герметичном металлическом корпусе.

Конструкция детектора неразборная, герметичная. Контакты p^+ пластин соединены с корпусом детектора. Контакты n^+ пластин соединены с изолированными выводами.

Основные параметры детекторов приведены в табл. 1.33. Внешний вид и габаритные размеры приведены на рис. 1.41.

Таблица 1.33. Основные параметры кремниевого детектора гамма-излучения ДКГ при температуре $20 \pm 5^\circ\text{C}$

Наименование параметра. Единица измерения.	Норма параметра	
	Пластина 1	Пластина 2
Размеры чувствительной области, мм	$\varnothing 6,7$	$1,5 \times 1,5$
Толщина пластины, мм	3	3
Глубина чувствительной области, мм	1,5	0,5
Диапазоны измеряемых мощностей экспозиционной дозы, Р/ч	$10^{-4} - 10^3$	
Диапазон регистрируемых энергий гамма-излучения, МэВ	0,08 - 7,0	
Чувствительность к гамма-излучению с энергией 0,661 МэВ изотопа ^{137}Cs , имп/мкР	22,5 - 35	0,4 - 0,7
Изменение чувствительности пластин в диапазоне энергий гамма-излучения от 0,08 до 1,25 МэВ относительно значения чувствительности при энергии 0,661 МэВ. %, не более	± 35	
Скорость счета, обусловленная собственным шумом, при температуре 60°C , имп/с, не более	0,1	
Энергетический эквивалент шума, Qш, кэВ, не более	20	15
Обратный ток, $I_{обр}$, мКА, не более	1,5	0,8
Напряжение питания, В	60 ± 3	
Диапазон рабочих температур, $^\circ\text{C}$	$-60...+60$	
Габаритные размеры, мм	$\varnothing 20 \times 20$	
№ рисунка	1-150	

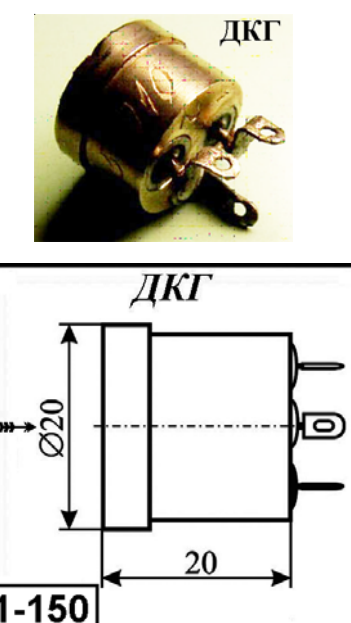


Рис. 1.41. Внешний вид и габаритные размеры детектора типа ДКГ.

Глава 1.3. Полупроводниковые детекторы излучений

1.3.1.14. Детектор кремниевый ионно-имплантированный ДГб-0,25

Детектор кремниевый ионно-имплантированный ДГб-0,25 предназначен для спектрометрии и радиометрии рентгеновского и гамма излучения. Чувствительный элемент детектора изготовлен из высокоомного кремния n-типа по технологии ионной имплантации в виде p-i-n-структуры. “Минус” питания отмечен риской на торце корпуса детектора.

Основные параметры детекторов приведены в табл. 1.34. Внешний вид и габаритные размеры приведены на рис. 1.42.

Таблица 1.34. Основные параметры детектора ДГб-0,25 при температуре $20 \pm 5^{\circ}\text{C}$

Наименование параметра. Единица измерения	Норма параметра
Площадь чувствительной области, см^2	2 ... 3
Толщина детектора, мм	3
Энергетическое разрешение по линии ^{241}Am (60 кэВ), не более, кэВ	3
Энергетическое разрешение для конверсионных электронов с энергией 975,6 кэВ изотопа ^{207}Bi , кэВ, не более	30
Энергетический эквивалент шума, кэВ, не более	25
Рабочее напряжение, В	60 ... 150
Обратный ток, $I_{\text{обр}}$, мкА, не более	2
Диапазон рабочих температур, $^{\circ}\text{C}$	-50...+50
Габаритные размеры , мм	$\varnothing 20 \times 5$
№ рисунка	1-151

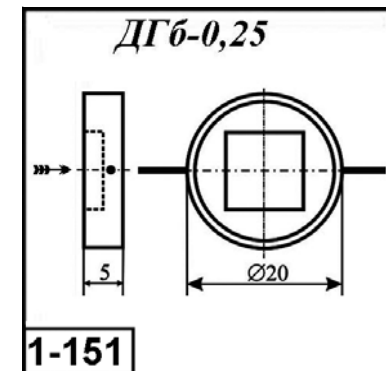


Рис. 1.42. Внешний вид и габаритные размеры детектора типа ДГб-0,25

1.3.1.15. Миниатюрный диффузионно-дрейфовый детектор типа ДКД-М

Детектор кремниевый диффузионно-дрейфовый миниатюрный типа ДКД-М. Детекторы имеют очень малые размеры (высота 5 мм, внешний диаметр 1,5 и 3 мм). Объем чувствительной области детекторов достигает 21 mm^3 , что позволяет регистрировать бета-излучение с энергией до 2 МэВ, а также проводить измерения мощности дозы гамма-излучения (в счетном режиме: $10^{-1} \dots 10^3$ Р/ч, и в токовом: 10...150 Р/мин). Энергетический эквивалент шума детекторов типа ДКД-М при температуре окружающей среды 40°C , не более 50 кэВ.

Конструкция детектора бескорпусная, герметизированная эпоксидной смолой.

Благодаря малым размерам их можно применять в различных зондах для внутриполостных исследований.

Внешний вид детектора ДКД-М приведен на рис. 1.43.

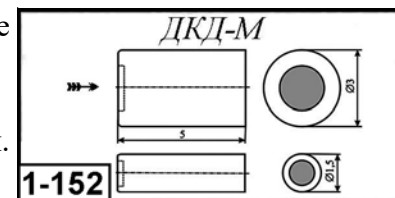


Рис. 1.43. Внешний вид и габаритные размеры детектора ДКД-М

Глава 1.3. Полупроводниковые детекторы излучений

1.3.1.16. Детектор кремниевый ДКД-Пм-2,5-3

Детектор бета- и гамма-излучений типа ДКД-Пм-2,5-3 представляет собой пластину кремния, с созданной в ней p-i-n-структурой, которая установлена в металлическом герметичном корпусе. Конструкция детектора неразборная.

Основные параметры детекторов приведены в табл. 1.35. Внешний вид и габаритные размеры приведены на рис. 1.44.

Таблица 1.35. Основные параметры детектора ДКД-Пм-2,5-3 при температуре $20 \pm 5^\circ\text{C}$

Наименование параметра. Единица измерения	Тип прибора/Норма параметра	
	ДКД-Пм-2,5	ДКД-Пм-3
Площадь чувствительной области, S , см^2	2,5	3,0
Толщина чувствительной области, W , мм	3,0	
Энергетическое разрешение для бета-частиц с энергией 975,6 кэВ изотопа ^{207}Bi , кэВ, не более	60	
Диапазон рабочих напряжений, В	150 ± 5	
Энергетический эквивалент шума, $Q_{\text{ш}}$, кэВ, не более	20	
Обратный ток, $I_{\text{обр}}$, мкА, не более	2	
Габаритные размеры, мм, не более	$\varnothing 30 \times 10$	
№ рисунка	1-153	

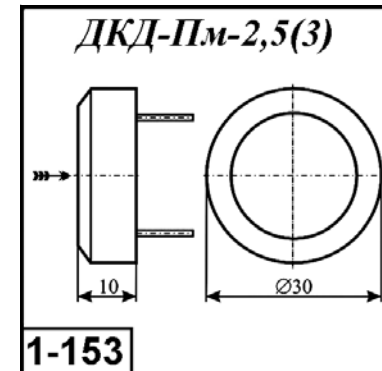


Рис. 1.44. Внешний вид и габаритные размеры детектора ДКД-Пм-2,5-3.

1.3.1.17. Кремниевые дозиметры СКД1, СКД1-01, СКД1-02

Предназначены для преобразования импульсного гамма-излучения с энергией 0,06 - 10 МэВ в электрические аналоги мощности экспозиционной дозы. В состав дозиметров СКД1, СКД1-01, СКД1-02 входят: чувствительный элемент в виде кремниевой p-i-n структуры, наклеенной на графитовую подложку, изолятор, контакты, кабель и пылевлагонепроницаемый корпус. (См. табл.1.36.)

Таблица 1.36. Основные параметры дозиметров серии СКД1 при температуре $20 \pm 5^\circ\text{C}$

Наименование параметра. Единица измерения.	Тип прибора/Норма параметра		
	СКД1	СКД1-01	СКД1-02
Чувствительность к фотонному излучению со средней энергией 1,25 МэВ $\text{A} \cdot \text{s}/\text{Р}$	$2,8 \cdot 10^{-9} - 7,0 \cdot 10^{-9}$	$1,4 \cdot 10^{-8} - 2,0 \cdot 10^{-8}$	$1,3 \cdot 10^{-7} - 1,9 \cdot 10^{-7}$
Диапазоны измеряемых мощностей доз, Р/с	$1,1 \cdot 10^6 - 5,7 \cdot 10^8$	$2,1 \cdot 10^5 - 2,0 \cdot 10^8$	$2,3 \cdot 10^4 - 2,1 \cdot 10^7$
Временное разрешение, нс	1,5	3,5	5
Диапазоны измеряемых длительностей импульсов на половине амплитуды	6 нс - 1 мкс	15 нс - 1 мкс	20 нс - 1 мкс
Максимальный выходной линейный ток, А		4	
Напряжение питания, В	500 ± 25	600 ± 25	800 ± 25
Габаритные размеры, мм [масса. г.]		21 x 27 [150 г.]	

Глава 1.3. Полупроводниковые детекторы излучений

1.3.1.18. Детекторы нейтронного и гамма-излучения типа СППД1, СППД1-01, СППД3, СППД3-01, СППД5

Полупроводниковые кремниевые детекторы нейтронного и гамма-излучения типа СППД1, СППД1-01, СППД3, СППД3-01, СППД5 предназначены для преобразования импульсных потоков гамма-квантов и нейтронного излучения при работе в динамическом режиме в электрический аналог и могут быть использованы в различных системах регистрации. Основные параметры детекторов приведены в табл.1.37.

Таблица 1.37. Основные параметры детекторов нейтронного и гамма-излучения серии СППД1 при температуре $20\pm5^{\circ}\text{C}$

Наименование параметра. Единица измерения.	СППД1	СППД1-01	СППД3	СППД3-01	СППД5
Чувствительность к гамма-излучению, ^{60}Co , Кл* см^{-2}	$(0,8-2,5)*10^{-16}$	$(0,7-2,3)*10^{-17}$	$(0,7-2,3)*10^{-17}$	$(0,7-2,3)*10^{-17}$	$(1,6-6,0)*10^{-18}$
Чувствительность к нейtronам, 14 МэВ , Кл* см^{-2}	$(0,7-2,4)*10^{-15}$	$(0,6-2,2)*10^{-16}$	-----	$(0,6-2,2)*10^{-16}$	-----
Временное разрешение, нс	6	3	7	7	1,2
Сопротивление нагрузки, Ом	75	75	75	75	75
Выходной линейный ток, А, не менее	20	20	5	5	10
Напряжение питания , В	1800 ± 20	1800 ± 20	600 ± 25	600 ± 25	1500

1.3.1.19. Детектор полупроводниковый рентгеновского излучения СППД11, СППД11-01, СППД11-02, СППД11-03, СППД11-04

Детектор полупроводниковый кремниевый СППД11 предназначен для преобразования рентгеновского излучения в электрический аналог и может быть использован в различных системах регистрации. Основные параметры детекторов приведены в табл. 1.38.

Таблица 1.38. Основные параметры детекторов рентгеновского излучения серии СППД11 при температуре $20\pm5^{\circ}\text{C}$

Наименование параметра. Единица измерения.	СППД11	СППД11-01	СППД11-02	СППД11-03	СППД11-04
Диапазон регистрируемых энергий, кэВ:	0,4 - 120	2 - 120	2 - 120	2 - 120	0,4 - 40
Квантовая чувствительность, $10^{18} \text{ А} * \text{с} * \text{см}^{-2} / \text{квант}$	5,2 - 155	46 - 245	46 - 305	46 - 375	0,33 - 12
Временное разрешение, нс	23	9	8	11	1,5
Выходной линейный ток, А, не менее	2	2	2	2	1
Напряжение питания , В	-400	-500	-700	-900	500
Диаметр входного окна, мм	10	10	10	10	2,5

Глава 1.3. Полупроводниковые детекторы излучений

1.3.1.20. Детекторы полупроводниковые рентгеновского излучения ЩЭА-Ä-01, ПРД-Д-02, ПРД-Д-04

Детекторы полупроводниковые кремниевые селективные типа ПРД-Д-01, ПРД-Д-02, ПРД-Д-04 компенсационного типа предназначены для преобразования импульсного рентгеновского излучения в электрический аналог. Детекторы обладают селективными свойствами и предназначены для интегральной регистрации импульсных потоков рентгеновского излучения в заданном спектральном интервале, определяемом подбором краевых фильтров. Уменьшение вклада более жесткой части спектра в электрический сигнал осуществляется схемотехнически.

Основные параметры детекторов рентгеновского излучения серии ПРД-Д приведены в табл. 1.39. Внешний вид и габаритные размеры приведены на рис. 1.45.

Таблица 1.39. Основные параметры детекторов рентгеновского излучения серии ПРД-Д при температуре $20 \pm 5^\circ\text{C}$

Наименование параметра. Единица измерения.	Тип прибора/Норма параметра		
	ПРД-Д-01	ПРД-Д-02	ПРД-Д-04
Диапазон регистрируемых энергий, кэВ:	~3 - 30	~3 - 70	~3 - 30
Ширина спектрального интервала, $dE/E, \%$	~5 - 20	~5 - 20	~5 - 20
Максимальная спектральная чувствительность в выделенном спектральном интервале, $\text{Кл.см}^2/\text{квант}$	$>10^{-18}$	$>10^{-18}$ (3 - 30 кэВ) $>10^{-19}$ (50 - 70 кэВ)	$>10^{-18}$
Погрешность определения чувствительности в выделенном интервале ($P=0.95\%$), %, не более	± 12	± 12	± 12
Напряжение питания (положительное и отрицательное), В	300 - 900	300 - 900	300 - 900
Габаритные размеры корпуса, D x L, мм	$\varnothing 34 \times 120$	$\varnothing 46 \times 124$	$\varnothing 25 \times 100$
№ рисунка	1-154		

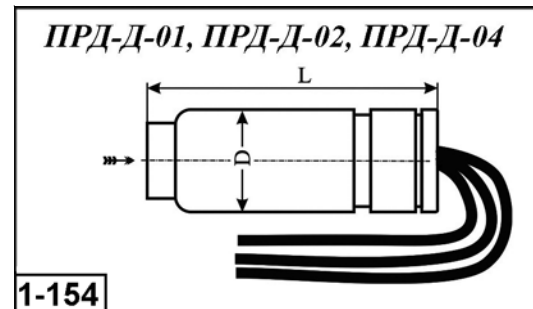


Рис. 1.45. Внешний вид и габаритные размеры детектора серии ПРД-Д.

Глава 1.3. Полупроводниковые детекторы излучений

1.3.1.21д. Кремниевый блок детектирования с термоэлектрическим охлаждением БДЕР-КИ-11К

Кремниевый блок детектирования БДЕР-КИ-11К предназначен для преобразования энергии квантов рентгеновского и низкоэнергетического гамма-излучения в пропорциональные по амплитуде электрические сигналы и их усиления для последующей регистрации спектрометрической аппаратурой. Блок не требует охлаждения жидким азотом.

В состав блока детектирования входят: кремниевый p-i-n диод с термоэлектрическим охладителем (ТЭО) и термодатчиком, предусилитель на полевом транзисторе и выходной усилитель на ОУ. Структурная схема блока детектирования приведена на рис. 1.45д. Основные параметры блока детектирования приведены в табл. 1.39д.

Блок детектирования размещен в металлическом корпусе. Выход информации осуществляется через 9-ти штырьковый разъем типа DB-9М. Внешний вид и габаритные размеры блока приведены на рис.1.45д (2).

Область применения: атомная энергетика, геология, металлургия, система экологического контроля, переработка вторичного сырья, таможенный контроль и криминалистика. Может применяться в составе рентгено-флюoresцентных анализаторов для экспрессного определения элементного состава вещества.

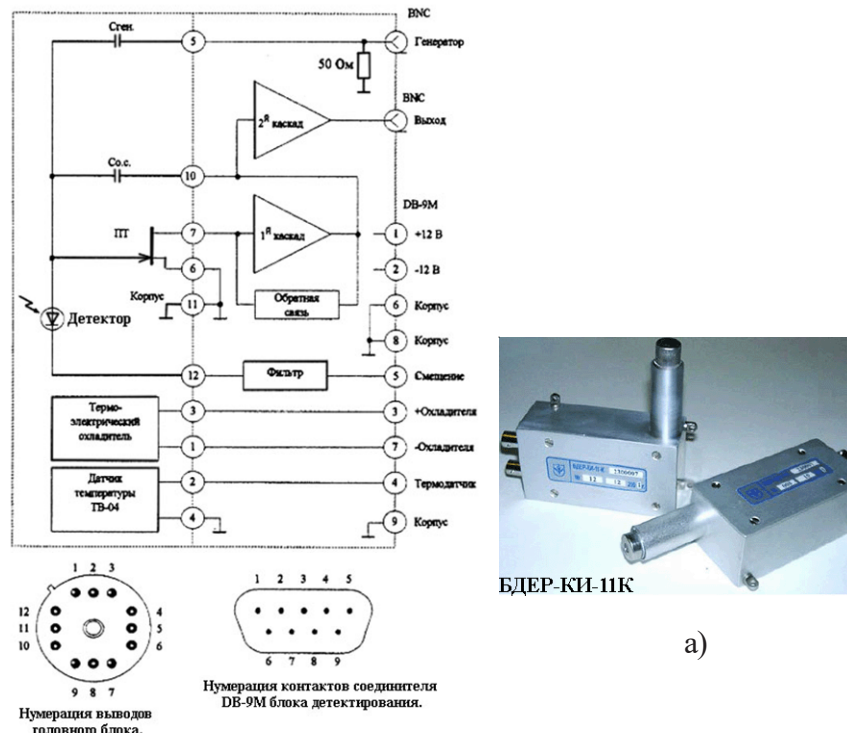


Рис. 1.45д. Структурная схема блока детектирования БДЕР-КИ-11К.

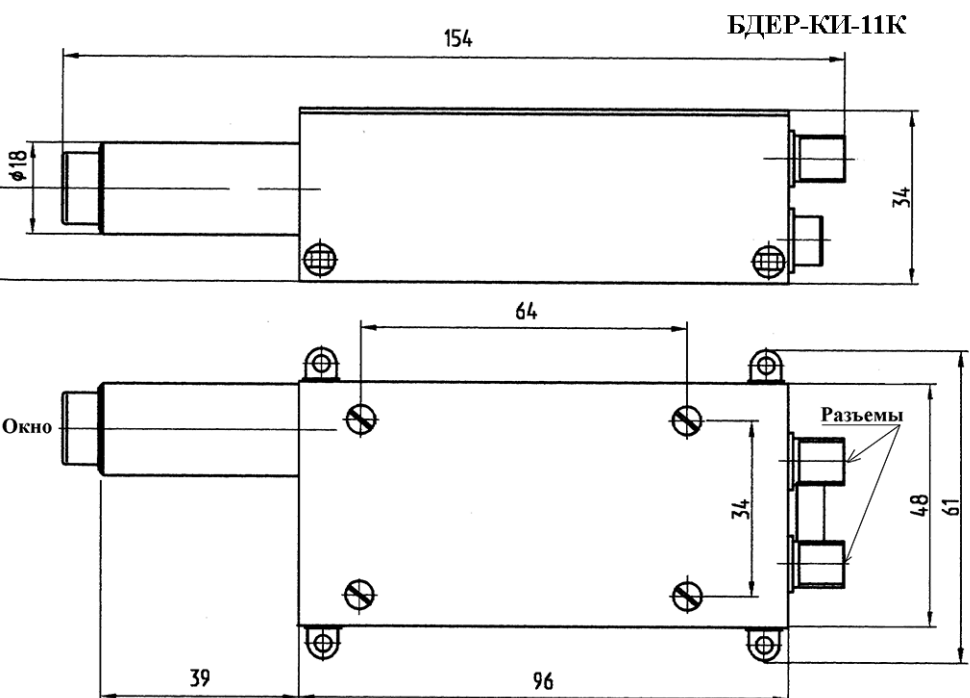


Рис. 1.45д (2). Внешний вид (а) и габаритные размеры (б) блока детектирования БДЕР-КИ-11К.

Глава 1.3. Полупроводниковые детекторы излучений

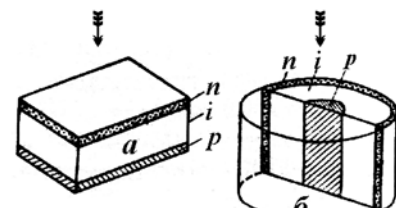
Табл. 1.39д. Основные параметры блока детектирования БДЕР-КИ-11К при температуре $20\pm2^{\circ}\text{C}$

Наименование параметра. Единица измерения	Норма параметра
Площадь чувствительной поверхности детектора, мм	7 или 12
Толщина чувствительной области детектора, мкм	300
Энергетическое разрешение по энергии 5,9 кэВ при постоянной времени формирования 10 мкс для детектора: - с площадью 7 мм, эВ, не более	200
- с площадью 12 мм, эВ, не более	250
Энергетическое разрешение по энергии 59,6 кэВ при постоянной времени формирования 10 мкс для детектора: - с площадью 7 мм, эВ, не более	200
- с площадью 12 мм, эВ, не более	250
Отношение высоты пика полного поглощения для энергии 5,9 кэВ к уровню непрерывного амплитудного распределения для энергии 3,5 кэВ (пик/фон, не менее	800
Толщина входного бериллиевого окна: - стандартная, мкм	25
- по специальному заказу, мкм	12 и 8
Коэффициент преобразования при нагрузке не менее 1 кОм, мВ/кэВ, не менее	1
Выходное сопротивление, Ом	75 ± 1
Полярность выходного сигнала	отрицательная
Максимальное напряжение смещения детектора при токе менее 1 мкА, В	100
Напряжение питания предусилителя при максимальном токе 35 мА, В	12
Максимальный ток охладителя при напряжении 1,6 В, А	0,7
Рабочих диапазон температур, $^{\circ}\text{C}$	до $+45$
Габаритные размеры, мм	15 x 61 x 34
Масса, г, не более	250
№ рисунка	1.12.3д.

1.3.2 Полупроводниковые детекторы излучения на основе германия

Германиевые детекторы, в основном, используются для регистрации гамма-излучений. В качестве материала чувствительного элемента детектора, как правило, используется германий, легированный литием (Ge:Li) на основе которого формируется p-i-n структура.

Наиболее широко используются два вида чувствительных структур: планарная и коаксиальная. Схематическое изображение чувствительных структур (ЧС) германиевых детекторов излучения показано на рис. 1.46.



Схематическое изображение чувствительных структур ППД:
а - планарная; б - коаксиальная.

Рис. 1.46. Схематическое изображение чувствительных структур германиевых детекторов

Наилучшие временные параметры у ЧС планарных детекторов, которые, как правило, обладают хорошей однородностью электрического поля в чувствительной области, обеспечивающей отличные условия сбора носителей заряда. Большинство германиевых детекторов имеет рабочее напряжение от 1200 до 2500 В. Отношение пик/комптон для линии 1333 кэВ (^{60}Co) у планарных детекторов 5 – 10, а у коаксиальных может достигать 40 и более.

По сравнению с кремниевыми и сцинтилляционными детекторами, германиевый ППД имеет более высокую эффективность, превосходное разрешение по энергиям.

Однако, реализации высоких параметров германиевого детектора, его чувствительный элемент необходимо охлаждать до температуры жидкого азота (77°К). Для охлаждения чувствительного элемента германиевого детектора могут использоваться различные способы: заливка жидкого хладагента, многокаскадные термоэлектрические охладители (ТЭО), газовые микрокриогенные машины и т.п.

Следует отметить, что чувствительные объемы выпускаемых германиевых ППД пока уступают сцинтилляторам, а стоимость и затраты на изготовление и эксплуатацию много выше.

Использование ППД целесообразно только в тех случаях, когда требуется высокое энергетическое разрешение детекторов.

Ниже приводятся основные параметры некоторых типов германиевых детекторов отечественного производства.

Глава 1.3. Полупроводниковые детекторы излучений

1.3.2.1. Германиевые детекторы ДГД-5, ДГДК-15, ДГДК-20, ДГДК-25, ДГДК-30, ДГДК-35, ДГДК-40, ДГДК-50, ДГДК-60, ДГДК-70, ДГДК-80, ДГДК-90

Германиевые детекторы серий ДГД и ДГДК предназначены для регистрации гамма-излучений.

Детекторы типа ДГД-5 имеют планарную структуру чувствительного элемента, а остальные – коаксиальную.

Для сохранения чистоты поверхности чувствительного элемента детектора и для удобства обращения с ним, ЧЭ помещают в алюминиевую капсулу, которую предварительно откачивают до давления 10^{-4} мм.рт.ст. и «заваривают» методом холодной сварки.

Детекторы эксплуатируются только в охлажденном состоянии.

Германиевые детекторы ДГД и ДГДК поставляют как отдельно в капсулах, так и в криостатах типа КР1-01 или КР2-01, или аналогичных.

Осьевые параметры германиевых детекторов серий ДГД и ДГДК приведены в табл. 1.40.

Таблица 1.40а. Основные параметры германиевых детекторов ДГД и ДГДК при температуре $20\pm 5^\circ\text{C}$

Наименование параметра. Единица измерения	ДГД-5			ДГДК-15			ДГДК-20			ДГДК-25		
	A	Б	В	A	Б	В	A	Б	В	A	Б	В
Объем чувствительной области, $\text{V}, \text{мм}^3$	$5 < V < 15$			$15 < V < 20$			$20 < V < 25$			$25 < V < 30$		
Сечение поглощения σ для $E_\gamma = 1333 \text{ кэВ}, \text{мм}^2$	$3,2 < \sigma < 4$			$10 < \sigma < 15$			$15 < \sigma < 20$			$20 < \sigma < 25$		
Энергетическое разрешение для $E_\gamma = 1333 \text{ кэВ}$ по ^{60}Co , кэВ	$3,2 < \eta < 4,0$	$< 3,2$	–	$2,5 < \eta < 3,2$	$2,0 < \eta < 2,5$	$< 2,0$	$2,5 < \eta < 3,2$	$2,0 < \eta < 2,5$	$< 2,0$	$2,5 < \eta < 3,2$	$2,0 < \eta < 2,5$	$< 2,0$
Диапазон рабочих напряжений, В	1200...2500											

Таблица 1.40б. Основные параметры германиевых детекторов ДГДК при температуре $20\pm 5^\circ\text{C}$

Наименование параметра. Единица измерения	ДГДК-30			ДГДК-35			ДГДК-40			ДГДК-50		
	A	Б	В	A	Б	В	A	Б	В	A	Б	В
Объем чувствительной области, $\text{V}, \text{мм}^3$	$30 < V < 35$			$35 < V < 40$			$40 < V < 50$			$50 < V < 60$		
Сечение поглощения σ для $E_\gamma = 1333 \text{ кэВ}, \text{мм}^2$	$25 < \sigma < 30$			$30 < \sigma < 35$			$35 < \sigma < 45$			$45 < \sigma < 55$		
Энергетическое разрешение для $E_\gamma = 1333 \text{ кэВ}$ по ^{60}Co , кэВ	$2,5 < \eta < 3,2$	$2,0 < \eta < 2,5$	$< 2,0$	$2,5 < \eta < 3,2$	$2,0 < \eta < 2,5$	$< 2,0$	$2,5 < \eta < 3,2$	$2,0 < \eta < 2,5$	$< 2,0$	$2,5 < \eta < 3,2$	$2,0 < \eta < 2,5$	$< 2,0$
Диапазон рабочих напряжений, В	1200...2500											

Глава 1.3. Полупроводниковые детекторы излучений

Таблица 1.40в. Основные параметры германиевых детекторов ДГДК при температуре $20\pm 5^{\circ}\text{C}$

Наименование параметра. Единица измерения	ДГДК-60			ДГДК-70			ДГДК-80			ДГДК-90		
	A	B	V	A	B	V	A	B	V	A	B	V
Объем чувствительной области, $\text{V}, \text{мм}^3$	$60 < V < 70$			$70 < V < 80$			$80 < V < 90$			$90 < V < 100$		
Сечение поглощения σ для $E_{\gamma} = 1333 \text{ кэВ}, \text{мм}^2$	$55 < \sigma < 65$			$65 < \sigma < 75$			$75 < \sigma < 85$			$85 < \sigma < 95$		
Энергетическое разрешение для $E_{\gamma} = 1333 \text{ кэВ}$ по ^{60}Co , кэВ	$3,2 < \eta < 4,0$	$2,5 < \eta < 3,2$	$< 2,5$	$3,2 < \eta < 4,0$	$2,5 < \eta < 3,2$	$< 2,5$	$4,0 < \eta < 5,0$	$3,2 < \eta < 4,0$	$< 3,2$	$4,0 < \eta < 5,0$	$3,2 < \eta < 4,0$	$< 3,2$
Диапазон рабочих напряжений, В	1200...2500											

1.3.2.2. Германиевые радиационные детекторы ДГР-11, ДГР-12, ДГР-22

Германиевые радиационные детекторы ДГР-11, ДГР-12, ДГР-22 предназначены для регистрации рентгеновского и гамма-излучения с энергией 10 ... 600 кэВ. Чувствительный элемент детектора размещается в герметичном металлическом корпусе.

Детекторы работают только в охлажденном состоянии, при температуре до 77°K . Используются совместно с криостатами типа КР1-01 или КР2-01 (или аналогичными).

Основные параметры детекторов ДГР-11, ДГР-12, ДГР-22 приведены в табл.1.41. Внешний вид приборов приведен на рис. 1.47.

Таблица 1.41. Основные параметры германиевых детекторов ДГР-11, ДГР-12, ДГР-22.

Наименование параметра. Единица измерения	Типа прибора/Норма параметра		
	ДГР-11	ДГР-12	ДГР-22
Площадь чувствительной области, $S, \text{мм}^2$	$2,1 < S < 2,5$	$2,1 < S < 2,5$	$2,1 < S < 2,5$
Толщина чувствительной области, $W, \text{мм}$	$1,0 < W < 3,5$	$0,7 < W < 1,6$	$0,7 < W < 3,5$
Чувствительность регистрации при полном поглощении, σ , для $E_{\gamma}=662 \text{ кэВ}, \text{мм}^2$, не менее	1,0	0,3	—
Чувствительность регистрации при полном поглощении, σ , для $E_{\gamma}=122 \text{ кэВ}, \text{мм}^2$, не менее	25	15	20
Энергетическое разрешение, η , для $E_{\gamma}=662 \text{ кэВ}, \text{кэВ}$, не более	6,6	6,6	—
Энергетическое разрешение, η , для $E_{\gamma}=122 \text{ кэВ}, \text{кэВ}$, не более	4,0	4,0	2,5
№ рисунка	1-155		

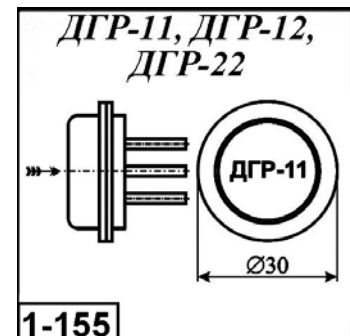


Рис. 1.47. Внешний вид германиевых детекторов ДГР-11, ДГР-12, ДГР-22.

Глава 1.3. Полупроводниковые детекторы излучений

1.3.2.3. Германиевые детекторы ДГР-3-1, ДГР-3-2, ДГР-3-3, ДГР-5-1, ДГР-5-2, ДГР-5-8

Германиевые радиационные детекторы ДГР-3-1, ДГР-3-2, ДГР-3-3, ДГР-5-1, ДГР-5-2, ДГР-5-8 предназначены для регистрации рентгеновского и гамма-излучения. Чувствительный элемент детектора размещается в герметичном металлическом корпусе.

Детекторы работают только в охлажденном состоянии, при температуре до 770К. Используются совместно с криостатами типа КР1-01 или КР2-01 (или аналогичными). Входным окном криостата служит бериллий, толщиной 100...200 мкм.

Основные параметры детекторов ДГР-3-1, ДГР-3-2, ДГР-3-3, ДГР-5-1, ДГР-5-2, ДГР-5-8 приведены в табл.1.42. Внешний вид приборов приведен на рис. 1.44

Таблица 1.42. Основные параметры германиевых детекторов ДГР-3-1, ДГР-3-2, ДГР-3-3, ДГР-5-1, ДГР-5-2, ДГР-5-8.
при температуре $20 \pm 5^\circ\text{C}$

Наименование параметра. Единица измерения	Тип прибора/Норма параметра					
	ДГР-3-1	ДГР-3-2	ДГР-3-3	ДГР-5-1	ДГР-5-2	ДГР-5-8
Площадь чувствительной области, $S, \text{мм}^2$	150	150	150	150	150	150
Толщина чувствительной области, $W, \text{мм}$	2,5 - 3,0	2,5 - 3,0	2,5 - 3,0	4,0 - 4,8	4,0 - 4,8	4,0 - 4,8
Электрическая емкость, $C, \text{пф}$, не более	11,5	11,5	11,5	8,2	8,2	8,2
Энергетическое разрешение ПШПВ по линии 122 кэВ (^{57}Co), γ , кэВ, не более	1,0	1,25	1,6	1,0	1,25	1,6
Энергетическое разрешение ПШПВ по линии 662 кэВ (^{57}Co), γ , кэВ, не более	3,2	4,0	6,3	3,2	4,0	6,3
Эффективность регистрации при полном поглощении по линии 14, кэВ (^{57}Co), мм^2 , не менее	50	50	50	50	50	50
Чувствительность регистрации при полном поглощении, σ , для $E_\gamma=122 \text{ кэВ}$ (^{57}Co), мм^2 , не менее	25	25	25	35	35	35
Чувствительность регистрации при полном поглощении, σ , для $E_\gamma=662 \text{ кэВ}$ (^{137}Cs), мм^2 , не менее	0,3	0,3	0,3	1,2	1,2	1,2
№ рисунка	1-155					

Глава 1.3. Полупроводниковые детекторы излучений

1.3.2.4. Блоки детектирования рентгеновского излучения БДР1-20, БДР2-20, БДР1-50, БДР2-50, БДР1-125, БДР2-125, БДР1-200, БДР2-200

Блоки детектирования БДР1-20, БДР2-20, БДР1-50, БДР2-50, БДР1-125, БДР2-125, БДР1-200, БДР2-200 предназначены для регистрации рентгеновского и гамма-излучения.

Блок детектирования содержит германиевый детектор серии ДГР-3 или ДГР-5, криостат КР1-01 (или КР2-01) и охлаждаемый предусилитель. Криостат помещают на стандартный сосуд Дьюара типа АСД-20, что позволяет сохранять работоспособность блоков без доливки азотом сосуда в течении 5...7 дней. Блоки работают только в охлажденном состоянии, при температуре до 77°К.

Основные параметры блоков детектирования приведены в табл. 1.43. На рис. 1.47д. показаны варианты размещения датчиков на сосуде Дьюара.

Таблица 1.43. Основные параметры блоков детектирования рентгеновского излучения типа БДР1 и БДР2.

Наименование параметра. Единица измерения	Тип прибора/Норма параметра			
	БДР1-20 БДР2-20	БДР1-50 БДР2-50	БДР1-125 БДР2-125	БДР1-200 БДР2-200
Площадь чувствительной области, S , мм^2	20	50	125	200
Энергетическое разрешение для линии 8,05 кэВ (K_{α} Cu), γ , эВ, не более	450	560	710	800
Энергетическое разрешение по линии 59,6 кэВ (^{241}Am), γ , эВ, не более	630	710	800	900
Чувствительность регистрации по линии 14,4 кэВ (^{57}Co), σ , мм^{-2} , не менее	10	25	60	80
Чувствительность регистрации по линии 59,6 кэВ (^{241}Am), σ , мм^{-2} , не менее	15	40	100	140
Чувствительность регистрации по линии 122 кэВ (^{57}Co), σ , мм^{-2} , не менее	5	12	30	40

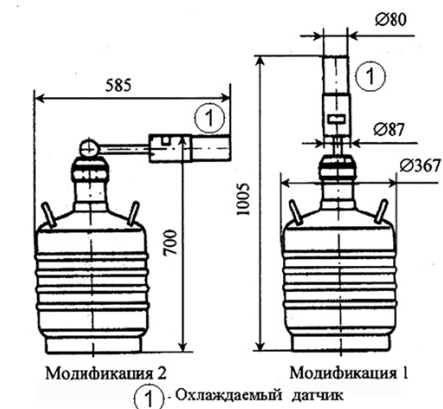


Рис. 1.47д. Варианты размещения датчиков на сосуде Дьюара.

1.3.2.5д. Блок детектирования рентгеновского излучения БДЕР-Г-7К

Блок детектирования БДЕР-Г-7К предназначен для регистрации и спектрометрии рентгеновского и гамма-излучений.

Содержит охлаждаемый планарный детектор из особо чистого германия (ОЧГ) с диффузионным n^+ и ионноимплантированным p^+ контактами; размещененный в криостате погружного типа; охлаждаемый предусилитель сигналов ППД; высоковольтный фильтр и датчик наличия жидкого азота в сосуде Дьюара.

Блок детектирования изготавливается в двух конструктивных исполнениях, позволяющие регистрировать потоки излучения, направленные вертикально-вниз или горизонтально. Для охлаждения детектора используются: криостат погружного типа (модели 1 и 2) или система охлаждения с бериллиевым окном, совмещенная с емкостью для жидкого азота (модели 3, 4 и 5). Варианты конструктивного оформления блоков приведены на рис.1.47д (1).

Конструкция блоков БДЕР-Г-7К позволяет успешно применять их как в лабораторных, так и в промышленных условиях, характеризующихся повышенным уровнем вредных воздействий (температура, влажность и др.)

Основные особенности:

- диапазон энергий :от 3 кэВ до 1.0 мэВ;
- высокая эффективность регистрации при $E = 5 - 100$ кэВ: ~ 100 % , (при $E = 1330$ кэВ - от <1 до 9%);
- тонкое входное окно из бериллия (50 -250 мкм);
- максимальная частотная загрузка по энергии 122 кэВ, s^{-1} , 2×10^4
- максимальные габаритные размеры - Ø367 x 1005 мм;
- масса при заполненном сосуде Дьюара, не более 30 кг.

Основные области применения: неразрушающий контроль элементного состава веществ в лабораторных, общепромышленных и полевых условиях; геология и разведка полезных ископаемых; металургическая и химическая промышленность; контроль производства радиоактивных материалов, препаратов и источников излучений; таможенный контроль; экологический контроль; ядерно-физические исследования.



Рис. 1.47д (1). Варианты конструктивного оформления блоков детектирования БДЕР-Г-7К.

Глава 1.3. Полупроводниковые детекторы излучений

Параметры образцов, поставляемых потребителям, определяются требованиями технической документации. Параметры некоторых разновидностей блоков детектирования типа БДЕР-Г-7К приведены в табл.1.43д.

Таблица 1.43д. Параметры блоков детектирования рентгеновского и гамма-излучения типа БДЕР-Г-7К на основе планарных ППД из ОЧГ.

Тип блока детектирования	Размеры детектора			Энергетическое разрешение		
	Диаметр, мм	Площадь, см ²	Толщина, мм	для 5,9 кэВ, эВ	для 122 кэВ, эВ	для 1333 кэВ, кэВ
БДЕР-Г -7К-02-	5	0,2*	>5	<170	<480	-
БДЕР-Г-7К-05-	8	0,5*	5 - 7	<185	<490	-
БДЕР-Г-7К-1-	11	1,0*	7 - 10	<195	<500	-
БДЕР-Г-7К-2-	16	2,0*	7 - 10	<220	<510	-
БДЕР-Г-7К-3-	19	3,0*	7 - 13	<250	<530	-
БДЕР-Г-7К-5-	25	5,0*	7 - 13	<320	<560	-
БДЕР-Г-7К-8-	32	8,0*	13 - 15	<360	<590	-
БДЕР-Г-7К-10-	36	10,0**	13 - 15	<400	<630	<1,8
БДЕР-Г-7К-15-	44	15,0**	15 - 17	<550	<780	<1,9
БДЕР-Г -7К-20-	50	20,0**	15 - 17	<700	<900	<2,0

Примечание:

* Толщина входного бериллиевого окна не более 100 мкм.

** Толщина входного бериллиевого окна не более 250 мкм.

Пример записи обозначения блока детектирования для заказа: БДЕГ-Г-7К-5-320 (модель 1), где:

- БДЕГ-Г-7К – обозначение блока детектирования;
- 5 – площадь чувствительной поверхности 5.0 см²;
- 320 – энергетическое разрешение не более 320 эВ для энергии 5,9 кэВ;
- модель 1 – конструктивное исполнение.

1.3.2.6д. Блок детектирования гамма излучения БДЕГ

Блок детектирования БДЕГ предназначен для регистрации и спектрометрии гамма-излучений.

Содержит охлаждаемый коаксиальный детектор из особо чистого германия (ОЧГ) с диффузионным n+ и ионноимплантированным p+ контактами; размещененный в криостате погружного типа; охлаждаемый предусилитель сигналов ППД; высоковольтный фильтр и датчик наличия жидкого азота в сосуде Дьюара.

Блок детектирования изготавливается в двух конструктивных исполнениях, позволяющие регистрировать потоки излучения, направленные вертикально-вниз или горизонтально. Для охлаждения детектора используются: криостат погружного типа (модели 1 и 2) или система охлаждения с бериллиевым окном, совмещенная с емкостью для жидкого азота (модели 3, 4 и 5). Варианты конструктивного оформления блоков приведены на рис.1.47д (2).

Конструкция блока позволяет успешно применять их как в лабораторных, так и в промышленных условиях, характеризующихся повышенным уровнем вредных воздействий (температура, влажность и др.)

Основные особенности:

- диапазон энергий :от 40 кэВ до 10 МэВ;
- высокая эффективность регистрации при $E=1330$ кэВ - от 10 до 60 % (при $E \sim 50$ кэВ - <1%);
- максимальная частотная загрузка по энергии 5,9 кэВ, s^{-1} , $1,5 \times 10^4$
- максимальные габаритные размеры - Ø367 x 1005 мм;
- масса при заполненном сосуде Дьюара, не более 30 кг.

Основные области применения: производство и переработка ядерных материалов; атомная энергетика; таможенный контроль и контроль за хранением и перемещением ядерных материалов; металлургическая и химическая промышленность; медицина; экологический контроль; другие области науки и техники, где требуется проведение анализа состава веществ активационными методами и обнаружение радионуклидов естественного или искусственного происхождения.



Рис. 1.47д (2). Варианты конструктивного оформления блоков детектирования БДЕГ..

Глава 1.3. Полупроводниковые детекторы излучений

Параметры образцов, поставляемых потребителям, определяются требованиями технической документации. Параметры некоторых разновидностей блоков детектирования типа БДЕГ приведены в табл.1.43д1.

Таблица 1.43д1. Параметры блоков детектирования рентгеновского и гамма-излучения типа БДЕГ на основе коаксиальных ППД из ОЧГ.

Тип блока детектирования	Эффективность к NaJ (3x3)"%, %	Энергетическое разрешение		Отношение пик/комптон		Форма пика	
		122 кэВ, эВ	1,33 МэВ, кэВ			FW-1М FWHM	FW-02М FWHM
БДЕГ-10.175	10	825	1,75	41	1	1,9	2,65
БДЕГ-10.185	10	1000	1,85	37	1	1,98	2,98
БДЕГ-13.180	13	825	1,8	43	1	1,9	2,65
БДЕГ-13.190	13	1000	1,9	39	1	1,98	2,98
БДЕГ-15.180	15	825	1,8	46	1	1,9	2,65
БДЕГ-15.190	15	1000	1,9	41	1	1,98	1,98
БДЕГ-20.180	20	850	1,8	48	1	1,9	2,65
БДЕГ-20.190	20	1100	1,9	43	1	1,98	2,98
БДЕГ-25.185	25	850	1,85	55	1	1,9	2,65
БДЕГ-25.195	25	1100	1,95	50	1	1,98	2,98
БДЕГ-30.185	30	875	1,85	58	1	1,9	2,65
БДЕГ-30.195	30	1100	1,95	54	1	1,95	2,98
БДЕГ-35.190	35	875	1,9	60	1	1,9	2,65
БДЕГ-35.200	35	1100	2	56	1	1,98	2,98
БДЕГ-40.190	40	875	1,9	62	1	1,9	2,65
БДЕГ-40.200	40	1100	2	58	1	1,98	2,98
БДЕГ-45.190	45	900	1,9	64	1	1,9	2,65
БДЕГ-45.210	45	1100	2,1	60	1	1,98	2,95
БДЕГ-50.195	50	950	1,9	65	1	1,9	2,65
БДЕГ-50.210	50	1100	2,1	62	1	1,98	2,98
БДЕГ-55.200	55	1000	2	67	1	200	3
БДЕГ-55.210	55	1200	2,1	64	1	2	3
БДЕГ-60.200	60	1000	2	68	1	2	3

Пример записи обозначения блока детектирования для заказа: БДЕГ-30.185 (модель 3), где:

- БДЕГ - обозначение блока детектирования; - 30 - эффективность регистрации; - 185 - энергетическое разрешение не более 1,85 кэВ для энергии 133 кэВ; - модель 3 - конструктивное исполнение.

1.3.3. Полупроводниковые детекторы излучения на основе других п/п материалов

Наряду с совершенствованием конструкции технологии производства кремниевых и германиевых ППД в стране и за её пределами выполняются работы по использованию для изготовления чувствительных элементов ППД и иных материалов. Например, ведутся работы по созданию чувствительных элементов на основе теллурида кадмия и арсенида галлия. Но до промышленного освоения и широкого применения подобных материалов пока еще далеко.

В последнее время разработаны твердотельные детекторы гамма-излучения, работающие при комнатной температуре. В них использована комбинация кадмия (Cd), цинка (Zn) и теллура (Tl) (CZT-детектор). Они имеют хорошее энергетическое разрешение, высокую эффективность регистрации, высокую временную и температурную стабильности, высокое отношение “сигнал-шум”, высокую эффективность регистрации в диапазоне энергий до 511 кэВ, приемлемую стоимость.

Далее приводятся основные параметры и характеристики некоторых ППД на “нетрадиционных” материалах.

1.3.3.1 Датчики рентгеновского и гамма-излучений типа РГД-0, РГД-1, РГД-2 и ГД-Г1

Отечественной промышленностью выпускались гамма-датчики РГД-2 и ГД-Г1 и датчики рентгеновского излучения РГД-0 и РГД-1, (которые одновременно являются и датчиками гамма-излучений).

Чувствительный элемент датчиков изготовлен на основе поликристаллических сульфида и селенида кадмия.

Рентгено-гамма-датчик РГД-0 защищён толстым слоем прозрачной для рентгеновского, гамма-излучений и видимого света эпоксидной смолы.

Рентгено-гамма-датчики РГД-1 представляют собой конструкцию, в которой чувствительный элемент из сернистого кадмия помещен в пластмассовое основание, представляющее собой цоколь от восьмиштырьковой электронной лампы. На цоколь со стороны чувствительного элемента приклеивается крышка, имеющая по центру отверстие диаметром 20 мм. На поверхности чувствительного элемента РГД-1 имеется защитный слой прозрачного эпоксидного компаунда.

У гамма-датчика РГД-2 чувствительный элемент помещается в металлический колпачок. В колпачке полупроводниковый слой обращен внутрь. Такое расположение чувствительного слоя защищает его от попадания видимого света, а также и рентгеновского излучения.

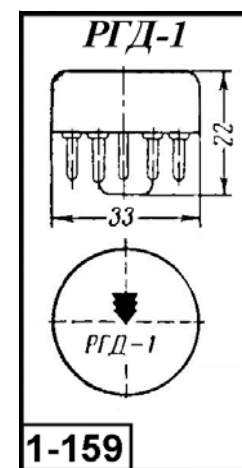
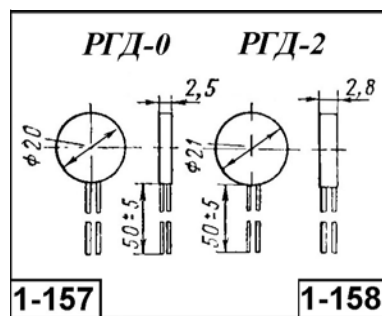
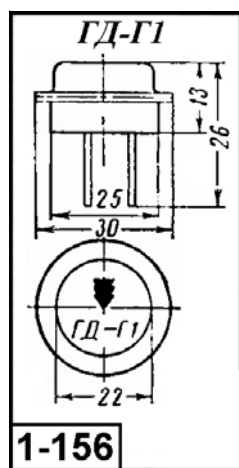
Чувствительный элемент датчика ГД-Г1 помещен в металлический корпус круглой формы.

Основные параметры датчиков рентгеновского и гамма-излучения приведены в табл. 1.44. Внешний вид и габаритные размеры датчиков приведены на рис. 1.48.

Глава 1.3. Полупроводниковые детекторы излучений

Таблица 1.44. Основные параметры датчиков рентгеновского и гамма-излучений типа РГД и ГД. при температуре $20 \pm 5^\circ\text{C}$

Тип прибора	Площадь чувствительной площадки, мм^2	Расстояние между электродами, мм	Напряжение питания, В	Темновой ток, $\mu\text{А}$, не более	Гамма-ток (при мощности излучения), $\mu\text{А}$	Средняя чувствительность, $\mu\text{А}/\text{Р/ч}$	Рентгеновский ток, $\mu\text{А}$	Постоянная времени при 5 Р/ч, с	Предельно допустимое напряжение питания рассеяния, Вт, не более	Допустимая мощность рассеяния, Вт	Температурный коэффициент добавочного тока, %/ $^\circ\text{C}$	Диапазон рабочих температур, $^\circ\text{C}$	Габаритные размеры, мм, не более	№ рис.
РГД-0	300	1	10	10	500 (5 Р/ч)	100	900	60	50	0,05	$\pm 0,3$	-25...+40	$\varnothing 20 \times 2,5$	1-157
РГД-1	300	1	10	10	500 (5 Р/ч)	100	900	60	50	0,05	$\pm 0,3$	-60...+85	$\varnothing 21 \times 2,8$	1-159
РГД-2	300	1	10	10	500 (5 Р/ч)	100	—	60	50	0,05	$\pm 0,3$	-25...+40	$\varnothing 33 \times 22$	1-158
ГД-Г1	300	1	30	1000	4000 (3 Р/с)	—	—	20	50	0,1	$\pm 0,8$	-25...+40	$\varnothing 30 \times 13$	1-156



а)

б)

в)

Рис. 1.48. Внешний вид и габаритные размеры детекторов: а - ГД-Г1; б - РГД-0 и РГД-2; в - РГД-1.

Глава 1.3. Полупроводниковые детекторы излучений

1.3.3.2. Детекторы полупроводниковые СППД12, СППД14

Детекторы полупроводниковые СППД12 и СППД14 предназначены для преобразования импульсных потоков гамма-излучения в электрический аналог в составе 50-омного или 75-омного измерительного канала.

Чувствительный элемент детектора коаксиальной формы изготовлен из **телурида кадмия (CdTe)**.

Детектор имеет лучшие технические характеристики относительно базового детектора (СППД11), реализованного на основе сборки кремниевых p-i-n диодов, по чувствительности, временному разрешению и радиационной стойкости.

Основные параметры параметры детекторов СППД12 и СППД14 приведены в табл. 1.45.

Таблица 1.45. Основные параметры детекторов полупроводниковых СППД12, СППД14.

Наименование параметра. Единица измерения.	СППД12	СППД14
Чувствительность к гамма-излучению ^{60}Co , Кл*см ² , не менее	2,0*10 ⁻¹⁹	
Погрешность определения чувствительности, %	± 15	
Временное разрешение, нс, не более	0,3	
Выходной линейный ток, А, не менее	0,5	
Сопротивление нагрузки, Ом	50	75
Напряжение питания, В	± 1200	
Габаритные размеры, мм	20 x 30	
Масса, г, не более	300	

Глава 1.3. Полупроводниковые детекторы излучений

1.3.3.3д. Детекторы полупроводниковые 2X701А-1, 2X701Б-1, 2X701В-1

Детекторы полупроводниковые 2X701А-1, 2X701Б-1, 2X701В-1 предназначены для регистрации косвенно ионизирующих излучений (быстрых нейтронов и фотонов). Детекторы работают в токовом режиме.

Основные параметры детекторов приведены в табл. 1.45д. Внешний вид и габаритные размеры показаны на рис. 1.48д.

Таблица 1.45д. Основные параметры детекторов 2X701А-1, 2X701Б-1, 2X701В-1

Наименование параметра. Единица измерения. Условия измерения.	Тип прибора/норма параметра		
	2X701А-1	2X701Б-1	2X701В-1
Напряжение питания, В	200		
Темновой ток, ($U_p=200V$, $T=25^{\circ}C$), мкА, не более	50	50	50
Темновой ток, ($U_p=200V$, $T=60^{\circ}C$), мкА, не более	400	200	400
Энергетический эквивалент уровня шума, ($U_p=200V$, $t = 0,2$ мкс, $T=25^{\circ}C$), кэВ, не более	140	140	75
Энергетический эквивалент уровня шума, ($U_p=200V$, $T=60^{\circ}C$), кэВ, не более	200	200	200
Собственная емкость ($U_p=200V$, $T=25^{\circ}C$), пф	15 - 45	15 - 45	15 - 45
Аналоговая чувствительность регистрации быстрых нейтронов, ($U_p=200V$, $t = 0,2$ мкс, $T=25^{\circ}C$), $(\phi K_l \cdot cm^2)^2 /$ нейtron, не менее	4,5	5,7	—
Аналоговая чувствительность регистрации тормозного рентгеновского излучения, ($U_p=200V$, $t = 0,2$ мкс, $T=25^{\circ}C$), Кл/Р. /рент, не менее	—	—	18
Длительность фронта нарастания сигнала, мкс, не более	0,15	0,08	0,15
Габаритные размеры без выводов, мм	18 x 25 x 5		

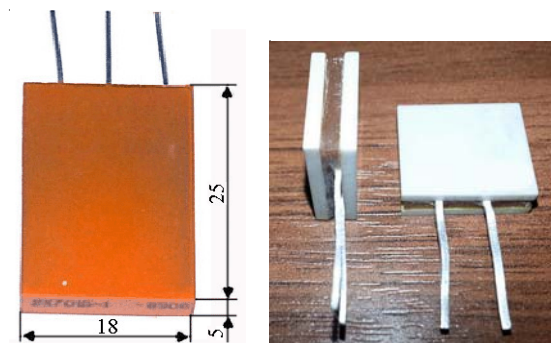


Рис. 1.48д. Внешний вид детектора 2X701

Глава 1.3. Полупроводниковые детекторы излучений

1.3.3.4д. Детектор отраженных электронов ДОЭ-4

Четырехквадрантный детектор отраженных электронов ДОЭ-4 предназначен для регистрации электронов с энергиями от 1 до 50 кэВ. Основной рабочий режим - без подачи напряжения обратного смещения. Детектор не защищен входным окном, т.к. предназначен для работы в вакуумном объеме.

Основные параметры детектора приведены в табл. 1.45д (1). Внешний вид детектора приведен на рис.1.48д (1).

Основная область применения - электронная микроскопия.

Возможности: точечный анализ, картирование кристаллических ориентаций, построение трёхмерных карт вещества, анализ текстуры, изображение зерен и межзеренных границ

Таблица 1.45д (1). Основные параметры детектора ДОЭ-4 при температуре $20 \pm 1^{\circ}\text{C}$

Наименование параметра. Единица измерения	Норма параметра
Материал детектора	кремний
Материал подкристальной платы	поликор
Размер активной области:	
внутренний диаметр маски, мм	18,7
внешний диаметр маски, мм	10,0
Толщина базы	~ 350
Темновой ток (обратное смещение 10 мВ), нА, не более	
1 квадрант	2
2 квадрант	2
3 квадрант	2
4 квадрант	2
Ёмкость квадранта (обратное смещение 0 В), нФ, не более	3
Толщина "мертвого" слоя, нм, не более	15
Габаритные размеры корпуса, мм	41 x 24 x 3.5
Материал корпуса	титан
Материал выводов	МГТФ



Рис. 1.48д (1). Внешний вид (а) и таблица назначения выводов (б) детектора ДОЭ-4.

Глава 1.4. Детекторы ионизирующего излучения на основе алмаза

Детекторы излучений (АД) на основе алмазов обладают высоким быстродействием, высокой радиационной и химической стойкостью. Детекторы способны функционировать при температурах окружающей среды до 250°С. Эти свойства позволяет использовать их в регистрирующих приборах, работающих в экстремальных условиях эксплуатации, в том числе, в условиях открытого космоса.. Основные преимущества АД заключаются в одновременной регистрации всех типов излучения и возможности создания многодетекторных систем.

Табл. 1д. Характеристики спектрометрических детекторов

альфа частиц

Площадь чувствительного элемента, мм^2	4 - 16
Толщина чувствительного элемента, мм	0,2-0,3
Чувствительность, $\text{Кл}/\text{МэВ}$, не менее	10^{-14}
Энергетическое разрешение, %, не хуже	5
Время нарастания выходного импульса, с , не более	$5,0 \times 10^{-9}$
Изменение положения энергетического пика, %, не более	5
Нестабильность скорости счета, %, не более	5
Напряжение питания, В	100-200

Табл. 2д. Характеристики импульсных алмазных детекторов

Режим работы	токовый
Чувствительный объем, мм^3	1-8
Толщина чувствительного элемента, мм	0,1-0,3
Темновой ток чувствительного элемента, А , не более	$0,5 \times 10^{-12}$
Чувствительность регистрации, $\text{nКл}/\text{Гр}$	20-300
Длительность фронта импульса, нс , не более	1,0
Диапазон измеряемых мощностей доз фотонного и электронного излучений, $\text{Гр}/\text{с}$	до 10^6
Диапазон регистрируемых энергий для фотонов, МэВ	0,1-500
Напряжение питания, В	100 - 500

В отечественном приборостроении алмазные детекторы, по ряду объективных причин, пока еще не получили широкого распространения и производятся в ограниченных объемах. Примерная номенклатура алмазных детекторов: детекторы альфа-частиц спектрометрические; детекторы дозиметрические ; детекторы импульсные временные; детекторы быстрых нейтронов; детекторы тепловых нейтронов. В табл.1д - 4д. приводятся ориентировочные характеристики некоторых приборов, реализованных на основе природных алмазов.

Табл. 1.3д. Характеристики дозиметрических алмазных

детекторов

Чувствительный объем, мм^3	1 - 8
Толщина чувствительного элемента, мм	0,2-0,5
Линейность, при изменении дозы в 100 раз, %, не хуже	5
Чувствительность регистрации, $\text{nКл}/\text{Гр}$,	20-300
Темновой ток чувствительного элемента, А , не более	$0,5 \times 10^{-12}$
Диапазон измеряемых мощностей доз $\text{Гр}/\text{мин}$	0,02-3,00
Диапазон регистрируемых энергий для фотонов, МэВ	0,08-25
Напряжение питания, В	100

Табл. 4д. Характеристики детектора нейтронов

Режим работы	счетный и токовый
Площадь чувствительного элемента, мм^2	9-100
Темновой ток чувствительного элемента, А	$0,5 \times 10^{-12}$
Диапазон энергий нейтронов, МэВ	до 20,0
Диапазон регистрируемых потоков, $1/\text{см}^2\text{с.}$	до 10^{15}
Эффективность регистрации, % , не менее	1,0
Нестабильность скорости счета за 8 часов, %, не более	0,5
Напряжение питания, В	100

1.4.1. Спектрометрический алмазный детектор ионизирующего излучения АДИИ-1

Спектрометрический детектор ионизирующего излучения АДИИ-1 предназначен для измерения энергетических спектров источников альфа- частиц, протонов, ионов и используется в составе спектрометрических систем и приборов (с зарядочувствительными предусилителями и многоканальными анализаторами).

Детектор представляет собой самостоятельный прибор,ключающий чувствительный элемент на основе алмаза, установленный внутри специального корпуса, выполненного в стандарте ВNC-7025. В корпусе имеется входная диафрагма, размеры которой определяются площадью активной области чувствительного элемента. Детектор согласован для работы в каналах регистрации с волновым сопротивлением 50 Ом. Схематическое устройство детектора приведено на рис. 1.50д.

Основные параметры детектора АДИИ-1 приведены в табл.1.46. Внешний вид и габаритные размеры детектора приведены на рис. 1.50, а схема включения на рис. 1.51.

Таблица 1.46. Основные параметры детектора ионизирующего излучения АДИИ-1

Наименование параметра. Единица измерения.	Тип прибора/Норма параметра		
	АДИИ-1.1	АДИИ-1.2	АДИИ-1.3
Площадь чувствительного элемента, мм^2	2 - 16	2 - 16	2 - 16
Толщина чувствительного элемента, мм	0,2 - 0,3	0,2 - 0,3	0,2 - 0,3
Энергетическое разрешение для альфа-частиц с энергией 5 МэВ, %	<2	2 - 5	5 - 10
Ухудшение величины энергетического разрешения, %, не более		2	
Изменение положения энергетического пика, %, не более		5	
Нестабильность скорости счета за 8 часов, %, не более		2	
Время нарастания выходного импульса, нс, не более		1	
Предельно допустимая доза α -частиц, вызывающая поляризацию, частиц/ см^2		$10^{12} - 10^{13}$	
Напряжение питания, U _{cm} , В		200 - 400	
Темновой ток, А, не более		5×10^{-13}	
Диапазон рабочих температур, $^{\circ}\text{C}$		+5....+30	
Габаритные размеры, мм		$\varnothing 12 \times 29$	
Масса, г, не более		15	
№ рисунка		1-160	

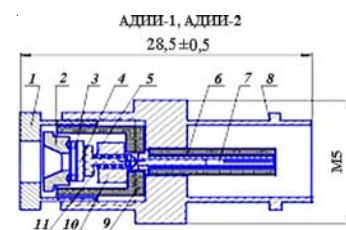


Рис. 1.50д. Схематический разрез детектора.

(1) – прижимная гайка; (2) – диафрагма входная; (3) – демпфирующее кольцо; (4)-чувствительный элемент –алмазная пластина; (5) – графитовый контактор собирающего электрода; (6) – изолирующая втулка корпуса; (7) – цанговый контакт собирающего электрода; (8) – корпус; (9) – коаксиальный изолятор собирающего электрода; (10) – столик контактный собирающего электрода; (11) – пружина.

Глава 1.4. Детекторы ионизирующего излучения на основе алмаза

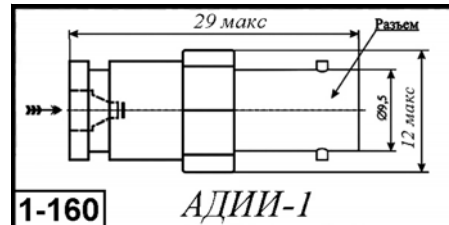
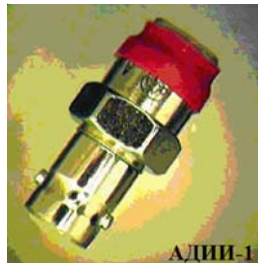


Рис.1.50.Внешний вид и габаритные размеры детектора АДИИ-1.

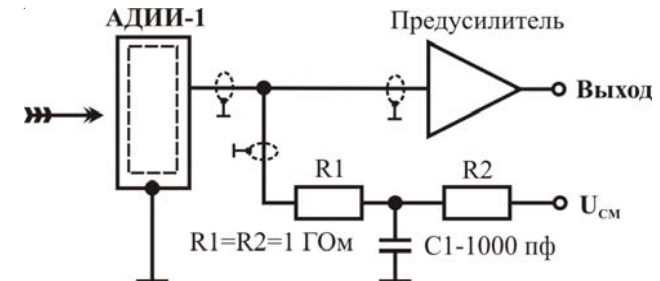


Рис. 1.51. Схема включения детектора АДИИ-1 и АДИИ-2.

1.4.2. Алмазный детектор ионизирующего излучения АДИИ-2

Детектор ионизирующего излучения АДИИ-2 предназначен для измерения объемной и удельной активности радионуклидов в газах. Детектор может работать как в счётном, так и в токовом режиме и успешно применяется для дозового мониторинга фотонного и высокоэнергетичного корпускулярного излучения. Конструкция прибора аналогична АДИИ-1.

Основные параметры детектора АДИИ-2 приведены в табл.1.47. Внешний вид и габаритные размеры детектора приведены на рис. 1.52, а схема включения на рис. 1.51.

Таблица 1.47. Основные параметры детектора ионизирующего излучения АДИИ-2

Наименование параметра. Единица измерения.	Норма параметра
Площадь чувствительного элемента, мм^2	2 - 16
Толщина чувствительного элемента, мм	0,2 - 0,4
Диапазон регистрируемых энергий α - частиц	4,5 - 7,6 МэВ
Диапазон регистрируемых энергий β - излучения	66 кэВ - 1 МэВ
Диапазон регистрируемых энергий γ - и рентгеновского излучения	2 кэВ - 3 Мэв
Чувствительность, $\text{Кл} \cdot \text{мм}^2 \cdot \text{с}^{-1}$, не менее	$1,4 \cdot 10^{-19}$
Нестабильность скорости счета за 8 часов, %, не более	2
Время нарастания выходного импульса, нс, не более	1
Предельно допустимая доза α -частиц, вызывающая поляризацию, частиц/ см^2	$10^{12} - 10^{13}$
Напряжение питания, U _{cm} , В	50 - 200
Темновой ток, А, не более	5×10^{-13}
Диапазон рабочих температур, °С	+5...+30
Габаритные размеры, мм	$\varnothing 15 \times 27$
Масса, г, не более	15
№ рисунка	1-161

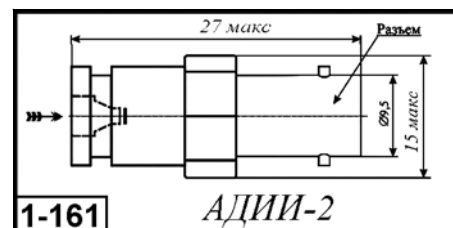
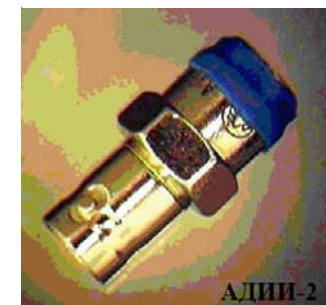


Рис. 1.52. Внешний вид и габаритные размеры детектора АДИИ-2.

1.4.3. Алмазный детектор ионизирующего излучения АДИИ-3

Детектор АДИИ-3 предназначен для регистрации импульсов бета- и гамма излучения с высоким временным разрешением и может эксплуатироваться в промышленных и лабораторных условиях.

Детектор представляет собой самостоятельный прибор,ключающий чувствительный элемент на основе алмаза, установленный внутри специального корпуса, выполненного в стандарте BNC. В корпусе имеется входная диафрагма, размеры которой определяются площадью активной области чувствительного элемента. Детектор согласован для работы в каналах регистрации с волновым сопротивлением 50 Ом.

Основные параметры детектора АДИИ-3 приведены в табл. 1.48. Внешний вид и габаритные размеры детектора приведены на рис. 1.54, а схема включения на рис. 1.55.



Таблица 1.48. Основные параметры детектора ионизирующего излучения АДИИ-3

Наименование параметра. Единица измерения.	Норма параметра
Площадь активной области, мм^2	1 - 8
Толщина полупроводникового элемента, мм	0,2 - 1,0
Напряжение смещения, $U_{\text{СМ}}$, В	50 - 200
Темновой ток, А	5×10^{-13}
Чувствительность регистрации γ излучения не менее, Кл/Гр	н/д
Чувствительность регистрации β излучения, Кл/Гр	н/д
Диапазон линейности измеряемой мощности дозы, Гр/с	2 - 4
Диапазон регистрируемых энергий γ излучения, МэВ	от 0,02 до 20
Временное разрешение не хуже, нс	н/д
Диапазон рабочих температур, оС	+5...+30
Габаритные размеры, мм	$\varnothing 11,5 \times 29$
Масса, г, не более	15
№ рисунка	1-162

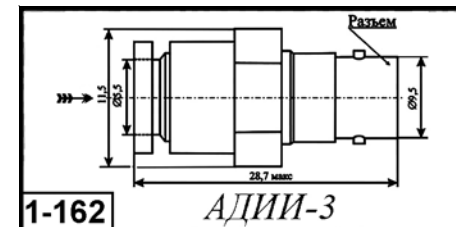


Рис. 1.54. Внешний вид и габаритные размеры детектора АДИИ-3.

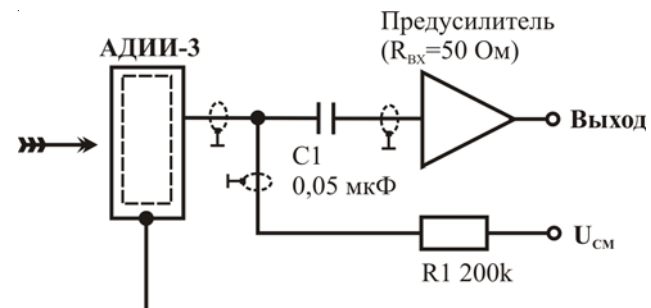


Рис. 1.55. Схема включения детектора АДИИ-3.

1.4.4. Алмазные детекторы ионизирующего излучения АДИИ-3.1, АДИИ-3.2, АДИИ-3.3

Алмазные детекторы ионизирующего излучения АДИИ-3.1, АДИИ-3.2, АДИИ-3.3 предназначены для измерения доз фотонного, электронного и протонного излучений в составе дозиметрической и медицинской аппаратуры.

За счет высокой чувствительности и малого активного объема применяется для измерений радиационных характеристик терапевтических пучков излучения, измерений радиационных полей и поглощенных доз в фантомах, а так же прямых измерений радиационных полей и поглощенных доз на больных.

Детектор размещается в водостойком полистироловом корпусе с кабелем, который заканчивается разъемом..

Основные параметры детектора АДИИ-3 приведены в табл.1.49. Схематическое устройство детектора приведено на рис. 1.52д. Внешний вид и габаритные размеры детектора приведены на рис. 1.56.

При подключении детекторов к внешним приборам могут использоваться схемы, приведенные на рис.1.53 и 1.55.

Таблица 1.49. Основные параметры детектора ионизирующего излучения АДИИ-3

Наименование параметра. Единица измерения.	АДИИ-3.1	АДИИ-3.2	АДИИ-3.3
Объем чувствительного элемента, мм^3	1 - 8	1 - 6	1 - 6
Толщина чувствительного элемента, мм	0,2 - 0,5	0,2 - 1,0	0,2 - 1,0
Чувствительность регистрации, нК/Гр	20 - 300	20 - 300	20 - 300
Диапазон измеряемых мощностей доз фотонного и электронного излучений, Гр/мин	0,02 - 3,0	0,05 - 3,0	0,05 - 3,0
Линейность к дозе, при изменении дозы в 100 раз, %	<2	2 - 4	2 - 4
Диапазон регистрируемых энергий для фотонов, МэВ	0,08 - 25	0,08 - 25	0,08 - 25
Напряжение питания, U _{cm} , В	20 - 100	50 - 200	50 - 200
Темновой ток, А, не более		5×10^{-13}	
Диапазон рабочих температур, °С		+5...+30	
Габаритные размеры, мм		$\varnothing 7,5 \times 20$	
Масса, г, не более		10	
№ рисунка		1-163	



Рис. 1.56. Внешний вид и габаритные размеры детекторов АДИИ-3.1, АДИИ-3.2, АДИИ-3.3

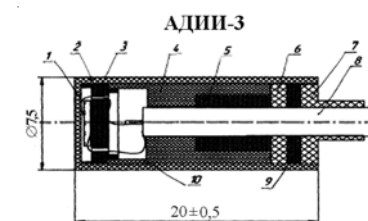
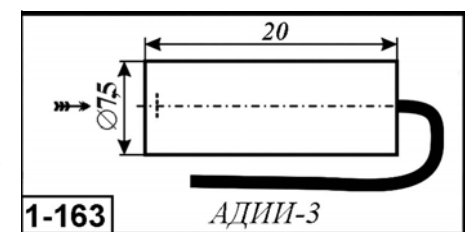


Рис. 1.52д. Схематический разрез детектора АДИИ-3:

(1) – чувствительный алмазный элемент; (2) – полистироловый корпус; (3) -основание; (4)- направляющая втулка; (5) – обжимная втулка; (6) – уплотняющее кольцо; (7) – уплотняющая втулка; (8) – три-аксиальный кабель; (9) герметик; (10) – проводник



1.4.4д. Химически устойчивые алмазные детекторы ионизирующего излучения ADII-2R

Детектор ADII-2R разработан для использования в качестве датчика радиационно измерительного оборудования для атомной физики. Используется в измерительных системах - специально для определения объемной или удельной активности отдельный радионуклиды - в жидкостях и газах, которые имеют другую концентрацию.

Датчик выпускались в четырех модификациях, которые приведены в табл.1.49д (1). Эскиз конструкции детектора показан на рис. 1.56д. Основные параметры детектора приведены в табл. 1.49д.

Таблица 1.49д. Основные параметры детектора ADII-2R

Наименование параметра. Единица измерения.	Норма параметра
Чувствительность, Кл/г не менее	$5,0 \times 10^{-7}$
Диапазон измерений, беккерелей/ dm^3 ³	$10^4 \dots 10^{10}$
Основная погрешность, %, не более	35
Подсчет отклонение скорости, не более	2
Рекомендуемое напряжение питания, В	50...200
Максимальное напряжение питания, В	400
Темновой ток, А	$0,5 \times 10^{-12}$

Примечание: *) Энергетическое разрешение детектора определялось при $E=5,5$ МэВ альфа-частиц от ^{238}Pu источника (10^4 беккерелей)

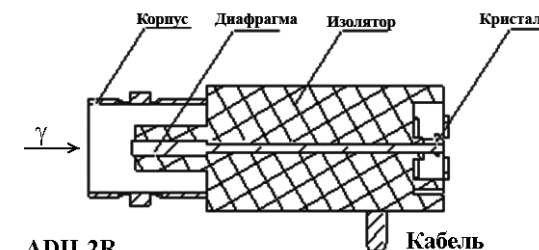


Рис. 1.56д. Эскиз конструкции детектора ADII-2R.

Таблица 1.49д.(1). Модификации детектора ADII-2R.

Модель	Особенности
1A	Розетка тип BNC-103 RF-разъем с зажимом алмазной пластины
1B	Розетка тип BNC-103 RF-разъем. Микросварка выводов к алмазной пластине
2A	Вилка тип BNC-7007 RF-разъем с зажимом алмазной пластины
2B	Вилка тип BNC-7007 RF-разъем. Микросварка выводов к алмазной пластине
0	BNC-7044 специальный химически стойкий корпус. Фиксация электродов алмазной пластины с лицевой стороны.

1.4.5. Детектор алмазный дозиметрический ПДПС-1К

Детектор алмазный дозиметрический ПДПС-1К предназначен для работы в составе дозиметрической аппаратуры, (в том числе анализаторов дозного поля медицинских радиотерапевтических установок) и обеспечивает измерения относительных распределений доз фотонного, электронного и протонного излучений. Чувствительность детектора слабо зависит от угла падения излучения.

Детектор размещен в водостойком полистироловом корпусе с кабелем, который заканчивается разъемом.

Основные параметры детектора ПДПС-1К приведены в табл.1.50. Внешний вид и габаритные размеры детектора приведены на рис. 1.57. Диаграммы зависимости чувствительности детектора от угла падения потока излучения приведены на рис. 158.

Таблица 1.50. Основные параметры дозиметрического детектора ПДПС-1К

Наименование параметра. Единица измерения.	Норма параметра
Объем чувствительного элемента , мм^3	1...6
Толщина чувствительного объема, мм	0,1...0,4
Диапазон измеряемых мощностей доз фотонного и электронного излучений, Гр/мин	0,05...30
Диапазон регистрируемых энергий, МэВ:	
· для фотонов	0,08...25
· для электронов	4...25
Аналоговая чувствительность регистрации, Кл/Гр	$(0,5...5,0)\times 10^{-7}$
Нелинейность характеристики преобразования, %	2
Напряжение питания, U _{cm} , В	100
Темновой ток, А, не более	5×10^{-13}
Доза предварительного облучения, Гр, не более	10
Радиационный ресурс, Гр	1×10^7
Габаритные размеры, мм	$\varnothing 7 \times 20$
Длина кабеля, м	1,5
Масса (без кабеля) , г, не более	10
№ рисунка	1-164

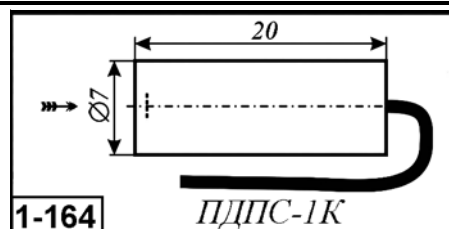
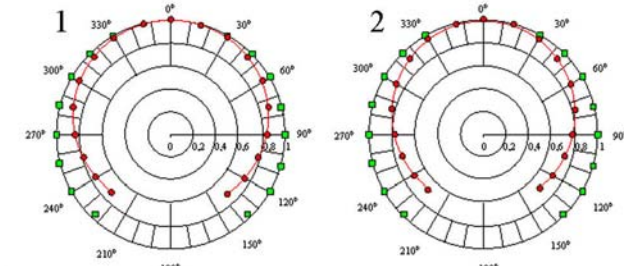


Рис. 1.57. Внешний вид и габаритные размеры детектора ПДПС-1К



Угловая зависимость чувствительности регистрации для фотонов ^{60}Co (1) и тормозного излучения с энергией 6 МэВ (2) алмазного (■) и кремниевого (●) детектора.

1-164x

Рис. 1.58. Диаграммы зависимости чувствительности детектора ПДПС-1К от угла падения потока излучения.



Глава 1.4. Детекторы ионизирующего излучения на основе алмаза

1.4.5д. Водонепроницаемый алмазный детектор ТМ60003

Водонепроницаемые алмазные детекторы ТМ60003 были разработаны на основе природных алмазов р-типа. Они близки по свойствам к тканеэквивалентным детекторам.

Детекторы разработаны для измерений дозовых распределений высокоэнергетических фотонных и электронных излучений.

Так как они обладают малым чувствительным объемом они пригодны для измерений МРТ полей, стереотаксиса, брахитерапии, в сканирующих водных фантомах и отлично подходят для измерения полей малых размеров или с малым шагом градиента.

Детектор размещен в водостойком полистироловом корпусе с кабелем, который заканчивается разъемом.

Алмазные детекторы ТМ60003 имеют великолепное пространственное разрешение, малую энергетическую и температурную зависимость, высокую чувствительность, почти не зависит от направленности, высокую сопротивляемость радиационному разрушению.

Основные параметры детектора ТМ60003 приведены в табл.1.50д. Внешний вид детектора приведен на рис. 1.57д.

Таблица 1.50д. Основные параметры водонепроницаемого алмазного детектора ТМ60003

Наименование параметра. Единица измерения.	Норма параметра
Объем чувствительного элемента , мм^3	1...6
Толщина чувствительного объема, мм	0,3
Диапазон регистрируемых энергий, МэВ:	4...20
Нелинейность характеристики преобразования в диапазоне энергий от 80 кэВ до 20 МэВ, %	± 2
Напряжение питания, U_{CM} , В	100
Угловая зависимость в воде, %, не хуже	± 2
Напряжение питания, U_{CM} , В	100
Радиационный ресурс, Гр	1×10^7
Габаритные размеры, мм	$\varnothing 7$ (или $\varnothing 5$) x 20
Масса (без кабеля) , г, не более	10
Длина кабеля, м	1,5



Рис. 1.57д. Внешний вид алмазного детектора
TM60003

Глава 1.4. Детекторы ионизирующего излучения на основе алмаза

1.4.6 Алмазные детекторы ионизирующего излучения САД1, САД1-01

Алмазные детекторы ионизирующего излучения САД1, САД1-01 предназначены для дозиметрии импульсных фотонных ионизирующих излучений.

Разработаны 2 варианта детектора: - САД1 - для работы на нагрузку 50 Ом; САД1-01 - для работы на нагрузку 75 Ом.

Каждый вариант имеет 3 сменных исполнения:

- основное - для диапазона 0,06 - 10 МэВ;
- с коллимирующим колпаком - 0,02 - 0,5 МэВ;
- с усиливающим радиатором - 0,2 - 30 МэВ.

Основные параметры алмазных детекторов САД1, САД1-01 приведены в табл.1.51.

Таблица 1.51. Основные параметры алмазных детекторов САД1, САД1-01

Наименование параметра. Единица измерения.	Тип прибора/Норма параметра	
	САД1	САД1-01
Диапазоны чувствительности Кл/Р		
нижний диапазон	$(0,6\text{--}9) \cdot 10^{-11}$	$(0,6\text{--}9) \cdot 10^{-11}$
верхний диапазон		$1 \cdot 10^{-10} \text{--} 5 \cdot 10^{-9}$
Временное разрешение, нс		
нижний диапазон	<0,2	<0,4
верхний диапазон		< 1,8
Линейный ток, А, не менее	2	2
Напряжение питания, В	700	700
Темновой ток, А, не более	1×10^{-11}	1×10^{-11}
Радиационная стойкость, Гр, не менее	1×10^5	1×10^5
Диапазон рабочих температур, °С	+5....+30	+5....+30
Габаритные размеры, мм	22 x 34	22 x 34
Масса, г, не более	45	45

Глава 1.5. Датчики и приемники излучения на основе фотодиодов

В качестве датчиков и приемников ионизирующего излучения могут использоваться кремниевые PIN и микропиксельные фотодиоды,

1.5.1. Фотодиоды ФДУК-100УВ, ФДУК-100УВZr/Sic, ФДУК-1УВСК, ФДУК-8УВСК [Е от 1,13 до 60000 эВ]

PIN фотодиоды серии ФДУК- ...УВ предназначены для использования в спектральном диапазоне от 0,02 до 1100 нм. Диапазон энергий квантов от 1,13 до 60000 эВ. Для регистрации мягкого рентгеновского излучения приборы комплектуются коллиматором. Основные параметры приборов приведены в табл. 1.53. Внешний вид фотодиодов приведен на рис.1.59...1.61. На рис. 1.62 приведена спектральная характеристика ФДУК-100УВ.

Таблица 1.53 Основные параметры фотодиодов ФДУК-XX при температуре $20 \pm 5^\circ\text{C}$.

Тип прибора	$A_{\Phi\text{ЧЭ}}$, мм	$\Delta\lambda$, мкм	U_p , В	I_t , А	S_λ , А/Вт, (λ , нм)	Постоянная времени, τ , ($R_H=25$ Ом, $\lambda=620$ нм), с, не более	Габаритные размеры, мм [Тип корпуса]	№ рис
ФДУК-100УВ	10x10	0,02...1,1	0	$1*10^{-9}$ (10 мВ)	0,4 (900 нм); 0,22 (10 нм); 0,024 (0,04 нм)	$5*10^{-4}$ (0В)	$\varnothing 20 \times 4,3$	1-167 1-167x
ФДУК-100УВZr/Sic с фильтром для 13 нм	10x10	0,02...1,1	0	$1*10^{-9}$ (10 мВ)	0,4 (900 нм)	$5*10^{-4}$ (0В)	$\varnothing 20 \times 4,3$	
ФДУК-1УВСК	$\varnothing 1,2$		10...50	$1*10^{-7}$ (50В)	0,4 (900 нм)	$5*10^{-6}$ (50В)	[SMA]	1-165
ФДУК-8УВСК	$\varnothing 3,2$	0,02...1,1	10...50	$5*10^{-8}$ (50В)	0,4 (900 нм)	$8*10^{-6}$ (50В)	[BNC]	1-166



1-165

ФДУК-1УВСК (с коллиматором, отверстие $\varnothing 1$ мм х 3 мм)

Рис. 1.59.

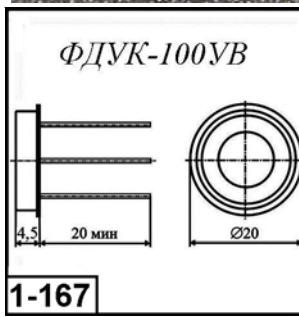


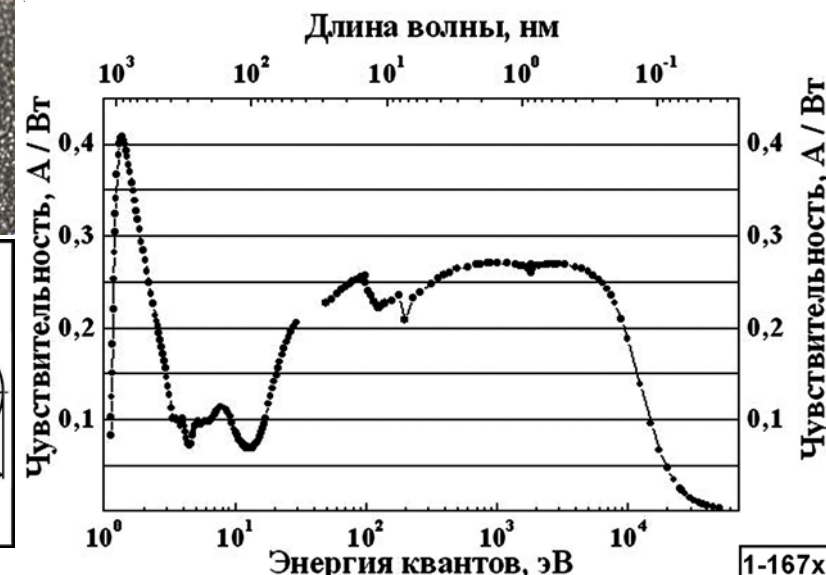
Рис. 1.61.



1-166

ФДУК-8УВСК (с коллиматором, отверстие $\varnothing 3$ мм х 6 мм)

Рис. 1.60.



1.5.2. Модули счетчика фотонов СРТА РС1, СРТА РС9, СРТА РС21

Модуль счетчика фотонов представляет собой устройство, содержащее микропиксельный фотодиод и схему усиления и обработки сигнала. Модуль способен регистрировать единичный фотон. Подобные модули являются конкурентами сцинтиблоков на ФЭУ.

Основные параметры модулей приведены в табл. 1.52д, а внешний вид на рис. 1.61д. На рис. 1.62д. приведена зависимость эффективности регистрации фотонов от длины волны света.

Таблица 1.53д. Основные параметры модулей счетчиков фотонов на основе микропиксельных

Наименование параметра. Единица измерения.	Тип прибора/Норма параметра		
	СРТА РС 1	СРТА РС 9	СРТА РС 21
Количество пикселей	1	9	21
Темновой счет, Гц	$0,2 \cdot 10^3$	$5 \cdot 10^3$	$1 \cdot 10^4$
Размер фоточувствительной площадки, мкм	30 x 30	120 x 120	Ø200
Квантовая эффективность на:			
$\lambda = 530$ нм, не менее		35	35
$\lambda = 680$ нм, не менее	40	40	40
$\lambda = 800$ нм, не менее	25	25	25
Максимальное выходное напряжение (для 21 фотоэлектрона) (мВ),			500
Максимальное выходное напряжение (для 9 фотоэлектрона) (мВ),		200	
Время нарастания выходного импульса (нс), не более 2;		2	
Время спада выходного импульса (нс), не более		150	
Максимальная скорость счета, Гц		$3 \cdot 10^6$	
Амплитуда одиночного (однофотонного импульса) при $R_{нагр.} = 50$ Ом, мВ, не менее		25	
Полярность выходного импульса		Отрицательная	
Напряжение питания, В		5	
Ток потребления, мА, не более		10	
Габаритные размеры, мм, не более		10 x 30 x 10	

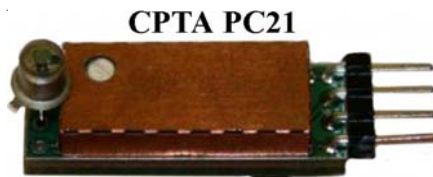


Рис. 1.61д. Внешний вид и габаритные размеры модуля счетчика фотонов на основе микропиксельных фотодиодов.

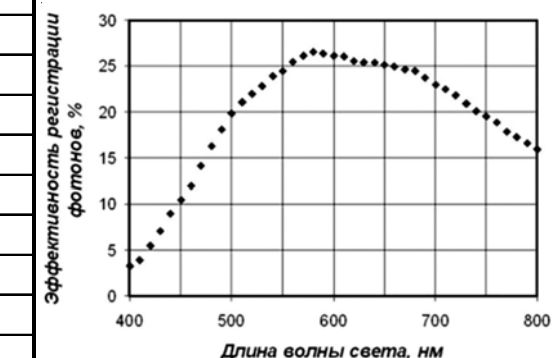
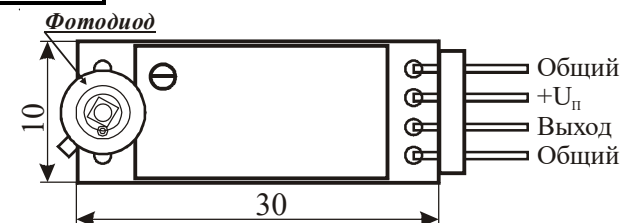


Рис. 1.62д. Зависимость эффективности регистрации фотонов МРП ЛФД от длины волны света.



1.5.3. Блок детектирования АВ-5

Малогабаритный маломощный блок детектирования для переносной, радиометрической и спектрометрической аппаратуры измерения поверхностных загрязнений альфа-активными веществами (ядерные производства, шахты, экология).

Состав блока: кремниевый p-i-n фотодиод, усилитель-дискриминатор с регулируемым порогом и источник смещения ФД.

Основные параметры блока детектирования АВ-5 приведены в табл. 1.54. Внешний вид блока приведен на рис 1.62. Пример альфа-спектра, зарегистрированного блоком АВ-5 приведен на рис. 1.63.

Таблица 1.54. Основные параметры блока детектирования АВ-5 при температуре $20 \pm 5^\circ\text{C}$.

Наименование параметра. Единица измерения	Норма параметра	
	Вариант 1	Вариант 2
Тип фотоприемника	Si, p-i-n	Si, p-i-n
Площадь фоточувствительного элемента, мм^2	5	100
Нижний порог дискриминации по энергии, кэВ	100	10
Амплитуда выходных импульсов аналогового канала, В, не более	0,7	1,0
Амплитуда выходных импульсов цифрового канала, В, не менее	4	4
Фронт нарастания выходного импульса, мкс, не более	5	2
Напряжение питания, В	6...30	6...30
Ток потребления, мА, не более	5	8
Диапазон рабочих температур, $^\circ\text{C}$		-50...+60
Габаритные размеры, мм, не более	$\sim 30 \times 30 \times 10$	
№ рисунка	1-168	



Рис. 1.62. Внешний вид блока детектирования АВ-5.

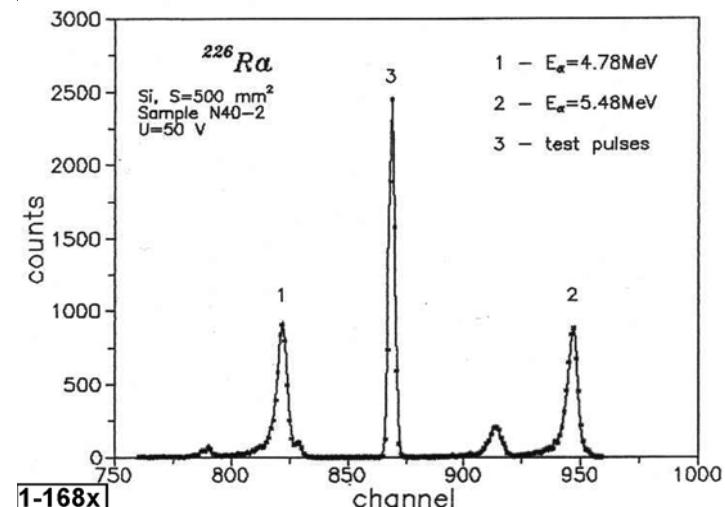


Рис 1.63. Альфа-спектр ^{226}Ra , зарегистрированный блоком детектирования АВ-5.

ПРИЛОЖЕНИЕ 1

Перечень изделий, сведения о которых размещены в I части Справочника

ПРИЛОЖЕНИЕ 1 Перечень изделий, сведения о которых размещены в I части Справочника

№ п/п	Тип прибора	Страница: текст (рис.)	№ п/п	Тип прибора	Страница: текст (рис.)	№ п/п	Тип прибора	Страница: текст (рис.)
1	2Х701А-1	160 (160)	31	БДЕГ-25.195	156 (155)	61	БДЗА-96т	108 (107)
2	2Х701Б-1	160 (160)	32	БДЕГ-30.185	156 (155)	62	БДЗА-100Б	108 (107)
3	2Х701В-1	160 (160)	33	БДЕГ-30.195	156 (155)	63	БДКН-04	91 (91)
4	АДИ-2Р	168 (168)	34	БДЕГ-35.190	156 (155)	64	БДКН-96	91 (91)
5	АВ-5	175 (175)	35	БДЕГ-35.200	156 (155)	65	БДКР-01	112 (112)
6	АГ-1	81 (81)	36	БДЕГ-40.190	156 (155)	66	БДМГ-04-00	89 (89)
7	АГ-2	81 (81)	37	БДЕГ-40.200	156 (155)	67	БДМГ-04-01	89 (89)
8	АГ-3	81 (82)	38	БДЕГ-45.190	156 (155)	68	БДМГ-04-02	89 (89)
9	АГ-4	81 (82)	39	БДЕГ-45.210	156 (155)	69	БДМГ-04-03	89 (89)
10	АГ-5	81 (82)	40	БДЕГ-50.195	156 (155)	70	БДМГ-04-04	89 (89)
11	АГ-6	81 (82)	41	БДЕГ-50.210	156 (155)	71	БДМГ-101	90 (90)
12	АДИИ-1.1	164 (164,165)	42	БДЕГ-55.200	156 (155)	72	БДМГ-101М	90 (90)
13	АДИИ-1.2	164 (164,165)	43	БДЕГ-55.210	156 (155)	73	БДМГ-АТ2343	89 (89)
14	АДИИ-1.3	164 (164,165)	44	БДЕГ-60.200	156 (155)	74	БДМН-96	91 (91)
15	АДИИ-2	165 (165)	45	БДЕГ-60.210	156 (155)	75	БДПА-01	108 (107)
16	АДИИ-3	166 (166)	46	БДЕР-Г-7К-02	154 (153)	76	БДР1-20	152 (152)
17	АДИИ-3.1	167 (167)	47	БДЕР-Г-7К-05	154 (153)	77	БДР1-50	152 (152)
18	АДИИ-3.2	167 (167)	48	БДЕР-Г-7К-1	154 (153)	78	БДР1-125	152 (152)
19	АДИИ-3.3	167 (167)	49	БДЕР-Г-7К-2	154 (153)	79	БДР1-200	152 (152)
20	АС-1	25 (27)	50	БДЕР-Г-7К-3	154 (153)	80	БДР-2	85 (85)
21	АС-2	25 (27)	51	БДЕР-Г-7К-5	154 (153)	81	БДР-2-01	85 (85)
22	БДЕГ-10.175	156 (155)	52	БДЕР-Г-7К-8	154 (153)	82	БДР2-20	152 (152)
23	БДЕГ-10.185	156 (155)	53	БДЕР-Г-7К-10	154 (153)	83	БДР2-50	152 (152)
24	БДЕГ-13.180	156 (155)	54	БДЕР-Г-7К-15	154 (153)	84	БДР2-125	152 (152)
25	БДЕГ-13.190	156 (155)	55	БДЕР-Г-7К-20	154 (153)	85	БДР2-200	152 (152)
26	БДЕГ-15.180	156 (155)	56	БДЕР-КИ-11К	147 (146)	86	БДР-3	85 (85)
27	БДЕГ-15.190	156 (155)	57	БДЗА-96	108 (107)	87	БДР-4	85 (85)
28	БДЕГ-20.180	156 (155)	58	БДЗА-96с	108 (107)	88	БДР-5	85 (85)
29	БДЕГ-20.190	156 (155)	59	БДЗА-96б	108 (107)	89	БДС-Б	109 (109)
30	БДЕГ-25.185	156 (155)	60	БДЗА-96м	108 (107)	90	БДС-Б-150	109 (109)

ПРИЛОЖЕНИЕ 1 Перечень изделий, сведения о которых размещены в I части Справочника

№ п/п	Тип прибора	Страница: текст (рис.)
91	БДС-Г	110 (110)
92	БДС-Г-100x100	110 (110)
93	БДС-Г-150x100	110 (110)
94	БДС-Р5	113 (113)
95	Бета-1	38 (39)
96	Бета-1-1	38 (39)
97	Бета-1М	55 (56)
98	Бета-1М-1	55 (56)
99	Бета-2	38 (39)
100	Бета-2-1	38 (39)
101	Бета-2М	55 (56)
102	Бета-2М-1	55 (56)
103	Бета-5	40 (40)
104	Бета-5-1	40 (40)
105	Бета-5М	55 (56)
106	Бета-5М-1	55 (56)
107	Бета-5Ц	40 (40)
108	Бета-6	38 (39)
109	Бета-6-1	38 (39)
110	Бета-6М	55 (56)
111	Бета-6М-1	55 (56)
112	Бета-7-1	38 (39)
113	Бета-7М-1	55 (56)
114	ВС-4	41 (53)
115	ВС-6	41 (53)
116	ВС-8	41 (53)
117	ВС-9	41 (53)
118	ВС-9Т	42 (53)
119	ВС-11	42 (53)
120	ВС-13	42 (53)

№ п/п	Тип прибора	Страница: текст (рис.)
121	ВС-14	42 (53)
122	ВС-16	42 (53)
123	Гамма-1-1	57 (58)
124	Гамма-2-1	57 (58)
125	Гамма-3-1	57 (58)
126	Гамма-4	57 (58)
127	Гамма-6	57 (58)
128	Гамма-6-1	57 (58)
129	Гамма-7	57 (58)
130	Гамма-7Ц	57 (58)
131	Гамма-8	57 (58)
132	Гамма-8Ц	57 (58)
133	Гамма-9/13	57 (58)
134	Гамма-9/18	57 (58)
135	Гамма-10	57 (58)
136	Гамма-11	57 (58)
137	Гамма-11Ц	57 (58)
138	Гамма-12	57 (58)
139	Гамма-13	57 (58)
140	ГД-Г1	158 (158)
141	Гелий-2	68 (69)
142	Гелий-2-1	67 (69)
143	Гелий-4	68 (69)
144	Гелий-4/2,8	67 (69)
145	Гелий-4-1	67 (69)
146	Гелий-Т-13/180-6,3/Л	76 (76)
147	Гелий-13/120-8,0/ОЦ	67 (68)
148	Гелий-13/180-6,3/Л	67 (68)
149	Гелий-18/80-3,0/Л	67 (68)
150	Гелий-18/100-3,0/БЦ	67 (69)

№ п/п	Тип прибора	Страница: текст (рис.)
151	Гелий-18/140-2,8/БЦ	67 (69)
152	Гелий-18/140-8,0/БЦ	67 (69)
153	Гелий-18/180-8,0/БЦ	67 (69)
154	Гелий-18/190-8,0/ОЦ	67 (69)
155	Гелий-30/150-5,0/ОЦ	67 (69)
156	Гелий-30/220-4,25/Л	68 (69)
157	Гелий-30/250-3,0/БЦ	68 (69)
158	Гелий-30/330-5,0/Л	68 (69)
159	Гелий-30/360-4,0/БЦ	68 (69)
160	Гелий-50/430-3,25/К	68 (69)
161	Гелий-30/530-4,0/БЦ	68 (69)
162	Гелий-30/1020-2,75/ЛЦ	68 (69)
163	Гелий-30/1030-4,0/БЦ	68 (69)
164	ГС-4	43 (53)
165	ГС-6	43 (53)
166	ГС-7	43 (53)
167	ГС-8	43 (53)
168	ГС-9	43 (53)
169	ГС-10	43 (53)
170	ГС-11	43 (53)
171	ГС-12	43 (53)
172	Д1А	139 (139)
173	Д1В	139 (139)
174	Д4.5 А	139 (139)
175	Д4.5 АМ	139 (139)
176	Д4.5 В	139 (139)
177	Д10 А	139 (139)
178	Д10 В	139 (139)
179	Д30А	139 (139)
180	Д30В	139 (139)

ПРИЛОЖЕНИЕ 1 Перечень изделий, сведения о которых размещены в I части Справочника

№ п/п	Тип прибора	Страница: текст (рис.)
181	ДГБ-0,25	142 (142)
182	ДГД-5А	149 (нет)
183	ДГД-5Б	149 (нет)
184	ДГД-5В	149 (нет)
185	ДГДК-15А	149 (нет)
186	ДГДК-15Б	149 (нет)
187	ДГДК-15В	149 (нет)
188	ДГДК-20А	149 (нет)
189	ДГДК-20Б	149 (нет)
190	ДГДК-20В	149 (нет)
191	ДГДК-25А	149 (нет)
192	ДГДК-25Б	149 (нет)
193	ДГДК-25В	149 (нет)
194	ДГДК-30А	149 (нет)
195	ДГДК-30Б	149 (нет)
196	ДГДК-30В	149 (нет)
197	ДГДК-35А	149 (нет)
198	ДГДК-35Б	149 (нет)
199	ДГДК-35В	149 (нет)
200	ДГДК-40А	149 (нет)
201	ДГДК-40Б	149 (нет)
202	ДГДК-40В	149 (нет)
203	ДГДК-50А	149 (нет)
204	ДГДК-50Б	149 (нет)
205	ДГДК-50В	149 (нет)
206	ДГДК-60А	150 (нет)
207	ДГДК-60Б	150 (нет)
208	ДГДК-60В	150 (нет)
209	ДГДК-70А	150 (нет)
210	ДГДК-70Б	150 (нет)

№ п/п	Тип прибора	Страница: текст (рис.)
211	ДГДК-70В	150 (нет)
212	ДГДК-80А	150 (нет)
213	ДГДК-80Б	150 (нет)
214	ДГДК-80В	150 (нет)
215	ДГДК-90А	150 (нет)
216	ДГДК-90Б	150 (нет)
217	ДГДК-90В	150 (нет)
218	ДГР-3-1	151 (нет)
219	ДГР-3-2	151 (нет)
220	ДГР-3-3	151 (нет)
221	ДГР-5-1	151 (нет)
222	ДГР-5-2	151 (нет)
223	ДГР-5-8	151 (нет)
224	ДГР-11	150 (150)
225	ДГР-12	150 (150)
226	ДГР-22	150 (150)
227	ДДР-5/2	138 (138)
228	ДДР-8/2	138 (138)
229	ДДР-12/2	138 (138)
230	ДДР-18/2	138 (138)
231	ДДС-5/2А	136 (136)
232	ДДС-5/2Б	136 (136)
233	ДДС-8/2А	136 (136)
234	ДДС-8/2Б	136 (136)
235	ДДС-8/6А	136 (136)
236	ДДС-12/10А	136 (136)
237	ДДС-12/2А	136 (136)
238	ДДС-12/2Б	136 (136)
239	ДДС-18/10А	136 (136)
240	ДДС-18/2А	136 (136)

№ п/п	Тип прибора	Страница: текст (рис.)
241	ДДС-18/2Б	136 (136)
242	ДКГ	141 (141)
243	ДКД-М	142 (142)
244	ДКД-Пм-2,5	143 (143)
245	ДКД-Пм-3	143 (143)
246	ДКДПс-25	131 (128)
247	ДКДПс-50	131 (128)
248	ДКДПс-100	131 (128)
249	ДКДПс-125	131 (128)
250	ДКДПс-200	132 (128)
251	ДКДПс-250	132 (128)
252	ДКДПс-350	132 (128)
253	ДКДПс-500	132 (128)
254	ДКДПед-20	133 (130)
255	ДКДПед-50	133 (130)
256	ДКДПед-125	133 (130)
257	ДКПО-дE/dx-25	130 (130)
258	ДКПО-дE/dx-50	130 (130)
259	ДКПО-дE/dx-125	130 (130)
260	ДКПО-дE/dx-200	130 (130)
261	ДКПО-д-0,5-50	135 (130)
262	ДКПО-д-0,5-100	135 (130)
263	ДКПО-д-0,5-200	135 (130)
264	ДКПО-д-1,0-50	135 (130)
265	ДКПО-д-1,0-100	135 (130)
266	ДКПО-д-1,0-200	135 (130)
267	ДКПО-д-1,5-50	135 (130)
268	ДКПО-д-1,5-100	135 (130)
269	ДКПО-д-1,5-200	135 (130)
270	ДКПО-д-2,0-50	135 (130)

ПРИЛОЖЕНИЕ 1 Перечень изделий, сведения о которых размещены в I части Справочника

№ п/п	Тип прибора	Страница: текст (рис.)
271	ДКПО-Д-2,0-100	135 (130)
272	ДКПО-Д-2,0-200	135 (130)
273	ДКПс-25	127 (128)
274	ДКПс-35	127 (128)
275	ДКПс-50	127 (128)
276	ДКПс-100	128 (128)
277	ДКПс-200	128 (128)
278	ДКПс-350	128 (128)
276	ДКПс-500	128 (128)
278	ДКПсд-20	129 (129)
279	ДКПсд-50	129 (129)
277	ДКПсд-125	129 (129)
280	ДКРС-2,5/3	139 (139)
281	ДКРС-4/3	139 (139)
282	ДКРС-6/3	139 (139)
283	ДКРС-9/3	139 (139)
284	ДОЭ-4	161 (161)
285	ИКДО-1	83 (83)
286	ИФВЭ СЦ-201 (1)	102 (102)
287	ИФВЭ СЦ-201 (2)	102 (102)
288	ИФВЭ СЦ-202	102 (102)
289	ИФВЭ СЦ-203	102 (102)
290	ИФВЭ СЦ-204	102 (102)
291	ИФВЭ СЦ-205	102 (102)
292	ИФВЭ СЦ-206	102 (102)
293	ИФВЭ СЦ-207	102 (102)
294	ИФВЭ СЦ-221	102 (102)
295	ИФВЭ СЦ-222	102 (102)
296	ИФВЭ СЦ-223	102 (102)
297	ИФВЭ СЦ-231	102 (102)
298	К1432УП1	125 (125)
299	К1432УП1Б	125 (125)
300	КНК3	86 (нет)

№ п/п	Тип прибора	Страница: текст (рис.)
301	КНК4	86 (нет)
302	КНК15	86 (нет)
303	КНК15-1	86 (нет)
304	КНК53М	86 (нет)
305	КНК56	86 (нет)
306	КНК56М	86 (нет)
307	КНК57М	86 (нет)
308	КНТ-7	87 (87)
309	КНТ-8	87 (87)
310	КНТ-9	87 (87)
311	КНТ-10	87 (87)
312	КНТ-31	87 (87)
313	КНТ31-1	87 (87)
314	КНТ-54	87 (87)
315	КНТ-54-1	87 (87)
316	КОМБИ-1	83 (83)
317	ЛКДО-1	83 (83)
318	ЛКДО-2	83 (83)
319	ЛТС-1	51 (нет)
320	МДКД-П-10	134 (134)
321	МДКД-П-20	134 (134)
322	МДКД-П-30	134 (134)
323	МДКД-П-40	134 (134)
324	МС-4	43 (53)
325	МС-6	43 (53)
326	МС-7	44 (53)
327	МС-8	44 (53)
328	МС-9	44 (53)
329	МС-11	44 (53)
330	МС-12	44 (53)

№ п/п	Тип прибора	Страница: текст (рис.)
331	МС-13	45 (53)
332	МС-14	45 (53)
333	МС-16	45 (53)
334	МСТ-17	36 (37)
335	МСТ-18	36 (37)
336	МСТР-3	79 (80)
337	МСТР-4	79 (80)
338	МСТР-5	79 (80)
339	ПДПА-1К	137 (137)
340	ПДПА-1К1	137 (137)
341	ПДПА-1К2	137 (137)
342	ПДПА-1К3	137 (137)
343	ПДПА-1К4	137 (137)
344	ПДПА-1К5	137 (137)
345	ПДПС-1К	169 (169)
346	ПРД-Д-01	145 (145)
347	ПРД-Д-02	145 (145)
348	ПРД-Д-04	145 (145)
349	ПС-Н1	101 (нет)
350	ПС-Н2	101 (нет)
351	ПС-Н3	101 (нет)
352	ПСТ-40	32 (34)
353	ПУ-Г	126 (126)
354	ПУ-Л	126 (126)
355	РГД-0	158 (158)
356	РГД-1	158 (158)
357	РГД-2	158 (158)
358	САД1	171 (нет)
359	САД1-01	171 (нет)
360	CAT-3	22 (24)

ПРИЛОЖЕНИЕ 1 Перечень изделий, сведения о которых размещены в I части Справочника

№ п/п	Тип прибора	Страница: текст (рис.)
361	CAT-4	22 (нет)
362	CAT-5	22 (нет)
363	CAT-7	22 (24)
364	CAT-8	22 (24)
365	CAT-9	23 (24)
366	CAT-10	23 (24)
367	CAT-11	23 (24)
368	СБМ-7	25 (27)
369	СБМ-8	25 (27)
370	СБМ-9	25 (27)
371	СБМ-10	25 (27)
372	СБМ-11	26 (27)
373	СБМ-12	26 (27)
374	СБМ-13	26 (27)
375	СБМ-14	26 (27)
376	СБМ-15	26 (27)
377	СБМ-19	26 (27)
378	СБМ-20	26 (27)
379	СБМ-20-1	57 (58)
380	СБМ-20U	26 (30)
381	СБМ-21	26 (30)
382	СБМ-24БГ	26 (24)
383	СБМ-28БГ	26 (24)
384	СБМ-29БГ	26 (24)
385	СБМ-30	26 (30)
386	СБМ-31	26 (30)
387	СБМ-32	26 (30)
388	СБМ-32К	26 (30)
389	СБС-1	29 (31)
390	СБС-2	29 (31)

№ п/п	Тип прибора	Страница: текст (рис.)
391	СБС-3	29 (31)
392	СБС-4	29 (31)
393	СБС-5	29 (31)
394	СБТ-7	29 (31)
395	СБТ-9	29 (31)
396	СБТ10	29 (31)
397	СБТ-10А	29 (31)
398	СБТ-11	30 (31)
399	СБТ-11А	30 (31)
400	СБТ-13	30 (31)
401	СБТ-14	30 (31)
402	СБТ-15	32 (31)
403	СБТ-16	32 (31)
404	СБТ-17	32 (31)
405	СГМ11	53 (нет)
406	СГМ18	53 (54)
407	СГМ19	53 (54)
408	СГС-3	45 (53)
409	СГС-4	45 (53)
410	СГС-5	45 (53)
411	СГС-6	46 (53)
412	СДИ28	82 (82)
413	СДН.64.30.40-17.38	100 (101)
414	СДН.69.40.40-20.38	100 (101)
415	СДН.83.100.100-35.70	100 (101)
416	СДН.83.160.160-57.100	100 (101)
417	СДН.83.200.200-75.150	100 (101)
418	СДН.83.40.40-12.5.27	100 (101)
419	СДН.83.40.50-12.5.37	100 (101)
420	СДН.83.63.6 3-10.37	100 (101)

№ п/п	Тип прибора	Страница: текст (рис.)
421	СДН.83.80.50-18.27	100 (101)
422	СДН.83.80.80-18.47	100 (101)
423	СИ-1 ГИП	36 (37)
424	СИ-1БГ	51 (53)
425	СИ-1Г	46 (53)
426	СИ1Ф	77 (77)
425	СИ-2Б	32 (34)
426	СИ-2БГ	51 (53)
427	СИ2П	79 (80)
428	СИ2Р	79 (80)
429	СИ-3Б	32 (34)
430	СИ-3БГ	51 (53)
431	СИ-3Р	79 (80)
432	СИ-4Г	46 (53)
433	СИ4Р	79 (80)
434	СИ4Ф	77 (77)
435	СИ-5Б	33 (34)
436	СИ-5Г	47 (54)
437	СИ5Р	79 (80)
438	СИ5Ф	77 (77)
439	СИ-6Б	33 (34)
440	СИ-6Г	47 (53)
441	СИ6Р	79 (80)
442	СИ6Ф	77 (77)
443	СИ-7Б	33 (27)
444	СИ-7Г	47 (53)
445	СИ-8Б	33 (34,40)
446	СИ-8БМ	33 (34)
447	СИ-8Г	47 (53)
448	СИ-9А	23 (24)
449	СИ-9БГ	33 (34)
450	СИ9Р	80 (80)

ПРИЛОЖЕНИЕ 1 Перечень изделий, сведения о которых размещены в I части Справочника

№ п/п	Тип прибора	Страница: текст (рис.)
451	СИ45Ф	78 (77)
452	СИ-10БГ	51 (53)
453	СИ-10Г	47 (54)
454	СИ-10Н	59 (66)
455	СИ10Р	80 (80)
456	СИ-11БГ	51 (53)
457	СИ-11Г	47 (53)
458	СИ-11Р	80 (80)
459	СИ-12Б	34 (34)
460	СИ-12БГ	33 (35)
461	СИ-12Г	47 (53)
462	СИ-12Р	80 (80)
463	СИ-13Б	34 (34)
464	СИ-13Г	47 (53)
465	СИ-13Н	59 (66)
466	СИ-13Р	80 (80)
467	СИ-14Б	34 (34)
468	СИ-14Г	48 (53)
469	СИ-15БГ	35 (37)
470	СИ-19БГ	35 (37)
471	СИ-19Г	48 (53)
472	СИ19Н	59 (66)
473	СИ-20Г	48 (53)
474	СИ-21БГ	51 (53)
475	СИ-21Г	57 (58)
476	СИ-22БГ	52 (53)
477	СИ-22Г	48 (53)
478	СИ-22ГУ	48 (53)
479	СИ-23БГ	35 (37)
480	СИ-23Г	48 (53)

№ п/п	Тип прибора	Страница: текст (рис.)
481	СИ-24БГ	35 (27)
482	СИ-24Г	49 (53)
483	СИ-25БГ	35 (37)
484	СИ-25Г	49 (53)
485	СИ-26БГ	35 (37)
486	СИ-28БГ1	35 (37)
487	СИ-28БГ2	35 (37)
488	СИ-29БГ	35 (37)
489	СИ-31Г	49 (53)
490	СИ-33Г	49 (53)
491	СИ-34Г	50 (53)
492	СИ-37Г	50 (53)
493	СИ-38Г	50 (53)
494	СИ-39Г	50 (53)
495	СИ-40Г	50 (53)
496	СИ45Ф	78 (77)
497	СКД1	143 (нет)
498	СКД1-01	143 (нет)
499	СКД1-02	143 (нет)
500	СН-01	65 (66)
501	СН-03	65 (66)
502	СН-04	65 (66)
503	СНК-18/120-9,0/ОМ	70 (73)
504	СНК-18/130-5,0/Л	70 (73)
505	СНК-18/210-9,0/ОМ	70 (73)
506	СНК-25/80-5,0/Л	70 (73)
507	СНК-25/160-5,0/Л	71 (74)
508	СНК-30/120-4,6/Л	71 (74)
509	СНК-30/130-4,6/ОМ	71 (74)
510	СНК-30/130-5,0/Л	71 (74)

№ п/п	Тип прибора	Страница: текст (рис.)
511	СНК-30/170-4,6/ПУ	71 (74)
512	СНК-30/200-4,6/ОМЦ	71 (74)
513	СНК-30/220-4,6/ПУ	71 (74)
514	СНК-30/260-4,6/Л	71 (74)
515	СНК-30/260-4,6/ОМ	71 (74)
516	СНК-30/300-4,6/Л	71 (74)
517	СНК-30/310-4,6/ОМ	72 (74)
518	СНК-32/120-4,0/Л	72 (74)
519	СНК-32/130-4,0/ОМ	72 (74)
520	СНК-32/200-4,0/ОМЦ	72 (74)
521	СНК-32/260-4,0/Л	72 (74)
522	СНК-32/260-4,0/ОМ	72 (74)
523	СНК-32/300-4,0/Л	72 (74)
524	СНК-32/310-4,0/ОМ	72 (74)
525	СНК-38/240-4,0/ПУ	72 (74)
526	СНК-50/90-4,0/Л	73 (74)
527	СНК-50/240-4,0/Л	73 (74)
528	СНК-50/300-4,0/Л	73 (74)
529	СНК-Т-30/120-4,6/Л	75 (76)
530	СНК-Т-30/260-4,6/Л	75 (76)
531	СНК-Т-32/120-4,0/Л	75 (76)
532	СНК-Т-32/260-4,0/Л	75 (76)
533	СНК-Т-50/240-4,0/Л	75 (76)
534	СНК-Т-50/300-4,0/Л	75 (76)
535	СНМ-3	59 (66)
536	СНМ-5	59 (66)
537	СНМО-5	60 (66)
538	СНМ-8	60 (66)
539	СНМ-9	60 (66)
540	СНМ-10	60 (66)

ПРИЛОЖЕНИЕ 1 Перечень изделий, сведения о которых размещены в I части Справочника

№ п/п	Тип прибора	Страница: текст (рис.)
541	CHM-11	61 (66)
542	CHM-12	61 (66)
543	CHM-13	61 (66)
544	CHM-14	62 (66)
545	CHM-15	62 (66)
546	CHM-16	62 (66)
547	CHM-17	62 (66)
548	CHM-18	63 (66)
549	CHM-18-1	63 (66)
550	CHM-19	63 (66)
551	CHM-20	63 (66)
552	CHM-32	63 (66)
553	CHM-33	63 (66)
554	CHM-42	64 (66)
555	CHM-50	64 (нет)
556	CHM-51	64 (нет)
557	CHM-52	64 (нет)
558	CHM-53	64 (нет)
559	CHM-55	64 (нет)
560	CHM-56	64 (66)
561	CHM56M	75 (76)
562	CHM-57	64 (нет)
563	CHM-58	64 (66)
564	CHM-59	64 (66)
565	CHM-60	64 (66)
566	CHM-61	64 (66)
567	CHM-66	64 (нет)
568	CHM-66-2	64 (нет)
569	CHM-66-3	64 (нет)
570	CHM-67	65 (66)

№ п/п	Тип прибора	Страница: текст (рис.)
571	CHM67Э	75 (76)
572	CHM-68	65 (нет)
573	CHM-72	65 (66)
574	CHM-73	65 (66)
575	CHM-76	65 (66)
576	CHM-76-1	65 (66)
577	CHM-77	65 (66)
578	CHM-79	65 (66)
579	CHM-80	65 (66)
580	СППД1	144 (нет)
581	СППД1-01	144 (нет)
582	СППД3	144 (нет)
583	СППД3-01	144 (нет)
584	СППД5	144 (нет)
585	СППД11	144 (нет)
586	СППД11-02	144 (нет)
587	СППД11-03	144 (нет)
588	СППД11-04	144 (нет)
589	СППД11-01	144 (нет)
590	СППД12	159 (нет)
591	СППД14	159 (нет)
592	CPM-1	79 (80)
593	CPM19	80 (80)
594	CPM20	80 (80)
595	CPT-4	80 (80)
596	CPT-5	80 (80)
597	CPTA PC1	174 (174)
598	CPTA PC21	174 (174)
599	CPTA PC9	174 (174)
600	ССДИ8М	111 (111)

№ п/п	Тип прибора	Страница: текст (рис.)
601	ССДИ8М	114 (114)
602	ССДИ8М-01	111 (111)
603	ССДИ8М-01	111 (111)
604	ССДИ8М-02	111 (111)
605	ССДИ8М-03	111 (111)
606	ССДИ29	111 (111)
607	ССДИ34	115 (115)
608	ССДИ35	116 (116)
609	ССДИ36	117 (117)
610	ССДИ37	118 (118)
611	ССДИ38	119 (119)
612	ССДИ38-01	119 (119)
613	ССДИ39	120 (120)
614	ССДИ40	121 (121)
615	CTC-1	52 (53)
616	CTC-2	52 (53)
617	CTC-3	52 (53)
618	CTC-5	36 (27)
619	CTC-6	36 (27)
620	CTC-8	52 (53)
621	СФК-1	77 (77)
622	СЧДИ1М	111 (111)
623	СЧДИЗ	122 (122)
624	Т-25БФЛ	36 (37)
625	TM60003	170 (170)
626	ФДУК-100УВ	173 (173)
627	ФДУК-100УВZr/Sic	173 (173)
628	ФДУК-1УВСК	173 (173)
629	ФДУК-8УВСК	173 (173)